

**X. B. SAPAEV**

**ELEKTRMEXANIK TIZIMLARNING  
APPARATLARI, ELEMENTLARI VA  
O'ZGARTGICH TEXNIKASI  
II-QISM**

**ELEKTRMEXANIK TIZIMLARNING  
ELEMENTLARI VA O'ZGARTGICH  
TEXNIKASI**



**O'ZBEKISTON RESPUBLIKASI  
OLIY VA O'RTA MAXSUS TA'LIM VAZIRLIGI**

**X. B. SAPAYEV**

**ELEKTR MEXANIKA TIZIMLARINING  
ELEMENTLARI VA O'ZGARTKICH  
TEXNIKASI**

**II QISM**

**DARSLIK**

**Toshkent  
«Universitet»  
2022**

UO'K: 621.373/31 (07)

KBK: 31/2 ya7

22/379

S81

**X. B. Sapayev** Elektr mexanika tizimlarining apparatlari, elementlari va o‘zgartkich texnikasi. 2-qism. Darslik. – Toshkent: 2022. 234 b.

“Elektr mexanika tizimlarining apparatlari, elementlari va o‘zgartkich texnikasi”, 2-qism, “Elektr mexanika tizimlarining elementlari va o‘zgartkich texnikasi” darsligi O‘zbekiston Respublikasining sanoat, ishlab chiqarish va boshqa ko‘plab sohalarida keng qo‘llaniladigan yarimo‘tkazgichli elementlar va ular asosidagi o‘zgartkich qurilmalarining ishlash prinsiplari, texnik tavsiflari va ularning qo‘llanish sohalari kabi savollarni yoritishga qaratilgan.

Mazkur darslik 5310700 - “Elektr texnikasi, elektr mexanikasi va elektr texnologiyalari” bakalavriat ta’lim yo‘nalishi talabalari uchun mo‘ljallangan bo‘lib, turdosh mutaxassisliklar talabalariga mazkur fanni o‘rganishda foydali bo‘ladi.

ISBN: 978-9943-7886-1-9

### **Taqrizchilar:**

**N.M. Aripov** – Toshkent davlat transport universiteti, “Avtomatika va telemexanika” kafedrasi professori, t.f.d.;

**N.B. Pirmatov** – Toshkent davlat texnika universiteti  
“Elektr mashinalari” kafedrasi professori, t.f.d.

## KIRISH

O‘zgartkich texnikasi rivojlanishi, uni ishlab chiqarishda va xalq xo‘jaligi ko‘rxonalarida qo‘llash istiqboli katta quvvatli elektron asboblarning rivojlanishiga bog‘liq. Bu rivojlanish XX – asrning boshidan simobli asboblar - ventillardan boshlanib, to bugungi kunga qadar katta quvvatli yarimo‘tkazgichli integral modullargacha davom etib kelmoqda.

Katta quvvatli to‘g‘rilagichlarning birinchisi 1900- yilda, shishali simob kolbasi asosida AQSH olimi Kuper Yuit tomonidan kashf etilgan. 1911-yilda metall - simobli elektron asbob asosidagi to‘g‘rilagichlar Germaniyalik muhandis B.Sheffer tomonidan ishlab chiqilgan. 1920-yillardan keyin bu yo‘nalishni Rossiyada akademik V.P Vologdin boshqargan, va 1924-yilda muhandis V.K. Krapivin rahbarligida metall – simobli asbob asosida 10 kVt lik to‘g‘rilagich yaratilgan [2,3].

Simobli shisha va temir qolbali asboblar o‘rniga 1930-yillarda gaz razryadli (ionli) va vakuum elektron aboblari qo‘llanilgan. Bu elektron asboblar faqat katta toklarni kommutatsiya qilish emas, balki ularni boshqarish imkoniyatlariغا ham ega bo‘lgan. Buning uchun ularda qo‘srimcha boshqaruvchi elektrodlar o‘rnatalgan. Shu davrlar o‘zgartkich texnikasining eng jadal rivojlangan vaqt hisoblanadi. 1934- 1938 - yillarda o‘zgartkich texnikasining fundamental sxemalarini yaratishda olimlar V.P. Vologdin, A.N. Larionov, G.I. Babat, I.L. Kaganov ishtirok etganlar. Bir fazali ko‘priksimon sxema N. Grets tomonidan va uch fazali ko‘priksimon sxema A.N. Larionov va N. Grets tomonidan 1936-yilda yaratilgan. Yo‘nalish rivojlanishini yanada jadallashtirish maqsadida 1943-yilda Moskva energetika instituti qoshida prof. I.L. Kaganov tashabbusi bilan birinchi “Sanoat elektronikasi” kafedrasi ochilgan.

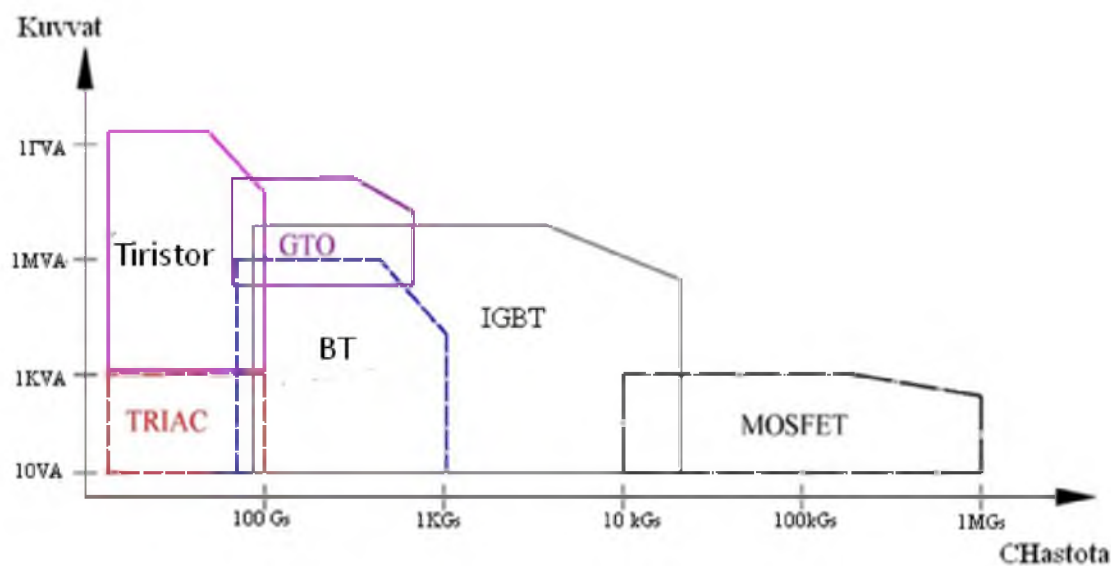
Urush yillari Moskva va Leningrad shaharlaridan energetika sohasidagi ilmiy institutlar va shu yo‘nalish olimlari Toshkent shahriga evakuatsiya qilinishi natijasida Toshkent Energetika va Avtomatika instituti qoshida ilmiy maktablar yaratilgan. Bu maktablarning davomchilari akad. X.F. Fozilov (Energetika sohasi), akad. M.Z. Hamudxanov (elektr yuritmalar va avtomatika sohasi), akad. G.R. Raximov (elektrtexnika sohasi)

va boshqalar keyinchalik o‘z maktablarini yaratib, O‘zbekistonda Elektr energetika va Avtomatika yo‘nalishlarini yuqori darajaga olib chiqdilar.

1948-yilda Uolter Bratteyn, Djon Bardin va Vilyam Shokli tomonidan **bipolyar tranzistorlar** ishlab chiqarilganligi ma’lum qilingan. Ushbu kashfiyotlari uchun bu olimlar Nobel mukofoti laureatligiga sazovor bo‘lganlar .

Keyingi 10 yil davomida diod va tranzistorlarni ishlab chiqish texnologiyalarini chuqur o‘zlashtirish natijasida 1958-yilda Fransiyada tadqiqotlar olib borgan polyak olimi Stanislav Tashner tomonidan amalda qo‘llanishi mumkin bo‘lgan **maydoniy tranzistorlar** va Germaniyaning **Westighous** firmasi tomonidan **tiristor** ishlab chiqilgan. Keyinchalik bu asboblarning turli xususiyatlarga ega bo‘lgan turlari yaratilgan (to‘liq boshqariluvchi tiristorlar, simistorlar, optotiristorlar, dinistorlar va h.k.). Ularni qo‘llash asosida 1960-1990 yillarda o‘zgartkich texnikasiga doir bo‘lgan ko‘p turdagи samarali qurilmalar rivojlangan. Tiristorlar qo‘llanilishi natijasida o‘zgartkich qurilmalarining barcha ko‘rsatkichlari yaxshilangan. Masalan: elektr yuritmalarida va elektr texnologiyalarda simobli asboblar qo‘llanganda 1000 A li o‘zgartkichning massasi 300 kk ga to‘g‘ri kelsa, shu tokka mo‘ljallangan tiristorli o‘zgartkich massasi 5 kk ga to‘g‘ri kelgan. Undan tashqari tiristorli qurilmalarning narhlari kamaygan, ishonchliligi oshgan, boshqarish tizimlari soddalashtirilgan .

1985 – 1990 yillarda dunyo bozorida katta toklar va katta kuchlanishlarga mo‘ljallangan MOSFET va IGBT tranzistorlari va to‘liq boshqariluvchi katta quvvatli tiristorlar paydo bo‘ladi. Bu elektron asboblar 10 lab kA va kV diapazonlarida hamda 100 kGs bo‘lgan chastotalarda ishlash imkoniyati K1 rasmdagi diagrammada keltirilgan.



**K1- rasm. Zavonaviy katta quvvatli elektron asboblarning ishlash diapazonlarini ko‘rsatuvchi diagramma**

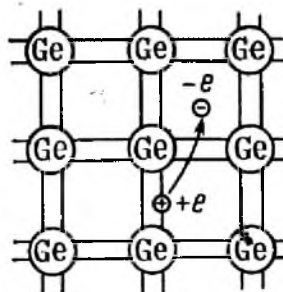
Hozirgi paytda bu asboblarning yakka element shaklidagi, juftlashtirilgan bir va uch fazali modullari hamda modullarga o‘rnatalgan drayverlari (mikrosxemalar) asosidagi gibrid sxemalar shaklidagi turlari keng qo‘llanilmoqda.

## 16. ELEKTRON ELEMENTLAR DIODLAR

### 16.1. Yarimo'tkazgichli materiallarning o'tkazuvchanligi va kristallik strukturalari

Tarkibida elektron asboblar qo'llanadigan zanjirlar adabiyotlarda elektron zanjirlar deyiladi. Elektron asboblarga vakuum asboblari, gaz razryadli asboblar, yarimo'tkazgichli elektron asboblar va ularning asosida tuzilgan turli integral sxemalar, fotoelektron asboblar va h.k. kiradi.

Zamonaviy yarimo'tkazgichli elektron asboblarning asosini to'rt valentli elementlardan kremniy (Si) va germaniy (Ge) tashkil qiladi. Bu elementlarning har bir atomi qo'shni atomlar bilan kovalent bog'lanish bilan bog'langan. Germaniy elementining kristallik strukturasi (panjarasi) quyida 16.1 - rasmda keltirilgan.



**16.1-rasm. Germaniy elementining kristallk panjarasi**

Tashqi harorat yoki elektr maydoni ta'siri natijasida kovalent bog'lanishlar uzilib, panjara da elektr tokini tashuvchi juftliklar paydo bo'ladi. Bu jarayon termogeneratsiya deb aytiladi. Hosil bo'lgan juftliklardan bittasi elektronlar bo'lsa, ikkinchisi kovaklar hisoblanadi.

Manfiy zaryadga ega bo'lgan elektron tashuvchilar adabiyotlarda *n* tipdagi tashuvchilar deb aytiladi («negativ» degan lotin so'zining birinchi harfi bilan belgilangan) va musbat zaryadga ega bo'lgan kovaklar *p* tipdagi tashuvchilar hisoblanadi («pozitiv» so'zidan).

Musbat ishorali *p* tipdagi tashuvchilarning yaratilish mexanizmini quyidagicha tushuntirish mumkin - kovalent bog'lanishlar uzulishi bilan atomdan ajralib chiqqan elektronlar o'rnida «vakansiya», ya'ni bo'shliq hosil bo'ladi. Adabiyotlarda bu vakansiya **kovak** yoki **teshiklar** deb nomlangan. Kovaklar qo'shni atomdan ajralib chiqqan elektronni qabul

qilishi natijasida qo'shni atomda yangi kovak paydo bo'lishi kutiladi. Shunday qilib paydo bo'lgan kovaklarning ketma-ket u atomdan bu atomga o'tishlari, kristallik panjarada kovaklarning siljishi deb tasavvur qilinadi. Bu holatda kovaklarning zaryadi elektron zaryadlarning teskari ishorasiga tengligi ko'rinish turibdi.

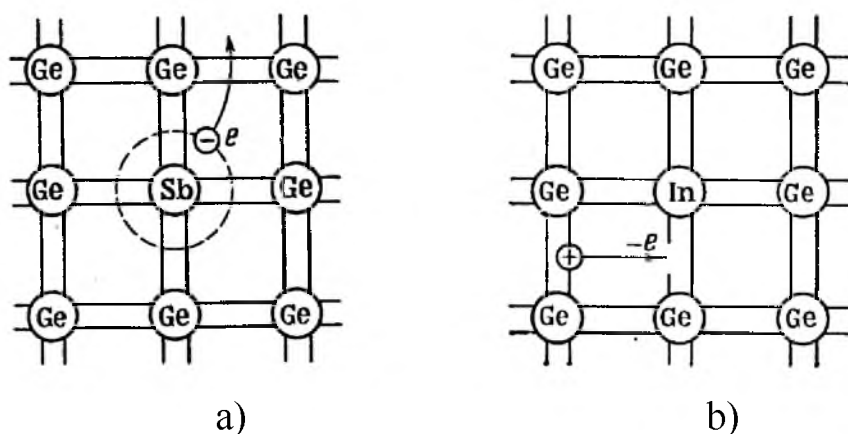
Erkin elektronlarning va kovaklarning to'qnashishi natijasida zaryadlarning neytrallanish jarayoni rekombinatsiya deyiladi. Sof (qo'shmalari bo'limgan) yarimo'tkazgichlarda termogeneratsiya natijasida hosil bo'lgn juftliklarning soni rekombinatsiya qilingan jutliklarning soniga teng. Agar sof yarimo'tkazgichlardi tashuvchilarning sonlari  $n_i$  va  $p_i$ , bilan belgilansa, unda ular uchun quyidagi tenglamani yozish mumkin:

$$p_i = n_i = A e^{-W/2kT}, \quad (16.1)$$

bunda:  $A$  - kristallning tipi bilan aniqlanuvchi koeffitsiyent;  $k = 16.37 * 10^{-23}$  – Bolsman doimiysi;  $T$  – absolyut harorat;  $\Delta W$  – kristallik panjaradagi kovalent bog'lanishdan ajratish energiyasi.

Ifoda (16.1) dan ko'rinish turibdiki, sof yarimo'tkazgichlarda haroratning oshishi bilan termogeneratsiya va rekombinatsiya jarayonlari jadallahadi va juftliklar soni ko'payib, yarimo'tkazgichlarning o'tkazuvchanlik xususiyati oshadi.

Sof yarimo'tkazichlarga beshinchchi yoki uchinchi guruh elementlari qo'shilsa, ular qo'shma yarimo'tkazgichlarga aylanadi. Quyida 16.2 a, b - rasmda to'rt valenli Germaniyaga besh valentli element surma (Sb) va uch valentli element indiy (In) qo'shilgan kristallik panjara keltirilgan.



**16.2. – rasm. Kristallik strukturalar: a) n tipidagi; b) p tipidagi**

Besh valentli elementlar qo'shilgan kristallik strukturada erkin harakatlanuvchi elektronlar hosil bo'ladi va natijada materialning o'tkazuvchanlik xususiyati oshadi. Kiritilgan besh valentli surma elementi kristallik panjarani qo'shimcha elektronlar bilan ta'minlovchi ma'nosida – **donorlar** deb aytiladi. Bu qo'shma yarimo'tkazichlar  $n$  tipidagi materiallar turiga kiradi. Ularda asosiy tashuvchilar elektronlar bo'lib, ularning soni ( $n_n$ ) bilan belgilanadi. Ammo,  $n$  tipidagi materiallarning kristallik strukturasida noasosiy bo'lgan kovak tashuvchilar ham mavjud. Ular termogeneratsiya mexanizmi asosida paydo bo'ladi va ularning soni ( $p_n$ ) bilan belgilanadi.

Sof yarimo'tkazgichlarga uchinchi guruh elementlari (masalan indiy *In*) qo'shilsa, kristallik strukturaning har bir atomida uch kovalent bog'lanishi hosil bo'lib, to'rtinchi bog'lanish to'ldirilmay qoladi. Qolgan bo'sh joy qo'shni atom elektroni bilan to'ldiriladi. Shu ma'noda qo'shilgan uch valentli atomlar **akseptor** atomlari deb aytilib, ularning asosidagi yarimo'tkazgich materiallari ham akseptorlar deyiladi. Bu materiallarda asosiy tashuvchilar kovaklar hisoblanib, ularning soni  $p_p$  bilan belgilanadi. Noasosiy tashuvchilari elektronlar bo'lib, ularning soni ( $n_p$ ) bilan belgilanadi. Kristallik strukturada ular ham termogeneratsiya mexanizmi asosida hosil bo'ladi.

Qo'shma yarimo'tkazgichlar uchun quyidagi tenglamani keltirish mumkin:

$$p_p n_p = n_n p_n = p_i n_i = A e^{-\Delta W / kT} . \quad (16.2)$$

Normal haroratda tashuvchilarning konsentratsiyasi  $n_n \gg p_n$  va  $p_p \gg n_p$  bilan aniqlanadi. Harorat oshishi bilan  $p$  va  $n$  tashuvchilarning konsentratsiyasi oshadi va ma'lum haroratda keltirilgan tengsizlik buzilishi mumkin. Bu holatda materiallarning yarimo'tkazuvchanlik xususiyati buziladi. Germaniy elementi uchun ushbu harorat  $75^0 - 85^0$  C va kremniy uchun  $150^0 - 170^0$  C – ni tashkil qiladi. Shu sababli katta toklarga va katta kuchlanishlarga mo'ljallangan elektron asboblar kremniy elementlari asosida tuziladi.

Yarimo'tkazgichlarda tashuvchilarni harakatlanishi elektr maydoni ta'sirida yoki ma'lum bir masofada ularni konsentratsiyasi farqlari natijasida bo'lishi mumkin. Tashuvchilarni aniq yo'nalishdagi harakatini **elektr toki**

desak, unda maydon ta'siridagi vujudga keladigan toklarni **dreyf toklari** deb va konsentratsiya farqlari natijasidagi paydo bo'ladigan toklarni **diffuzion toklar** deb aytish mumkin.

Kristallardagi dreyf toklari  $n$  va  $p$  tipdagi tashuvchilar uchun ma'lum bir kesimidan, ma'lum bir vaqt davomida o'tgan tashuvchilarning zaryadlarining qiymatlari bilan aniqlanadi:

$$J_{drn} = -qnV_{drn}, \quad J_{drp} = qpV_{drp} \quad (16.3)$$

bularda:  $n$ ,  $p$  – yarimo'tkazgichlar hajmidagi elektron va kovaklar konsentratsiyasi;  $q$  - elektronning zaryadi;  $V_{dr}$  – tashuvchilarning o'rtacha tezligi.

Keltirilgan ifodalarda:

$$V_{drn} = -\mu_t E, \quad V_{drp} = \mu_r E, \quad (16.4)$$

bularda:  $\mu$  - elektron va kovaklarning harakatchanligi;  $E$  – elektr maydonining kuchlanishi.

Yarimo'tkazgichlardan elektr maydoni ta'sirida o'tgan toklarning yig'indisi quyidagicha aniqlanadi:

$$J = J_{dr} = J_{drn} + J_{drp} = qn\mu_n E + qp\mu_p E \quad (16.5)$$

Kristalldagi diffuziya toklari  $n$  va  $p$  tashuvchilarning zaryadlari qiymati quyidagicha aniqlanadi

$$J_{difn} = q D_n \frac{dn}{dx}, \quad J_{difp} = -q D_p \frac{dp}{dx}. \quad (16.6)$$

Bu ifodalarda proporsion koeffitsiyentlar  $D_n$  va  $D_p$  diffuziya koeffitsiyenti deb aytildi. Ular 1 sekundda  $1 \text{ sm}^2$  yuzadan o'tadigan tashuvchilarning soniga teng. Diffuziya koeffitsiyenti tashuvchilarning harakatchanligi bilan quyidagicha bog'langan:

$$D = \varphi_t \mu \quad (16.7)$$

Bu ifodada  $\varphi_t = kT/q$  – issiqlik koeffitsiyenti. Harorati  $T=300^0 \text{ K}$  bo'lganida  $\varphi_t = 0,025 \text{ V}$ . Kremniy elementlarida xona haroratida

$D_n = 32 \text{ sm}^2/\text{s}$ ,  $D_p = 12 \text{ sm}^2/\text{s}$ . Kristalldan o‘tadigan diffuzion tokning yig‘indisi:

$$J_{dif} = J_{difn} + J_{difp} = q_n D_n \frac{dn}{dx} - q_p D_p \frac{dp}{dx} \quad (16.8)$$

Kristalldan o‘tadigan diffuzion va dreyf toklarni birga hisoblaganda ularning qiymati quyidagicha aniqlanadi :

$$J = J_{dp} + J_{dif}. \quad (16.9)$$

## 16.2. Ideal $p-n$ o‘tish va yarimo‘tkazgichli diodlar

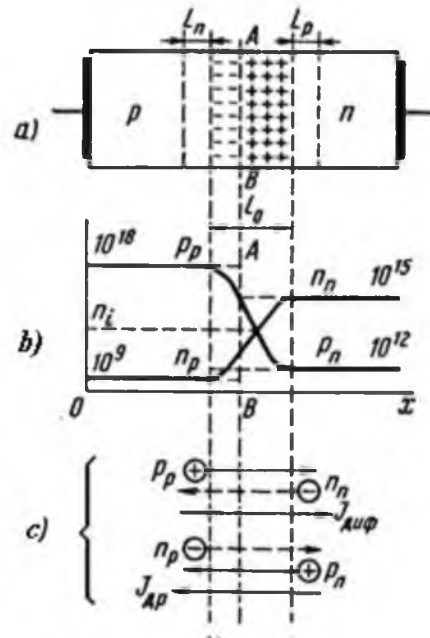
Yarimo‘tkazich asboblarning texnologiyasida qattiq jismlar kontaktlari keng qo‘llanadi. Shulardan asosiysi  $n$  va  $p$  tipdagi materiallarning kontaktlari. Elektr maydoni ta’siri bo‘limganida bu materiallarning kontaktlari natijasida  $n$  – qatlamini chegara doirasida musbat ishorali zaryadlar va  $p$ - qatlamning chegara doirasida manfiy ishorali zaryadlar hosil bo‘ladi. Chegara zaryadlarining yig‘ilishi diffuziya va rekombinatsiya mexanizmlari ta’sirida o‘tadi. Masalan,  $n$  – qatlamni chegarasida musbat ishorali zaryadlar yig‘ilishiga sabablar:

- $p$  – qatlamidagi asosiy tashuvchilar bo‘lgan ( $p_p$ ) kovaklarning diffuziya mexanizmi ta’sirida  $n$  – qatlamni chegara doirasida yig‘ilishi;
- $n$  – qatlamning chegarasi doirasida yig‘ilgan kovaklarni shu doiradagi elektronlari bilan rekombinatsiya natijasida musbat ishorali ionlar hosil bo‘lishi;
- $n$  – qatlamning chegara doirasidan diffuziya orqali chiqib ketgan elektronlar natijasida qolgan musbat ionlar .

Xuddi shu keltirilgan tartibda  $p$  – qatlamning chegara doirasida ham manfiy zaryadlarning yig‘ilishi takrorlanadi. Ya’ni,  $p$  – qatlam chegarasiga manfiy zaryadlar  $n_n$  – larning diffuziya orqali o‘tganligi va manfiy ionlarning  $p$  – qatlamida diffuziya va rekombinatsiya mexanizmlari natijasida hosil bo‘lishi,  $p$  – qatlamining chegara doirasida manfiy zaryadrarning yig‘ilishiga olib keladi.

Shunday qilib  $p$  va  $n$  yarimo‘tkazgichlarning kontakt chegarasi doirasining  $p$  tomonida manfiy va  $n$  tomonida musbat ishorali zaryadlar yig‘iladi. Bu zaryadlar yig‘ilgan hajmi (doirasi)  $p-n$  o‘tishi deb aytiladi. 16.3 – rasmda  $p-n$  o‘tishning hosil bo‘lish sxemasi keltirilgan. Bunda

vertikal o‘qi bo‘yicha  $p$  va  $n$  qatlamlardagi asosiy va noasosiy bo‘lgan tashuvchilarning konsentratsiyasi, gorizontal o‘qi bo‘yicha  $p$  va  $n$  – qatlamlarining kattaligi (masofalari,  $mm$ ) .  $L_n$   $L_p$  - qatlamlardagi kambag‘allashgan hajmining kengligi.

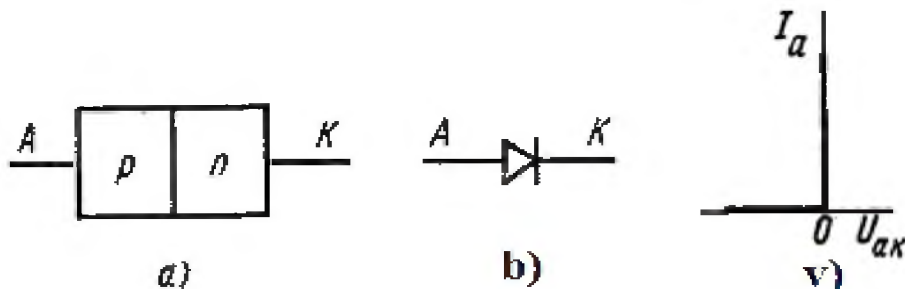


**16.3. – rasm. a)  $p$  -  $n$  o‘tishning hosil bo‘lishi diagrammasi; b)  $p$  -  $n$  o‘tishda tashuvchilarning taqsimlanishi; c) asosiy va noasosiy tashuvchilardan hosil bo‘lgan diffuzion va dreyf toklar.**

Kontaktlar chegarasida  $p$  -  $n$  o‘tishning hosil bo‘lishi yarimo‘tkazgich asboblarini ishlab chiqarishdagi texnologik jarayonida bir - nechta mikrosekundlar davomida amalga oshiriladi. Agar tashqaridan ta’sir qiluvchi kuchlar bo‘lmasa,  $p$  -  $n$  o‘tishlarni potensial holati texnologik sathida (16.3, a - rasmida ko‘rsatilgan  $l_0$  kenglikda) uzoq vaqt davomida saqlanib qoladi. Agar  $p$  -  $n$  o‘tishlarga elektr maydonining kuchlanishi to‘g‘ri ravishda ( $p$  tomonga plus ishorali va  $n$  tomonga minus ishorali) berilsa, unda  $p$  -  $n$  o‘tish qisqarib asosiy bo‘lgan diffuziya toki oshadi. Bu tok diodlardan o‘tadigan to‘g‘ri toklar deb hisoblanadi. Teskari ravishda ( $p$  tomonga minus va  $n$  tomonga plus ishorali) berilgan kuchlanish natijasida  $p$  -  $n$  o‘tish kengayib, diffuziya tufayli asosiy tashuvchilarning o‘tishi man qilinadi. Bu holatda noasosiy bo‘lgan tashuvchilar  $n_p$ ,  $p_n$  hisobiga diodlardan teskari toklar o‘tadi (16.3, c - rasm).

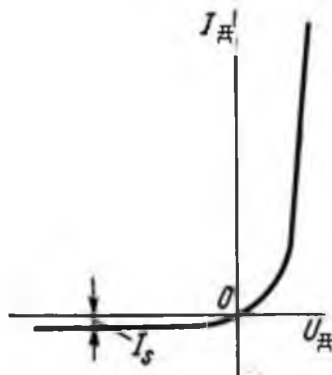
Elektr zanjirlarida elektr tokini bir tomonlama o'tkazuvchi ikki elektrodli elektron asbobi diod deb aytiladi. Yarimo'tkazgichli diodlarda tokni bir tomonga o'tkazishi  $p - n$  o'tishlarning xususiyatiga asoslangan. Ulardagi asosiy tashuvchilarning soni ( $n_n, p_p$ ) noasosiy bo'lgan tashuvchilarning sonidan ( $n_p, p_n$ ) katta bo'lganligi sababli ( $n_n, p_p, \gg n_p, p_n$ ) ko'pchilik amaliy hisoblarda teskari toklarning qiymati nolga teng deb olinadi. Shu bilan elektron sxemalarni hisoblashda diodlar bir tomonga tok o'tkazuvchi asbob deb hisoblanadi.

16.4 - rasmda yarimo'tkazgichli diodning strukturaviy sxemasi, belgisi va ideal volt - amper xarakteristikasi (VAX) keltirilgan. Tahlillarda zaryadlarning chiqish va kirish qatlamlari - emitter qatlami va baza qatlami deb aytiladi. Ideal VAX (16.4, v - rasm) asosan diodlarni kalit rejimida ishlatilganda qo'llaniladi. Bu rejim aksariyat hollarda axborot elektronikasining mantiqiy elementlari bo'lgan va ulardan tuzilgan mikrocxemalarda qo'llaniladi. Bulardan tashqari ideal VAX katta quvvatli elektronika sxemalarida ham qo'llaniladi. Diodlarning ideal VAX rejimida ishlashi - kalitlar rejimi deb aytiladi.



**16.4. - rasm. Diodlarning a) strukturasi, b) belgisi, v) ideal VAX**

Real xarakteristikalarda yarimo'tkazgichli diodlarning ishlashiga bir qancha omillar ta'sir qiladi. Diodlarga to'g'ri yo'nalishda kuchlanish berilganda ( $U_{to\cdot g}$ ) ularning toklariga asosan  $p - n$  o'tishlardagi termogeneratsiya va rekombinatsiya jarayonlari ta'sir qiladi. Berilgan  $U_{to\cdot g}$  - ni past qiymatlarida diodlar tokining zichligiga VAX ning boshlanish qismiga to'g'ri keladi. Bu diapazonda  $p - n$  o'tishi nisbatan keng bo'lgani uchun rekombinatsiya toklari ustuvor bo'lib, diod tokining zichligi kam o'zgaradi. Keyinchalik, kuchlanish  $U_{to\cdot g}$  oshirilishi bilan diffuzion tashkil etuvchi toklar eksponensial qonuni bo'yicha oshib boradi. Diodning real xarakteristikasi 16.5 - rasmda keltirilgan.



### 16.5. – rasm. Diodning real voltamper xarakteristikasi

16.5 - rasm keltirilgan xarakteristika quyidagi analitik shaklda yozilishi mumkin:

$$I_d = I_s [ \exp (qU_d/kT) - 1 ] . \quad (16.10)$$

Agar bu ifodaga yuqorida keltirilgan issiqlik koeffitsiyenti  $\varphi_t = kT/q$  kiritilsa, ifoda (16.10) quyidagicha bo‘ladi:

$$I_d = I_s [ \exp (U_d/\varphi_t) - 1 ] . \quad (16.11)$$

Bu tenglamalar  $p - n$  o‘tishdan o‘tadigan toklarini ulardagи kuchlanish bilan bog‘lovchi yarimo‘tkazgich diodlarning asosiy tenglamasi hisoblanadi. Keltirilgan ifodalardan ko‘rinib turibdiki, diodlarning toki teskari tok  $I_s$  va eksponenta shaklida o‘zgaruvchi diffuziya toki bilan aniqlanadi.

Teskari tok  $I_s$   $p - n$  o‘tishdagi fizik jarayonlarga bog‘liq. U quyidagi toklarning yig‘indisi bilan aniqlanadi :

$$I_s = I_0 + I_g + I_{u,t} , \quad (16.12)$$

bunda :  $I_0$  - diodlardagi  $p - n$  o‘tishdan tashqari hajmida generatsiya natijasidagi hosil bo‘lgan zaryadlar toklari ;

$I_g$  -diodlardagi  $p - n$  o‘tish hajmida generatsiya natijasidagi hosil bo‘lgan zaryadlar toklari ;

$I_{siz}$  - diodlardagi sizish toklari ( $p - n$  o‘tishni chetlab, ularning yuzasidagi ifloslangan qatlamidan qo‘shni qatlamga sizib o‘tuvchi toklar).

Keltirilgan (16.12) ifodada toklarning yig‘indisi diodlar uchun ruxsat etilgan teskari kuchlanish  $U_{tes.ruxs}$  - gacha qo‘llanilishi mumkin. Agar berilgan kuchlanish  $U_{tes.rux}$  teshilish kuchlanishidan katta bo‘lsa ( $U_{tes} > U_{tes.ruxs}$ ), unda  $p - n$  o‘tishda issiqlik va elektr teshilish jarayonlari boshlanadi.

**Issiqlik teshilish** katta  $U_{tes}$  ta’sirida kengaygan  $p - n$  o‘tishdagi termogeneratsiya jarayoni natijasida paydo bo‘ladi. Bu teshilishda  $p - n$  o‘tishning harorati oshib ketib, uning erib ketishiga olib keladi. Issiqlik teshilishdan keyin  $p - n$  o‘tish o‘z xususiyatini yo‘qotadi.

**Elektr teshilishi** to‘xtovsiz oqim “lavina” va “tunnel” mexanizmlariga asoslangan. Lavinali teshilishlar  $p - n$  o‘tishdagi zaryadlarining tezligi oshishi bilan ular atomlarning ionlashtirishi natijasida qo‘srimcha zaryadlarning soni to‘xtovsiz oshishi bilan o‘tadi. Lavinali teshilish keng bo‘lgan  $p - n$  o‘tishlarda uchraydi, chunki bularda teskari kuchlanish ko‘payishi bilan zaryadlarning tezligi ham oshadi. Tunnelli teshilish valent elektronlarini bevosita katta teskari berilgan elektr maydoni ta’sirida kristallik panjaraning atomlaridan sug‘urib olish bilan o‘tkaziladi.

Elektr teshilishlardan keyin  $p - n$  o‘tish o‘z xususiyatini tiklab olish imkoniyatiga egadir.

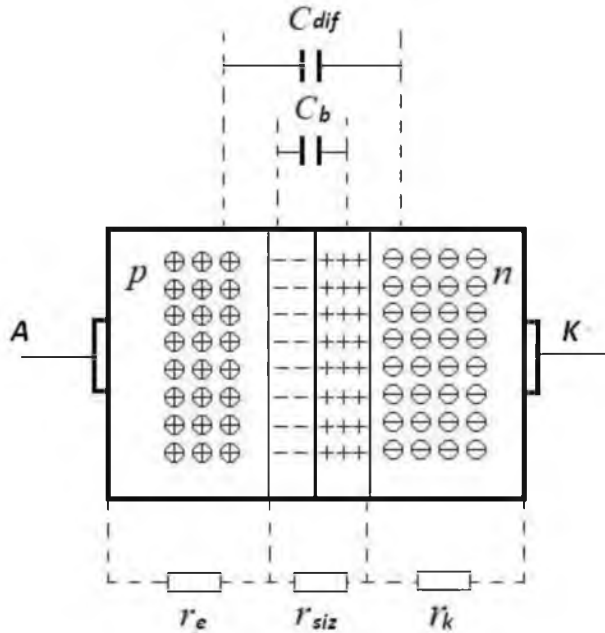
### 16.3. Diodlarning parametrlari, xarakteristikalari va almashuv sxemalari

Diodlarning qatlamlarida va  $p-n$  o‘tishida, zaryadlarning taqsimlanishiga ko‘ra, bir nechta ichki parametrlarni ajratish mumkin. Bu parametrlar elektr zanjirlar parametrlariga o‘xhash bo‘lishi mumkin yoki issiqlik va boshqa fizik jarayonlarni tavsiflaydigan parametrlar bo‘lishi mumkin.

Elektr parametrlarining o‘xhashlariga diodlarning quyidagi parametrlari kiradi (16.6 - rasm):

- baza va emitter qatlamlarining aktiv qarshiliklari  $r_b$ ,  $r_e$  (Om);
- sizish qarshiligi  $r_{siz}$  (Om);
- metall - yarimo‘tkazgich orasidagi kontakt qarshiligi  $r_k$  (Om);
- diodlarning differensial qarshiligi  $r_d$  (Om);

- baryer va diffuzion sig‘imlar  $C_b$ ,  $C_{dif}$  (mkF).



### 16.6 - rasm. Diodlarning ichki parametrlari

**Baza qatlamining qarshiligi ( $r_b$ )** baza qatlamidagi tashuvchilar konsentratsiyasi bilan aniqlanadi. Emitter qatlamidagi tashuvchilarning konsentratsiyasi bazanikidan kattaligi uchun  $r_b \gg r_e$  bo‘ladi. Natijada  $p-n$  o‘tishning kengayishi yoki qisqarishi baza qatlami tomonida ko‘proq o‘zgaradi. Bu o‘zgarish baza qatlamining modulyatsiyasi deyiladi. Modulyatsiya ta’sirida  $r_b$  quyidagi ifoda bilan aniqlanadi.

$$r_b = \rho_b \cdot \frac{d}{S} \quad (16.13)$$

bunda:  $d$  - bazaning kengligi;  $S$  –baza qatlamining kesimi;  $\rho_b$  - baza materialining solishtirma qarshiligi.

Aniqlangan  $r_b$  baza qatlamining kuchlanishiga ta’siri:

$$U_b = I_b \cdot r_b \quad (16.14)$$

Bu tenglama diodning asosiy (16.11) - dagi tenglamasiga kiritilmagan. Agar kiritilsa, diodlarning asosiy tenglamasi quyidagi ifodaga keltiriladi:

$$I_d = I_s [ \exp ( U_d - I_b \cdot r_b ) / \varphi_t ] - 1 \quad (16.15)$$

**Emitter qatlamning qarshiligi ( $r_e$ )** bazaning qarshiligi  $r_b$  - ga nisbatan kam o‘zgaradi, chunki undagi modulyatsiya effekti bazanikiga

nisbatan sezilarsiz darajada o‘zgaradi. Amaliy hisoblarda uning qiymati o‘zgarmas deb olinadi.

**Sizish qarshiligi** ( $r_{siz}$ ) turli faktorlar bilan aniqlanadi:  $p-n$  o‘tish yuzasining iflosligi;  $p-n$  o‘tishni tayyorlashdagi texnologik xatoliklar, ayrim elektron asboblarda sun’iy kiritilgan aktiv sizishlar.

**Kontakt qarshiliklar** ( $r_k$ ) elektron sxemalarni hisoblashda deyarli hisobga olinmaydi, chunki baza qatlamaiga past tezlikda kirgan tashuvchilar kontakt chegarasiga yetmasdan rekombinatsiyaga uchraydi. Tezligi katta bo‘lib, kontakt chegarasiga yetgan tashuvchilar qarshilikka uchramasdan metall qatlamidan o‘tib ketadi.

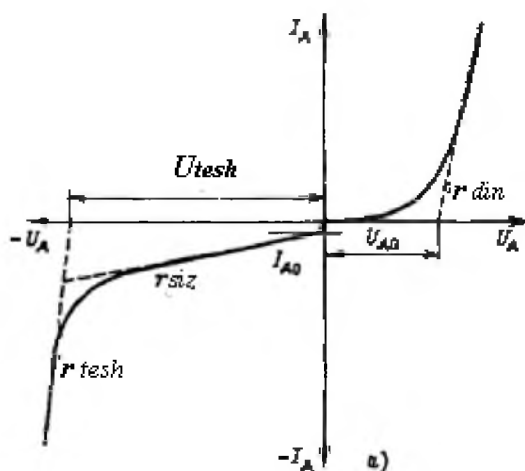
**Differensial qarshiliklar** ( $r_{dif}$ ). Diodlarga berilgan kuchlanish baza qatlami va  $p-n$  o‘tish orasida taqsimlanadi. Toklarning qiymati kichik bo‘lganda kuchlanishning assosiy qismi  $p-n$  o‘tishda ajratiladi, baza qatlamidagi kuchlanish bu holatda, kichkina bo‘lganligi sababli, inobatga olinmaydi. Katta toklarda esa  $p-n$  o‘tishning kengligi imkon boricha kamayadi va undagi kuchlanish o‘zgarmasdan qoladi. Bunda baza qatlamida hosil bo‘lgan kuchlanish to‘g‘ri chiziqli qonun bo‘yicha oshadi. Diodning differensial qarshiligi deb shu to‘g‘ri chiziqli xarakteristikaning qiyalik burchagi bilan aniqlanuvchi qarshilikka aytildi.

**Baryer sig‘imi** ( $C_b$ )  $p$  va  $n$  qatlamlari chegara doirasida yig‘ilgan asosiy tashuvchilar va ionlarning to‘planishi natijasida hosil bo‘ladi. Baryer sig‘imining elektr analogi sifatida plastinalarda manfiy va musbat ionlar yig‘ilgan oddiy kondensator elementi deb qarash mumkin. Bunda  $p-n$  o‘tishning kengayishi xuddi kondensatorlar plastinalarining oraliq masofalari kengayishiga o‘xshab baryer sig‘imining kamayishiga olib keladi. Demak, to‘g‘ri kuchlanish berilganda  $p-n$  o‘tishning kengligi qisqarib, uning baryer sig‘imi oshadi. Ko‘pchilik diodlarning baryer sig‘imi o‘nlar va yuzlar pikofaradlarni tashkil etadi.

**Diffuzion sig‘im** ( $C_{dif}$ )  $p-n$  o‘tishlarga kuchlanish berilganda ularning chap va o‘ng tomonlarida elektron va kovak zaryadlarining yig‘ilishi natijasida hosil bo‘ladi. Bu jarayon diffuziya mexanizmi orqali  $p-n$  o‘tishdan to‘g‘ri ravishda o‘tgan toklarning qiymatiga bog‘liq bo‘lib, yuzlar va minglar pikofaradlarni tashkil etadi. Bu qiymatlardan diffuzion sig‘imning baryer sig‘imidan bir qancha katta bo‘lganligi ( $C_{dif} > C_b$ ) ko‘rinib turibdi.

Shunday qilib  $p-n$  o'tishlardagi sig'imlar to'g'ri ravishda berilgan kuchlanishda asosan diffuzion sig'imlar ( $S_{dif}$ ) bilan va teskari berilgan kuchlanishda baryer sig'imi ( $C_b$ ) bilan aniqlanadi.

**Diodlarning xarakteristikalari va almashuv sxemalari.** Yuqorida keltirilgan kalit rejimida ishlaydigan diodlarning (16.4 - rasm) va nochiziq xarakteristikaga ega bo'lgan diodlarning VAX - lari 16.5- rasmida keltirilgan. Aksariyat sxemalarni hisoblashda diodlarning nochiziq xarakteristikalarini approksimatsiya qilish natijasida chiziqli VAX- ga aylantiriladi (16.7 - rasm). Chiziqlashtirilgan modellarda ham xuddi nochiziq modellarga o'xshab uchta rejimga ajratish mumkin: o'tkazish rejimi; uzilish (uzgich) rejimi; teshilish rejimi.



**16.7-rasm. Diodlarning chiziqli approksimatsiya qilingan xarakteristikasi**

Bu rejimlarda statik VAX- lar quyidagi ifodalar bilan aniqlanadi:

O'tkazish rejimida ( $U_d > U_{d0}$ )

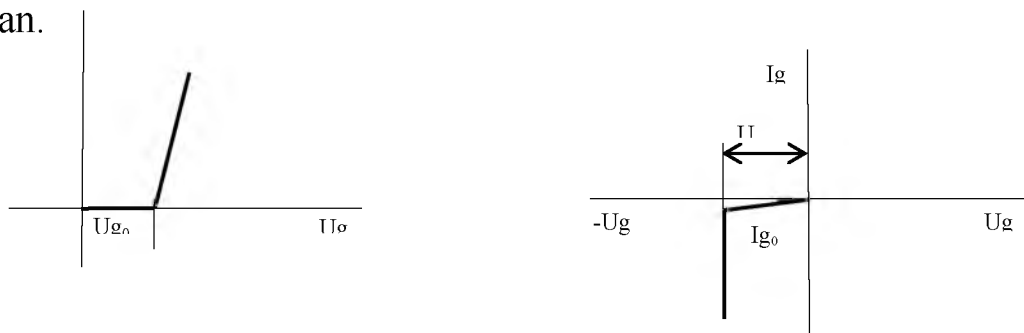
$$U_d = U_{d0} + I_d r_{din}, \quad (16.16)$$

Uzilish rejimida ( $-U_{prob} < U_d < U_{d0}$ )

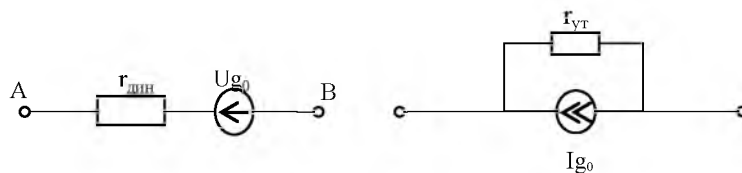
$$U_d = -I_d r_{ut} + I_{d0} r_{ut} \quad (16.17)$$

Keltirilgan (16.16) tenglama chiziqli approksimatsiya qilingan VAX larning to'g'ri berilgan kuchlanishdagi rejimini aniqlaydi. Ularning ta'sir qiluvchi  $U_d$ -ning chegarasi  $0 < U_d < U_{d0}$  intervali bilan belgilanadi. Keltirilgan (16.17) tenglamaga uzilish rejimi aniqlanadi. Uning chegarasi  $-U_{tesh} < U_d < 0$  intervali bilan belgilanadi.

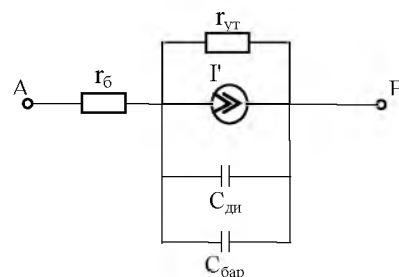
Bu tenglamalar bo'yicha tuzilgan VAX lar 16.8 - rasmda va ularning elektr sxemalari shaklida keltirilgan almashuv sxemalari 16.9 - rasmda keltirilgan.



**16.8-rasm. Diodlarning to'g'ri va teskari xarakteristikalarining approksimatsiyalangan shakli**



**16.9 - rasm. Diodlarning approksimatsiya qilingan xarakteristikalarining ekvivalent sxemalari**



**16.10 - rasm. Diodlarning approksimatsiya qilingan dinamik ekvivalent sxemalari**

Diodlarning dinamik xususiyatlari 16.9 - rasmda keltirilgan. Statik modellarga baryer va diffuzion sig'implari qo'shilishi bilan diodlarning ekvivalent elektr sxemasi 16.10- rasmda keltirilgan.

#### **16.4 Diodlarning turlari va ulanish sxemalari**

Turli sxemalarda qo'llanishi bo'yicha yarimo'tkazgichli diodlarni quyidagicha ajratish mumkin: kichik, o'rtacha va katta quvvatli to'g'rilagich

diodlari; impuls diodlari; stabilitronlar; tunnel diodlari; foto va yorug'lik diodlari. Bulardan tashqari boshqariluvchi sig'imlar vazifasini bajaruvchi maxsus diodlar (varikaplar) va integral sxemalarda rezistor, sig'im va boshqa elementlar vazifasini bajaruvchi -*p-n* o'tishlar.

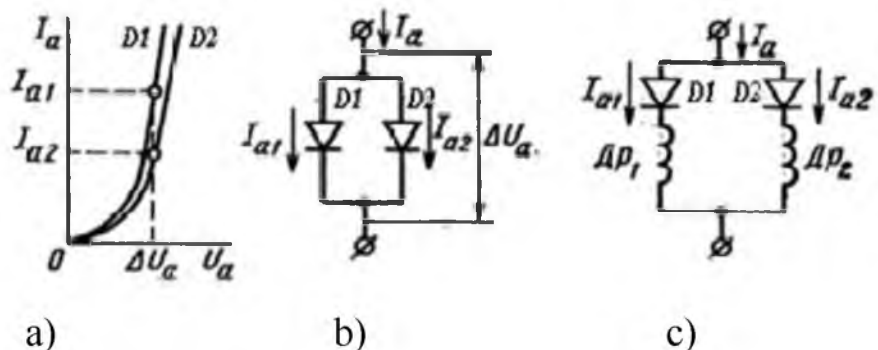
**To'g'rilaqich diodlari** past chastotalarda ishlashga mo'ljallangan elementlar bo'lib, ma'lumotnomalarda ularning parametrlaridan ruxsat etilgan va maksimal toklari, teskari kuchlanishi, ishlash chastotasi, *p-n* o'tish harorati ko'rsatiladi. Bu parametrlar kremniy va germaniy diodlari uchun keskin farq qiladi.

To'g'rilaqich diodlarning 300 mA gacha bo'lganlari - kichik quvvatli, 10 A bo'lganlari - o'rtacha quvvatli va 10 A dan yuqорisi - katta quvvatli dioddan hisoblanadi. Teskari kuchlanishi bo'yicha guruhlarga ajratish uchun ularning belgilarining oxirida A harfidan boshlab boshqa harflar qo'yiladi. Masalan (D213A, D213 E va h.k.). Bunda alfavitning har bir keyingi harfi diod kattaroq kuchlanishga mo'ljallanganligini bildiradi.

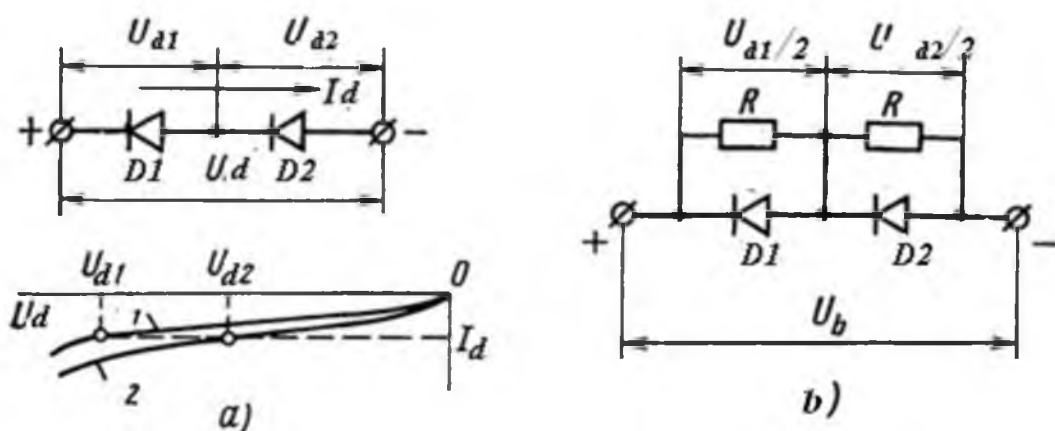
O'rta va katta quvvatli qurilmalarda diodlarni sovutish uchun maxsus moslamalar - radiatorlar qo'llaniladi. Radiatorlar tabiiy yoki sun'iy usullar bilan sovutilishi mumkin. Sun'iy sovutishda ventilyatorlar yoki maxsus suyuqlik kanallari orqali sovutiladi.

To'g'rilaqichlarda diodlardan o'tadigan toklarning qiymatlarini oshirish uchun bir nechta diodlar parallel ulanadi va ruxsat berilgan teskari kuchlanishni oshirish uchun bir nechta diodlar ketma - ket ulanadi. Birinchida diodlarning barobar ochilishi uchun har bir diodga kichkina bo'lgan ketma - ket aktiv qarshiliklar yoki induktivliklar ulanadi. Ikkinchisida esa ketma-ket ulangan diodlardagi katta kuchlanishni tekis taqsimlash uchun har bir diodga parallel qilib katta qarshilik ulanadi. Parallel va ketma - ket ulangan diodlarning xarakteristikalari va sxemalari 16.11- va 16.12 - rasmlarda keltirilgan.

**Impulsli diodlar** - sanoat elektronikasi, avtomatika va axborot texnologiyalari qurilmalarida ko'p qo'llanadigan elementlar hisoblanadi. Ular asosan kalit rejimida ishlatiladi. Ochiq holatdan yopiq holatga o'tish vaqtin bilan necha nanosekundlardan to yuzlab nanosekundlargacha bo'lishi mumkin. Texnologik jarayonlarda ochilish va yopilish vaqtini kamaytirish baza qatlaming yuzasini kamaytirish bilan erishiladi.



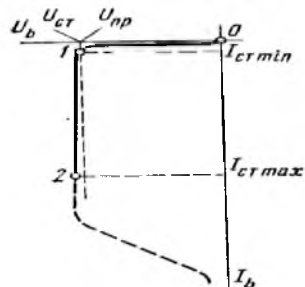
### **16.11 - rasm. Parallel ulagan diodlarning xarakteristikalari va sxemalari.**



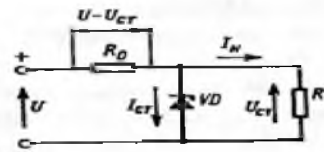
## **16.12 - rasm. Ketma – ket ulangan diodlarning xarakteristikalari va sxemalari**

**Stabilitronlar** - teshilish rejimida teskari toklari keskin oshib ketishi bilan boshqa diodlardan ajralib turadi. Bunda toklarni chegaralovchi element bo‘lmasa, elektr teshilish issiqlik teshilishiga o‘tib, stabilitron strukturasi buziladi.

16.13 *a* - rasmida keltirilgan VAX -da stablitronlarning toklari  $I_{st, min}$  dan  $I_{st, max}$  gacha o'sishi ko'rsatilgan va 16.13 *b* - rasmida stabilitronlarning sxemalarga ulanishi keltirilgan. Bu sxemada chiqishdagi kuchlanish stabilitronning teshilish kuchlanishi ( $U_{tesk, tesh}$ ) bilan aniqlanadi, stabilitronning toki esa qarshilik  $R_{cheg.}$  bilan chegaralanadi.



a)

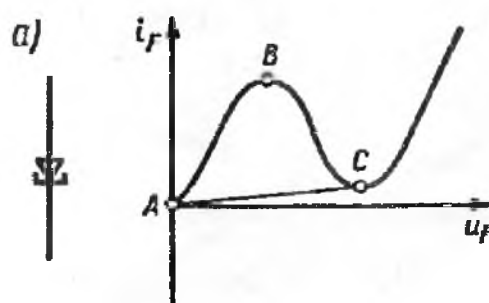


b)

**16.13 - rasm.** a) stabilitronning teskari xarakteristikasi; b) ulanish sxemasi

**Tunnel diodlar**  $p$  va  $n$  qatlamlardagi tashuvchilar yuqori darajali konsentratsiyaga ega bo‘lgan materiallardan ishlab chiqiladi. Bu turdagи materiallarda  $p-n$  o‘tishlarning kengligi juda qisqa bo‘lib, ularning tashuvchilari qo‘shni qatlamga o‘tishi uchun energiya sarf qilinmaydi (yoki minimal energiya sarf qilinadi). Bu effekt tunnel effekti deyiladi va uning asosida tuzilgan diodlar tunnel diodlari deb ataladi.

Tunnel diodlar VAX - larining ayrim intervallarida tashqaridagi energiya ta’siri bo‘lmagan holda ham tashuvchilar generatsiya qilinishi mumkin. Bu intervallar manfiy qarshilikka ega bo‘lgan intervallar hisoblanadi. 16.14 - rasmida tunnel diodining keltirilgan xarakteristikasida manfiy qarshiliklar intervali A va V nuqtalar bilan belgilangan.



**6.14 - rasm.** Tunnel diodining volt-amper xarakteristikasi

**Varikaplar** boshqariladigan sig‘imlar sifatida chastotaviy tebranuvchi konturlarda, chastotaviy modulyatorlarda, chastotaviy ko‘paytirish va bo‘lish sxemalarida va h.k. qo‘llaniladi. Ishlash prinsipi ularning  $p-n$  o‘tishidagi sig‘imining anod - katodga berilgan kuchlanish bilan boshqarilishiga

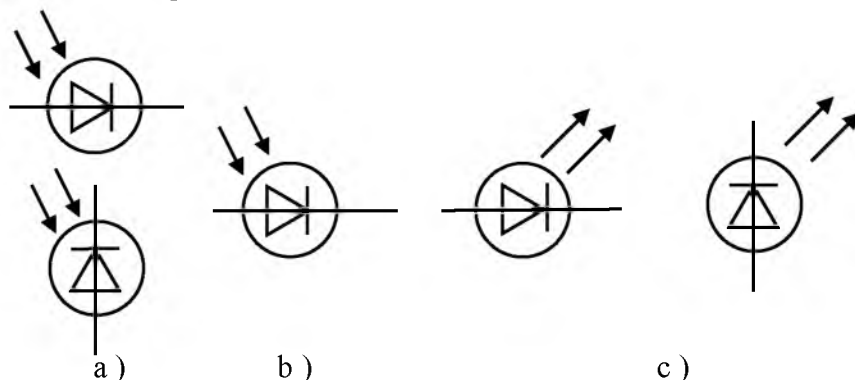
asoslangan. Varikaplarning *p-n* o‘tishidagi sig‘imi oddiy diodlarning sig‘imlaridan sezilarli katta bo‘ladi.

**Fotoelektrik asboblar** - yarimo‘tkazgich materiallarining optik nurlari ta’siridagi effektlar asosida ishlaydigan asboblardir. Nurlar ta’sirida yarimo‘tkazgichlarda issiqlik yoki fotoelektrik jarayonlari amalgalashiriladi. Issiqlik ishlab chiqarish jarayonlarining asosida termoelementlar va fotoelektrik jarayon asosida esa fotodiodlar, foterezistorlar, fototranzistorlar va boshqa fotoelementlar ishlab chiqariladi.

**Fotodiodlar** - *p - n* o‘tishga yorug‘lik tushishi natijasida elektr tokini o‘tkazish xususiyatiga ega bo‘lgan fotoelementlarning bir turi. Ularning atomlariga tushgan yorug‘likning yutilishi natijasida elektron - kovak juftliklar generatsiya qilinib, natijasida dioddan tok o‘tadi.

**Yorug‘lik diodlari** - elektrodlarga berilgan kuchlanish natijasida yorug‘lik hosil qiluvchi fotoelementlar. Yorug‘liklar yarimo‘tkazgich elementlarining atomlaridagi elektronlarning yuqori sathidan pastki sathga o‘tishi natijasida foton shaklidagi energiyani ajratib chiqadi.

16.15 - rasmda fotodiod va yorug‘lik diodlarining sxemalarda belgilanishi keltirilgan.



16.15 – rasm. Fotodiod va yorug‘lik diodlarining belgilanishi.

a – fotodiod; b – fotodinistor; v – yorug‘lik diodi

Zonalar nazariyasida foto va yorug‘lik diodlarining effektlariga quyidagicha tushuntirish beriladi: atomning yadrosi atrofida ma’lum bir masofada (energetik zonada) aylanuvchi elektron juftliklar ma’lum bir energiyaga ega. Agarda yorug‘lik energiyasi ta’sirida valent elektronlar qo’shimcha energiya qabul qilib, erkin harakatlanish zonasiga o’tsalar, unda yarimo‘tkazgich materiali o‘tkazuvchanlik xususiyatiga ega bo‘lib, elektr tokini o‘tkazadi (fotoeffekt, yorug‘lik diod).

Agar yorug‘lik ta’sirida elektronlar valent sathidan pastki sathga o’tsa, unda atomlarda qo‘sishimcha energiya hosil bo‘lib, ular fotonlar shaklida yorug‘lik energiyasiga aylanadi. Fotonlarning energiyasi yorug‘liklarning spektrlarini aniqlaydi.

Yorug‘lik energiyasining tarqatilishi yoki yutilishi yarimo‘tkazgichlarning qo‘sishimcha elementlariga bog‘liq. Masalan, yorug‘lik diodlar uchun asosiy materiallar sifatida galliy arsenidi GaAs, galliy fosfidi GaP, kremniy karbidi SiC va boshqa ikki qo‘simali materiallar qo‘llanadi.

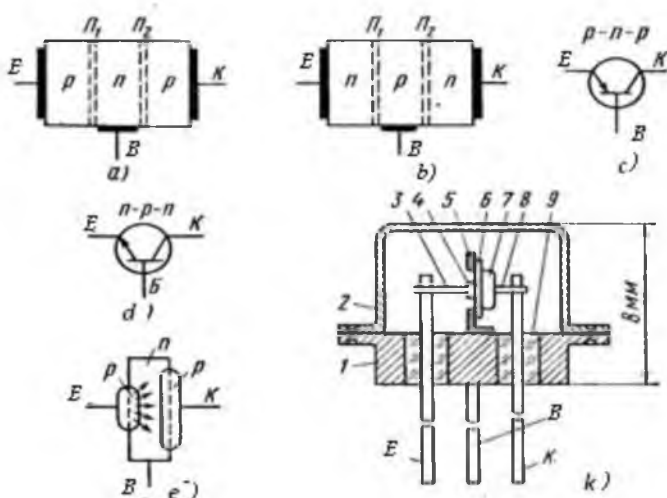
### Nazorat savollari

- 1) Materiallarning o‘tkazuvchanlik hususiyatlari nimalarga bo‘g‘lik?
- 2) Teshikli toshuvchilarni hosil bo‘lish mexanizmini ta’riflang;
- 3) Kantaktlarda p-n o‘tishning hosil bo‘lishini ta’riflang ;
- 4) Nima uchun diodlar teskari yo‘nalishda tok o‘tkazmaydi ?
- 5) Diodlarning xarakteristikasini ta’riflang;
- 6) Diodlarning qanday parametrlarini bilasiz ?
- 7) Diodlarning cniziqli va nochisik ekvivalent sxemalarini chizib ko‘rsating;
- 8) Diodlarni parallel va ketma- ket ulanishdagi xususiyatlarini ta’riflang;
- 9) Fotodindlarning xususiyatlarini ta’riflang;
- 10) Optoelektron juftliklari konday tashkil kilinadi?

## 17. TRANZISTORLAR

### 17.1 Bipolyar tranzistorlarni strukturalari va ishlash prinsipi

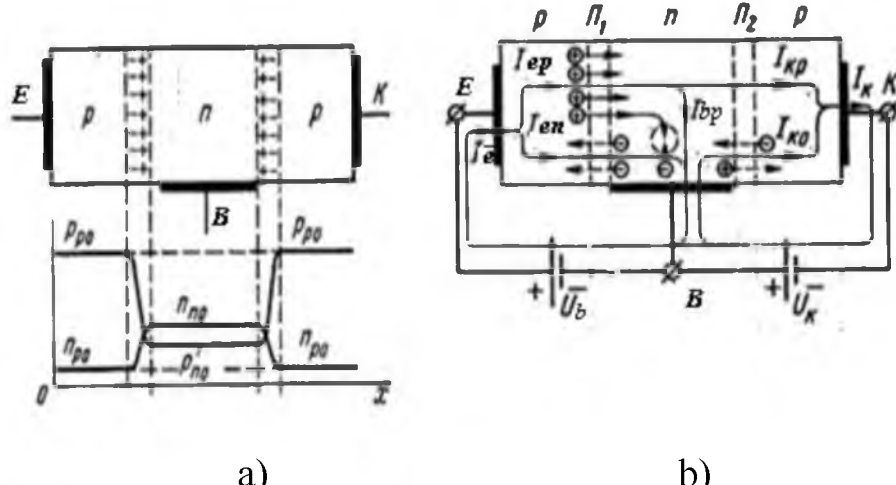
Bipolyar tranzistor (BT) - uch qatlamlili  $p$  va  $n$  tipdagi yarimo'tkazgichlarni ketma - ket birlashtirish natijasida ikkita  $p$  -  $n$  o'tishli tashkil qilingan strukturali elektron asbobidir. Qatlamlarda yarimo'tkazgichlarning birlashtirish ketma - ketligiga ko'ra BT - ning  $p$  -  $n$  -  $p$  va  $n$  -  $p$  -  $n$  strukturalari mavjud. Ularning tuzilishi, konstruksiyasi va sxemalarda belgilanishi 17.1 – rasmda keltirilgan.



17.1 – rasm. BT laning strukturalari: a) p-n-p tipdagi; b) n-p-n tipdagi; c,d) sxemalarda belgilanishi , e,k) konstruksiylariasi

Rasmlarda har bir tranzistorda uchta chiqish elektrodlari ko'rsatilgan. Bular: emitterlar (E) - asosiy zaryadlarning chiqish elektrodlari; kollektorlar (K) - emitterdan chiqqan zaryadlarning tortib oluvchi (yutuvchi) elektrodlar; bazalar (B) – emitterdan chiqib, kollektorga yetib keluvchi zaryadlarning sonini boshqaruvchi elektrodlar.  $\Pi_1$  va  $\Pi_2$  - emitter va kollektordagi  $p$  -  $n$  o'tishlar.

Elektrodlarga ta'sir qiluvchi kuchlar bo'limganida  $p$  va  $n$  qatlamlaridagi zaryad tashuvchilarning konsentratsiyalari o'zgarmasdan qoladi. 17.2, a – rasmda ularning qatlamlar va  $p$  –  $n$  o'tishlarda taqsimlanishi ko'rsatilgan.



**17.2 – rasm: a) zaryadlarning qatlamlarda taqsimlanishi; b) to‘g‘ri kuchlanish berilishdagi toklarning yo‘nalishi**

Strukturasi  $p - n - p$  tipdagi tranzistorlarga to‘g‘ri yo‘nalishda kuchlanish berilganida emitterdan chiquvchi plyus ishorali teshik tashuvchilar diffuziya mexanizmi orqali bazaga va bazadan chiqadigan elektron tashuvchilar emitterga o‘tadi. Bu o‘tishda kuchlanish  $U_{eb}$  kam bo‘lganligi sababli dreyf toki inobatga olinmaydi. Shuning uchun ham quyidagi tenglama o‘rinli bo‘ladi:

$$I_e = I_{ep} + I_{en}, \quad (17.1)$$

bunda:  $I_{ep}$  – teshiklarning emitterdan baza tomon harakatida hosil bo‘lgan tok. Berilgan kuchlanishlar yetarli darajada bo‘lganida teshiklarning asosiy qismi kollektorga yetib borib, bu tok tranzistorning kollektor toki deb aytildi.

$I_{en}$  - elektronlarning bazadan emitter tomoniga harakati natijasida hosil bo‘lgan tok. Bular baza zanjiri bo‘ylab ulanib, kollektor toklarni boshqarishda ishtirok etmaydi.

Baza zanjiri orqali ulanadigan toklarning yana bittasi, bu emitterdan chiqadigan teshik tashuvchilarning bir qismini baza qatlamidagi elektronlar bilan rekombinatsiya natijasidagi hosil bo‘ladigan toklar, 17.2 b - rasmida bu toklar  $I_{bp}$  bilan belgilangan bo‘lib, ular uchun quyidagi ifoda o‘rinli :

$$I_{ep} = I_{kp} + I_{bp}. \quad (17.2)$$

bunda :  $I_{kp}$  - teshiklarning  $\Pi_2$  chegarasiga yetib borgan va  $\Pi_2$  - ning maydoni ta’sirida kollektorga o‘tkazilgan qismini tashkil qiladi.

Teshik tashuvchilari asosidagi kollektor toki emitter toki bilan uzatish koeffitsiyenti  $\alpha$  orqali bog'langan

$$\alpha = I_{kr} / I_e \quad (17.3)$$

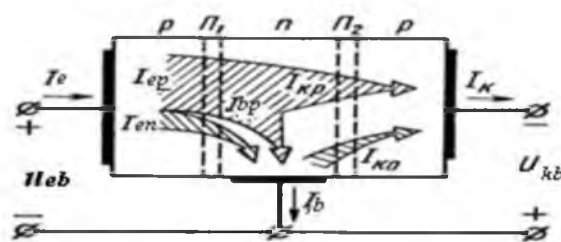
Bu ifodadan  $\alpha$  birga yaqinlashgan sari, kollektorga yetib keluvchi tashuvchilarning soni oshib borishi ko'rinish turibdi.

17.2, b - rasmda teskari ulangan  $P_n-p-n-p$  o'tish chegarasidagi issiqlik ta'sirida dreyf mexanizmi orqali bazadan kollektorga o'tuvchi zaryadlardan hosil bo'lgan issiqlik toki  $I_{ko}$  keltirilgan. Bu tokni hisobga olganda

$$I_k = I_{kr} + I_{ko}, \quad (17.4)$$

Keltirilgan toklarning hisobiga baza toki  $I_b$  - elektron tashuvchilar asosidagi toklar  $I_{en}$ , teshiklarning rekombinatsiya asosidagi toklar  $I_{bp}$  va issiqlik asosidagi toklar  $I_{ko}$  - larning yig'indisiga teng (17.3 rasm).

$$I_b = I_{en} + I_{bp} - I_{ko}, \quad (17.5)$$



### 17.3 -rasm Tranzistor toklarining diagrammalari

Keltirilgan ifodalardan ko'rinish turibdiki tranzistorlarning boshqarilishiga kollektor toki  $I_k$  - ning o'zgartirish natijasida erishiladi. Bu jarayon emitter tokining teshik tashuvchi qismi  $I_{ep}$  - ni o'zgarishiga bog'liq bo'lganligi sababli BT- lar tok bilan boshqariluvchi elektron asboblar hisoblanadi.

Tranzistolarning elektrodlaridagi asosiy toklarning bir - biri bilan uzatish koeffitsiyenti  $\alpha$  orqali quyidagi ifodalar bilan bog'lanadi:

$$I_e = I_k + I_{b.}, \quad (17.6)$$

$$I_k = \alpha I_e + I_{ko}, \quad (17.7)$$

$$I_b = (1-\alpha)I_e - I_{ko}. \quad (17.8)$$

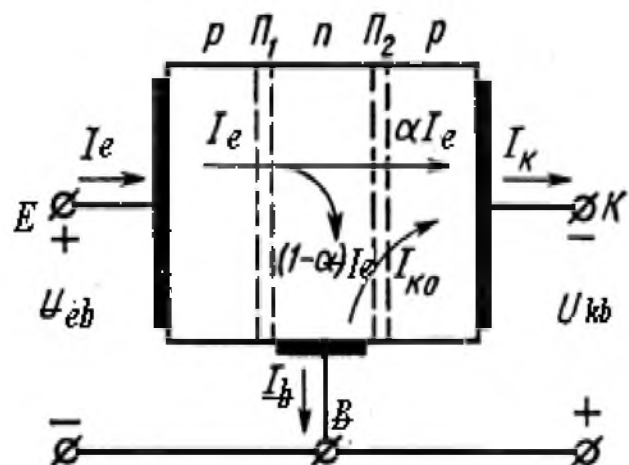
Shunday qilib bipolyr tranzistorlarning ishlash prinsipi emitterdan chiqqan tashuvchilarni baza qatlami orqali kollektorga yetkazib berish va bu tashuvchilarni o'tish natijasidagi hosil bo'lgan kollektor toki  $I_k$  - ning emitter toki  $I_{er}$  o'zgartirish natijasida boshqarishga asoslangan.

## 17.2. Bipolyar tranzistorlarning xarakteristikalarini, ekvivalent va ulanish sxemalari

Strukturasi  $p-n-p$  asosidagi tranzistorlarning statik volt-amper xarakteristikalarini ko'rib chiqamiz. Tranzistorlarda elektrodlarining soni uchta bo'lganligi sababli ularda uchta ulanish sxemasi bo'lishi mumkin. Bular: umumiy baza bilan ulanish (UB), umumiy emitter bilan ulanish (UE) va umumiy kollektor bilan ulanish (UK) sxemalaridir. Bu sxemalar elektrodlarning qaysi biri kirish va chiqish signallariga nisbatan umumiy nuqtaga ulanganligi bilan aniqlanadi. UB sxemalarida - baza elektrodi, UE sxemalarida – emitter elektrodi va UK sxemalarida – kollektor elektrodi umumiy elektrod hisoblanadi.

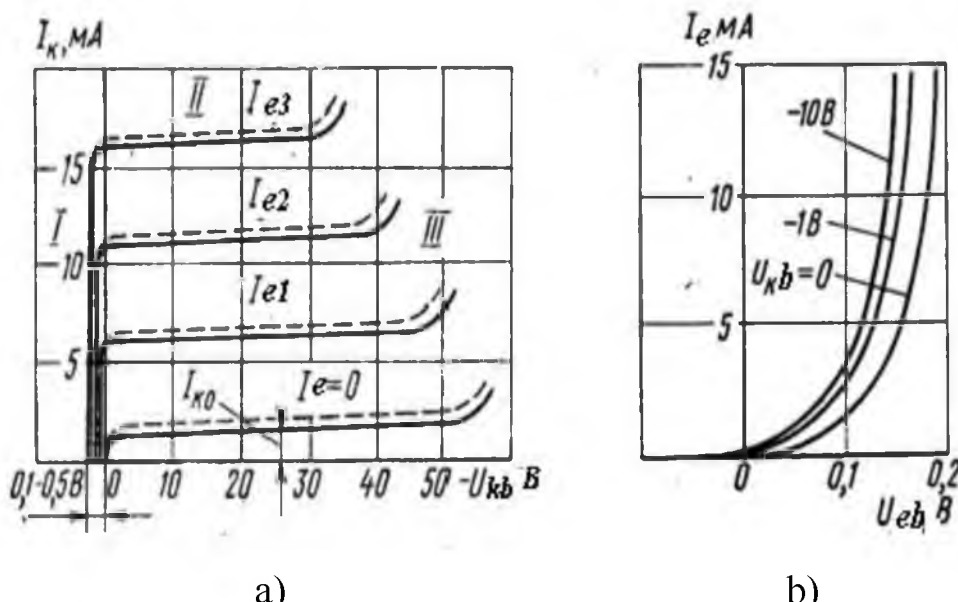
Statik VAX - ni qurish uchun keltirilgan uch sxemaning har bittasi uchun ekvivalent almashuv sxemasi tuzilib, Om va Kirxgoff qonunlari asosida ularning kirish va chiqishdagi tok va kuchlanishlari aniqlanadi. UE va UK sxemalarida fizik jarayonlar va xarakteristikalar o'xshashligi tufayli faqat UB va UE sxemalarning VAX larini ko'rib chiqamiz.

**UB bilan ulangan  $p-n-p$  tranzistorning sxemasi** 17.4 - rasmda, kirish va chiqish xarakteristikalarini 17.5 a, b – rasmlarda keltirilgan.



17.4 - rasm. UB bilan ulangan  $p-n-p$  tranzistorning sxemasi.

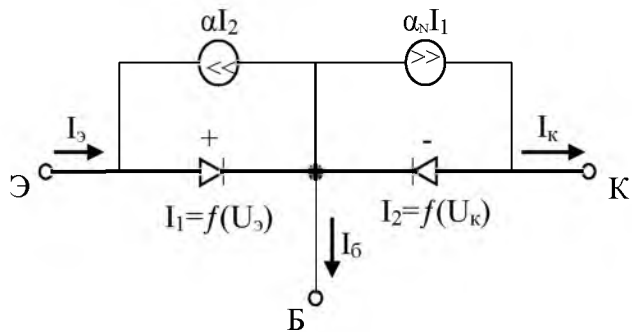
17.5, a – rasmdan chiqish xarakteristikasi uchta rejim bilan chegaralanganligi ko‘rinib turibdiki : I - aktiv rejimi, ya’ni kollektor toki  $I_k$  - ni kuchlanish  $U_{kb}$  ta’sirida keskin o‘sish rejimi (bu rejimda tranzistor nochiziq xarakteristikaga ega); II – to‘yinish rejimi, ya’ni kollektor toki  $I_k$  kuchlanish  $U_{kb}$  ta’sirida deyarli o‘zgarmaydigan rejimi; III – kollektor  $p-n$  o‘tishining teshilish rejimi.



**17.5 - rasm. UB bilan ulangan  $p-n-p$  tranzistorning a) chiqish; b) kirish xarakteristikalari**

17.5, a – rasmdagi aktiv rejimda VAX parametrlarining  $I_k$  o‘qidan chap tomonga siljishi ko‘rsatilgan. Bunga sabab - tashqaridan berilgan kuchlanish  $U_{kb} = 0$  bo‘lganda unga teskari bo‘lgan ichki potensiali  $\varphi_0$  ta’sirida bazadan kollektor tomoniga o‘tuvchi tashuvchilar mavjudligi. Demak  $I_e > 0$  va  $U_{kb} = 0$  bo‘lganida  $I_k > 0$  bo‘lishi tabiiy holat hisoblanadi. Kollektor tokining  $I_k = 0$  bo‘lishi uchun aktiv rejimda  $U_{kb} < 0$  bo‘lishi talab qilinadi.

VAX – da ko‘rsatilgan har bir chegaralangan rejim uchun tranzistorlarning ichki parametrlari ularning “T” harfi shakliga keltirilgan ekvivalent sxemalardan aniqlanadi. Aktiv rejimda ishlashdagi ekvivalent sxemasi 17.6 – rasmda keltirilgan. Bu sxema VAX da ko‘rsatilgan 1 – rejimga mos keluvchi ideallashtirilgan nochiziq ekvivalent sxemasi.



**17.6- rasm. UB bilan ulangan  $p-n-p$  tranzistorning  
ekvivalent sxmasi**

Bunda  $p-n$  o‘tishlar qarama - qarshi ulangan diodlar bilan almashtirilgan. Diodlarning bir biriga bo‘lgan ta’siri tok generatorlari  $\alpha_{I_2}$  va  $\alpha_N I_1$  bilan almashtirilgan. Generator  $\alpha_N I_1$  emitter toki  $I_1$  - ni kollektor zanjiriga bo‘lgan ta’sirini bildiradi. Bunda  $\alpha_N < 1$  bo‘lib emitter tokini to‘g‘ri (Normal) ulangan sxemasida kollektorga o‘tkazish koeffitsiyenti. Generator  $\alpha_{I_2}$  kollektor tokini emitter zanjirga bo‘lgan ta’sirini bildiradi. Bunda  $\alpha_I$  kollektor tokining teskari (Invers) ulangan sxemada emitterga o‘tkazish koeffitsiyenti hisoblanadi.

Shunday qilib keltirilgan modelda emitter va kollektor toklari ikkita komponentdan iborat bo‘lib, bular - diodlarning injeksiya ta’siridagi toklari ( $I_1$ ,  $I_2$ ) va inversiya va normal koeffitsiyentlar bilan yig‘uvchi  $\alpha_{I_2}$ ,  $\alpha_N I_1$  toklar. Bu toklarning o‘zaro bog‘lanishi quyidagicha:

$$I_e = I_{I^-} \alpha_{I_2}, \quad (17.9)$$

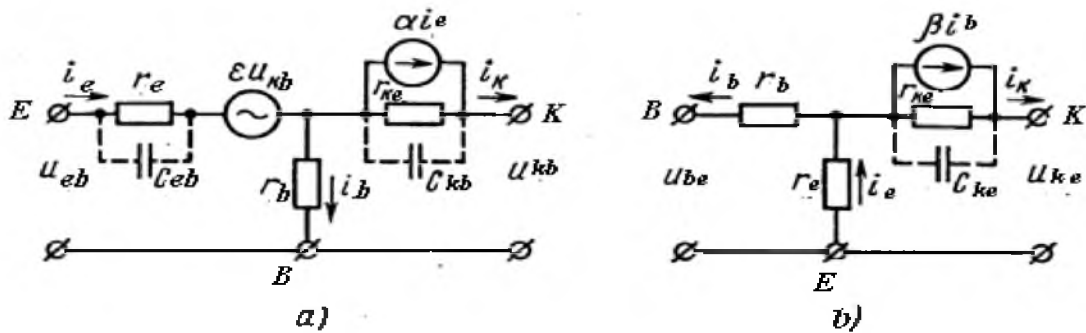
$$I_k = \alpha_N I_1 - I_{I^+}, \quad (17.10)$$

$$I_b = I_e - I_k, \quad (17.11)$$

Tenglamalardagi  $I_1$ ,  $I_2$  toklarning o‘rniga diodlarning ifoda (16.10) – da keltirilgan nochiziq xarakteristikasidan aniqlangan toklar qo‘llansa , 17.9 -17.11 tenglamalar BT larning ideal nochiziq matematik modeliga aylanadi. Bu model UB bilan ulangan tranzistorlarning nochiziq modeli bo‘lib aktiv rejimining tahlilida qo‘llaniladi.

Tranzistorlarni nochiziq modellaridan tashqari kuchaytirgich sxemalarida chiziqli modellar ham keng qo‘llaniladi. UB bilan ulangan  $p-n-p$  tranzistorlarning chiziqli modelining ekvivalent sxemasi 17.7, a -

rasmida keltirilgan. Bu sxemada 17.6 - rasmdagi tranzistorning emitter va kollektor qismlaridagi diodlar chiziqli elektr komponentlari bilan almashtirilgan. Ularning 17.7, a – rasmdagi sxemada ko‘rsatilgan parametrlari quyidagi [1,2] :



**17.7 – rasm. Tranzistorlarning almashuv sxemalari: a) UB uchun; b) UE uchun**

$r_e = dU_e / dI_e$  to‘g‘ri yo‘nalishda ulangan emitter  $p-n$  o‘tishining differensial qarshiligi;

$r_b$  - tokning to‘g‘ri yo‘nalishidagi baza qarshiligi;

$r_{k(b)} = dU_{k(b)} / dI_k$  - teskari yo‘nalishda ulangan kollektor  $p-n$  o‘tishining differensial qarshiligi;

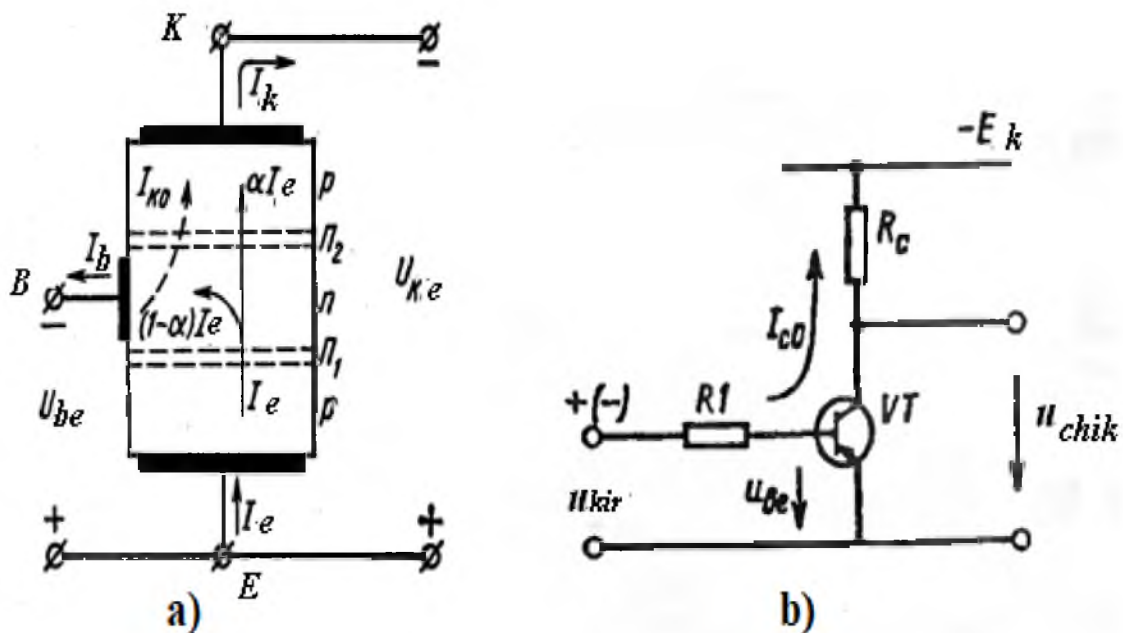
$\alpha i_e$  - emitter  $p-n$  o‘tishini tranzit toklariga ekvivalent bo‘lgan tok manbai;

$C_{e(b)}, C_{k(b)}$  - emitter va kollektordarning sig‘imlari. Bular  $p-n$  o‘tishlarning sig‘imlariga o‘xshagan bo‘lib, differensial va baryer sig‘imlarining yig‘indisiga teng;

$\varepsilon u_{kb}$  - kirishdagi kuchlanish manbai.

UB bilan ulangan tranzistorning kirish xarakteristikasi quyidagicha  $I_e = f(U_{eb})$  bog‘langan bo‘lib, 17.5, b – rasmda keltirilgan. Bu rasmdan  $U_{kb}$  kattalashgan sari kirish xarakteristikasi chaproq va balandroq tomonga siljishi ko‘rinib turibdi. Siljish jarayoni bazaning modulyatsiya effekti natijasida bazadagi musbat zaryadlarning konsentratsiyasi oshishiga va natijada tok  $I_k$  ko‘payishiga olib keladi.

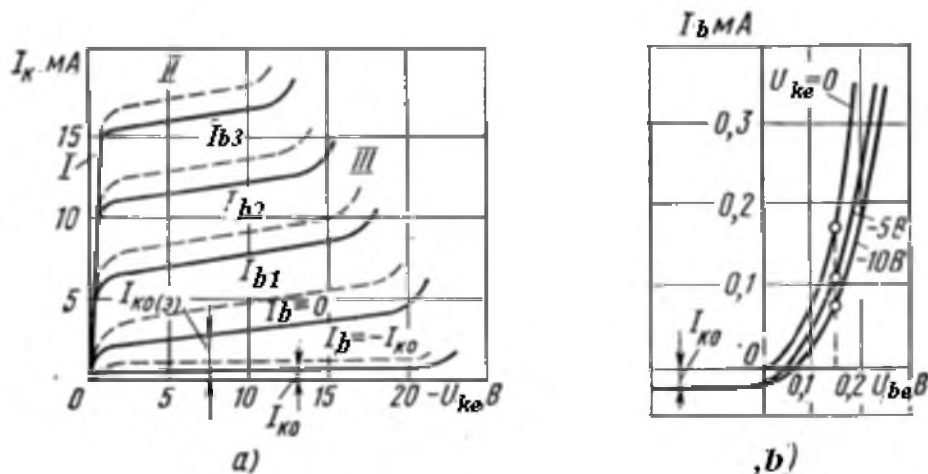
**UE bilan ulangan** sxemada tranzistorlarning kirish va chiqish zanjirlari uchun emitteri umumiylis elektrod hisoblanadi (17.8- a va b rasmlar).



17.8 – rasm. Tranzistorning UE bilan ulangan sxemasi

Chiqish va kirish xarakteristikalarini 17.9 – rasmda keltirilgan. Chiqish xarakteristikasi  $I_b = \text{const}$  bo‘lganida  $I_k = f(U_{ke})$  bilan bog‘langan (17.9, a-rasm).

Keltirilgan UE ularish xarakteristikalarida ham  $U_B$ -ga o‘xshagan uchta chegaralovchi rejimlarni ajratish mumkin (17.9-a rasm). Bular: I – aktiv, I – to‘yinish va II - teshilish rejimlari.



17.9 – rasm. Tranzistorning UE bilan ulanganidagi a) chiqish va b) kirish xarakteristikalarini

Bularda kollektor tokining xarakteristikalari UB - dan farqi shundaki  $U_{ke} = 0$  bo‘lganida kollektor toki  $I_k$  ham nolga teng ( $I_k = 0$ ). VAX - da ko‘rsatilgan I - rejimda  $U_{ke}$  oshishi bilan tok  $I_k$  ham oshadi. To‘yinish rejimida (I- chi rejim) zaryadlarning barcha asosiy tashuvchilari, ya’ni baza qatlamida rekombinatsiyaga uchramaganlari, kollektorga yetib boradi. Kollektor toki bunda o‘zgarmas holatda qoladi. Lekin, VAX - da ko‘rsatilgan tok  $I_k$  - ning kichkina o‘zgarishi baza qatlamiagi modulyatsiya effekti bilan bog‘liq.

UE sxemalarida kirish tokining kollektorga uzatish koeffitsiyenti quyidagicha aniqlanadi:

$$\beta = I_k / I_b = \alpha / (1-\alpha). \quad (17.12)$$

Bu ifodadan UE ulanishda uzatish koeffitsiyenti  $\beta$  - ning UB koeffitsiyenti  $\alpha$  - dan ancha kattaligi ( $\beta >> \alpha$ ) ko‘rinib turibdi. Demak, UE bilan ulangan sxemalarda tranzistorlar tokni kuchaytirish vazifasini bajaradi. Bu imkoniyat o‘z navbatida ularning kuchaytirgich sxemalarida keng qo‘llanilishini ta’minlaydi.

Tranzistorlarning UE bilan ulangan sxemalarining kirish xarakteristikalari 17.9, b - rasmda keltirilgan. Kuchlanish  $U_{ke} = 0$  bo‘lganida kirish xarakteristikasi parallel ulangan ikkita  $p-n$  o‘tishning (emitter va kollektor o‘tishlarini) to‘g‘ri ravishda ulangan holati bilan aniqlanadi. Bunda emitter qatlamidan chiqqan tashuvchilarning soni kollektordan bazaga o‘tuvchi tashuvchilarning soniga teng bo‘lib, kollektor toki nolga teng ( $I_k = 0$ ) bo‘lishiga olib keladi. Kollektorga berilgan kuchlanishning oshirilishi bilan (baza kuchlanishini ma’lum bir qiymatida  $U_{be} > 0$ ) baza toki kamayadi va kirish xarakteristikasi  $U_{ke} = 0$  ga nisbatan pasayishi seziladi (17.9- rasmda  $U_{be} = 1,5$  V nuqtasida ko‘rsatilgan). Baza toki  $I_b$  tarkibida issiqlik toki  $I_{k0}$  borligi tufayli kollektor kuchlanishini  $U_{ke} < 0$  qiymatida kirish xarakteristikasida baza toklarining o‘zgarishi  $I_{k0}$  tokiga teng bo‘lgan manfiy qiymat nuqtasidan boshlanadi.

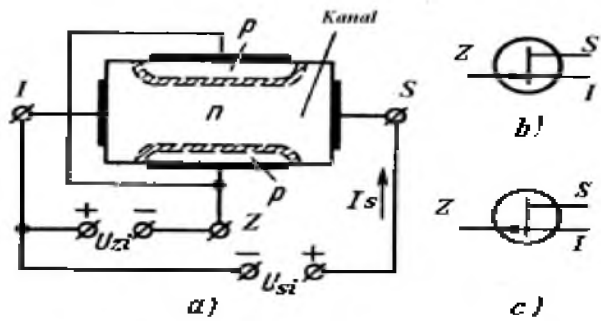
### 17.3 *p-n* o‘tishli maydoniy tranzistorlar

Maydoniy tranzistorlar elektr maydon ta’sirida tok o‘tkazuvchi kanalning qarshiligini o‘zgartirish bilan boshqariladi. Kanaldan tokni o‘tkazishda faqat bir tipdagi zarrachalar (elektronlar yoki teshiklar) ishtirok qilganligi uchun maydoniy tranzistorlar unipolyar tranzistorlar deb ham aytildi.

Kanallarning bajarilish texnologiyasiga ko‘ra maydoniy tranzistorlar quyidagi uch tipga ajratiladi: oddiy *p-n* o‘tishli tranzistorlar, kanali o‘rnatalgan tranzistorlar va kanali induksiyalashtirilgan tranzistorlar. Oxirgi ikki tipdagi tranzistorlar rus tili adabiyotlarida MDP (metall – dielektrik - poluprovodnik) tranzistorlari deb va ingliz tili adabiyotlarida MOSFET (Metall – Oksid – Semiconductor- Field- Effect – Tranzistor ) deb aytilib, dielektrikli maydoniy tranzistorlar sinfiga kiradi.

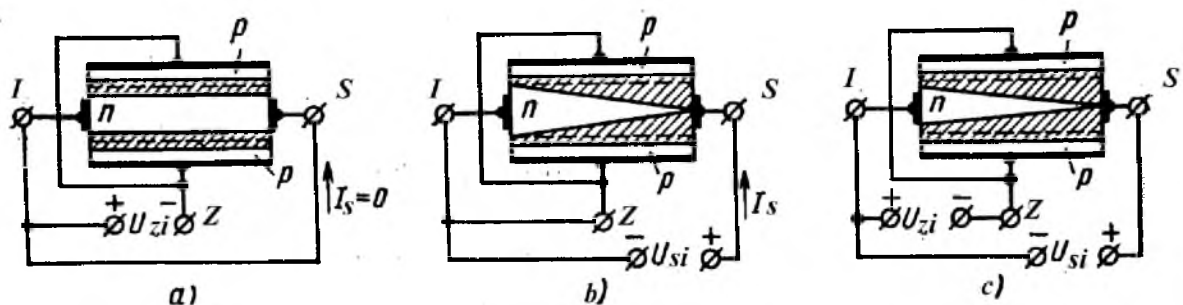
Maydoniy tranzistorlarda BT - tranzistorlar kabi uchta elektrod mavjud: istok (I) - tashuvchilarining chiqish elektrodi; stok (S) - tashuvchilarining kirish elektrodi; zatvor (Z) - kanaldan o‘tuvchi tashuvchilarining zarydlarining sonini boshqaruvchi elektrod (17.10 - rasm). Bulardan tashqari MDP - tranzistorlarda to‘rtinchi elektrod bo‘lishi ham mumkin. Bu elektrod istoklarni bazaviy kristall bilan birlashtiruvchi “taglik” elektrodi deyiladi.

Tokning o‘tkazuvchi kanali *n* - tipda bo‘lgan *p-n* o‘tish bilan boshqariluvchi tranzistorning konstruksiyasi va belgilanishi 17.10 - rasmda keltirilgan. Tranzistorni ishlash prinsipi *p* va *n* qatlamlarga teskari kuchlanish berilishi natijasida (17.10 - a rasmda  $U_{zi}$  uchun ko‘rsatilgan ishoraga binoan) *p-n* o‘tishning kengligini boshqarishga asoslangan. Rasmda ko‘rsatilgan ishora bilan berilgan kuchlanish  $U_{zi}$  oshirilishi bilan *p-n* o‘tish *n* - qatlam tomoniga qarab kengayadi , tok o‘tkazuvchi kanalning kengligi qisqaradi va natijada stok toki  $I_s$  kamayadi. Kuchlanish  $U_{zi}$  kamayishi bilan *p-n* o‘tish *p-* kanal tomoniga qisqarib, tok o‘tkazuvchi kanal kengayadi va stok toki  $I_s$  oshadi. Keltirilgan sxemada kanalning o‘tkazuvchanligiga ikkita kuchlanish ( $U_{zi}$ ,  $U_{si}$ ) ta’sir qiladi.



**17.10- rasm. a)  $p-n$  o'tish bilan boshqariluvchi tranzistorning tuzilishi, b,c ) tranzistorlarning sxemalarda belgilanishi**

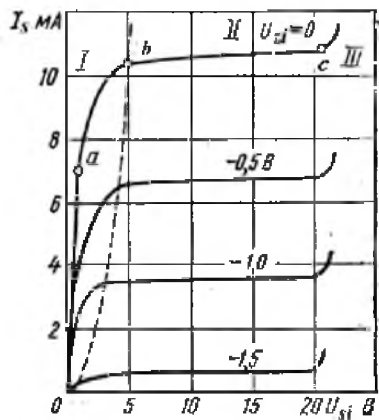
Kuchlanish  $U_{si} = 0$  bo'lganda  $U_{zi}$  - ni o'zgarishi kanalning butun kesimi bo'yicha parallel o'zgarishiga olib keladi, ammo  $U_{si} = 0$  bo'lganligi uchun chiqish toki  $I_s = 0$  ( 17.11,a -rasm).



**17.11-rasm. .  $p-n$  o'tishli tranzistorning rejimlari: a)  $U_{zi} > 0$ ,  $U_{si} = 0$ ; b)  $U_{zi} = 0$ ,  $U_{si} > 0$ ; c)  $U_{zi} > 0$ ,  $U_{si} > 0$ .**

Kuchlanish  $U_{zi} = 0$  bo'lganida kanal maksimal ochiq holatda bo'ladi. Bu holatda  $U_{si}$  noldan boshlab  $U_{si \ max}$  gacha o'zgartirilsa, xarakteristikasida stok toki  $I_s$  maksimal trayektoriyasi bo'yicha o'zgaradi (17.12 - rasm). Bunda xarakteristikaning boshlanish uchastkasida (interval 0-a) kanalning o'tkazuvchanligiga  $U_{si}$  ta'siri kam bo'lgani uchun  $I_s$  chiziqli qonun bo'yicha o'zgaradi. Kuchlanish  $U_{si}$  oshirish bilan (interval a-b) kanalning kengligi qisqarib, tok  $I_s$ -ni chiziqli o'zgarishining tikligi kamayadi.

Chiqish xarakteristikaning a-b intervalida kanal kengligi qisqarishi butun kanal bo'ylab bir tekis bo'lmasdan stokka yaqinlashgan sari qisqarib boradi (17.11,b - rasm). Bu holat  $U_{si} > 0$  bo'lganda stok va istok



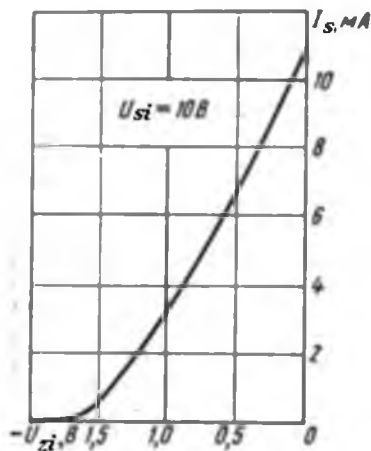
**17.12 - rasm.  $p$ -tipdagи  $p-n$  o‘tishli maydonli tranzistorning chiqish (stok - istok) xarakteristikasi**

yaqinidagi potensiallarning teng bo‘lmaganligi uchun vujudga keladi. Teng bo‘lmasligi stok yaqinidagi teskari kuchlanish  $U_{zc}$  istok yaqinidagi  $U_{zi}$  dan kattaligida ( $U_{zi} < U_{zs}$ ) .

Kuchlanish  $U_{zi}= 0$  bo‘lib,  $U_{si}$  o‘zgartirilib, ma’lum bir qiymatga yetganida stok nuqtalari birlashadi (17.11b -rasm). Bu nuqtadagi chegaralovchi kuchlanish ( $U_{si\ cheg}$ ) ta’sirida chiqish xarakteristikasining “ $b$ ” nuqtasiga to‘g‘ri keladi (I- rejimdan I-rejimga o‘tish nuqtasi). Kuchlanish  $U_{si} > 0$  bo‘lib, o‘sishni davom qilganida tok  $I_s$  o‘zgarmasdan qoladi, chunki kanal hajmida yig‘ilayotgan zaryadlar soni oshib, kanalning ichki qarshiligi oshadi (17.11c -rasm). Bunda stok toki to‘yinish rejimiga chiqib, quyidagicha ifodalanadi:

$$I_c = U_{si\ cheg} / r_{kan}, \quad (17.13)$$

bunda  $r_{kan}$  - kanal qarshiligi.



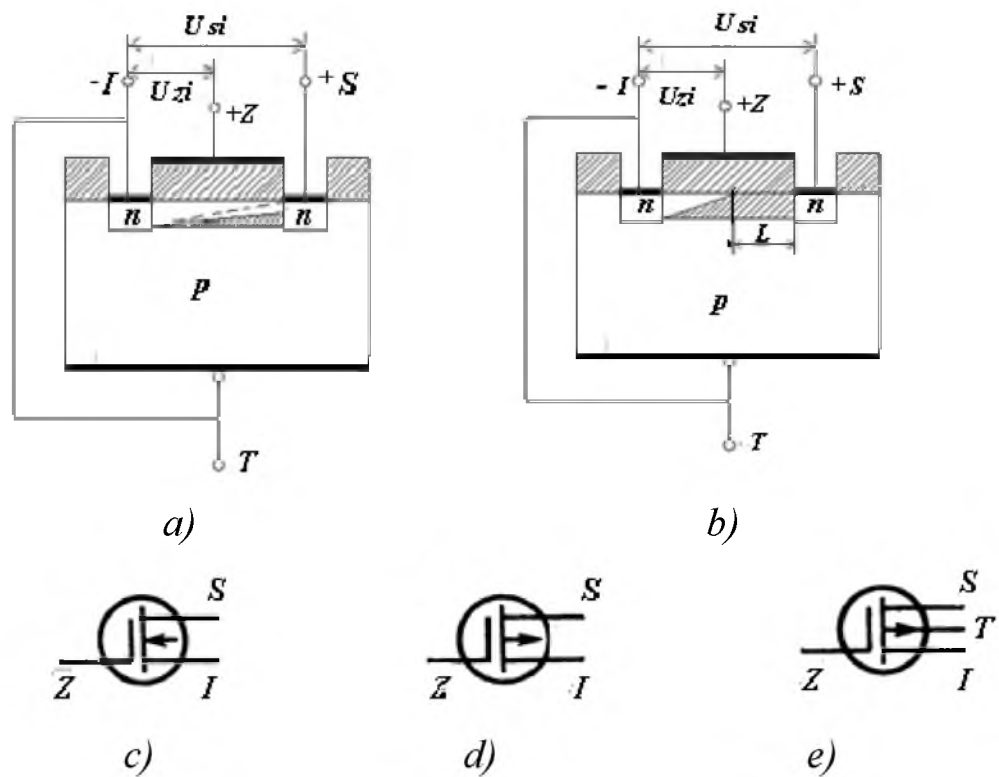
### 17.13 – rasm. p -n - o‘tishli tranzistorning stok - zatvor xarakteristikasi

*p-n-* o‘tishli maydoniy tranzistorning stok - zatvor xarakteristikasi kuchlanishi  $U_{si} = \text{const}$  bo‘lganida stok tokining zatvor – istok bog‘lanishi  $I_c = f(U_{zi})$  asosida o‘zgarishi 17.13 – rasmda ko‘rsatilgan.

### 17.4. Kanali o‘rnatilgan va induksiyalangan MDP – tranzistorlar

O‘rnatilgan *n* – tipdagi kanalli tranzistorning strukturasi va shartli belgilari 17.14 - rasmda keltrilgan. Bu strukturada o‘tkazuvchi *n* - tipdagi kanal bazaviy kristallga maxsus texnologiya asosida o‘rnatilgan. Kuchlanishlar  $U_{zi} = 0$  va  $U_{si} = 0$  bo‘lganda kanal yarim ochiq bo‘lib, keyinchalik  $U_{si}$  –ni har qanday o‘zgarishida stok toki  $I_c$  paydo bo‘ladi. Ya’ni o‘rnatilgan kanalli MDP - tranzistor normal holatda ochiq tranzistor hisoblanadi (17.14,a - rasm). Bu rasmda keltirilgan *n* - kanalli tranzistorlarning ishlash prinsipi kanal hajmidagi asosiy tashuvchilar bo‘lgan elektronlarning  $U_{zi}$  -ni o‘zgarishi natijasida kambag‘allantirish (sonini kamaytirish) yoki boyitishga (sonini ko‘paytirishga) asoslangan.

Kuchlanish  $U_{si} = 0$  bo‘lganida  $U_{zi}$  - ni oshirish bilan ( $U_{zi} > 0$ ) zatvorning elektr maydoni *p* - qatlamdagи elektronlarni tortib olib, kanalni asosiy tashuvchilar bilan boyitishga va kanalning elektr o‘tkazuvchanligini oshirishga olib keladi. Bunda 17.14,a – rasmda shtrixlangan yuzasi kamayadi. Agar kuchlanish  $U_{si} = 0$  va  $U_{zi} < 0$  bo‘lsa, zatvorning maydoni *n*- qatlamdagи elektronlarni itarib,

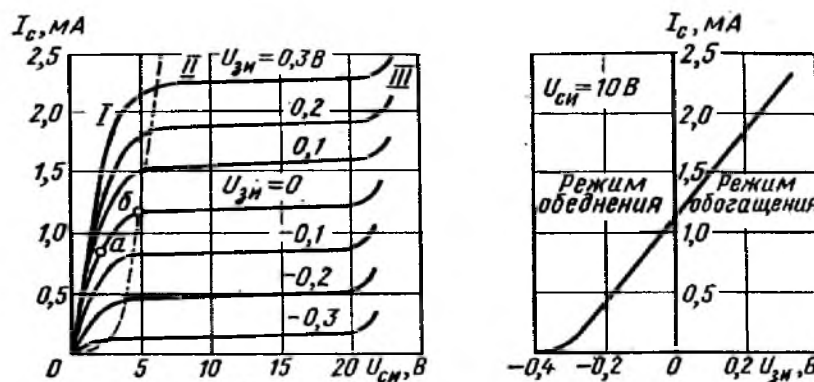


17.14 – rasm. a) o‘rnatilgan kanalli MDP tranzistorning strukturasi; b) MDP tranzistorning to‘yinish rejimidagi strukturasi; c )  $p$  - tipdagi kanalli MDP tranzistorning sxemalarda ko‘rsatilishi; d)  $n$ - tipdagi MDP - tranzistorlarning sxemalarda ko‘rsatilishi; e) MDP ning taglikli sxemasi

kanaldagi asosiy tashuvchilarning sonini kamaytirib, kanalning elektr o‘tkazuvchanligining kamayishiga olib keladi. Ikkala vaziyatda ham kuchlanish  $U_{si}=0$  bo‘lganligi uchun stokning toki nolga teng bo‘ladi ( $I_s=0$ ).

Agar  $U_{si}$  va  $U_{zi}$  - larning qiymatlari barobariga o‘zgartirilsa, stok toki  $I_s$  - ning o‘zgarishi 17.15, a – rasmida ko‘rsatilgan VAX – lar bo‘yicha o‘zgaradi. Xarakteristikaning boshlang‘ich qismida (interval  $0 - a$  ), kanalning kuchlanishi kam bo‘lganida, bog‘lanish  $I_s = f(U_{si})$  chiziqliga o‘zgarishga yaqin bo‘ladi. Kuchlanish  $U_{si}$  -ni oshirish bilan kanalning kengligi qisqarib, tok  $I_s$  - ning chiziqli o‘zgarishining tikligi kamayadi (interval  $a-b$ ). Nuqta  $b$  – da  $U_{si} = U_{si\ cheg}$  bo‘lib, kanal yopiladi va tok  $I_s$  -ning o‘sishi to‘xtaydi. Bu holatda shtrichlangan  $p-n$  o‘tishning chegarasi 17.14,a –rasmida ko‘rsatilgan punktir chiziqqacha yetib, kanal to‘liq yopiladi.

Kuchlanish  $U_{si} > U_{si\ cheg}$  bo‘lganida yopilishni belgilovchi nuqta kanalning ichki tomoniga, kuchlanish  $U_{si}$  ga bog‘liq bo‘lgan L masofaga siljiydi (17.14,b-rasm). Bu masofada to‘yinish rejimi yuzaga keladi. Kuchlanishlar  $U_{si}$  va  $U_{zi}$  barobariga o‘zgarishdagi xarakteristikalar oilasi 17.15,a-rasmda keltirilgan. Xarakteristikalardan ko‘rinib turibdiki  $U_{si} > 0$  bo‘lganida zatvori o‘rnatilgan tranzistorlar ikkita rejimda ham ( $U_{zi} > 0$  va  $U_{zi} < 0$ ) ishlashi mumkin. Birinchisida,  $U_{zi} > 0$  bo‘lganida, tok  $I_s$  kuchlanish  $U_{zi} = 0$  vaziyatdan tezroq o‘sadi va ikkinchisida  $U_{zi} < 0$  – kamroq o‘sadi. Shunday qilib  $p-n$  o‘tishi o‘rnatilgan MDP – tranzistorlar zatvoriga manfiy yoki musbat ishorali kuchlanishlar berilganda ham stok toki  $I_s$  - ning boshqarilishi mumkin ekanligi VAX dan ko‘rinib turibdi.

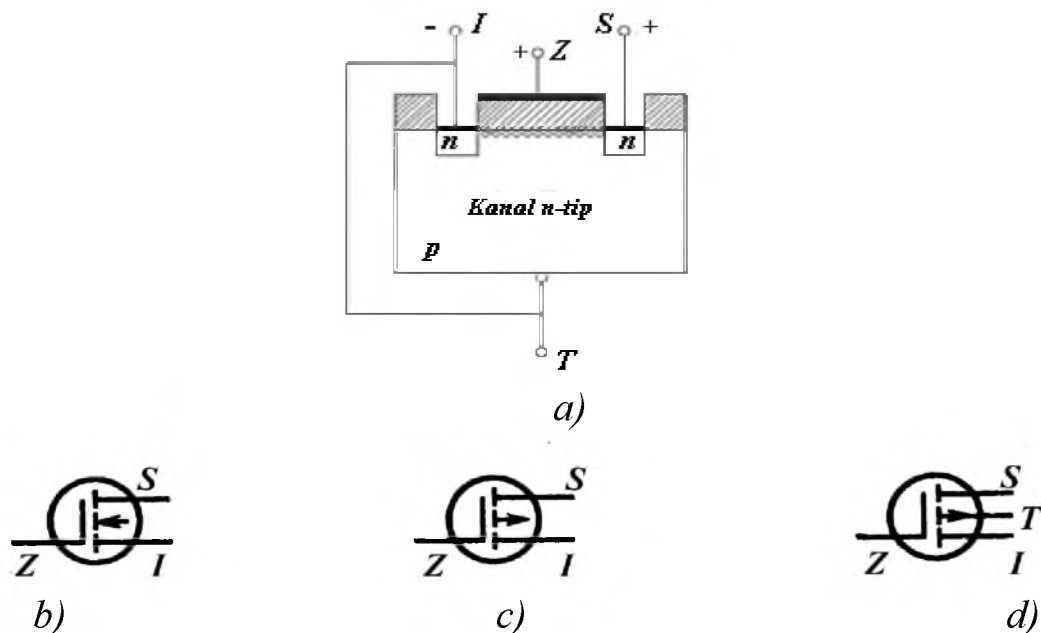


**17.15 - rasm. O‘rnatilgan MDP tranzistorlarning a) chiqish (stok) xarakteristikalari, b) kirish (stok - zatvor) xarakteristikalari**

Tranzistorlarning kirish (stok - zatvor) xarakteristikalari 17.15, b - rasmda keltirilgan. Ular  $U_{si} > 0$  bo‘lganda  $p-n$  o‘tishi o‘rnatilgan tranzistorlarning kirish xarakteristikalaridan zatvorga berilgan kuchlanish  $U_{zi} > 0$  ham  $U_{zi} < 0$  bo‘lgan rejimlarda ishlash imkoniyatlari bilan farq qiladi.

Maydoniy tranzistorlardan eng ko‘p tarqalgani – bu kanali induksiyalangan MDP tranzistorlar. 17.16 - rasmda asosiy tashuvchilari  $n$  – tipdagi MDP tranzistorning struktura sxemasi va shartli belgilari keltirilgan. Bu tranzistorlarda kanal alohida o‘rnatilmasdan ular zatvorga musbat kuchlanish berilishi bilan,  $p$  - tipdagi baza kristalidan tortib olingan elektronlar hisobiga yaratiladi. 17.16 - rasmda zatvor

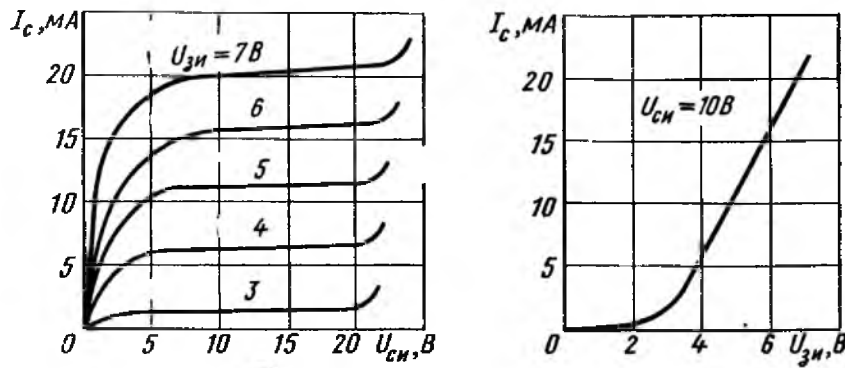
yuzasiga teng bo‘lgan yuzada yaratilgan elektronlar to‘plamidan  $n$ -tipdagi kanal vazifasini bajaruvchi qatlam ko‘rsatilgan. Kanalni bunday yaratish texnologiyasi - induksiyalantirish texnologiyasi deb aytildi. Kanalning kengligi va o‘tkazuvchanlik xususiyati zatvor - istokka berilgan ( $U_{zi}$ ) kuchlanishning qiymatiga bog‘liq.



**17.16 – rasm a).** Kanali induksiyalangan MDP tranzistorning strukturasi, b) p-tipdagi sxemasining belgisi, c) n – tipgagi sxemasining belgisi, d) taglikli sxemaning belgisi.

Kanali induksiyalangan MDP - tranzistorning chiqish VAX - si va kirish stok – zatvor xarakteristikalarini 17.17, a – rasmda keltirilgan. Ularning kanali o‘rnatalgan MDP – tranzistorlarning VAX dan farqi shundaki, induksiyalangan kanalli MDP tranzistorlar faqat bir ishorali signallar bilan boshqariladi. Stok – zatvor xarakteristikasi 17.17, b - rasmda keltirilgan.

Bundan tashqari bipolyar tranzistorlar tok bilan boshqarilsa, MDP tranzistorlar zatvor - istokka berilgan kuchlanish bilan boshqariladi. Bu xususiyatiga ko‘ra boshqarish zanjirida sarf qilinadigan energiya keskin kamayadi va natijada ularni integral sxemalar bilan boshqarish imkoniyati paydo bo‘лади.



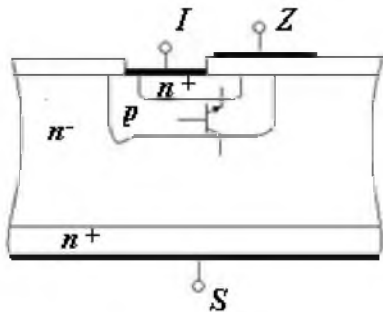
**17.17 - rasm. Induksiyalangan MDP tranzistorlarning a) chiqish (stok) va b) kirish stok – zatvor xarakteristikaları**

### 17.5 Katta quvvatli MDP tranzistorlarni integral sxemalar bilan boshqarish

Yuqorida keltirilgan MDP tranzistorlarda tokni o'tkazuvchi kanallar gorizontal holatda o'rnatilgan bo'lib, ularning geometrik parametrlari kanalning qarshiligi  $r_{kan}$  –ning katta bo'lishiga olib keladi. Qarshiligining kattaligi kanaldan o'tadigan tokni cheklash bilan birga bu tipdagi tranzistorlarning kuch elektronikasi sxemalarida qo'llanish imkoniyatlarini ham chegaralaydi.

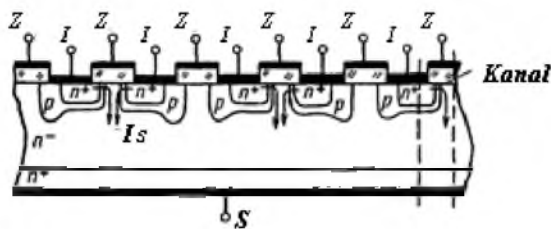
Kanalning qarshiligini kamaytirish uchun MDP tranzistorlar konstruksiyasida gorizontal strukturadan vertikal strukturaga o'tkazish tavsiya qilinadi. 17.18 - rasmida maydoniy tranzistorning vertikal kanalli strukturasi keltirilgan. Bu strukturada  $p$  – qatlamdagi tok o'tkazuvchi kanalning masofasi zatvor izolyatsiyasining tagidagi  $p$  – qatlamning kengligiga teng bo'lib, uni qisqartirish bilan qarshilik  $r_{kan}$  – ni kamaytirishga erishiladi.

Ammo,  $r_{kan}$  qarshiligi kamaytirilgan MDP – tranzistorlarga katta kuchlanish berilishi bilan kanalda teshilish xavfi paydo bo'ladi. Buning oldini olish uchun stokka biriktirilgan  $n$  – qatlam ikkita qismga ajratiladi: birinchisi - katta qarshilikli  $n^-$  - qatlam va ikkinchisi - kam qarshilikli  $n^+$  - qatlam (17.18 - rasm).



**17.18 – rasm. Vertikal kanalli MDP tranzistorning strukturası**

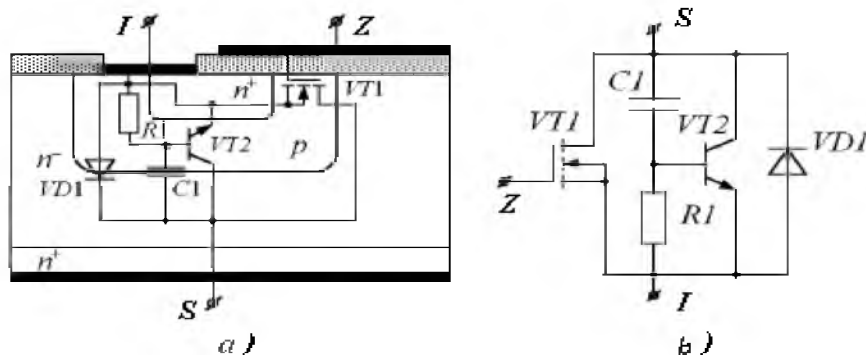
Qarshilik  $r_{kan}$ -ni kamaytirib, stok tokini oshirishning yana bir imkoniyati bu qisqa kanalli bir nechta  $p-n$  o'tishlarning parallel ulanishi bilan amalga oshiriladi. 17.19 – rasmida  $n$  - tipdagи asosga parallel ulangan kanallarning struktura sxemasi keltirilgan. Bu struktura ko'p kanallik struktura deb ataladi va ularda yuzlab parallel ulangan  $p-n$  o'tishlar bo'lishi mumkin.



**17.19 – rasm. Ko'p kanalli MDP tranzistorlarning strukturası**

Katta quvvatli vertikal kanalli strukturalarning kamchiligi – ularning ichida "**parazit**" (zararli ma'nosida) bipolyar  $n-p-n$  tranzistolarning mavjudligi (17.18-rasm). Parazit tranzistor asosiy MDP - strukturaning ishchi kanaliga o'zini emitteri ( $n^+$  qatlam), bazasi ( $p^-$  qatlam) va kollektori ( $n^-$  qatlamlar) bilan ulangan sxemasi 17.18 – rasmida ko'rsatilgan. MDP - tranzistorining xususiyatlarini parazit bipolyar  $n-p-n$  tranzistorning ta'siridan saqlab qolish maqsadida istokning metallashtirilgan  $n^+$  qismiga  $p$  qatlamni aktiv qarshiligi  $R_1$  bo'lgan qismi ulanadi (17.20, a - rasm). Sxemotexnika nuqtai nazaridan bu ulanish parazit qo'shimcha tranzistoning emitter - bazasidagi  $p-n$  o'tishini qisqa tutashuv ulanishiga ekvivalent bo'lib, qo'shimcha tranzistorni yopilgan holatda saqlab qoladi. Ammo, katta

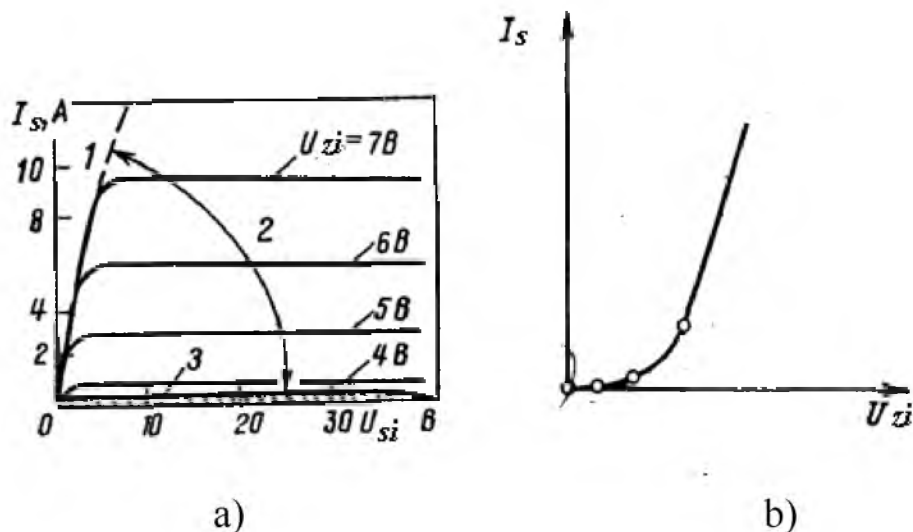
chastotalarda  $R_I = I / \omega C$  bo‘lgani sababli qarshilik  $R_I$ -ni qiymati kamayib,  $n-p-n$  tranzistor ochilib qolishi mumkin. Shuning uchun MDP - tranzistorlar katta chastotalarda ishlaganida bu vaziyatni inobatga olish lozim.



**17.20 – rasm. a) MDP tranzistorning bazaviy yacheyskalari, b) bazaviy yacheyskaning ekvivalent sxemasi**

MDP – tranzistorning  $p^-$  - qatlami bilan istokning metallashtirilgan  $p^+$  - qatlaming ulanishi natijasida strukturada yana bir qo‘shimcha element – teskari ulangan  $p$  -  $n$  o‘tish paydo bo‘ladi. Bu  $p$ - $n$  o‘tishni ekvivalent sxemalarda istok va stok orasiga qarshi - parallel ulangan diod VD1 deb qaraladi (17.20, b - rasm). MDP - yacheyskalarni loyihalashda bu diodlarni chegaralovchi parametrlari tranzistorlarning parametrlariga mos bo‘lishiga va tiklanish (yopilish) vaqtin kam bo‘lishiga e’tibor beriladi. 17.20, b - rasmda MDP- tranzistorning ekvivalent elektr sxemasi keltirilgan.

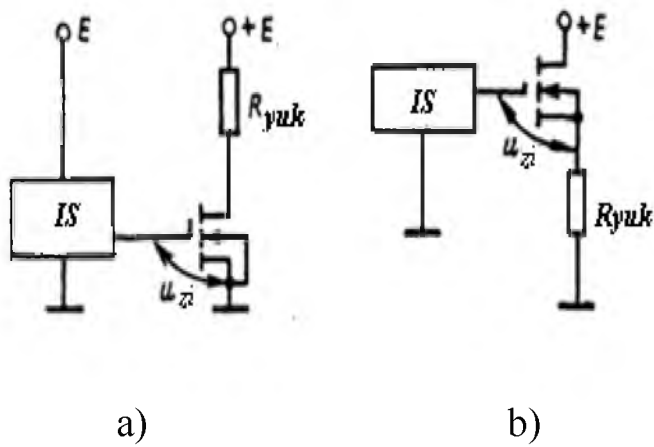
Vertikal kanali  $p$  – tipdagи tranzistorni statik volt-amper xarakteristikalari 17.21 - rasmda keltirilgan. Ularni 17.17 - rasmda ko‘rsatilgan gorizontal kanalli MDP – tranzistorlar VAX – lariga o‘xshab o‘zgarishlari ko‘rinib turibdi. Ularda ham uchta rejimni ajratish mumkin: aktiv rejim - I, to‘yinish rejimi – II va teshilish rejimi - III (17.21,a - rasm). Bu VAX - larning farqi shundaki, vertikal kanalli MDP- tranzistorlarning kanallari qisqa bo‘lganligi sababli ularning elektr maydonlarining kuchayishi ham qisqa muddatda o‘tadi. Bunda tranzistor kanalidagi tashuvchi zaryadlarning to‘yinish tezligi oshadi va natijada stok tokini ko‘payishi nisbatan keskin o‘zgaradi.



**17.21 – rasm. Katta quvvatli MDP- tranzistorlarning statik xarakteristikasi. a) chiqish va b) kirish xarakteristikalari**

Katta quvvatli MDP-tranzistorlarni boshqarishning qulay imkoniyatlaridan biri ularning integral mikrosxemalar (IMS) orqali bevosita boshqarilishidir. Boshqaruvchi parametr sifatida IMS - larning chiqish kuchlanishi  $U_{chiq}$  va chiqish toki  $I_{chiq}$  hisoblanadi. Aniqlik uchun boshqarishni quyidagi ikkita raqamli IMS lar orqali amalga oshirishni ko'rib chiqamiz. Birinchisi - komplementar maydonli tranzistorlar asosidagi (KMDP IS) integral sxemalar (parametrlari  $U_{chiq}=15V$ ,  $I_{chiq}=1-5$  mA); ikkinchisi - bipolyar tranzistorlar asosidagi mantiqiy (TTL IS) integral sxemalar (parametrlari  $U_{chiq}=5V$ ;  $I_{chiq}=5-30$  mA ).

MDP - tranzistorlarni kalit rejimida IMS - ga ulanishining ikkita sxemasi mavjud: birinchi sxemada - tranzistor umumiy istok (UI) bilan ulangan, yuklama yerga tutashmagan va kuchlanish  $U_{zi}$  boshqaruvchi IMS - ning chiqish kuchlanishi  $U_{chiq}$  - ga teng (17.22, a - rasm); ikkinchi sxemada - tranzistor umumiy stok (US) bilan ulangan (istokli takrorlovchi), yuklama sxemaning umumiy nuqtasi bilan ulangan (yerga tutashgan) va boshqaruvchi kuchlanish  $U_{zi}$  IMS ni chiqish kuchlanishidan yuklamadagi kuchlanishning farqiga teng ( $U_{zi} = U_{chiq} - U_R$ ) (17.22, b - rasm).



17.22 - rasm. Katta quvvatli MDP tranzistorlarning kalit rejimida  
ulanishi: a) umumiyl istok; b) umumiyl stok.

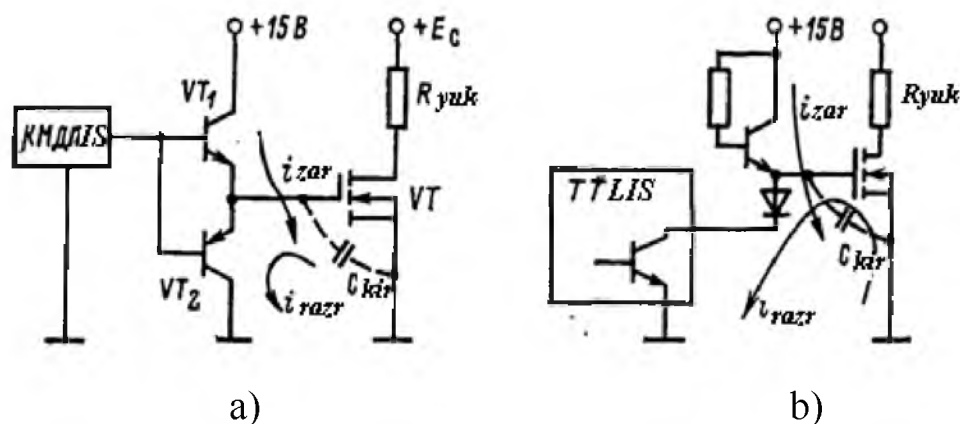
Kalit rejimida UI va US sxemalar, tezkorlik ma’nosida, nisbatan past yoki yuqori chastotalarda ishlashi mumkin. Past chastotali rejimda UI bilan ulangan sxemasida boshqaruvchi IMS - larga asosiy talab bu- MDP - tranzistorning ochiq holatida minimal qarshiligini ta’minlovchi amplitudali kuchlanishni yetkazib berish. Boshqarishda KMDP IS qo’llanilganda kuchlanishning amplitudasi  $U_{\text{ochiq}} \geq 15$  V bo‘lib, bu IMS –lar katta quvvatli MDP – tranzistorlarni boshqarishda ularning zatvorlariga bevosita ulanishi mumkin.

Boshqarishda mantiqiy TTL IS qo'llanganda chiqish kuchlanishning amplitudasini oshirish masalasi paydo bo'ladi. Bu masala ta'minot manbaining kuchlanishi 15 V - dan kam bo'limgan ochiq kollektorli TTL IS- ni qo'llanish natijasida yechiladi.

Agarda kalit rejimida ishlaydigan MDP - tranzistorlarga maksimal tezkorlik sharti qo‘yilgan bo‘lsa, kirish sig‘imini qayta zaryadlanish tezligini oshirish uchun IMS va MDP – tranzistorning bazasi orasiga emitter takrorlovchi kaskad ulanib, IMS tokini kuchaytiradi. Bunda MDP- tranzistorning kirish sig‘imining qayta zaryadlanishi tezlashadi va ishchi chastotaning oshishiga imkoniyat tug‘iladi.

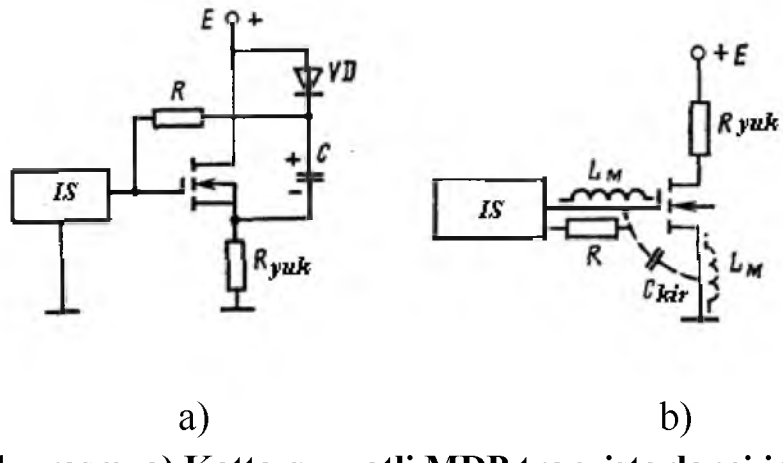
KMDP IS sxema chiqish tokining kuchaytirilishi 17.23, a - rasmida keltirilgan. Kirish sig‘imini zaryadlanishi tranzistor  $VT1$  asosidagi emitter takrorlovchi kuchaytirgich orqali o‘tadi va razryadlanishi -  $VT2$  tranzistorli emitter takrorlovchi orqali o‘tadi.

TTL IS sxemani chiqish tokining tashqaridagi emitter takrorlovchi sxemasi ta'sirida oshirish 17.23, b - rasmida keltirilgan. TTL IS - ni chiqishida kuchlanish past bo'lganida (IS VT ochiq), emitter takrorlovchi tranzistori  $VT_1$  yopilgan - MDP tranzistorning kirish sig'imi  $C_{kir}$  diod  $VD$  va tranzistor  $VT$  orqali razryadlanadi. Tranzistor  $VT$  yopilishi bilan sig'imi  $S_{kir}$  jadallashtirilgan holda tranzistor  $VT_1$  - ni katta emitter toki bilan zaryadlantiradi.



**17.23 - rasm. Katta quvvatli MDP tranzistorlarni tashqi emitter takrorlovchi: a) K MDP IS va b) TTL IS (tranzistor – tranzistor logika) bilan boshqarish**

Umumiyl stok bilan ulangan MDP - tranzistorlarni boshqarishda, zatvor - stok kuchlanishini oshirish maqsadida, sxemaga jadallashtirish sig'im elementi ( $C$ ) kiritiladi. Bu elementni kiritish sxemalaridan bittasi 17.24 - rasmida keltirilgan. Sxemaning ishlashida  $C$  ta'siri quyidagicha bo'ladi: IMS- ni chiqishidagi kuchlanish past bo'lganida, katta quvvatli MDP - tranzistor berk holatda, kondensator  $C$  ta'minot manbai  $E$  qiymatigacha zaryadlanadi. Rezistor  $R$  manba  $E$ -dan IMS -ni iste'mol qiluvchi tokini chegaralash vazifasini bajaradi. IMS-ni chiqish kuchlanishi oshishi bilan MDP - tranzistor ochiladi va istok - zatvor orasiga kondensatordagi kuchlanish  $U_c = E$  beriladi. Natijada tranzistorning ochilish davrida katta kuchlanish  $E$  bilan ta'minlanadi va to'liq ochilganidan keyin uning qarshiligi minimal qiymatigacha pasayadi.



**17.24 – rasm. a) Katta quvvatli MDP tranzistorlarni jadallovchi zanjirlarning ulanishi, b) boshqaruvchi zanjirlardagi parazit induktivliklar ( $L_M$  - montaj induktivliklari).**

Jadallashtirish kuchlanish ta'siri kondensator  $C$  –ni ochilgan tranzistor va berk bo'lgan VD diodning qarshiliklari konturi bo'yicha razryadlanish vaqt doimiysi bilan aniqlanadi.

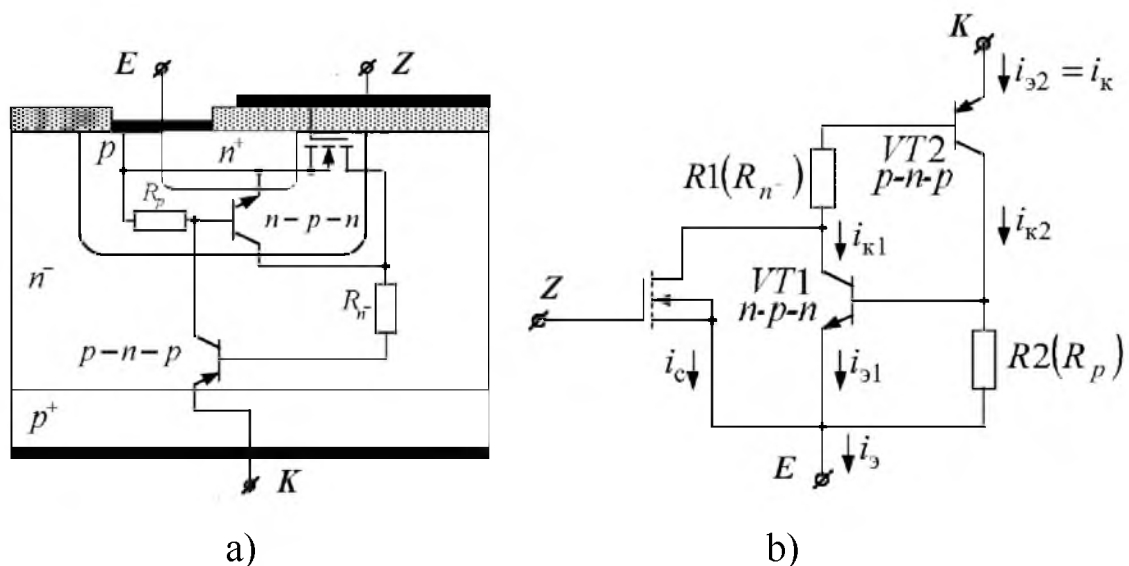
Tezkor kalit rejimida ishlaydigan MDP tranzistorlarni boshqarish zanjirlarining montajiga yuqori talablar qo'yiladi. Shulardan biri bu - boshqarish minimum induktivligiga erishish. Masalan, zatvor bilan IMS ning chiqishini oralig'idagi 19 mm lik o'tkazgich MDP tranzistorning chiqishidagi sig'im bilan "parazit" tebranuvchi kontur hosil qiladi. Bu konturni shaxsiy tebranish chastotasining davri  $2\pi\sqrt{CL} \approx 1$  nanosekundni tashkil qiladi. Tebranish ta'siri MDP tranzistorning xalaqitga chidamliligi pasayadi. Hosil bo'lgan tebranish konturining sifat darajasini kamaytirish uchun zatvor zanjiriga ketma - ket  $R \geq 100$  Om rezistor ulanadi (17.24, b - rasm).

## 17.6. IGBT- tranzistorlarning tuzilishi va ishlash prinsiplari

Yuqori chastotalarda ishlash imkoniyatlariga va boshqarish zanjirlarining sodda bo'lishiga qaramasdan MDP- tranzistorlarning asosiy kamchiligi bu - ularning kanali qarshiligi o'tadigan tokning zichligining kvadratiga proporsional ravishda oshirilishidir. BT - larda esa xuddi shu ko'rsatkich, kanaldan o'tadigan tokning zichligini, birinchi darajasiga proporsional ravishda oshadi. Afsuski, VT- larni boshqarish zanjirlari

murakkab sxemalar bo'lib, ularda sezilarli qiymatdagi quvvat sarf qilinadi va ishslash chastotasi MDP-tranzistorlarlarga nisbatan kam.

Katta quvvatli elektronikada bu masalani kompromis yechimida VT va MDP tranzistorlarining ijobiy xususiyatlarini birlashtirish bilan yangi monolit strukturalarni yaratish bilan erishiladi. Yangi struktura uch qatlamlili bo'lib, "zatvori izolyatsiya qilingan bipolyar tranzistorlar" deb nomlangan. Chet el adabiyotlarida IGBT (Insulated Gate Bipolar Transistor) va ko'pchilik rus tili adabiyotlarida VTIZ - izolyatsiyalangan zatvorli bipolyar tranzistor deyiladi. MDP-tranzistorlaridan IGBT tranzistorlari strukturasing farqi shundaki, birlamchi taglik materiallarida yarimo'tkazgichli kovak  $p^+$  - tipdagi elektr o'tkazuvchanlik plastina qo'llanilgan. Sxemotexnika nuqtai nazaridan yuqorida ko'rildi MDP-tranzistorga qo'shimcha  $p-n-p$  tranzistor ( $VT2$ ) ulangan sxema hosil bo'ladi (17.25 - rasm).



17.25 – rasm. a) IGBT – tranzistorining strukturası , b) ekvivalent sxemasi

Natijada, ekvivalent sxema 17.25, b – rasmda ko'rsatilgan uchta tranzistorlarning: MDP-tranzistor, parazit bipolyar tranzistor VT1 va ularga ulangan ikkinchi bipolyar tranzistor VT2ning birlashtirilgan sxemasi yaratilgan. Strukturadagi VT1 va VT2 tranzistorlari ichki manfiy teskari bog'langan bo'lib, VT1 tranzistorni bazaviy toki VT2 tranzistorni

kollektor tokining bir qismi va teskarisi - VT2 tranzistorning bazaviy toki VT1 tranzistorni kollektor tokining bir qismi hisoblanadi.

Tranzistorlar VT1 va VT2 tok bo'yicha uzatish koeffitsiyentlari  $\alpha_1$  va  $\alpha_2$  bilan belgilansa IGBT – tranzistorining toklari quyidagicha aniqlanadi:

$$i_{k1} = i_{e1} \alpha_1 , \quad (17.14)$$

$$i_{k2} = i_{e2} \alpha_2 , \quad (17.15)$$

$$i_e = i_{k1} + i_{k2} + i_c . \quad (17.16)$$

Maydoniy tranzistorining toki:

$$i_c = i_c (1 - \alpha_1 - \alpha_2) . \quad (17.17)$$

Ikkinchini tomondan, stok tokini stok-zatvor xarakteristikasini S koeffitsiyenti orqali aniqlash mumkin:

$$i_c = S U_{ze} . \quad (17.18)$$

To'la sxemaning quvvat qismi uchun tok quyidagicha aniqlanadi:

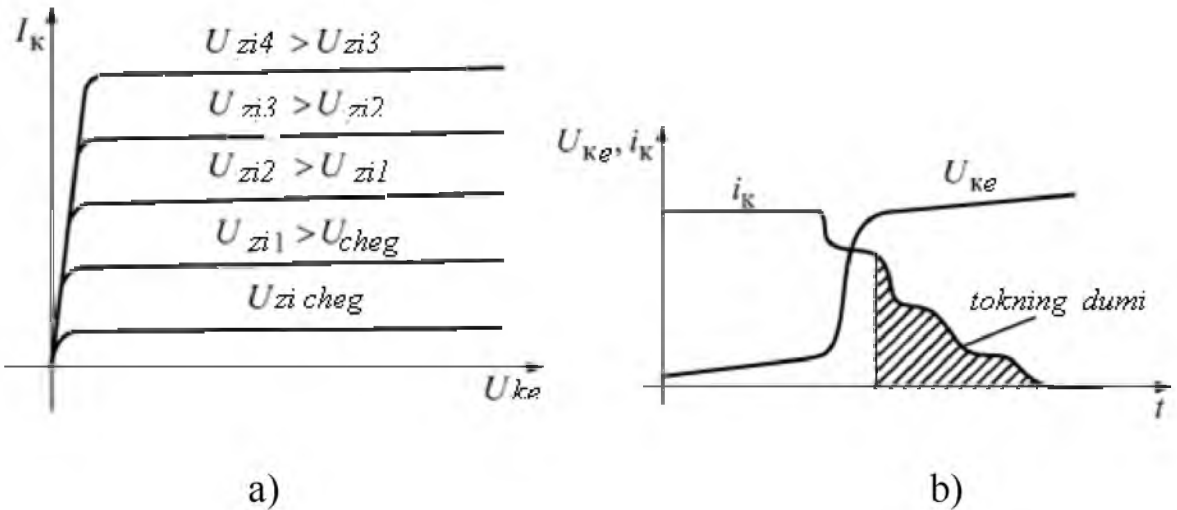
$$i_k = i_e \frac{S U_{ke}}{1 - \alpha_1 - \alpha_2} = S_{ekv} U_{ze} \quad (17.19)$$

bunda  $S_{ekv} = \frac{S}{1 - (\alpha_1 + \alpha_2)}$  - to'la sxema uchun bo'lgan ekvivalent tiklik.

Koeffitsiyentlar  $\alpha_1$  va  $\alpha_2$  rezistorlar R1 va R2 qiymatini o'zgartirish bilan strukturani o'zgartirishi mumkin. Bu operatsiya sxemani tayyorlash etapida bajariladi. 17.26, a - rasmida andozaviy kollektor (chiqish) xarakteristikalari keltirilgan.

IGBT tranzistolarning dinamik xususiyatlari BT – dan ancha yukori hisoblanadi. Bunga sabab BT- larning bazasida noasosiy bo'lgan tashuvchilarning yig'ilishi v va keyinchalik ularning rekombinatsiyasiga ma'lum vaqt sarflanishi.

Yopilish jarayonining xarakteristikasi 17.26, b - rasmida keltirilgan. BT- ning bazasida yig'ilgan zaryadlar tranzistorning yopilishi davomida kollektor tokining cho'zilib ketishiga ("dum" paydo bo'lishiga) olib keladi. IGBT ning tarkibidagi MDP-tranzistor tok o'tkazishni to'xtatishi



**17.26 – rasm. IGBT tranzistorlarni a) chiqish xarakteristikasi b)  
yopilish jarayoni**

bilan asosiy tok o‘tkazuvchi zanjirda noasosiy tashuvchilarning rekombinatsiya jarayoni boshlanadi, va bu jarayon “dumning” boshlanish nuqtasi hisoblanadi. “Dumning” hosil bo‘lishi, birinchidan, tranzistorlarning qizib ketishiga va, ikkinchidan, ko‘priksimon o‘zgartkich sxemalarining yelkalarida ketma - ket ulangan tranzistorlarning ochilishida interval tashkil qilishiga olib keladi. Intervalning zarurligi shundaki, ketma - ket ulangan tranzistorlarning birinchisining yopilish va ikkinchisining ochilish vaqtি bir xil bo‘lganida, “dum” hisobiga, ulardan qisqa tutashuv toki o‘tadi. Bu toklar tranzistorlarning nominal toklaridan bir nechta marta katta bo‘lib, ular tranzistorning issiqlik teshilishiga olib keladi.

Keltirilgan sxema yagona korpusda joylashtirilgan kollektor, emitter va zatvorlari chiqarilgan, elektr maydoni orqali boshqariluvchi, yarimo‘tkazgichli elektron asbobi hisoblanadi. Ochiq holatda MOSFET – ga nisbatan IGBT – lar ichki qarshiligining kamligi, tiklik koeffitsiyenti (S) - kattaligi va teshilish jarayonining bartaraf etilganligi bilan ijobiy farq qiladi.

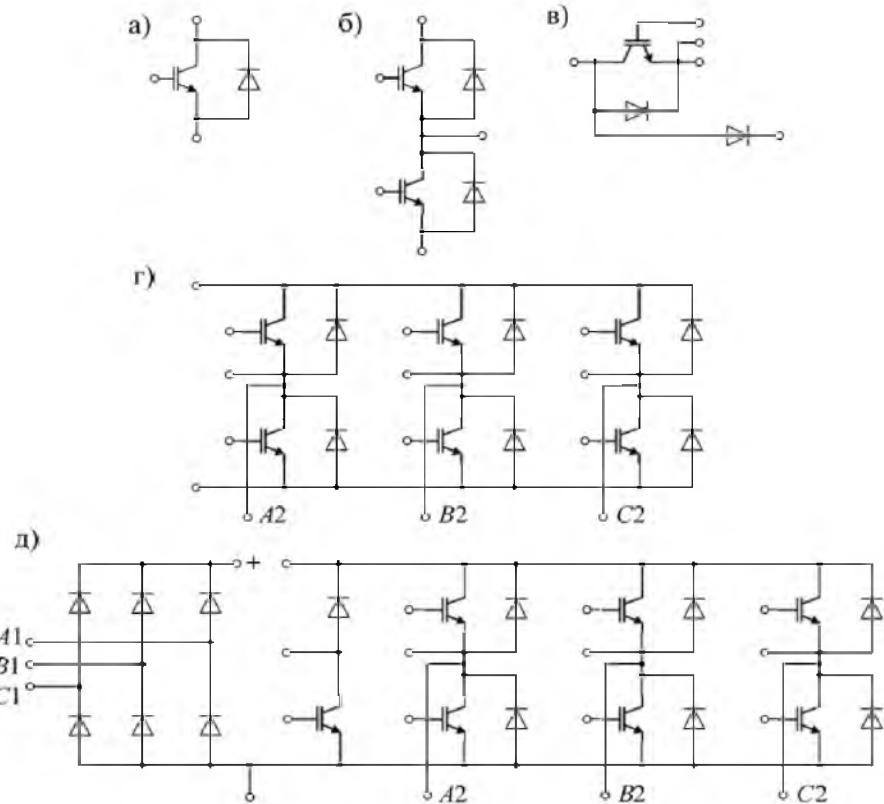
## 17.7. Katta quvvatli gibrildi sxemalar

O‘zgartkich texnika qurilmalarini ishlab chiqishda yarimo‘tkazgich asboblar (diod, tranzistor, tiristorlar) ma’lum bir funksiyani bajarish uchun o‘zaro ulanadi. Bu ulanishlar kuch sxemalarida bir nechta quvvat elektron asboblarini bir korpus ichida standart ulanish shaklida o‘rnatalishi mumkin. Bir korpus ichida tashkil qilingan elektron asboblarning yig‘indisi yagona element sifatida gibrildi sxemalar deyiladi. Gibrildi sxemalar va ularning qo‘srimcha elementlari asosidagi quvvatli gibrildi modullar tuziladi. Gibrildi modullarda yagona korpus ichida biror maqsadga mo‘ljallangan bir nechta quvvat kalitlari va qo‘srimcha elektr komponentlari birlashtiriladi. Bularni qo’llashda o‘zgartkich texnika qurilmalarining konstruksiyalari soddalashtiriladi va ishonchliligi oshadi.

Amalda qo’llash uchun bir korpusda o‘rnatalgan bir nechta yakka diodlar, ketma - ket ulangan diodlar, bir va uch fazali ko‘priksimon sxemasi bo‘yicha ulangan diodlar modullari ishlab chiqilgan. Bu modullarning asosini ulangan tranzistorlar, birlashtirilgan tranzistor - diodli kalitlar, qarama -qarshi ulangan diod va tranzistorlardan yaratilgan sxemalar tashkil qiladi (17.27 - rasm).

17.27 - rasmda bir korpusda uch fazali tranzistorli ko‘priksimon invertoring teskari diodlar bilan ulangan sxemasi keltirilgan. Bu sxema o‘zgarmas tokni uch fazali o‘zgaruvchan tokka aylantiruvchi qurilma hisoblanadi. 17.27, d - rasmda invertorga qo‘srimcha uch fazali diodli to‘grilagich ulangan sxema keltirilgan. Bu sxema chastotani o‘zgartiruvchi sxema bo‘lib, elektr yuritmalarining turli rejimlarini boshqarishda qo’llaniladi.

Keltirilgan katta quvvatli o‘zgartkich texnikasi modullarida yana qo‘srimcha elementlardan issiqlik datchiklari, tok va kuchlanish datchiklari, himoya qilish elementlari bo‘lishi mumkin. Bularidan tashqari gibrildi modullarida quvvat sxemalarining boshqaruvchi mikrosxemalari (drayverlar) va mikroprotsessor o‘rnatilgan bo‘lishi mumkin. Bunaqa modullar intellektual modullar deb ataladi.



**17.27 – rasm. Quvvatli gibrid sxemalar:** a) tranzistor - diodli kalit, b) birlashtirilgan kalit, c) o‘zgarmas kuchlanishning pasaytirish moduli, d) uch fazali ko‘priksimon sxema, j) chastota o‘zgartkichi.

### Nasorat savollari

- 1) Bipolyar tranzistorlarning struktuasi , tiplari va belgilarini keltiring;
- 2) UB bilan ulangan BT larning xarakteristikasini ta’riflang;
- 3) BT larni UE va UK bilan ulanishidagi xarakteristikasini ta’riflang;
- 4) BT larning parametrlarini ta’riflang;
- 5) BT ekvivalent sxemalarini chizmada keltiring va ta’riflang;
- 6) P-n otishli maydonli tranzistorlarning (MT) strukturasini ta’riflang;
- 7) Kanali ornatilgan MDP tranzistorlarning texnologiyasini ta’riflang;
- 8) Kanali induksiyalangan MDP tranzistorlarning texnologiyasini ta’riflang;
- 9) MDP chiqish xarakteristikalarini ta’riflang;
- 10) Katta quvvatli tranzistorlarning kanallari qanday o‘rnataladi?
- 11) IGBT tanzistorlarning strukturasini ta’riflang;

- 12) IGBT tanzistorlarning ekvivalent sxemasini keltiring;
- 13) Gibrid sxemalar qanday tashkil qilinadi?
- 14) Bipolyar tranzistorlarni kuchaytirish koeffitsiyenti qanday aniqlanadi?
- 15) Ulanish sxemalarining qaysi birida tok kuchaytiriladi?
- 16) Tranzistorlarning qaysi bir ulanishida kirish signaling fazasi o‘zgaradi va bunga nima sabab?
- 17) To‘yinish rejimida nima sababdan kollektor toki o‘zgarmasdan qoladi?
- 18) Nima uchun umumiy baza bilan ulangan tranzistorning kuchaytirgich koeffitsiyenti noldan kichik bo‘ladi?
- 19) Tranzistorni chiqish statik xarakteristikasida qanday rejimlar ajratilgan? Ularga ta’rif bering.
- 20) Bipolyar tranzistorlarning chiziqli va nochiziq ekvivalent sxemalarining tarkiblariga qanday elementlar kiradi?

## 18. TIRISTORLAR

### 18.1. Tiristorlarning turlari va rivojlanish bosqichlari

Tiristor - bu ikki turg'un holatda ishlaydigan to'rt qatlamlili yarimo'tkazgichli elektron asboblarning umumiy nomidir. Birinchi turg'un holati past o'tkazuvchanlik (yopilgan) holati bo'lsa, ikkinchisi - yuqori o'tkazuvchanlik (ochilgan) holati hisoblanadi. Tiristorning ochilishi uning boshqarish elektrodiga kuchlanish (tok), yoki yorug'lik (fototiristorlar) berilishi bilan erishiladi.

Tiristorlarning dastlabki seriyasi AQSH - ning Jeneral Electric firmasi tomonidan 1957 - yilda ishlab chiqilgan. **Tiristor** degan atama birinchi bo'lib boshqariluvchi kremniy ventillarning to'rt qatlamlili uch elektrodli asboblarini belgilash uchun qo'llangan. Ammo, keyinchalik ishlab chiqilgan barcha to'rt qatlamlili *p-n-p-n* strukturali elektron asboblarning boshqa turlari ham tiristorlar deb nomlangan. Bular: bir operatsion tiristorlar; boshqariluvchi ikki operatsion tiristorlar; simmetrik tiristorlar (simistorlar); yorug'lik bilan boshqariluvchi tiristorlar va h.k.

**Bir operatsion tiristorga** yopilish davomida anod - katodga teskari kuchlanish berilib, tiristordan o'tayotgan to'g'ri tok nolga tushiriladi va yopilish xususiyatining tiklanish davomida teskari kuchlanish saqlab qolinadi. Bu shartlar bajarilmasa, to'g'ri kuchlanish berilishi bilan boshqaruvchi impuls berilmasa ham tiristor ochilib ketadi.

**Fototiristorlarda** bir operatsion tiristorlar prinsipi bo'yicha ochilish yopilish operatsiyalari bajariladi. Ularning farqi shundaki tiristorning ochilishi uchun yetarli bo'lgan zaryad tashuvchilarning soni boshqarish toki bilan emas, balki tiristorning bazasiga tushgan yorug'lik orqali ta'minlanadi. Asbobning korpusida yorug'lik tushishiga mo'ljallangan maxsus derazacha mavjud.

**Ikki operatsion tiristorlar** VAX - lari bir operatsion tiristorlarga o'xshash bo'lib, ularning ochilib yopilishi anod - katod kuchlanishi o'zgarmagan holida, boshqariluvchi elektrodlarga ikki ishorali tok impulslarining berilishi bilan amalga oshiriladi. Boshqarish elektrodiga qarama - qarshi berilgan toklar natijasida vujudga kelgan musbat teskari

bog'lanish, tiristor tokining kamayishiga va ularning yopilishiga olib keladi.

**Simmetrik tiristorlar (simistorlar)**  $p$  va  $n$  qatlamlarning kombinatsiyasi orqali tuzilgan yarimo'tkazgichli strukturalar bo'lib, ularda anod - katodlarga berilgan ikkala ishorada ham VAX - lari oddiy (bir operatsion tiristorning) to'g'ri tok sohasini takrorlaydi.

Quyida katta quvvatli elektronika sxemalarida ko'p qo'llaniladigan chet el firmalarida ishlab chiqariladigan zamonaviy tiristorlarning qisqartirilgan belgilanishlarini (abreviaturalarini) ko'rsatib o'tamiz.

**Tiristor GTO** - to'la nomi *gate turn off thyristor*. Tarjimada - ulanib - uzilish bilan boshqariluvchi tiristor .

**Tirisor GCT** - to'la nomi *gate commutated thyristor*. Tarjimada - boshqarish orqali kommutatsiya qilinuvchi tiristor.

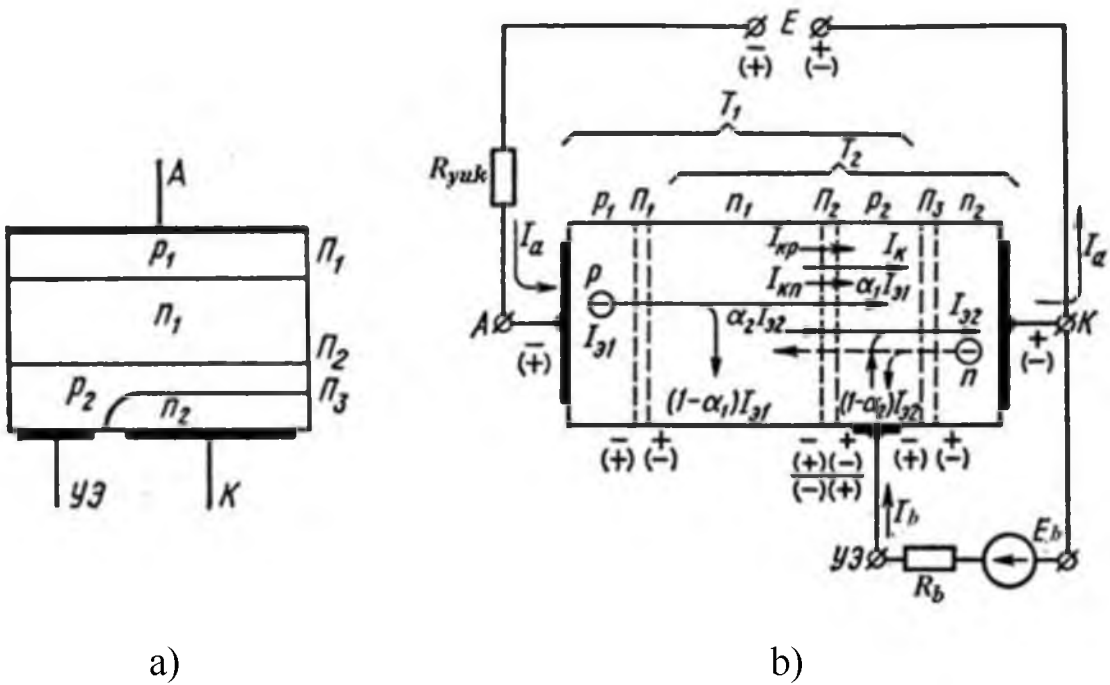
**Tiristor IGCT** - to'la nomi *integrated gate commutated thyristor*. Tarjimada - integrallashgan boshqarish orqali kommutatsiya qilinuvchi tiristor.

**Tiristor MST** - to'la nomi *MOS control thyristor*. Tarjimada - MOP struktura orqali boshqariluvchi tiristor.

## 18.2. Tiristorlarning strukturasi, ishlash prinsipi va xarakteristikasi

Yuqorida keltirilgan barcha tiristorlarning ochilish va yopilish jarayonlari bir - biriga o'xshash bo'lib, ular to'rt qatlamlı strukturalardagi  $p$  -  $n$  o'tishlarning regenerativ jarayonlari bilan aniqlanadi. Ular o'zaro o'xshashligi tufayli, umumiy baholash uchun bir operatsion tiristorlarga teskari va to'g'ri ravishda berilgan kuchlanishlar natijasidagi ishlash prinsipini ko'rib chiqamiz.

Bir operatsion tiristorlarning to'rt qatlamlı strukturasi 18.1 a – rasmda keltirilgan. 18.1 b - rasmda unga teskari kuchlanish berilgandagi ishoralar qavssiz va to'g'ri kuchlanishdagi qavslari isoralar bilan ko'rsatilgan. Volt - amper xarakteristikasi 18.2 – rasmda keltirilgan.

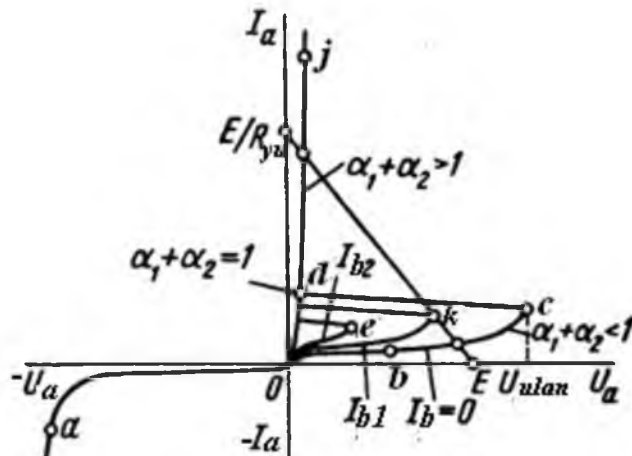


**18.1. – rasm. a) Tiristorlarning struktura sxemasi; b) strukturada toklarning taqsimlanishi**

Teskari kuchlanish berilishi natijasida ( $I_b=0$ ,  $E < 0$ ,  $U_{ak} < 0$ )  $\Pi_2$   $p - n$  o‘tish ochilgan holatda va undagi kuchlanish qiymati nolga yaqin bo‘lib, chetdagi  $p - n$  o‘tishlar  $\Pi_1$  va  $\Pi_3$  yopilgan va teskari ishora ta’sirida bo‘ladi. Demak, berilgan teskari kuchlanish asosan  $\Pi_1$  va  $\Pi_3$   $p - n$  o‘tishlar orasida taqsimlanadi. Ammo, tiristorlarning ishlab chiqish texnologiyasiga asosan aralashma materiallarning konsentratsiyasi  $p_2$  va  $n_2$  qatlamlarda  $p_1$  va  $n_1$  qatlamlarining ancha katta bo‘lganligi sababli  $\Pi_3$  o‘tishning kengligi  $\Pi_1$  dan sezilarli darajada qisqa bo‘lib, teskari xarakteristikasiga  $\Pi_3$  o‘tishning ta‘siri inobatga olinmaydi. Shuning uchun ham tiristorning teskari volt - amper xarakteristikasi (18.2 - rasm),  $\Pi_1$   $p - n$  o‘tishning teskari xarakteristikasiga teng deb hisoblanadi. Bu vaziyat tufayli tiristorlarni katta teskari kuchlanishdan himoyalashda diodlarni himoyalash usullarini qo‘llash mumkin.

Tiristorlarga to‘g‘ri ravishda kuchlanish berilsa  $E > 0$ ,  $U_{ak} > 0$  (18.1 - rasmda qavs ichidagi ishoralar), chetlardagi  $\Pi_1$  va  $\Pi_3$   $p - n$  o‘tishlarga to‘g‘ri yo‘nalishdagi va  $\Pi_2$  o‘tishga teskari yo‘nalishdagi kuchlanishlar ta‘sir qiladi. Agarda tiristorlarning ochilish shartida uchala ( $\Pi_1$ ,  $\Pi_2$ ,  $\Pi_3$ )  $p - n$  o‘tishlarda ham bir vaqtda to‘g‘ri

kuchlanish hosil bo‘lishi talab qilinsa, tiristorlarni ochish va yopish uchun faqat  $\Pi_2$  - o‘tishni boshqarish afzalligiga kelamiz.



### 18.2- rasm. Bir operatsion tiristorlarni volt – amper xarakteristikasi

Boshqarish tokining qiymati nolga teng bo‘lganidagi ( $I_b = 0$ )  $\Pi_2$  o‘tishni boshqarish jarayonini ko‘rib chiqamiz. Bu rejim to‘rt qatlamlili strukturalarni **Dinistor** rejimi deyiladi. Dinistor rejimini tahlil qilish uchun tiristorning ikki tranzistorli ekvivalent sxemasidan foydalanamiz (18.3b - rasm). Birinchi tranzistor  $T_1$  ning strukturasi  $p_I - n_I - p_2$  va ikkinchi tranzistorniki esa  $n_I - p_2 - n_2$  qatlamlardan tashkil qilingan. Tranzistorlarning  $p-n$  o‘tishlaridagi kuchlanish ishoralari to‘g‘ri kuchlanish ishoralari rejimiga to‘g‘ri keladi, ya’ni, emitterga to‘g‘ri yo‘nalishda va kollektorga teskari yo‘nalishda berilgan. Tiristorning ikki tranzistorlik ekvivalent sxemasi 18.3,b–rasmida keltirilgan. Bu sxemada  $T_1$  va  $T_2$  tranzistorlarning toklari va ularning uzatish koeffitsiyentlari 18.1,b – rasmda ko‘rsatilgan yo‘nalishi bo‘yicha quyidagilarni bildiradi:

$\alpha_1$ ,  $\alpha_2$  -  $T_1$  va  $T_2$  tranzistorlarning toklarini uzatish koeffitsiyenti;  
 $(1 - \alpha_1)I_{e1}$  va  $(1 - \alpha_2)I_{e2}$  -  $T_1$  va  $T_2$  tranzistorlarning baza toklari;  
 $\alpha_1 I_{e1}$  va  $\alpha_2 I_{e2}$  -  $T_1$  va  $T_2$  larning kollektor toklari;  
 $I_{kp}$  -  $p$  – qatlamdan  $n$  – qatlamga diffuziya mexanizmi orqali o‘tgan kovak tashuvchilar tomonidan hosil bo‘lgan tok;

$I_{kn}$  -  $r$  – qatlamdan  $n$  – qatlamga diffuziya mexanizmi orqali o‘tgan elektron tashuvchilar tomonidan hosil bo‘lgan tok;

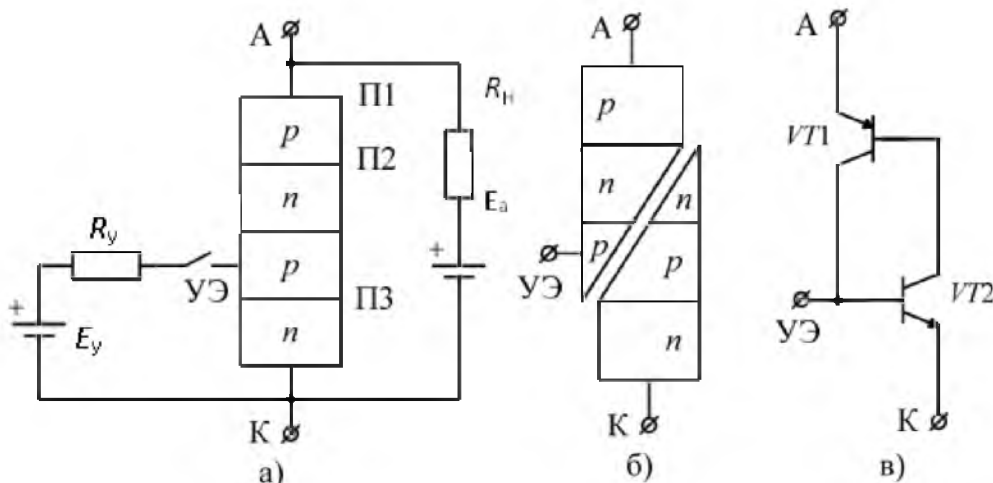
$$I_k = I_{kp} + I_{kn};$$

$I_{k0}$  - kollektor o'tishidagi issiqlik toki.

Tiristorlarning ochiq holatdan yopiq holatga o'tishiga  $\Pi_2$  o'tishining kengligini o'zgartirish bilan erishiladi. Bunda ta'sir qiluvchi asosiy faktorlar ikki mexanizm bilan aniqlanadi :

1. Diffuzion toklar  $I_{kn}$  va  $I_{kp}$  - ning hosil bo'lish mexanizmi va ularning yig'indisi bo'lgan  $I_k$  tokining  $\Pi_2$  o'tishning kengligiga ta'siri;

2. Kollektor toklari  $\alpha_1 I_{e1}$  va  $\alpha_2 I_{e2}$  - ning hosil bo'lish mexanizmi va ularning  $\Pi_1$ ,  $\Pi_2$  va  $\Pi_3$  o'tishlaridagi jarayonlarga ta'siri va tiristorlarning ochilish holatidagi regenerativ jarayonlarning tashkil qilinishi.



### 18.3 – rasm. Tiristorning ikki tranzistorli analogi

Shu sababli  $\Pi_2$  - dan o'tadigan tok qiymatini quyidagicha aniqlash mumkin:

$$I_{p2} = \alpha_1 I_{e1} + \alpha_2 I_{e2} + I_k. \quad (18.1.)$$

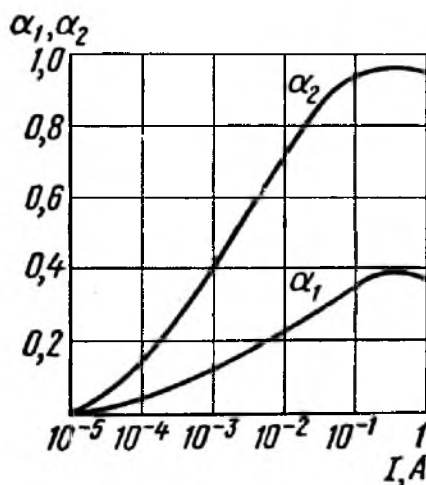
Tiristorning har bir qatlamidan o'tadigan toklar anod toki  $I_a$  -ga tengligini inobatga olinsa ( $I_a = I_{e1} = I_{e2} = I_{p2}$ ) keltirilgan 4.1 ifoda quyidagi shaklga keltirilishi mumkin:

$$I_{p2} = I_a = (\alpha_1 + \alpha_2) I_a + I_k. \quad (18.2.)$$

Bunda

$$I_a = \frac{I_k}{1 + (\alpha_1 + \alpha_2)} \quad (18.3)$$

Tenglama (18.2) – dan ko‘rinib turibdiki, keltirilgan toklarga asosan koeffitsiyentlar  $\alpha_1$  va  $\alpha_2$  - ning qiymatlari o‘z ta’sirini bildiradi. Anod tokining koeffitsiyentlari  $\alpha_1$  va  $\alpha_2$  bilan bog‘lanishi 18.4 – rasmdagi grafikda keltirilgan. Koeffitsiyent  $\alpha_2$  –ning  $\alpha_1$  –ga nisbatan kattaligiga sabab  $n_2$  bazaning kengligi  $p_1$  bazaning kengligidan kichiklidadir.



#### 18.4 – rasm. $\alpha_1$ va $\alpha_2$ koeffitsiyentlarining tok bilan bog‘lanishi

Grafik bo‘yicha  $U_a$  kuchlanishini kichik qiymatlarida, tok  $I_k$  ning qiymati kamligida va uzatish koeffitsiyentining yig‘indisi ( $\alpha_1 + \alpha_2$ ) taxminan nolga teng bo‘lib, anod va katod toklari  $I_a = I_k$  o‘zaro teng bo‘ladi. 18.2- rasmda ko‘rsatilgan tiristorning VAX da bu holat (0 - b) intervalga to‘g‘ri keladi.

Kuchlanish  $U_a$  oshishi bilan kollektor toki  $I_k$  va uning tashkil qiluvchi toklar  $\alpha_1 I_{e1}$ ,  $\alpha_2 I_{e2}$  ham oshadi va natijada anod toki  $I_a$  ni oshishiga olib keladi. Ya’ni, tiristorning VAX - ga yuqorida ko‘rsatilgan ikkita mexanizm ham barobariga ta’sir qiladi . Bunda uzatish koeffitsiyentlarining yig‘indisi  $\alpha_1 + \alpha_2$  noldan katta bo‘ladi, lekin qiymati birga yetmaydi. Nuqta c - ga yaqinlashgan sari (18.1 rasm ) anod toki  $I_a$  kollektor tokini tashkil qiluvchilar  $\alpha_1$ ,  $I_{e1}$  va  $\alpha_2$   $I_{e2}$  hisobiga oshadi va nixoyat chegara nuqtasi hisoblangan c nuqtada tiristor ochiladi. Bu nuqtadagi kuchlanish ulanib - uzelish kuchlanishi deyiladi . Nuqta c – da tiristordagi kuchlanish  $\Pi_1$  va  $\Pi_3$  o‘tishlarning to‘g‘ri yo‘nalishidagi kuchlanishlarning yig‘indisiga teng. Nuqta c - dan boshlanib, d - nuqtagacha

tiristorda musbat teskari bog'lanish natijasida hosil bo'lgan to'xtovsiz oqim jarayoni tiristorni to'liq ochilishiga olib keladi.

Bu jarayon quyidagi ketma - ketlikda o'tadi: tok  $I_a$  oshishi bilan  $p_1$  - bazadagi elektronlarning va  $r_2$  - bazadagi kovaklarning (teshiklarning) oqimi oshadi va shu sababli bazada "ortiqcha" zaryadlar paydo bo'ladi. Bu zaryadlar kollektor o'tishlari  $\Pi_1$ ,  $\Pi_3$  va baza o'tishi  $\Pi_2$  larni qisqartirib, qo'shimcha zaryad tashuvchilarning sonining yanada oshishiga olib keladi. Qo'shimcha tashuvchilar sonining ko'payishi  $\alpha_1$  va  $\alpha_2$  koeffitsiyentlarining yanada oshishi bilan tiristorning ikkala bazasi ham zaryad tashuvchilari bilan to'ldiriladi. Bu jarayon  $g$  - nuqtagacha davom etadi. Nuqta  $g$  - da  $\Pi_2$  o'tishdagi kuchlanish va toklar nolga teng ( $U_{P2}=0$ ,  $I_k=0$ ) va koeffitsiyentlar yig'indisi  $\alpha_1 + \alpha_2 = 1$  teng bo'ladi. Bunda o'tish  $\Pi_2$ -ni toki  $\alpha_1 I_{e1}$  va  $\alpha_2 I_{e2}$  toklarning yig'indisiga teng bo'ladi.

Nuqta  $d$  - dan nuqta -  $j$  gacha tiristorning toki ko'payadi va koeffitsiyentlar  $\alpha_1$  va  $\alpha_2$  oshib, ularning yig'indisi ( $\alpha_1 + \alpha_2 > 1$ ) bo'ladi. Bu intervalda  $\Pi_2$  o'tishdagi kuchlanish  $U_{P2}$  o'zining ishorasini va kollektor tokka  $I_k$  o'zining yo'nalishini o'zgartiradi va uchala  $p-n$  o'tishlarning ( $\Pi_1$ ,  $\Pi_2$ ,  $\Pi_3$ ) kuchlanishlari ham to'g'ri (ochilish) yo'nalishda bo'lib,  $d-j$  interval davomida tiristor ochilgan holatga keladi. Nuqta  $d$  - dagi kuchlanish saqlab qoluvchi kuchlanish va tok - saqlab qoluvchi tok deb aytildi.

Tiristorni boshqarish toki ta'sirida ishlashini ko'rib chiqamiz. Tok  $I_b > 0$  bo'lganida ham yuqorida keltirilgan kollektor tokini va uni tashkil qiluvchi qismlarini aniqlovchi ifoda sifatida (18.3) qo'llanishi mumkin. Lekin bunda boshqarish toki  $I_b$ , inobatga olinsa, ifoda (18.3) quyidagi ko'rinishga keladi:

$$I_a = \frac{I_k + \alpha_2 I_b}{1 + (\alpha_1 + \alpha_2)} \quad (18.4)$$

Bu ifodaga ko'ra boshqarish toki  $I_b$  anod toki  $I_a$  - ning yanada keskin o'sishiga olib keladi. Buning sababi, birinchidan (18.4) ifodaning suratidagi  $\alpha_2 I_b$  tokning mavjudligi, va ikkinchidan  $\alpha_2$  koeffitsiyentining oshishi. Koeffitsiyent  $\alpha_2$  oshishi  $I_{e2}$  tokining boshqaruvchi tok  $I_b$  miqdoriga ko'payishi hisobiga mumkin bo'ladi. Buning natijasida

tiristorning yopiq holatidan ochiq holatiga o‘tishi uchun unga kamroq kuchlanish berilishi mumkin.

### 18.3 Tiristorlarning parametrlari va ishlash rejimlari

Tiristorlarning statik va dinamik rejimlarini aniqlovchi bir nechta parametrlari mavjud. Statik parametrlarga asosan ularning ochilib yopilish orasidagi ishlash rejimlarining toklari va kuchlanishlari kiradi. Dinamik parametrlarga tiristorlarning ochilish va yopilish davridagi anod va boshqarish zanjirlarining tok va kuchlanishlari kiradi.

Tok va kuchlanish bo‘yicha asosiy **statik parametrlari** :

- to‘g‘ri yo‘nalishdagi o‘rtacha tokning maksimal qiymati ( $I_{o.r.max}$ ). Bu tok bir fazali va bir yarim davrli to‘g‘rilagich sxemada, sinusoidal tokning 50 Gerslik chastotasida, ishlash burchagi  $180^\circ$  bo‘lganida, yarimo‘tkazgich kristalining ruxsat etilgan haroratida aniqlanadi.

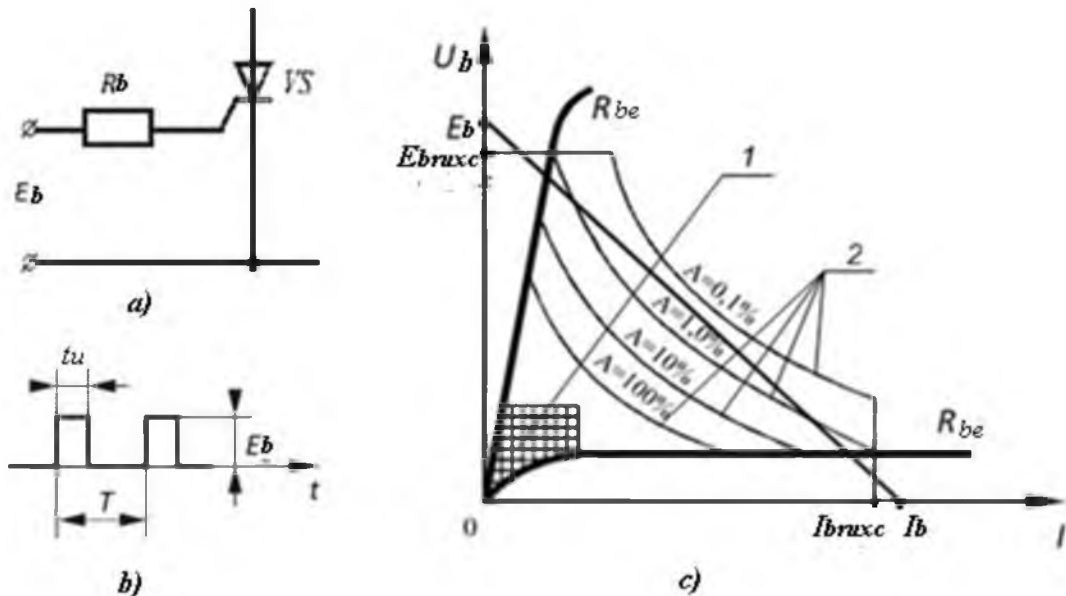
- har bir davrda tiristorga to‘g‘ri yoki teskari ravishda beriladigan kuchlanishning maksimal qiymati  $U_{to.g..max}$ ,  $U_{tesk..max}$ .

Boshqa parametrlari katta quvvatli diodlarning parametrlaridan farq qilmaydi.

**Boshqaruvchi parametrlar.** Har bir tiristor uchun boshqaruvchi parametrlar ma’lumotnomalarda berilgan diagrammalar bo‘yicha aniqlanadi. Amplitudasi  $E_b$  bo‘lgan impulslar tiristorlarni boshqaruvchi elektrodlarga chegaralovchi qarshiliklar  $R_b$  orqali beriladi (18.5, a va b - rasm). Boshqaruvchi parametrlarning aniqlovchi diagrammada (18.5,c - rasm) qalin chiziqlar bilan kirish xarakteristikasining minimal va maksimal qarshilikning chegarasi ko‘rsatilgan. Shtrixlangan yuza (1) - anod kuchlanishining minimal qiymatida tiristorlarni ochishga yetarli bo‘lmanan tokning sohasi ko‘rsatilgan. Egri chiziqli parametrlar (2) - boshqariluvchi  $p - n$  o‘tishga turli kengligida berilgan impulsarning sarf qilinadigan o‘rtacha quvvatini aniqlochi giperbola “A” chiziqlari.  $A = \frac{t_i}{T} 100\%$  - davrni impuls bilan to‘ldiruvchi koeffitsiyent, bunda:  $t_i$ ,  $T$  - impuls kengligi va davri (18.5, b - rasm). Bularidan tashqari diagrammada mumkin bo‘lgan chegaralovchi tok va kuchlanishlar  $I_{bruxs}$ ,  $U_b$   $ruxs$  ko‘rsatilgan. Ular bo‘yicha tiristor uchun boshqaruvchi parametrlar  $E_b$ ,  $R_b$ ,  $t_i$  tanlanadi. Bu parametrlarni tanlashda boshqarish toki  $I_b$  va

boshqariluvchi elektrod kuchlanishi  $U_b$  ruxsat etilgan doira ichidan aniqlanadi. Impuls ta'siri davomida boshqaruvchi zanjir uchun (18.5, a - rasm) Kirxgoffning ikkinchi qonuniga ko'ra quyidagi tenglamani keltirish mumkin:

$$E_b = U_b + I_b R_b \text{ yoki } U_b = E_b - I_b R_b ; \quad (18.5.)$$



**18.5 – rasm. Tiristorni:** a) boshqarish sxemasi; b) boshqarish impulsları;  
c) boshqaruvchi parametrlarni tanlash diagramması

Tenglama (18.5) to‘g‘ri chiziq bo‘lib tiristorning boshqaruvi diagrammasida ikkita nuqtadan aniqlanishi mumkin: birinchi nuqta -  $I_b = 0$ ,  $U_b = E_b$ ; va ikkinchi nuqta -  $U_b = 0$ ,  $I_b = E_b / R_b$ . 18.5, c - rasmda bu nuqtalardan o‘tkazilgan to‘gri chiziq ko‘rsatilgan. Bu chiziq boshqarish zanjiri uchun yuklama chizig‘i deb aytiladi. Boshqaruvchi  $U_b$ ,  $R_b$  tanlashda yuklama chizig‘i berilgan  $A$  parametrini qiymatidan kattaroq bo‘lgan qiymatlar doirasida o‘tkazilishi talab etladi. Masalan, 18.5, c - rasmda keltirilgan diagarammada berilgan parametr  $A = 0.1\%$  dan katta qiymatlardagi o‘tkazilgan yuklama chizig‘i tanlangan  $E_b$ ,  $R_b$  ruxsat etilgan  $I_{b.rux}$  va  $U_{b.rux}$ , qiymatlardan oshmaganligi ko‘rinib turibdi.

**Tiristorlarning ulanish jarayoni** ulanish vaqtini  $t_{ulan}$  quyidagi ifoda bilan aniqlanadi

$$t_{ulan} = t_{kech} + t_{o's} , \quad (18.6)$$

bunda:  $t_{kech}$  - kechiqish vaqt (boshqarish impulsining berilish momentidan to tiristordagi kuchlanish nominal qiymatidan 0,9 qiymatigacha pasayish vaqt);  $t_{o's}$  - o'sish vaqt (tiristordagi kuchlanishning nominal qiymatidan 0,9 - dan to 0,1- gacha pasayishi, yoki tiristor tokining 0,1 - dan to 0,9 - gacha oshish vaqt).

Ifoda (4.6) dan ko'rinib turibdiki, tiristorning ulanish vaqt chegaralangan bo'lib, tiristorlarni turlari va yuklamaning parametrlariga ko'ra 10 - 500 mks. lar bo'lishi mumkin. Ulanish vaqt davomida tiristorlarda katta oniy quvvat sarf qilinadi. Masalan:  $E_a = 1000V$ ,  $I_k = 1000 A$  bo'lganida ulanishdagi energiya  $R_{max} = 0.5$ ,  $E_b = 0.5$ ,  $I = 250000 Vt = 25 kVt$ . - ni tashkil etadi. Bu energiyani kamaytirish uchun tiristorlarga ketma - ket induktivlik elementi ( $L$ ) ulanadi (18.6 - rasm). Qo'shimcha ( $L$ ) ulanganda  $R_{max}$  - ning kamayishi anod tokining oshish tezligining chegaralanishi hisobiga o'tadi. Ulanishdagi sarf qilingan energiyani inobatga olish uchun tiristorlar uchun qo'shimcha parametr - anod tokining oshishini ruxsat etilgan tezligi  $di / dt)_{ruxs} = (10....100) A/mks.$  kiritiladi.

**Tiristorning uzilish jarayoni** ikkita bosqichdan iborat bo'ladi.

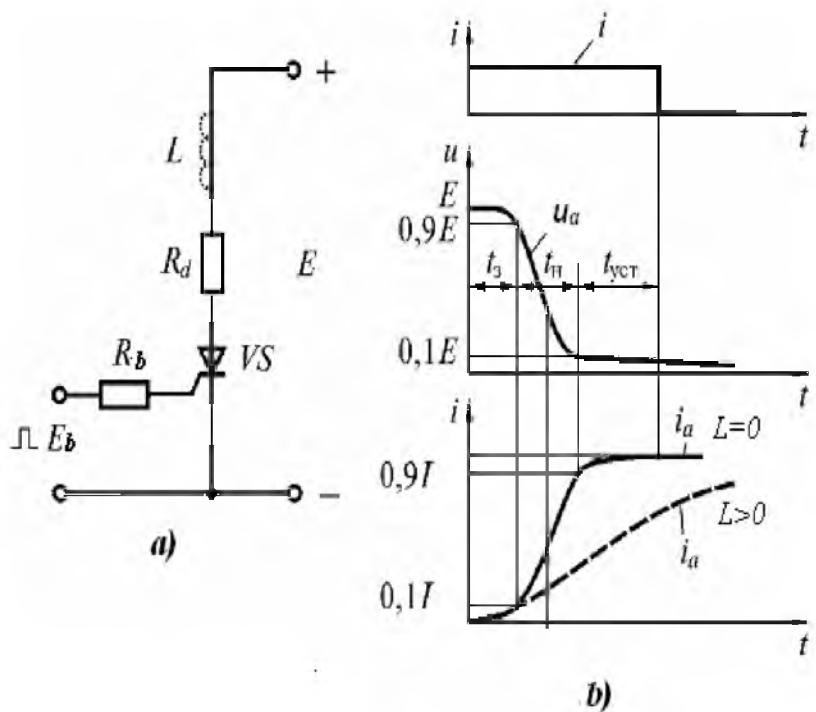
Birinchi bosqichda tiristorga teskari berilgan kuchlanishning keskin oshishi (sakrash) natijasida anod toki pasayishga boshlaydi (pasayish tezligi chegaralovchi induktivlik  $L$  -ga bog'liq). Anod tokining qiymati nolga teng bo'lishidan boshlab bazadagi qo'shimcha tashuvchilarning so'riliш jarayoni boshlanib, tiristorning yopilishiga olib keladi. Umuman uzilish vaqt quyidagicha aniqlanadi:

$$t_{uz} = t_{pas0} + t_s \quad (18.7)$$

bunda:  $t_{pas0}$  - tiristor to'g'ri tokining nolgacha pasayish vaqt,

$t_s$  - baza  $r_2$  - qatlamida qo'shimcha tashuvchilarning so'riliш vaqt

So'riliш davrida boshqarish toki berilmasdan to'g'ri kuchlanish qaytadan berilsa, tiristor qayta ulanadi (ochiladi). Buning oldini olish uchun ikkinchi bosqich bajariladi.



**18.6 - rasm. a) Tiristorning ulanish sxemasi; b) ulanishdagi o'tkinchi jarayonlar**

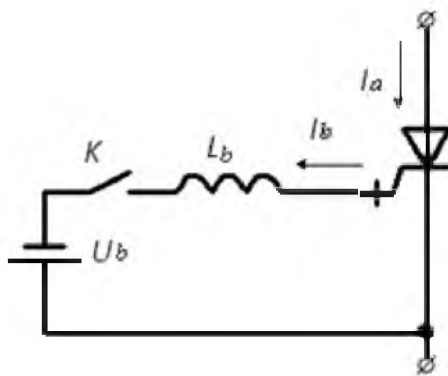
Bu bosqichda tiristorlarga ma'lum vaqt davomida teskari kuchlanish beriladi va tiristor yopilgan holatdagi xususiyatlarini to'la tiklab oladi. Tiklanish vaqtining qiymati teskari berilgan kuchlanishning qiymatiga bog'liq. Bir operatsion tiristorlaning yuklama tokiga ko'ra uzilish vaqtini ( $t_{uz}$ ) taxminan  $10\dots500$  mks. larni tashkil etadi. Bu vaqt bilan tiristorlarning ishlash chastotalari belgilanadi.

Tiristorning to'g'ri toki keskin o'zgarganida  $\Pi_2$  o'tishdagi teskari holatga kelgan kuchlanish ta'sirida sig'im S dan boshqarish elektrodiga tok o'tadi. Bu tokning qiymati tiristorga berilgan to'gri kuchlanishning o'sish tezligi  $(dU/dt)$  - ga bog'liq bo'ladi. Bu ko'rsatkichning ma'lum bir qiymatida boshqarish impulsi berilmasdan tiristor ochilishi mumkin. Zamonaviy tiristorlarda bu ko'rsatkich taxminan  $(dU/dt)_{dop} = (1\dots1000)$  V/mks teng.

#### 18.4. Yopiluvchi tiristorlar

**Yopiluvchi GTO** (*gate turn – off thyristor*) tiristorni yopiq holatdan ochiq holatga o'tkazish va uning teskarisini bajarish boshqariluvchi

elektrodlarga musbat va manfiy ishorali tok impulslarining berilishi bilan amalga oshiriladi. *GTO* tiristorini ochiq holatiga o'tkazishda oddiy - bir operatsion tiristorning ochilish shartlari takrorlanadi (18.6 - rasm). Yopilish zanjirining sxemasi 18.7 – rasmda keltirilgan.



**18.7 – rasm. *GTO* tiristorning yopilish sxemasi**

Yopilish jarayonida boshqariluvchi elektrod bilan kollektor orasiga berilgan manfiy kuchlanish natijasida berkituvchi tok  $I_b$  bazaning p - qatlamidagi asosiy tashuvchilar bo'lgan kovaklarning kamayishiga olib keladi. Tashuvchilarning kamayishi bilan  $\Pi_2$  o'tish yopiladi va anod toki  $I_a$  keskin kamayadi. Bu yopilish harakatining asosiy kamchiligi kuchaytirish koeffitsiyenti  $\beta = I_a / I_b = 3 \dots 5$  kamligida. Masalan, ochiq holatida 1000 A - ga teng bo'lgan tokini o'tkazuvchi tiristorni yopish uchun boshqarish elektrodiga  $I_b = 250$  A bo'lgan tok berilishi lozim.

Yopiluvchi *GTO* tiristorni uzilish vaqtin boshqariluvchi tokning o'sish tezligi  $dI_b/dt$  va uning amplitudasiga bog'liq. Boshqarish tokining o'sish tezligi zararli (parazit) boshqaruvchi elektrod zanjiridagi induktivlik  $L$  bilan (100-300 nGn) chegaralangan bo'ladi (18.7 - rasm). Shuning uchun *GTO* tiristorlarda uzilish vaqtin nisbatan katta va shu sababli ishslash chastotasi 250-300 Gs bilan chegaralanadi.

Yopiluvchi *GCT* tiristor. Bu tiristor murakkablashtirilgan *GTO* tiristorning varianti hisoblanadi. *GTO* tiristordan uning farqi yopilish (uzilish) vaqtining tezligida. Yopilish tezligini oshirishga boshqarish prinsipini va tiristorning konstruksiyasini o'zgartirish bilan erishilgan. Boshqarish prinsipini o'zgartirish deganda tiristorni berkituvchi tok anod tokiga teng yoki undan katta bo'lib, uning kuchaytirish koeffitsiyenti  $\beta = I_a / I_Z = 1$  teng bo'ladi (*GTO* tiristor uchun  $I_a$  3...5 marta  $I_b$  - dan

katta va  $\beta = 3\dots 5$ ). Konstruktiv o‘zgartirishda esa boshqarish elektrodining induktivligi  $L$ -ni kamaytirish chorasi ko‘riladi.  $GCT$  tiristorlarda bu ko‘rsatkich 4...5 nGn -ga teng ( $GTO$  tiristorlar uchun yuqorida 100...300 nGn ligi ko‘rilgan). Induktivlik  $L$ -ning kamayishi natijasida boshqarish tokining o‘sish tezligi  $GTO$  dagi tok  $dI_z/dt = 30\dots 40$  A/mks dan  $dI_z/dt = 3000\dots 4000$  A / mks - gacha oshadi.

Natijada,  $GCT$  tiristorning yopilishida boshqariluvchi elektrodga beriladigan tok, taxminan anod tokiga teng bo‘lib, strukturani katod qatlaming  $p$  zarrachalari atrofidagti potensialining yo‘qolishiga olib keladi. Anod toki boshqariluvchi elektrod zanjiriga o‘tadi va tiristorning to‘rt qatlamlı strukturasining ishchi qismi  $p - n - p$  tranzistorlarning strukturasiga o‘xshab uch qatlamlı strukturaga o‘tadi va tranzistor tez holatda yopiladi.  $GTO$  tiristorlarning yopilish vaqtı 0.1 mks gacha va chastotasi 30 kGs bo‘lishi mumkin.

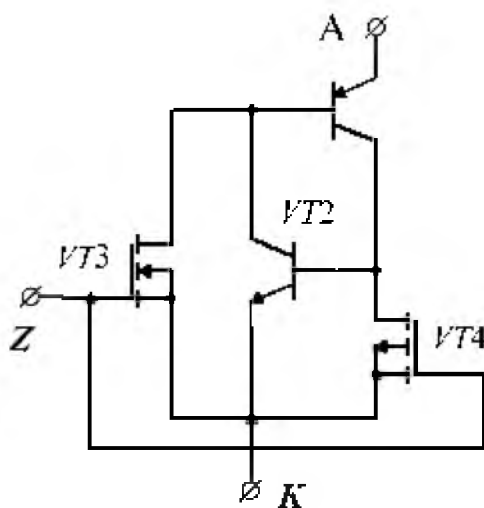
$GCT$  tiristorlarning amaliyotda ko‘p qo‘llanadigan universal varianti bu integrallashtirilgan yopiluvchi tiristorlar *IGST (integrated gate commutated thyristor)*. Bu tiristor monolit korpusga bevosita o‘rnatilgan integral boshqarish sxemasi bilan  $GCT$  tiristoridan farq qiladi. Shu sababli uning boshqarish sistemasi soddaroq bo‘lib va ishonchliligi oshadi.

**MST tiristorlar.** Maydon bilan boshqariluvchi MST tiristorlarning yopiluvchi tiristorlardan farqi shundaki - ularning tarkibida ikkita qo‘shimcha maydonli tranzistorlar mavjud. Birichisi - boshqarish elektrodiga tok impulsini berish bilan tiristorlarning ochilish (ulanish) jarayonini va ikkinchisi - yopilish jarayonini boshqaradi.

Bu elektron asboblarning har xil turlari mavjud: p va n kanalli simmetrik va asimmetrik bloklanuvchi tiristorlar, boshqariluvchi zatvori bir yoki ikki tomonli tiristorlar, yorug‘lik bilan boshqariluvchi tiristorlar. MST tiristorlarning n - kanalli ekvivalent sxemasi 18.8 - rasmda ketirilgan.

Bu rasmda keltirilgan n - kanalli *MST* tiristorining ishlash prinsipini ko‘rib chiqamiz.  $VT3$  va  $VT4$  tranzistorlarni boshqarish zanjiriga musbat kuchlanish berilishi bilan n - kanalli maydon tranzistori  $VT3$  ochiladi. Tranzistor  $VT2$  - ning emitteridagi  $p - n$  o‘tishning shuntlanishi bo‘lmaganligi sababli,  $p-n-p-n$  strukturada rivojlangan regenerativ jarayon *MST* tiristorning ochilishiga olib keladi. *MST* tiristorining ochilgan

holati anod tokining yo‘nalishi o‘zgarishi yoki berkituvchi maydon tranzistori  $VT4$  ochilishi bilan saqlanib qoladi. Tranzistor  $VT4$  ochilish signali



**18.8 - rasm. MST tiristorning ekvivalent sxemasi.**

kirish zanjiri tomonidan manfiy signallarning berilishi bilan amalgalashiriladi. Tranzistor  $VT4$  ochilishi bilan tranzistor  $VT2$  ning  $p - n$  emitter o‘tishi qisqa tutashadi va *MST* tiristor yopiladi.

*MST* tiristorlarning *GTO* va *GTC* tiristorlaridan afzalligi bu ularning boshqarish tizimlarining soddaligida va katta chastotalarda ishlash imkoniyati mavjudligida. Zamonaviy *MST* tiristorlar 10 kVt gacha va undan katta bo‘lgan quvvatlarni 10...30 kgs chastotalarda kommutatsiya qilinishi mumkin.

### Nazorat savollari

1. Bir operatsion tiristorning ishlash prinsipini ta’riflang.
2. Tiristorlarning qanday turlarini bilasiz?
3. Tiristorlarning asosiy parametrlarini ta’riflang.
4. Chiqish volt - amper xarakteristikasini ta’riflang.
5. Tiristorlarning yopilish jarayoni qanday o‘tadi?
6. Tiristorlarning ochilishidagi o‘tkinchi jarayon nimalarga bog‘liq?
7. Tiristorning ikki tranzistorli ekvivalent sxemasini ta’riflang.
8. Boshqarish diagrammasi vazifasini va uning qo‘llanishni ta’riflang.
9. Tiristorlarning ketma-ket ulanishida qanday choralar ko‘riladi?
10. Simmetrik tiristorlarning omillarini ta’riflang.

## O'ZGARTKICH TEXNIKASI QURILMALARI

Elektr energiyasi ikki shaklda (o'zgarmas tok va o'zgaruvchan tok) bo'lganligi sababli bu yo'nalishda to'rt turdag'i o'zgartkich qurilmalarini ishlab chiqish amalga oshirilishi mumkin. Bulardan :

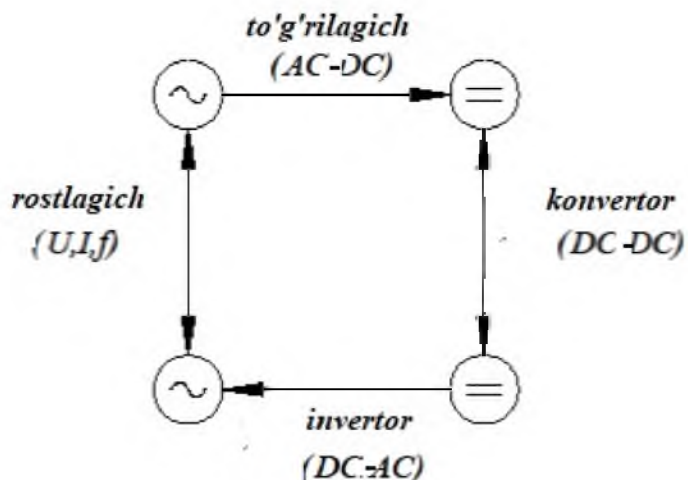
**To'g'rilaqichlar** - o'zgaruvchan tokni o'garmas tokka aylantiruvchi qurilmalar. Chet el adabiyotlarida **AC- DC** o'zgartkichlari deb aytildi. Ingiliz tilidan tarjimasi **AC** ( Alternating current – o'zgaruvchan tok) va **DC** ( Direct current – o'zgarmas tok ).

**Konvertorlar** – o'zgaruvchan tokni o'zgarmas tokka aylantiruvchi qurilmalar. Bu qurilmalar kirishdagi o'zgarmas tok qiymatini yoki biror sifat ko'rsatkichlarini o'zgartirishda qo'llanadi. Chet el adabiyotlarida bu turdag'i o'zgartkichlar **Convertor** lar yoki **DC - DC** o'zgartkichlar deb aytildi.

**Invertorlar** - o'zgarmas tokni o'zgaruvchan tokka aylantiruvchi qurilmalar. Aylantirish davomida o'zgaruvchan tokning qiymati yoki chastotasi rostlanishi mumkin. Chet el adabiyotlarida **DC - AC** o'zgartkichlari yoki **Invertorlar** deb aytildi.

**O'zgaruvchan tok rostlagichlari** - o'zgaruvchan tok qiymati yoki chastotasini o'zgartirish uchun qo'llanuvchi qurilmalar. Chet el adabiyotlarida **AC - AC** o'zgartkichlari deb aytildi.

Yuqorida keltirilgan o'zgartkichlarning aksariyati energetika sohasida qo'llanganligi sababli ular "Energetika elektronikasi" deb ham aytildi. 19.1 - rasmda ushbu o'zgartkichlarning o'zaro bog'lanishlar diagrammasi keltiririlgan.



## **19.1 – rasm. O‘zgartkich qurilmalarning tiplari**

19.1 –rasmida keltirilgan o‘zgartkichlarning har bittasi tok yoki kuchlanish o‘zgartkich vazifasining bajarilarishi mumkin. Masalan : DC-AC o‘zgartkichlari – tok invertorlari yoki kuchlanish invertorlari bolishlari mumkin. Xuddi shunga oxshab boshqa o‘zgartkichlar ham tok yoki kuchlanishlarni o‘zgartirish vazifasini bajarishi mumkin.

## **19. TO‘G‘RILAGICHLAR (AC-DC O”ZGARTKICHLAR)**

### **19.1. To‘g‘rilagichlarning tuzilishi va sinflanishi**

To‘g‘rilagichlar ikkita turga ajratiladi - tok to‘g‘rilagichlari va kuchlanish to‘g‘rilagichlari.

**Tok to‘g‘rilagichlarida** chiqishdagi tok bir yo‘nalishda harakatlanadi, kuchlanish esa o‘z ishorasini o‘zgartirishi mumkin. Bu kuchaytirgichlarda ventillar sifatida diodlar va tiristorlar qo‘llaniladi.

**Kuchlanish to‘g‘rilagichlarida** chiqishdagi kuchlanish o‘z ishorasini saqlab qoladi, tok esa o‘z yo‘nalishini o‘zgartirishi mumkin. Bu turdagи to‘grilagichlada ventillar sifatida diodlar, tranzistorlar, boshqariluvchi tiristorlar qo‘llanishi mumkin.

**Tok to‘g‘rilagichlari** bir qator xususiyatlarga ko‘ra sinflanadi.

1. Fazalar soni bo‘yicha:

- a) bir fazali tarmoqda ishlaydigan bir fazali to‘g‘rilagichlar ;
- b) ko‘pfazali tarmoqda ishlaydigan ko‘p fazali to‘g‘rilagichlar.

2. Yarim to‘lqinlar soni bo‘yicha:

- a) bir yarim davrli to‘g‘rilagichlar;
- b) ikki yarim davrli to‘g‘rilagichlar;
- v) ko‘p yarim davrli to‘g‘rilagichlar.

3. Tuzilish sxemalari bo‘yicha:

a) noli chiqarilgan (bularda transformatorlarning ikkilamchi chulg‘amidan tok bir yo‘nalishda oqib o‘tadi);

b) ko‘priksimon sxema (bularda transformatorlarning ikkilamchi chulg‘amidan tok ikki yo‘nalishda oqib o‘tadi). Ko‘priksimon transformator bo‘lmasligi mumkin.

4. Quvvat bo‘yicha:

- a) kam quvvatli (yuzlab vattlar gacha);
- b) o‘rtacha quvvatli (o‘nlab kilovattlar gacha);
- c) yuqori quvvatli (yuzlab va minglab kilovattlar gacha).

5. Boshqarilish imkoniyatlariga ko‘ra:

a) boshqarilmaydigan (diodlar asosida tuzilgan);

b) boshqariladigan (tiristorlar va tranzistorlar asosida tuzilgan). 19.2-rasmda to‘g‘rilagichning umumlashgan blok sxemasi keltirilgan, bunda :

**TF-** tarmoq filtri. Uning vazifasi to‘g‘rilagichning ta‘minot tarmog‘iga zararli ta’sirini kamaytirish;

**T**-transformator - to‘g‘rilaqanadigan kuchlanishni va tarmoq kuchlanishini moslashtirish uchun, shuningdek yuklama va tarmoq potensiallarini ajratish vazifasini bajaradi;

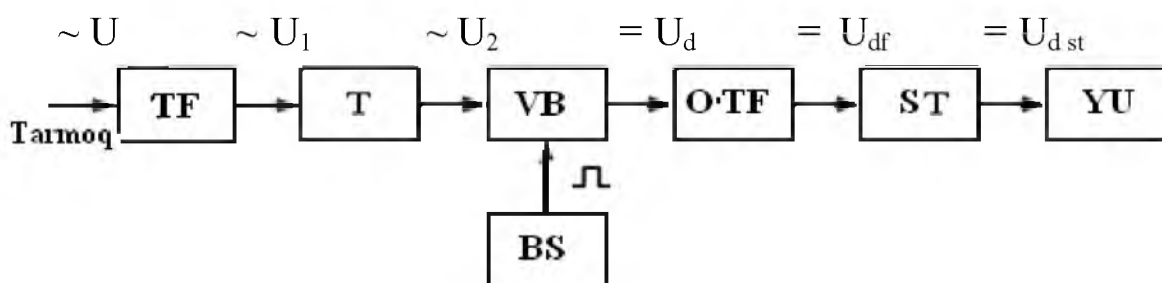
**VB** – ventillar bloki, o‘zgaruvchan tokni to‘g‘rilash uchun ishlataladi;

**O‘TF** - o‘zgarmas tok filtri, to‘g‘rilangan tokni silliqlash uchun ishlataladi;

**ST** - stabilizator, ta‘minot kuchlanishi va yuklama tokining o‘zgarganida yuklamadagi o‘zgarmas kuchlanishning kerakli qiymatini talab etilgan aniqlik bilan saqlanishini ta‘minlaydi

**BS**- boshqarish tizimi, boshqariladigan to‘g‘rilagichlarda to‘g‘rilangan kuchlanishning rostlashini ta‘minlaydi;

**YU** - yuklama.



## 19.2- rasm. To‘g‘rilagichlarning umumlashgan blok sxemasi

Qayd etilgan bloklarning hammasi ham sxemada mavjud bo‘lishi shart emas. Talablarga qarab, VB dan tashqari barcha bloklar bo‘lmasisligi mumkin. Biroq, ko‘p hollarda transformatorning ishtiroki talab qilinadi. Shuning uchun quyida ko‘rilayotgan jarayonlar T- VB ulanishalar

uchun ko'rib chiqiladi. Silliqlovchi filtrning mavjudligi to'g'rilaqich va uning elementlarining ishlash rejimiga sezilarli ta'sir ko'rsatadi. Silliqlovchi filtr tashqi yuklama bilan birgalikda to'g'rilaqichning umumiy yuklamasining turini belgilaydi.

To'g'rilaqichlarning quyidagi yuklama turlari bo'lishi mumkin (filtrni o'z ichiga olgan holda):

- a) aktiv yuklama;
- b) aktiv-induktiv (masalan, o'zgarmas tok motorining qo'zg'atish chulg'ami);
- v) aktiv - induktiv qarshi EYUK bilan (o'zgarmas tok motorning yako'ri);
- d) aktiv – sig‘imli (sig‘imli filtr).

Ayrim vaziyatlarda to'g'rilaqichni hisoblashda induktivlik ta'siri soddalashtirilgan holda bajariladi, ya'ni yuklamaning induktivligi  $L_d = 0$ , yoki  $L_d = \infty$  deb qabul qilinadi.

## **19.2. Bir fazali yarim davrli to'g'rilaqichlar**

Bir fazali , bir yarim davrli to'g'rilaqichning sxemasi va vaqt diagrammalari 19.3a – rasmida keltirilgan. Diagrammalarni qurishda ventillar va transformator ideal deb qabul qilingan (o'tkazuvchi ventildagi kuchlanish nolga teng va teskari qarshilik cheksiz, transformatordagi sarf qilinadigan quvvat va salt yurish toki nolga teng, ya'ni uning almashtirish sxemasida magnitlanish induktivligi cheksizlikka teng va tarqoqlik induktivligi nolga teng). Keyingi sxemalarni ko'rib chiqish va hisoblashda ham xuddi shunday taxminlar qilinadi.

Diagramma va sxemadagi belgilar :

- $u_1, i_1$  - birlamchi kuchlanish va birlamchi tok;
- $u_2, i_2$  - ikkilamchi kuchlanish va ikkilamchi tok;
- $i_a$  - anod toki;
- $u_a$  - ventildagi kuchlanish;
- $u_d, i_d$  - to'g'rilaqan kuchlanish va to'g'rilaqan tok.

Transformatorning ikkilamchi tomoniga berilgan musbat yarim davr kuchlanishning ta'sirida diod ochilib, bu kuchlanish yuklamaga beriladi; manfiy davr mobaynida - diod yopilgan bo'lib, unga teskari kuchlanish

ta'sir qiladi. Bunda, aktiv yuklamadagi ( $Ld = 0$ ) tok kuchlanishining shaklini takrorlaydi (19.3, b- rasm), va aktiv-induktiv yuklamadagi tok sekin oshib borib, yarim davrdan keyin ham induktivlik  $Ld$  – da yig'ilgan energiya hisobiga yuklamadan o'tishni davom etadi (19.3, c - rasm). To'g'rilangan  $U_d$  kuchlanishda manfiy uchastkalar paydo bo'ladi, lekin tok  $I_d$  faqat bir yo'nalishda o'tadi (tok to'g'rilaqichi).

To'g'rilaqichni hisoblashda va tahlil qilishda birinchidan yuklamaning turi va ishslash shartlari aniqlanadi hamda yuklamaning parametrlari beriladi. Bular dan asosiyлари: sarf qilinadigan o'rtacha quvvat, o'rtacha tok yoki o'rtacha kuchlanish, sifatga qo'yilgan talablar. To'g'rilaqichlarning kirish tomonidagi ko'rsatkichlar ventil blokini transformator parametrlari bilan moslashtiruvchi parametrlar. Bular asosan transformatorlar va kirish filtrlarini hisoblash va tanlash ko'rsatkichlari. To'g'rilaqichlarni hisoblashda yuklama tomonidan berilgan shartlar va parametrlarni ta'minlovchi ventil bloklarini, transformator va kirish filtrlarini hisoblash va tanlash vazifalari bajariladi.

Bir yarim davrli to'grilaqichning aktiv yuklamaga ishlashidagi hisoblashni ko'rib chiqamiz. Ventilar o'rtacha tok asosida tanlanadi, transformator uchun tokning effektiv qiymati muhim, tok va kuchlanishning o'rtacha qiymati esa yuklama uchun muhim ahamiyatga ega. Hisoblashni ikki bosqichga ajratamiz.

### *1. Yuklama tomonidagi toklar va kuchlanishlarni aniqlash.*

Ideal to'g'rilangan kuchlanishning o'rtacha qiymati :

$$U_{d0} = \frac{1}{2\pi} \int_{-\frac{\pi}{2}}^{+\frac{\pi}{2}} U_{2m} \cos \alpha d\omega = \frac{U_{2m}}{\pi} = 0,45U_2 \quad (19.1)$$

bu yerda  $U_{2m}$  transformatorning ikkilamchi tomonidagi kuchlanishning amplitudasi

$$U_{2m} = \sqrt{2} U_2 \quad (19.2)$$

$U_2$  - transformatorning ikkilamchi tomonidagi kuchlanishning effektiv qiymati.

To'g'rilangan kuchlanish amplitudasi

$$U_{d\max} = U_{2m} = \pi U_{d0}. \quad (19.3)$$

To‘g‘rilangan tokning o‘rtacha qiymati

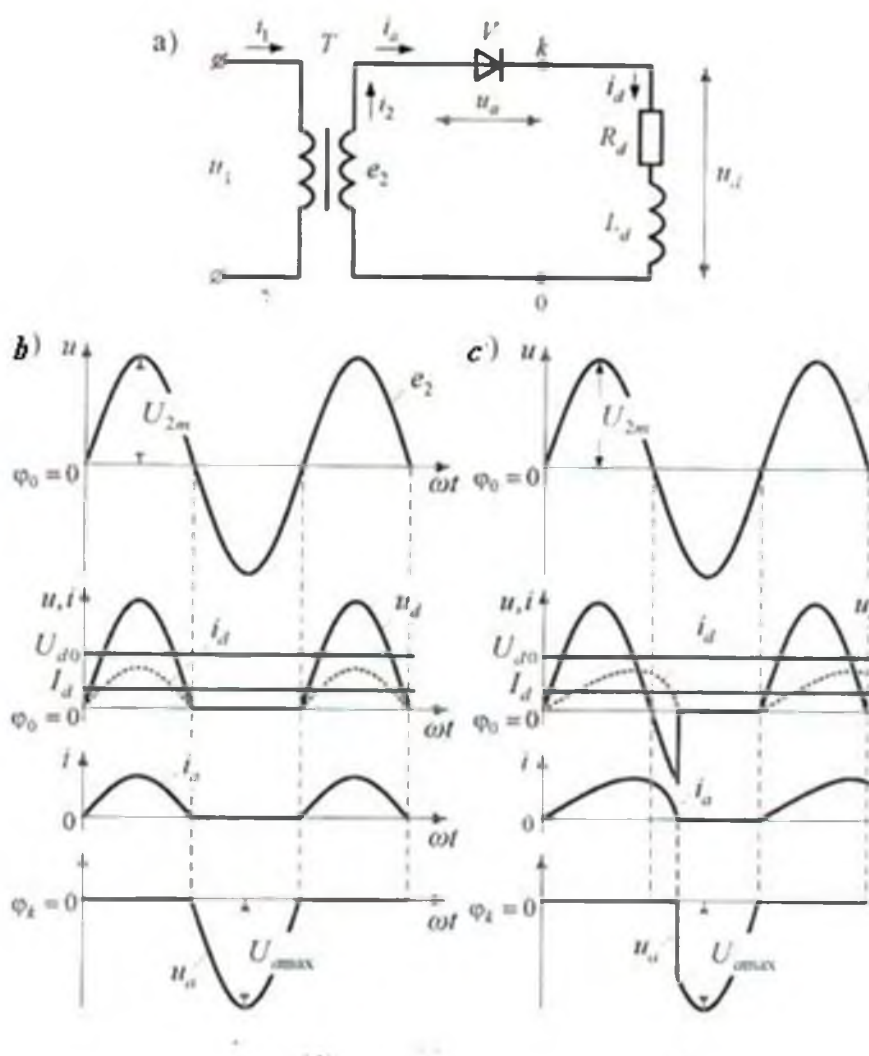
$$I_d = U_{d0} / R_d \quad (19.4)$$

va uning amplitudasi

$$I_{d\max} = \pi I_d \quad (19.5)$$

## 2. Ventil uchun tok va kuchlanishlarni aniqlash.

Anod tokining o‘rtacha va amplituda qiymati :



19.3- rasm. Bir fazali bir yarim davrli to‘g‘rilagich: a) sxemasi; b)  $L_d = 0$ ; c)  $L_d = \infty$ .

$$I_a = I_d, \quad I_{a\max} = I_{d\max} = \pi I_d \quad (19.6)$$

Tokning o‘rtacha qiymati ventil turi bo‘yicha aniqlanadi.  
Ventildagi teskari kuchlanish amplitudasi

$$U_{a\max} = U_{2m} = \sqrt{2} U_2 = \pi U_0 \quad (19.7)$$

Sxemaning asosiy afzalligi – uning soddaligida; kamchiliklari - to‘g‘rilangan kuchlanishning sifati pastligi hamda ventillardan va transformatordan foydalanish samarasizlidir. Ushbu sxema juda kam quvvatli to‘g‘rilagichlar uchun ishlataladi, unda to‘g‘rilangan tok oddiy filtrlar yordamida ta’minlanishi mumkin.

### **19.3. Bir fazali noli chiqarilgan to‘g‘rilagichlarni hisoblash va tahlil qilish**

Bir fazali noli chiqarilgan to‘g‘rilagichning sxemasi 19.4, a - rasmda ko‘rsatilgan, 19.4 b, s - rasm induktivlik  $L_d = 0$  va  $L_d = \infty$  uchun sxema ishlashini tasvirlovchi tok va kuchlanishlarning diagrammalari keltirilgan.

Induktivlik  $L_d = 0$  holatini ko‘rib chiqamiz. Diagramma tuzishda transformatorning chiqishidagi umumiy nuqtasining potensiali no‘lga teng deb qabul qilinadi. Nuqta  $a$  da kuchlanish 0 nuqtaga nisbatan musbat qiymatga ega bo‘lasa,  $b$  nuktada esa manfiy bo‘ladi. Shu sababli ventil  $V1$  ochilgan bo‘lsa  $V2$  yopilgan holatda bo‘ladi. Nuqtalar  $a$  va  $b$  o‘z ishoralarini o‘zgartirishi bilan ventillar ham holatlarini o‘zgartirib  $V1$  yopiladi va  $V2$  ochiladi. Ventillarning ketma-ket ochilishida hosil bo‘ladigan yuklamadagi ikki yarim davrli kuchlanish  $U_d$  19.4, b - rasmda ko‘rsatilgan. Yuklamaning qarshiligi aktiv bo‘lganligi uchun uning toki  $i_d$  yuklamadagi kuchlanish shaklini takrorlaydi.

Diagramma qurishda ochilgan ventilning kuchlanishi nolga teng deb olinsa, yopilgan ventilga transformatorning  $a-b$  nuqtalari orasidagi  $U_{av}$  teskari kuchlanish beriladi. Bu kuchlanishning amplitudasi birlamchi chulg‘am amplitudasidan ikki marta katta.

Ikkinchini holatda  $Ld = \infty$  bo‘lganida to‘g‘rilangan kuchlanishga doimiy tashkil etuvchi va garmonikalar ta’siri bo‘lishi mumkin. Albatta, garmonikalar birinchi navbatda chiqish parametrlarining sifatiga va boshqa parametrarga ham ta’sirini o‘tkazishi mumkin. Agar hisoblash va tahlillash jarayonlarida  $Ld = \infty$  deb olinsa, unda garmonikalar ta’sirini hisobga olinmasdan yuklama tokini  $i_d$  aniq o‘zgarmas deb hisoblasa bo‘ladi. Bunda yuklama toki, transformatorlarning chulg‘amlari va ventillar orqali o‘tayotgan toklar diagrammada to‘rtburchak shaklida ko‘rsatiladi (19.4 c - rasm). Agar yuklama tarkibida real induktivlik mavjud bo‘lsa ( $Ld = \infty$ ), unda garmonikalarni inobatga olish uchun maxsus “pulsatsiya koeffitsiyenti”  $q$  kiritiladi. Bu koeffitsiyent har bir yuqori garmonikalar amplitudasini yuklamaning o‘rtacha  $U_d$  kuchlanishga nisbatan bo‘lgan qismini belgilaydi.

$$q = U_{dv_m} / U_d \quad (19.8)$$

Bu ifodadagi yuqori garmonikalarning amplitudasi 19.4-rasmda keltirilgan ikki yarim to‘lqinli kuchlanishni Furye qatoriga yoyish natijasida quyidagi ifoda shaklida aniqlanadi :

$$U_{dv_m} = 2U_d / [ (vm)^2 - 1 ] \quad (19.9)$$

Bunda  $v = 1, 2, 3,..$  – garmonikalarning raqamlari,  $m$  – to‘g‘rilagichning bir davr davomidagi yarim to‘lqinlar soni (bir fazali noli chiqarilgan sxema uchun  $m=2$ ). Aksariyat hisoblashlarda pulsatsiya koeffitsiyenti  $q$  faqat birinchi garmonikaning amplitudasi ( $v=1$ ) bilan aniqlanadi, chunki bu garmonikani boshqa garmonikalarga nisbatan filtrlash eng noqulay hisoblanadi. Shu sababli bir fazali nol sxema uchun koeffitsiyentning qiymati quyidagicha bo‘ladi:

$$q_1 = U_{d1m} / U_d = 2/(m^2 - 1) = 0,67 \quad (19.10)$$

To‘g‘rilagichlarning sxemalarini hisoblash va tahlil qilishda ularning o‘zgaruvchan va o‘zgarmas tok tomonlaridagi tok va kuchlanishlar

orasidagi bog'lanishlar, ventildagi tok va kuchlanish qiymatlari hamda transformatorning taxmin qilinayotgan (hisobiy) quvvatlari aniqlanadi.

Bir fazali noli chiqarilgan to'g'rilaqich sxemasi uchun  $L_d = 0$  bo'lganidagi bog'lanishlarning o'zaro nisbatini ko'rib chiqamiz. Bunda ventillar va transformator ideal elementlari deb olinadi.

Ideal to'g'rilaqan kuchlanishning o'rtacha qiymati

$$U_{d0} = \frac{1}{\pi} \int_{-\frac{\pi}{2}}^{+\frac{\pi}{2}} U_{2m} \cos \omega t d\omega t = \frac{2U_{2m}}{\pi} = 0,9U_2 . \quad (19.11)$$

To'g'rilaqan tokning o'rtacha qiymati

$$I_d = U_{d0} / R_d . \quad (19.12)$$

Diagrammalarga muvofiq (19.4 b-rasm) to'g'rilaqan kuchlanish va tokning amplituda qiymatlari :

$$U_{dmax} = U_{2m} = \frac{\pi U_{d0}}{2} , \quad I_{dmax} = \pi I_d / 2 . \quad (19.13)$$

Ventildan o'tadigan tokning o'rtacha va amplituda qiymatlari :

$$I_a = I_d / 2 , \quad I_{amax} = I_{dmax} = \pi I_d . \quad (19.14)$$

Ventildagi teskari kuchlanish amplitudasi :

$$U_{amax} = 2 U_{2m} = 2\sqrt{2} U_2 = \pi U_{d0} . \quad (19.15)$$

Bundan, ikkilamchi kuchlanishning effektiv qiymati :

$$U_2 = \pi / 2\sqrt{2} = 1,11U_{d0} . \quad (19.16)$$

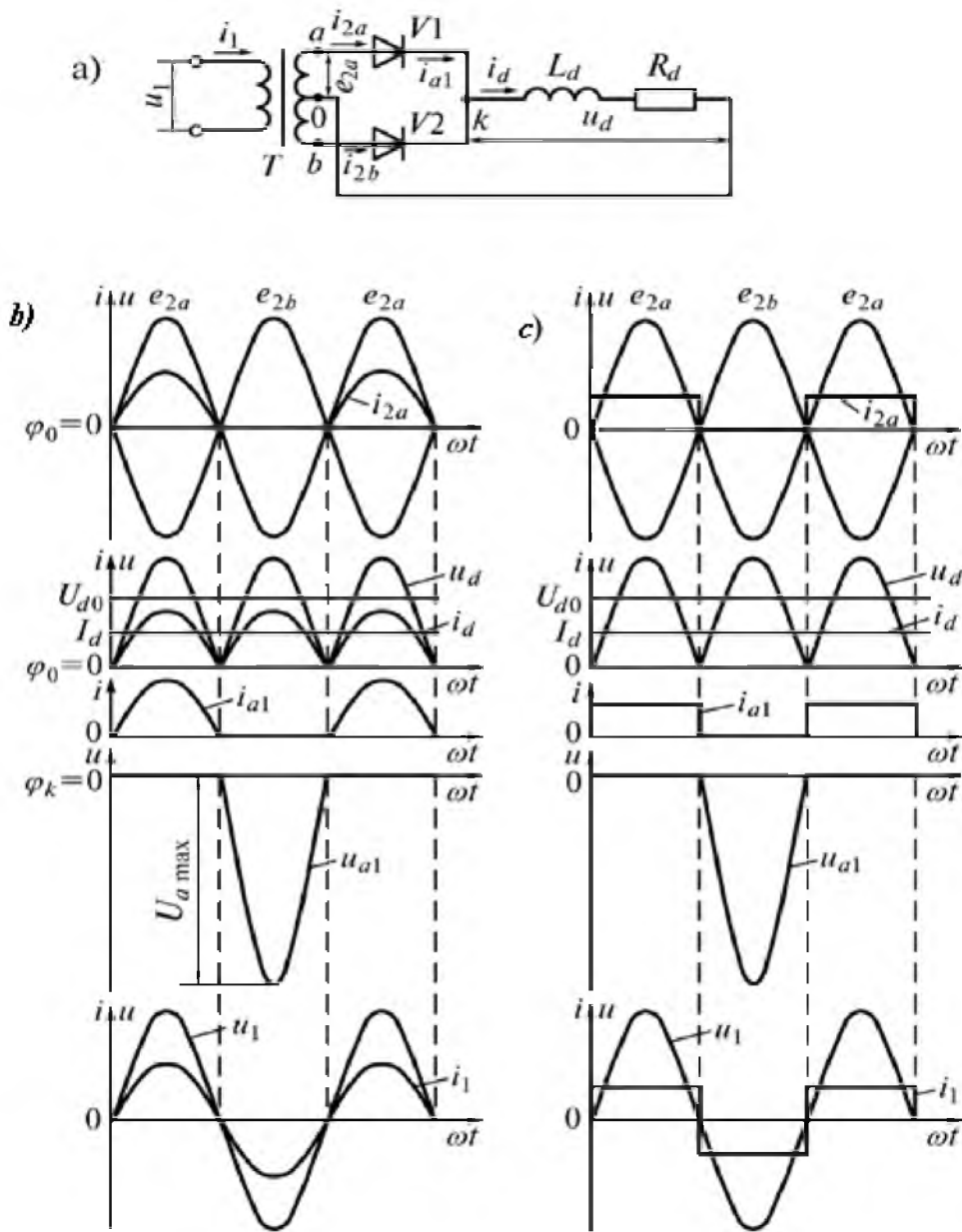
Ikkilamchi tokning effektiv qiymati (19.4b- rasm diagrammasidan)

$$I_2 = \sqrt{\frac{1}{2\pi} \int_{-\frac{\pi}{2}}^{+\frac{\pi}{2}} i_2^2 \cdot d\omega t} = \sqrt{\frac{1}{2\pi} \int_0^\pi I_{amax}^2 \sin^2 \omega t d\omega t} = \frac{I_{amax}}{2} \frac{\pi}{4} I_d \quad (19.17)$$

Birlamchi tokning amplituda qiymati:

$$I_{max} = \frac{Ia \max}{n} , \quad (19.18)$$

bunla  $n$  - transformatsiya koeffitsiyenti.



**19.4 – rasm. Bir fazali noli chiqarilgan to‘g‘rilagich: a) sxemasi; b) aktiv yuklama; c) aktiv - induktiv yuklama.**

Birlamchi tokning effektiv qiymati :

$$I_L = \frac{I_{max}}{n\sqrt{2}} = \frac{\pi Ia}{n2\sqrt{2}} = \frac{\sqrt{2}}{n} I_2 . \quad (19.19)$$

Birlamchi kuchlanishning effektiv qiymati  $U_1=nU_2$  bo'lsa transformatorning hisobiy (tipovoy) quvvati  $S_T$  birlamchi va ikkilamchi chulg'amlarning quvvatlari  $S_1, S_2$  bilan aniqlanadi.

Ushbu sxemada:

$$S_1 = U_1 I_1 = 1,11 U_{d0} n \frac{\pi Ia}{n2\sqrt{2}} = 1,23 P_d \quad (19.20)$$

$$S_2 = 2 u_2 I_2 = 2 \cdot 1,11 U_{d0} \frac{\pi I d}{4} = 1,74 P_d \quad (19.21)$$

To'g'rilaqichning chiqish quvvati:

$$P_d = U_{d0} I_d . \quad (19.22)$$

Transformatorning hisobiy quvvati  $S_1, S_2$  larning yig'indisining yarmiga teng:

$$S_T = (S_1 + S_2) / 2 = 1,48 P_d . \quad (19.23)$$

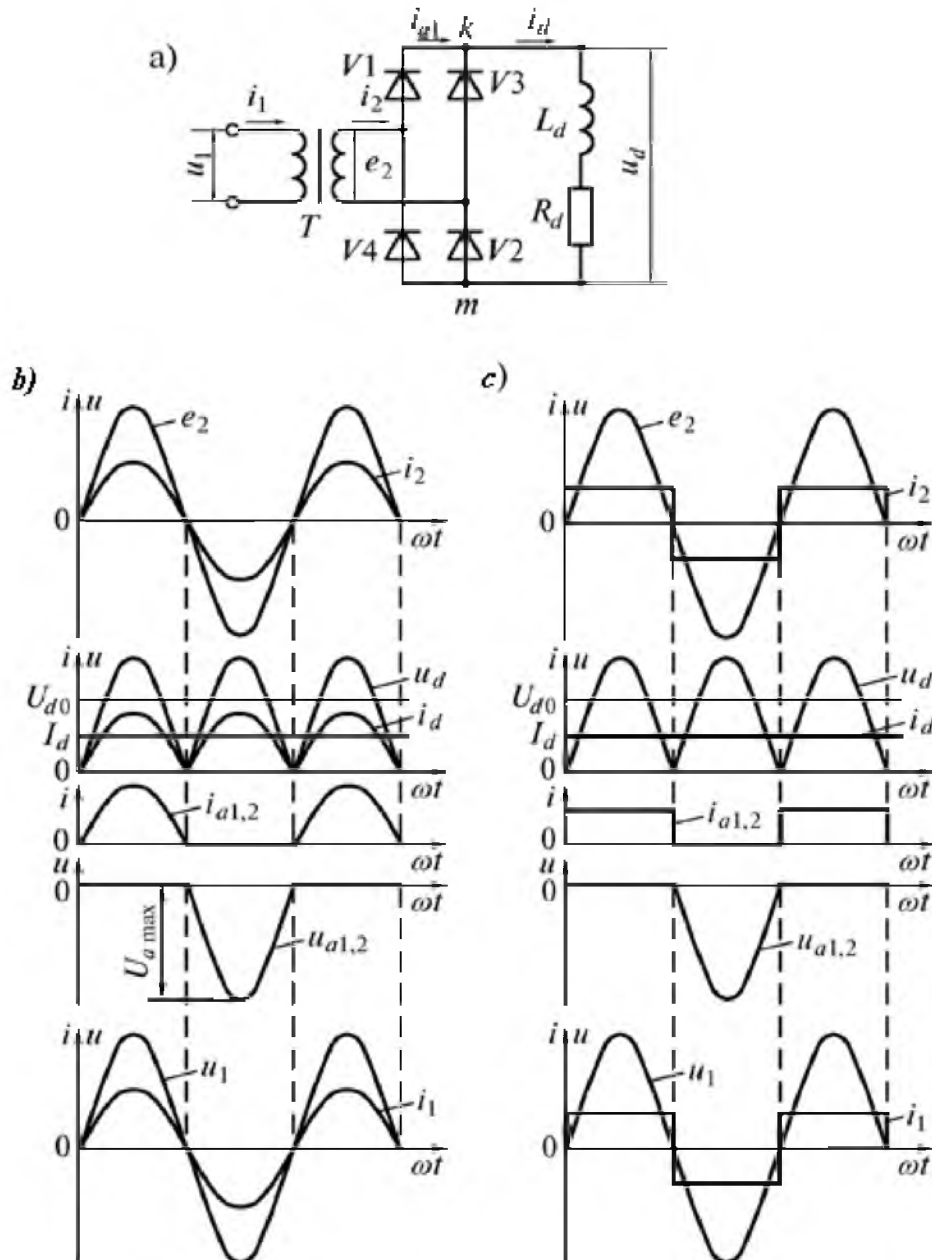
Quvvat  $P_d$  oldidagi koeffitsiyent transformatorning aktiv qarshilikka ishlaganida, to'g'rilaqichda ishlashiga nisbatan, quvvatni qancha oshirish mumkinligini ko'rsatadi.

#### **19.4. Bir fazali ko'priksimon (ko'prik) to'g'rilaqich sxemasi**

Bir fazali ko'priksimon to'g'rilaqichning sxemasi 19.5 a, - rasmda keltirilgan, yuklama sof aktiv va aktiv-induktivlik bo'lgandagi tok va kuchlanishlarning vaqt diagrammalari 19.5 b, c - rasmda ko'rsatilgan.

Sxemaning ishslash prinsipi noli chiqarilgan to'grilaqichnikiga o'xshagan bo'lib, ikki yelkasi ketma - ket ulanishi natijasida yuklamaning har bir davrida ikki to'lqinli kuchlanish hosil bo'ladi. Bunda, ikkilamchi chulg'amning musbat kuchlanishida V1 va V2 ventillar orqali yuklamadan tok o'tadi (tokning yo'nalishi 19.5. a - rasmda ko'rsatilgan) va chulg'amni manfiy to'lqinida V3 va V4 ventillar ochilib yuklama toki shu yo'nalishda o'tishni davom etadi. Ya'ni yuklama toki har doim bir yo'nalishda o'tishi qurilmani tok to'g'rilaqichi sifatida ishlashini ta'minlaydi.

Odatda bir fazali nol va ko‘priksimon sxemalarni diagrammalari biri - biriga o‘xshashligi uchun bir fazali noli chiqarilgan sxemalarda  $I_d$ ,  $U_{d0}$ ,  $I_a$ ,  $I_{f\max}$  uchun olingan ifodalar ko‘priksimon sxemalar uchun ham qo‘llanishi mumkin. Lekin, bu sxemada ventillardagi teskari kuchlanish amplitudasi ikki barobar kam bo‘ladi.



**19.5- rasm. Bir fazali ko‘priksimon to‘g‘rilagich: a) sxemasi; tok va kuchlanishlarning diagrammalari: b)  $L_d = 0$ ; c)  $L_d = \infty$  bo‘lganida.**

Maksimal teskari kuchlanish:

$$U_{amax} = U_{2m} = 2\sqrt{2} U_2 = \pi U_{d0} / 2 . \quad (19.24)$$

Ikkilamchi chulg‘amni toki quyidagi ifodadan topiladi:

$$I_2 = U_2 / R_d = \frac{\pi}{2\sqrt{2}} I_d . \quad (19.25)$$

Birlamchi tok  $I_1$ , ikkilamchi tok  $I_2$  va  $I_d$  transformator koeffitsiyenti orqali quyidagi ifoda bilan bog‘langan:

$$I_1 = I_2 / n = \frac{\pi}{n2\sqrt{2}} I_d . \quad (19.26)$$

Keltirilgan ifodalarga muvofuq transformatorlar uchun hisobiy quvvat quyidagicha aniqlanishi mumkin :

$$S_1 = S_2 = S_3 = 1,23 P_d . \quad (19.27)$$

Shunday qilib bir fazali ko‘prisimon sxema transformatorning soddaligi, yopilgan diodlarning teskari kuchlanishi ikki barobar kamligi bilan uning kichik va o‘rta quvvatlardagi yuklamalarda keng qo‘llanishini ta’minlaydi.

### **19.5. Uch fazali noli chiqarilgan sxemaning tahlili**

Diodli uch fazali noli chiqarilgan to‘g‘rilagichning sxemasi (**uch fazali nol sxema**) 19.6, a - rasmida , tok va kuchlanishlarining vaqt diagrammasi  $L_d = \infty$  bo‘lganida 19.6, b - rasmida keltirilgan .

Bu sxemaning ishlashida qaysidir bir ventilga berilgan faza kuchlanishi boshqalariga nisbatan kattaroq manfiy potensialga ega bo‘lsa, shu fazaning ventili ochiladi. Demak, uch fazali kuchlanishlarning diagrammasiga ko‘ra  $t_1 - t_2$  intervalda ochilish imkoniyati 1- ventil uchun,  $t_2 - t_3$  intervalda - 2 - ventil uchun,  $t_3 - t_4$  intervalda 3- ventil uchun , va  $t_4 - t_5$  intervalda yana 1- ventil uchun vujudga keladi. Har bir ventilning ishlash davomi  $120^\circ$  ga teng. Ochilgan ventillar faza kuchlanishining yuklamaga ishlashlari natijasida, yuklamada uch fazali yarim to‘lqinlarning tepa qismidan tashkil topgan uch pulsatsiyali o‘zgarmas tok kuchlanishi hosil bo‘ladi. Aktiv yuklamada kuchlanishning o‘rtacha qiymati  $U_d$  bo‘lib, uning toki  $I_d = U_d / R_{yu}$  - ga teng bo‘ladi va

uning shakli ham  $U_d$  - shaklini takrorlaydi. Uch fazali nol sxemaning aktiv yuklamaga ishlaganida ko'rsatkichlarini hisoblash va tahlil qilish diagramma (19.6, b - rasm ) asosida amalga oshiriladi. To'g'rilangan kuchlanishning o'rtacha qiymati diagrammada shtrixlangan uchastkasining yuzasi bo'yicha aniqlanadi

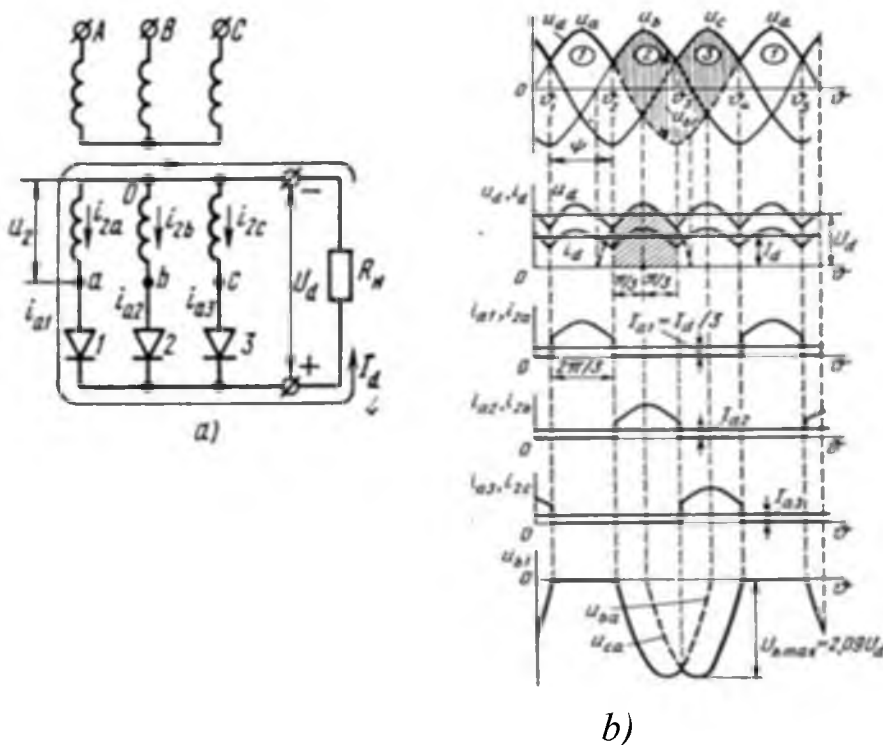
$$U_{d0} = \frac{1}{2\pi/m} \int_{-\pi/m}^{+\pi/m} \sqrt{2} U_2 \cos \omega t d\omega t = \frac{\sqrt{2} U_2 \sin \pi/m}{\pi/m} \quad (19.28)$$

Uch fazali nolli sxemada  $m=3$  bo'lgani uchun :

$$U_{d0} = 1.17 U_2 \quad (19.29)$$

To'g'rilangan tokning effektiv va amplituda qiymati:

$$Id = I_{max} = U_{d0} / R_d \quad (19.30)$$



**19.6 – rasm.** Uch fazali noli chiqarilgan to'g'rilagichning a) sxemasi aktiv yuklamada ishslash diagrammasi

Ventil tokining o'rtacha va amplituda qiymatlari ( $m=3$  uchun) :

$$I_a = I_d / 3, \quad I_{amax} = Id, \quad (19.31)$$

va ventildagi kuchlanishning amplitudasi :

$$U_{a\max} = U_2 = 2,09 \times U_{d0} \quad (19.32)$$

Ikkilamchi kuchlanishning effektiv qiymati :

$$U = U_{d0} / 1,17 \quad (19.33)$$

Uch fazali nol sxema uchun ikkilamchi tokning effektiv qiymati

$$I_2 = \frac{I_d}{\sqrt{3}} , \quad (19.34)$$

Birlamchi tokning effektiv qiymati :

$$I_1 = \frac{\sqrt{2}}{3n} \quad (19.35)$$

Birlachi kuchlanishning effektiv qiymati :

$$U_1 = U_2 n = \frac{U_{d0} n}{1,17} . \quad (19.36)$$

Transformator va chulg‘amlarni hisoblash uchun quvvatlarning qiymatlari:

$$S_2 = 3U_2 I_2 = 3 \frac{U_{d0}}{1,17} \frac{I_d}{\sqrt{3}} = 1.48 P_d , \quad (19.37)$$

$$S_1 = 3 U_1 I_1 = 3 \frac{U_{d0} n}{1,17} \frac{\sqrt{2} * I_d}{3n} , \quad (19.38)$$

$$S_1 = \frac{S_1 + S_2}{2} = 1.34 P_d . \quad (19.39)$$

## **19.6. Uch fazali to‘g‘rilagichlarning ko‘priksimon sxemasining ishslash prinsipi va diagrammalari**

Uch fazali to‘g‘rilagichlarning ko‘priksimon sxemasi (**Larionov sxemasi**) va uning ishslash diagrammasi 19.7 - rasmida keltirilgan [8,11]. Sxemada umumiy anod bilan ulangan  $V2$ ,  $V6$ ,  $V4$  ventillar anod guruhi va umumiy katod bilan ulangan  $V1$ ,  $V3$ ,  $V5$  ventillar katod guruhini tashkil qiladi.

Katod guruhidagi ventillardan anodi eng katta musbat potensialga egabo‘lgan ventillar va anod guruhidagi katodi eng katta manfiy potensialga ega bo‘lgan ventillar o‘tkazuvchi holatda bo‘ladi. Bunda (diagrammadan)  $t_1 - t_2$  intervalda 6, 1 ventillar,  $t_2 - t_3$  intervalda - 1, 2 ventillar,  $t_3 - t_4$  intervalda - 2, 3 ventillar,  $t_4 - t_5$  intervalda - 3, 4 ventillar,  $t_5 - t_6$  intervalda -4, 5 ventillar va  $t_1 - t_2$  intervalda -5, 6 ventillar o‘tkazuvchi holatda bo‘ladi. Ventillarning raqamlanishi ularning ishlash ketma-ketligiga muvofiq belgilanadi. Diagramma shaklida ventillargning ochilish ketma-ketligi 19.8 - rasmida keltirilgan. Misol: diagrammada 1 ventil 6-ventil bilan  $60^0$  gradus va 2 - ventil bilan yana  $60^0$  gradus ishlab, jami  $120^0$  gradus ishlaydi. Umuman har  $60^0$  gradusdan ishlash ketma-ketligi 6, 1- 1, 2- 2, 3- 3, 4-4, 5-5, 6 -6,1 bo‘ladi.

Ochilgan ventillardan o‘tgan toklar yuklamaga liniya kuchlanishini ulashlari natijasida yuklamada uch fazali yarim to‘lqinlarning tepe qismidan tashkil topgan olti pulsatstiyali o‘zgarmas tok kuchlanishi hosil bo‘ladi. Yuklamaning induktiv elementi borligi uchun diagrammada yuklama toki  $I_d$  silliq (to‘g‘ri chiziq) qilib va ventillar toklari  $i_{a1}, i_{a2} \dots$  tegishli intervallarda to‘g‘ri burchak shaklida ko‘rsatilgan. Transformatorning ikkilamchi toki  $i_{2a}$  o‘zgaruvchan tok bo‘lib, birlamchi tok  $i_{1A}$  dan transformatsiya koeffitsiyenti  $n$  bilan farq qiladi.

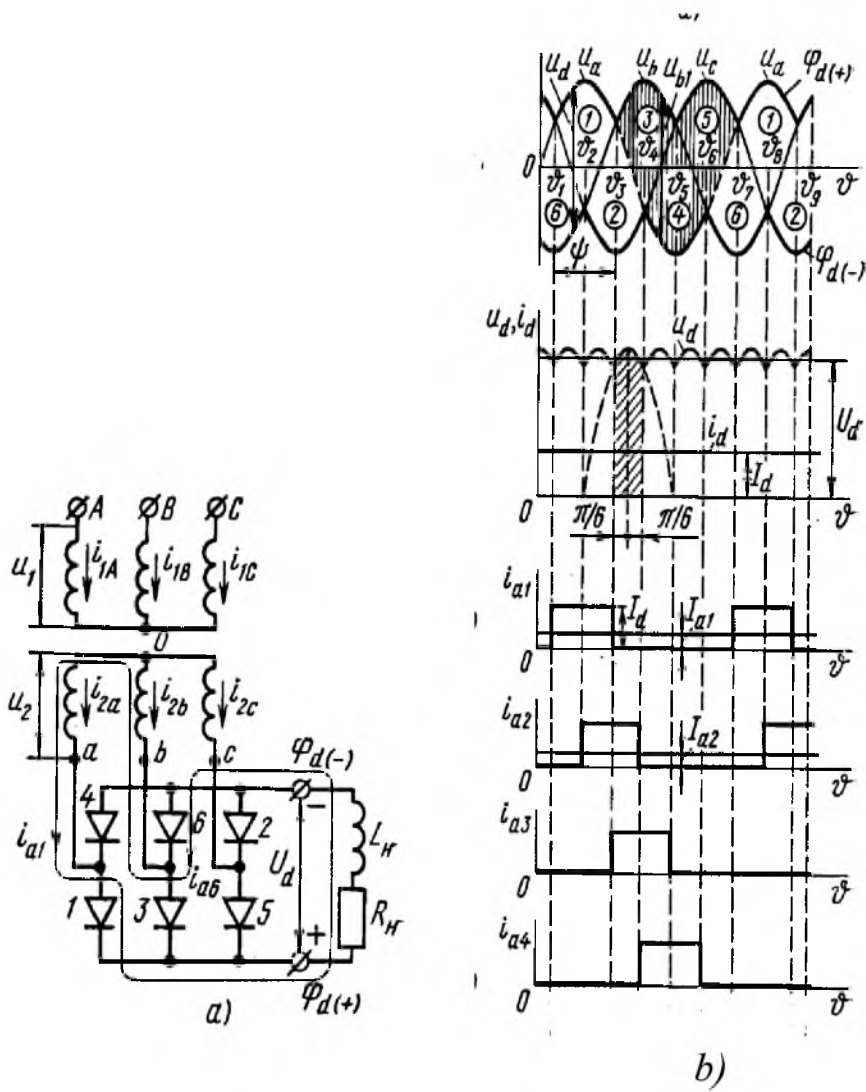
Sxemani hisoblashda ventillarni va transformatorni ideal elementlar va  $L_d = \infty$  deb qabul qilamiz. Bu sxemda ham to‘g‘rilangan kuchlanishlarning o‘rtacha qiymati ifoda (19.28) bilan aniqlanadi:

$$U_{d0} = \frac{1}{2\pi/m} \int_{-\pi/m}^{+\pi/m} \sqrt{2} U_{2l} \cos \omega t \, d\omega t = \frac{\sqrt{2} U_{2l} \sin \pi/m}{\pi/m} , \quad (19.40)$$

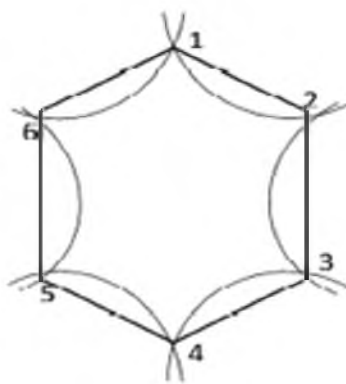
Ammo, uch fazali ko‘prik sxemada  $m = 6$  bo‘lganligi va fazaviy kuchlanish o‘rniga liniya kuchlanishi  $U_{2l}$  bo‘lgani uchun :

$$U_{d0} = 1,35 \sqrt{3} U_{2l} = 2,34 U_{2l} , \quad (19.41)$$

bunda  $U_{2l}$  – transformatorning ikkilamchi tomonidagi liniya kuchlanishi



19.7 - rasm Uch fazali ko‘priksimon sxema va uning vaqt diagrammasi



19.8 - rasm Ventillarning ulanish ketma-ketligi

To‘g‘rilangan tokning o‘rtacha qiymati :

$$I_d = \frac{U_{d0}}{R_d} \quad (19.42)$$

Ventil tokining o‘rtacha va amplittuda qiymati :

$$I_a = \frac{I_d}{3}; \quad I_{a\max} = I_d. \quad (19.43)$$

Ventildagi kuchlanishning amplitudasi :

$$U_{a\max} = \sqrt{2} U_2 = 1,045 U_d. \quad (19.44)$$

Ikkilamchi kuchlanishlarning effektiv qiymatini (19.55) inobatga olgan holda :

$$U_2 = U_{d0} / 2,34. \quad (19.45)$$

Diagramma keltirilgan 19.7, b – rasm asosida ikkilamchi tokning effektiv qiymati :

$$I_2 = \sqrt{\frac{1}{\pi} \int_{\frac{\pi}{6}}^{\frac{5\pi}{6}} i_2^2 \cdot d\omega t} = I_2 = \sqrt{\frac{1}{\pi} \int_{\frac{\pi}{6}}^{\frac{5\pi}{6}} i_d^2 \cdot d\omega t} + = \sqrt{\frac{2}{3}} I_d \quad (19.46)$$

Birlamchi tokning effektiv qiymati

$$I_1 = I_2 / n \quad (19.47)$$

Birlamchi fazaviy kuchlanishning effektiv qiymati

$$U_1 = U_2 n. \quad (19.48)$$

Chulg‘amlar va transformatorning hisobiy quvvati

$$S_I = S_2 = S_3 = 3 \frac{U_{d0}}{2,34} \sqrt{\frac{2}{3}} * I_d = 1,045 P_d \quad (19.49)$$

## 19.7. Bir fazali boshqariluchli noli chiqarilgan to‘g‘rilagichlar

Ko‘p holatlarda to‘g‘rilagichlarning ishlash rejimlarida yuklamalarga beriladigan kuchlanishni rostlash yoki stabillash talab qilinadi. Bu talab elektr yuritmalar va elektr texnologiyalarning barcha sohalariga tegishli. O‘zgarmas tok iste’mol qiluvchi yuklamalarga beriladigan kuchlanish (19.2- rasm) T- VB juftligida transformator (T)

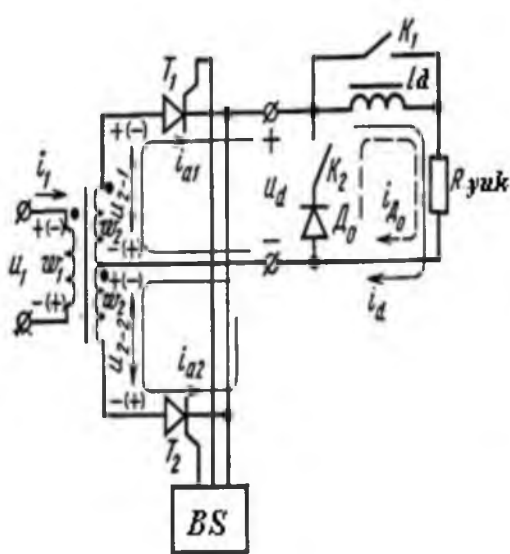
tomonidan yoki ventil bloki (VB) tomonidan boshqarilishi mumkin. Transformator tomonidan boshqarish usullari ancha murakkabligi tufayli, asosan rostlash VB tomonidan amalga oshiriladi.

VB tomonidan boshqarish - fazaviy usul deb aytildi, chunki rostlash davomida chiqishdagi tok va kuchlanish qiymatining o'zgarishi bilan ularning orasidagi burchak - faza ham o'zgaradi. Bu usulda  $U_{d0}$  - chiqishdagi kuchlanshning o'rtacha qiymati VB ventillarining ochilish vaqtini o'zgartirilishi bilan, ya'ni  $\alpha$  - boshqaruv burchakning koordinatalarining o'zgarishi bilan aniqlanadi. Demak, fazaviy usulda boshqariluvchi ventillar (tiristorlar) qo'llanilishi talab qilinadi. Shuning uchun ham ko'rileyotgan to'g'rilagichlar boshqariluvchi to'g'rilagichlar deb aytildi.

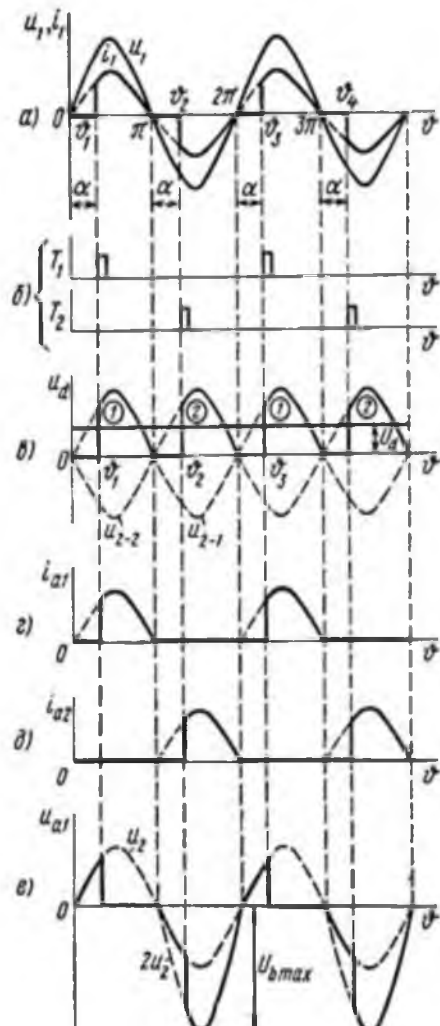
Bir fazali boshqariluvchi to'g'rilagichlarning noli chiqarilgan sxemasini ko'rib chiqamiz. Bu sxema va uning ishslash diagrammasi 19.9, a, b - rasmda keltirilgan. Diagrammada  $\alpha$  - tiristor ochilish burchagi. Burchak  $\alpha = 0$  bo'lganida sxemaning ishslash prinsipi yuqorida ko'rilgan boshqaruvsiz sxema ishslash prinsiplarini takrorlaydi. Burchak  $\alpha > 0$  bo'lganida yuklamaning  $L_d = 0$ ,  $L_d > 0$ ,  $L_d = \infty$  rejimlari alohida ko'rinishni talab qiladi.

**Induktivlik**  $L_d = 0$ ,  $\alpha > 0$  (*yuklamaning aktiv rejimi*. 19.9 arasmida kalit  $K_1$  ulangan,  $K_2$  uzilgan.) Bu rejimda  $\alpha$  burchakning koordinatasini chap yoki o'ng tomonga siljitim bilan to'g'rilagichning chiqishdagi kuchlanishning o'rtacha qiymati ( $U_{d0}$ ) o'zgartiriladi (19.9, b-rasm). Burchak  $\alpha = 0$  bo'lganida chiqish kuchlanishning qiymati bashqariluvsız rejimdagi ifoda (19.11) bilan aniqlanib,  $U_{d0} = 0,9U_2$  - ga teng bo'ladi, burchak  $\alpha = \pi$  (180 el. grad.) bo'lganida esa  $U_{d0} = 0$ . Demak, bir fazali ikki yarim davrli to'grilagichlarda  $\alpha$  burchaginining 0 dan 180 el. gradusgacha o'zgarish davomida ularning chiqishdagi o'rtacha kuchlanish  $U_{d0} = 0,9 U_2$  bo'lgan maksimal qiymatidan nolgacha ( $U_{d0} = 0$ ) o'zgarishi mumkin ekan. Boshqariluvchi to'g'rilagichlarda kuchlanish  $U_d$  ni burchak  $\alpha$  bilan bog'lanish xarakteristikasi **rostlash xarakteristikasi deyiladi**. Bu xarakteristika aktiv yuklama uchun quyidagi ifoda bilan aniqlanadi:

$$U_d = \frac{1}{\pi} \int_{\alpha}^{\pi} \sqrt{2} U_2 \sin \omega t d\omega t = U_{d0} \frac{1+\cos \alpha}{2}. \quad (19.50)$$



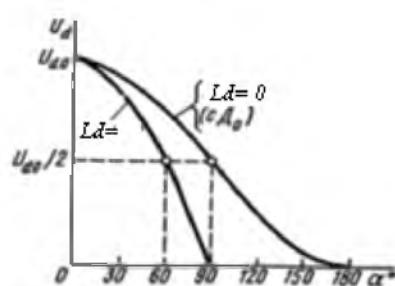
a)



b )

**19.9 - rasm a) bir fazali boshqariluvchi to‘g‘rilagichning noli chiqarilgan sxemasi, b) aktiv yuklamadagi vaqt diagrammasi**

Rostlash xarakteristikasi 19.10 - rasmda grafik shaklida keltirilgan.



**19.10 - rasm . Bir fazali boshqariluvchi to‘g‘rilagichni rostlash xarakteristikasi**

**Induktivlik**  $L_d > 0$ ,  $\alpha > 0$  (*yuklamaning aktiv - induktivlik rejimi. Kalitlar  $K_1$ ,  $K_2$  uzilgan*). Bu rejimda musbat kuchlanish ta'siridagi tiristor boshqarish impulsi berilishi bilan ochiladi va yuklama toki ( $L_d > 0$  bo'lgani sababli) sekin oshib boradi. Berilgan kuchlanishning ishorasi o'zgarishi bilan, induktivlikda yig'ilgan energiya hisobiga, yuklama toki o'z yo'nalishini ma'lum bir davrda saqlab qoladi. Bu davrda musbat ishorali tok nolgacha pasayishi davomida, yuklama kuchlanishi manfiy ishorada bo'ladi. O'zgartkich texnikada bu rejimni (tok va kuchlanish ishoralari har xil bo'lgan rejimni) invertorlash rejimi deb, unda yuklamada yig'ilgan energiya ta'minot manbaga qaytarilishi talab qilinadi. Diagrammada invertorlash rejimida ishlash intervali manfiy ishorali shtrixlangan yuzasi bilan 19.11a-rasmdagi ko'rsatilgan. Chunki bu intervalda kuchlanish manfiy va tok musbat ishoralarga ega. Invertorlash intervali yuklama doimiysining qiymati  $\tau = L_d / R_{yuk}$  ifodasi bilan aniqlanadi.

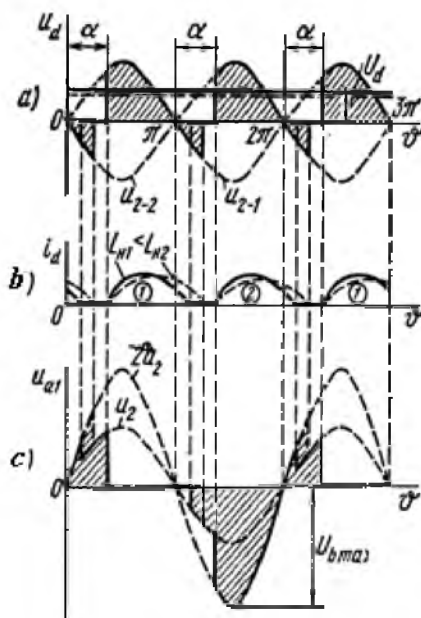
Bunda induktivlik  $L_d$  qancha katta bo'lsa (yoki yuklamaning aktiv qarshiligi  $R_{yu}$  qancha kichik bo'lsa) ochilgan tiristorni ishlash vaqt shuncha cho'ziladi. Keltirilgan diagrammada induktivlik  $L_{yu}$  oshishi bilan yuklama tokining cho'zilishi 19.11b - rasmda ko'rsatilgan. Diagrammadan ko'rinish turibdi-ki induktivlik  $L_{yu}$  kattalashgan sari yuklama toki uzlusiz rejimga o'tishi ham mumkin.

**Induktivlik**  $L_d = \infty$ ,  $\alpha > 0$  rejimida yuklama kuchlanishining manfiy yarim to'lqini yuzasi  $\alpha$  intervali davomida to'liq shtrixlanadi va yuklama toki  $i_d$  ideal tekislangan shakliga aylanadi (19.12- rasm).

Tiristorlarning toklari  $i_{a1}$  va  $i_{a2}$  to'g'ri burchak shakliga kelib, ularning o'rtacha qiymati yuklama toki bilan quyidagicha bog'langan  $I_a = I_d / 2$ . To'g'rilaqichlarni ta'minlaydigan tarmoqning toki ham to'g'ri burchak shaklida bo'lib, uning birinchi garmonikasining amplitudasi  $I_{1m} = I_d / m$  (m-ventillar soni) bilan aniqlanadi, fazasi esa tarmoq kuchlanishidan  $\varphi = \alpha / 2$  burchakka kechikib boshlanadi. Tiristorlarga beriladigan teskari kuchlanishning maksimal qiymati boshqaruvsiz to'g'rilaqichlarga o'xshagan bo'lib,  $2\sqrt{2} U_2$  - ga teng. Bu rejimda ishlaydigan to'g'rilaqichlarni rostlash xarakteristikasi aktiv rejimdagi xarakteristikadan farq qiladi. Bu farq boshqariluvchi to'g'rilaqichlarning manfiy yarim

to'lqinli tomonida ham kuchlanish  $U_d$  - ni tashkil qiluvchi yuzasi mavjud bo'lganligidadir. Burchak  $\alpha = 90^\circ$  bo'lganida kuchlanish to'lqinining manfiy va musbat qismlarining tengligi uchun o'rtacha qiymati nolga teng bo'ladi. Rostlash xarakteristikasi  $U_d = F(\alpha)$  (19.30) ifodaga o'xshagan bo'ladi:

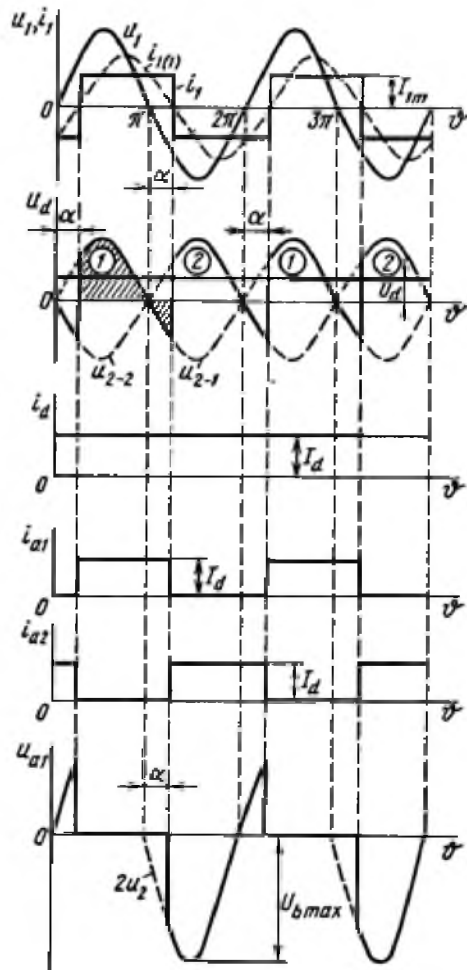
$$U_{d0} = \frac{1}{\pi} \int_{\alpha}^{\pi+\alpha} \sqrt{2} U_2 \sin \vartheta d\vartheta = U_{d0} \cos \alpha . \quad (19.51)$$



**19.11- rasm. Bir fazali boshqariluvchi nolli sxemaning aktiv - induktivlik  $L_d > 0$ ,  $\alpha > 0$  rejimda ishlash diagrammasi**

Induktivlik  $Ld = 0$  va  $Ld = \infty$  bo'lganidagi rastlash xarakteristikasi grafigi 19.10 - rasmda keltirilgan.

Yuqorida ko'rsatib o'tilganidek aktiv – induktiv yuklamaga ishlagan to'g'rilaqichlar tarmoqdan reaktiv energiya iste'mol qiladi. Bu energiya to'g'rilaqichlarning ko'rsatkichlariga salbiy ta'sirini kamaytirish uchun yuklamaga parallel qilib diod ulanadi (19.9, a - rasmdagi sxemada kalit K<sub>2</sub> ulangan holda). Bunday diodlar reaktiv energiyani kompensatsiya qilish ma'nosida, nollovchi diodlar deb aytildi.



**19.12 – rasm. Bir fazali boshqariluvchi noli chiqarilgan sxemaning aktiv induktiv  $Ld = \infty \quad \alpha > 0$  yuklamada ishlash diagrammasi**

Nollovchi diodli sxemaning  $Ld = \infty$  rejimida ishlashini ko'rib chiqamiz. Vaqt diagrammasi 19.12 - rasmda keltirilgan. Nollovchi diod bo'lmagan sxemada (kalit K<sub>2</sub> uzilgan)  $\alpha$  - burchak intervali davomida yuklama toki tiristorlarning bittasidan, va unga nisbatan transformatorning manfiy bo'lgan chulg'ami orqali tarmoqqa qaytariladi. Nollovchi diod ulangan sxemada esa yuklamaga berilgan kuchlanish ishorasini o'zgartirishi bilan nollovchi diod D<sub>o</sub> ochilib, aktiv - induktiv yuklamada yig'ilgan energiya yuklananing o'ziga tutashadi. Diod D<sub>o</sub> chiqish zanjirini shuntlashi natijasida  $\alpha$  burchak davomida yuklama kuchlanishida nolli pauzalar paydo bo'ladi. T<sub>1</sub> va T<sub>2</sub> tiristorlarni o'tkazish intervallari  $\pi - \alpha$  gacha qisqaradi, va  $Ld = \infty$  bo'lganligi sababli tok i<sub>d</sub> ideal silliqlangan tokka aylanadi. Tiristorlar toklari i<sub>at</sub> va

$i_{a2}$  to‘g‘ri burchak shakliga o‘zgarib, amplitudasi  $I_d$  - ga va davomiyligi

$\pi - \alpha$  teng bo‘ladi. Bu rejimda to‘g‘rilagichning ishlashi xuddi aktiv qarshilik rejimida ishlashiga o‘xshab rostlash xarakteristikasi, kuchlanishi va  $\alpha$  - burchaklarning o‘zaro bog‘lanishi ifoda (19.28) bilan belgilanadi.

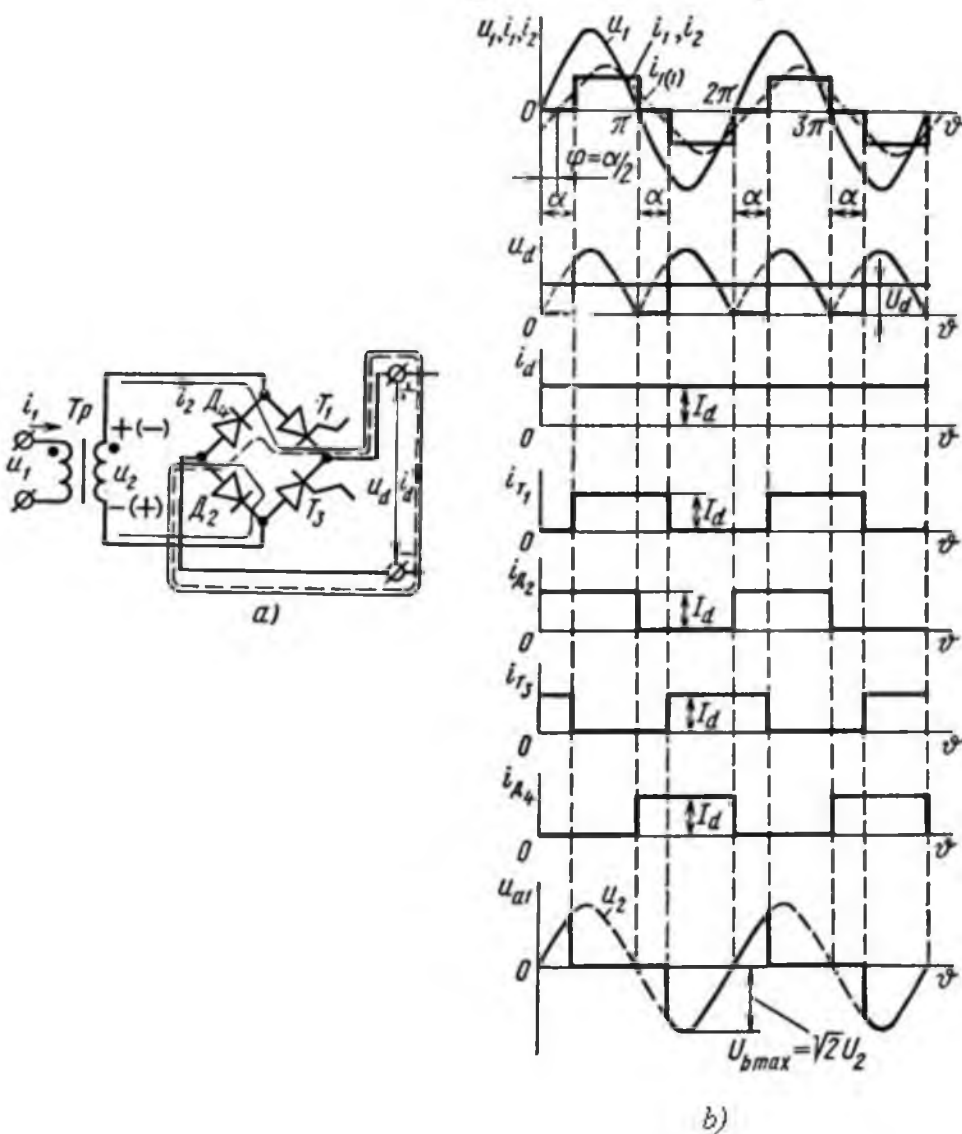
## 19.8 Bir fazali boshqariluvchi ko‘priksimon to‘g‘rilagichlar

Boshqariluvchi ko‘priksimon to‘g‘rilagichlar ikki variantda tuzilishi mumkin: ularning yarimo‘tkazgichli elementlarining barchasi to‘liq boshqariluvchi elementlardan (birinchi) yoki qisman boshqariluvchi elementlardan tashkil topgan (ikkinchi) to‘g‘rilagichlar. 19.13, a - rasmda bir fazali ko‘priksimon to‘g‘rilagichlarning qisman boshqariluvchi elementli sxemasi keltirilgan. Bu sxemada faqat ikkita ventil  $T_1$  va  $T_3$  boshqariluvchi bo‘lib, ularning ochilib - yopilish vaqtining boshqarilishi bilan yuklamadagi kuchlanish va o‘zgarmas tokning o‘rtacha qiymatlarini boshqarish imkoniyati tug‘iladi. 19.13, b - rasmda sxemaning ishlash diagrammasi keltirilgan.

Birinchi sxemada ishlash rejimi va rostlash xarakteristikasi bir fazali noli chiqarilgan boshqariluvchi sxemani asosiy prinsiplarini takrorlaydi. Shu bilan birga noli chiqarilgan sxemalarga nisbatan afzvalligi - transformatorning soddaligida va yarimo‘tkazgichli asbobrlga qo‘yilgan teskari kuchlanishning ikki barobar kamligida.

Ko‘prik sxemalarida teskari kuchlanishning kamligini har bir yopilgan yelkaga berilgan teskari kuchlanish ketma-ket ulangan ikkita ventillar orasida taqsimlanishi bilan tushuntirish mumkin. Ko‘prik sxemalarida transformatorning ikkilamchi tomonida bitta chulg‘am bo‘lib, uning toki birlamchi chulg‘amdagи tokning shaklini takrorlaydi. Bunda tok va kuchchlanishlarning qiymati faqat transformatsiya koeffitsiyentiga bog‘liq.

Noli chiqarilgan sxemalarda esa transformatorlarning chiqish chulg‘amlari ikkita bo‘lganligi uchun ularning toklari ikki tomonlama bo‘lib, bir chulg‘amlidan farq qiladi.



**19.13 - rasm a) bir fazali to‘grilagichning qisman boshqariluvchi ko‘prik sxemasi, b ) ishslash diagrammasi**

Qisman boshqariluvchi ko‘prik sxemasi ishslash rejimi bir fazali noli chiqarilgan boshqariluvchi sxemaning nol diodi ulangan variantining rejimiga to‘g‘ri keladi. Bu sxemaning chiqish kuchlanishida ham manfiy ishorali yarim to‘lqinlar bo‘lmaydi va bundan tashqari yana bir o‘xshashligi - birlamchi tokning birinchi garmonikasi bilan kirish kuchlanishining orasidagi fazoviy siljish  $\phi = \alpha / 2$  tengligida.

Keltirigan diagrammada (19.13, b – rasm) bu sxemaning  $Lyuk = \infty$  rejimida ishlashi ko‘rib chiqilgan (tok  $i_d$  ideal silliqlangan holda).

Bunda tiristorlar  $T_1$  va  $T_3$  kuchlanish  $u_2$  noldan o‘tish nuqtasiga nisbatan boshqarish burchagi  $\alpha$  ga teng bo‘lishi bilan ochiladi. 19.13, a –

rasmida keltirilgan sxemada qavssiz ko'rsatilgan ishoralarga ko'ra tiristor  $T_1$  va diod  $D_2$   $\pi - \alpha$  intervalda ochilgan holda bo'lib, ulardan o'tadigan yuklama toki transformatorning ikkilamchi chulg'amiga berilgan bo'ladi. Interval  $\pi - \alpha$  tugashi bilan  $u_2$  kuchlanishning ishorasi o'zgaradi va natijada diod  $D_2$  yopilib, uning toki  $i_d$  uziladi (diagrammaning  $e$ -qismi). Induktivlik  $Lyu$  ta'sirida yuklama tokining yo'nalishi saqlanib qoladi va bu tok ochiq holda qolgan tiristor  $T_1$  va ochilayotgan diod  $D_4$  orqali  $RL$  yuklamaga tutashadi. Demak,  $\alpha$  intervalida ochiq holatda qolib, ketma - ket ulangan bu ikkita ventil bir fazali noli chiqarilgan sxemadagi nol diodning vazifasini bajaradi.

Vaqt o'qining  $\pi - \alpha$  nuqtasida boshqarish impulsi berilishi bilan tiristor  $T_3$  ochiladi. Kuchlanish  $u_2$  ta'sirida tiristor  $T_1$  yopiladi va unga teskari kuchlanish beriladi (19.13,  $b$  - rasm). Yuklama energiyasini tarmoqdan transformatorning ikkilamchi chulg'ami - diod  $D_4$  - tiristor  $T_3$  zanjiri orqali iste'mol qiladi. Interval  $2\pi$  tugashi bilan sxemada oldingi yarim davrdagiga o'xshagan holat takrorlanadi. Bunda diod  $D_4$  yopiladi, diod  $D_2$  ochilib, tiristor  $T_3$  bilan birgalikda yuklamaning o'ziga tutashtirish zanjirini hosil qiladi.

## 19.9. To'g'rilaqichlarning kommutatsiya jarayonlari

Transformatorning elektromagnit jarayonlarining tahlili uning ikkita oqimiga nisbatan o'tkaziladi. Birinchisi asosiy magnit oqimi va ikinchisi tarqalgan magnit oqimi. Asosiy oqim transformatorning o'zagi bo'ylab tarqaluvchi va magnitlanuvchi kuchni hosil qiluvchi oqim bo'lsa, ikinchisi esa - tarqalgan oqim bo'lib, magnit tizimning ishlashida foydali vazifa bajarmaydi. Shu sababli transformatorli qurilmalarda tarqalgan oqim har bir ikkilamchi chulg'amga ketma-ket ulangan qo'shimcha induktivlik sifatida qaraladi.

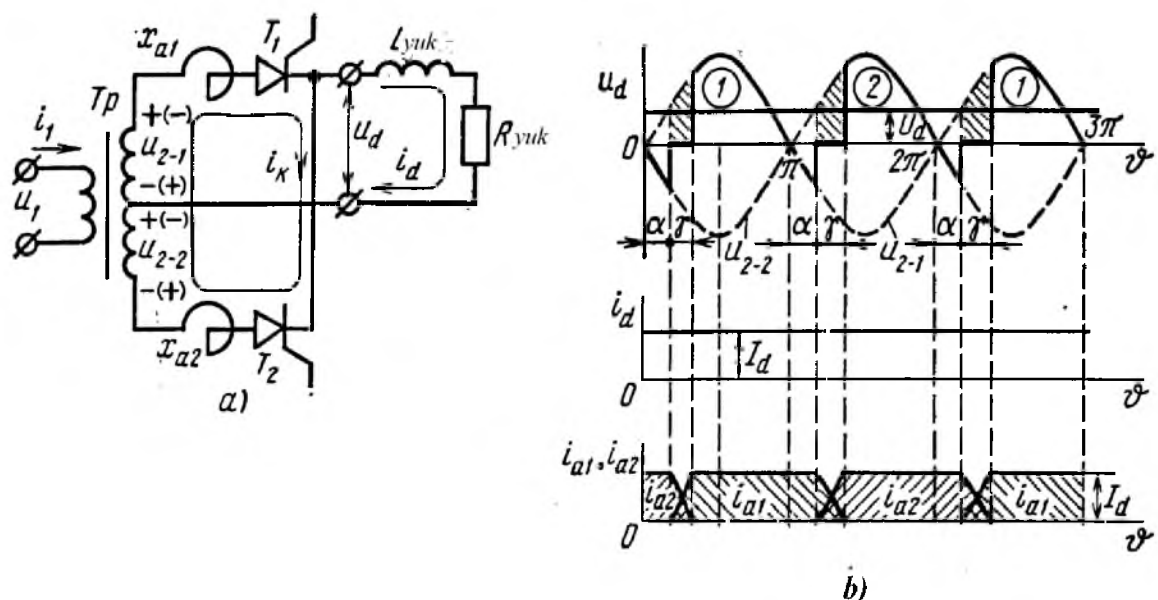
Bir fazali noli chiqarilgan to'g'rilaqich sxemasida  $x_{a1}$  va  $x_{a2}$  parametrlari orqali tarqalgan oqimlarning ularishi 19.14a-rasmida ko'rsatilgan. Bu sxemada va boshqa o'zgartkich texnikasining sxemalarida, tarqalgan oqimlar ventillari ulanib - o'chish jarayoniga (kommutatsiya jarayonlariga) o'zining katta ta'sirini o'tkazadi. Kichik quvvatli sxemalarda tarqalgan oqimlar kichkinligi uchun deyarli inobatga olinmaydi. O'rta va

katta quvvatli sxemalarda kommutatsiya intervali  $\gamma$  katta intervalni egallashi mumkin.

Keltirilgan diagrammada (19.14, b – rasm) yuklama induktivligi  $L_{yuk} = \infty$  bo‘lganida tarqalgan induktivlikning tug‘rilagich ish rejimiga bo‘lgan ta’siri ko‘rsatilgan. Ochilishi mumkin bo‘lgan tiristorga  $\alpha$  burchakli ochilish impulsi berilsa, tarqalgan induktivlik qarshiliklari  $x_{a1}$  va  $x_{a2}$  ta’sirida ochiluvchi tiristorning toki  $i_d$  qiymatgacha yetish vaqtini va yopiluvchi tiristorning toki nolgacha pasayishi vaqtini ma’lum bir intervalga cho‘ziladi. Kommutatsiya intervalining davomiyligi turli sxemalarda  $\gamma$  bilan belgilanib, transformator va yuklamaning parametrlariga bog‘liq.

Kommutatsiya intervalida ikkala tiristor ham barobar ishlashi natijasida ketma-ket ulangan transformatorning ikkilamchi chulg‘amlariga nisbatan qisqa tutashuv konturi hosil bo‘ladi. Kommutatsiya intervalida kuchlanish  $u_d$  quyidagicha aniqlanadi.

$$u_d = (u_{21} + u_{22}) / 2 \quad (19.52)$$



**19.14 – rasm. a) Bir fazali noli chiqarilgan to‘g‘rilagich sxema, b) kommutatsiya innervalini ko‘rsatuvchi diagramma**

Nol nuqtasiga nisbatan ikkilamchi chulg‘am kuchlanishlari teskari ishorada bo‘lganlari uchun ( $+u_{2-1}$  va  $-u_{2-2}$ ) kommutatsiya intervalida kuchlanish  $u_d = 0$  teng bo‘ladi. Bu intervaldagи kuchlanish shtrixlangan

yuza bilan 19.14,  $b$  – rasmda belgilangan. Diagrammadan ko‘rinib turibdiki, to‘g‘rilagichlarning o‘rtacha kuchlanishi  $U_d$  qiymatini hisoblash uchun uning  $\gamma = 0$  bo‘lgan qiymatidan kommutatsiya jarayoni hisobga hosil bo‘lgan  $\Delta U_{dy}$  qismga kamaytiriladi. Demak, to‘g‘rilangan kuchlanishning o‘rtacha qiymati quyidagicha aniqlanadi:

$$U_d = U_{d0} \cos\alpha - \Delta U_{dy} \quad (19.53)$$

bu yerda:  $U_{d0} = \frac{2\sqrt{2}}{\pi}$ ;  $U_2 = 0,9U_2$  - yuklamadagi kuchlanishning  $\alpha = 0$  bo‘lganidagi o‘rtacha qiymati;

$U_{dy}$  - bir davr davomidagi kommutatsion intervalning o‘rtalashtirilgan kuchlanishi.

$$\Delta U_{dy} = \frac{1}{\pi} \int_{\alpha}^{\alpha+\gamma} \sqrt{2} U_2 \sin\theta d\theta = \frac{\sqrt{2}}{\pi} U_2 [\cos\alpha - \cos(\alpha+\gamma)] . \quad (19.54)$$

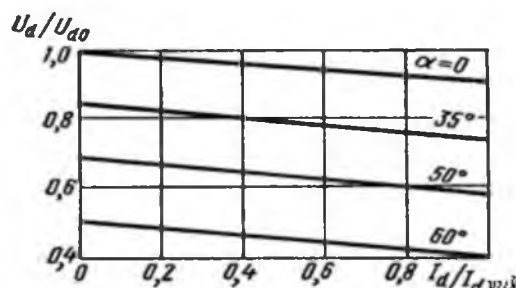
Bu ifodadan induktivlik qarshiligini  $x_a$  - ga teng deb, kommutatsion tok  $i_k$  aniqlanadi.

$$i_k = \Delta U_{dy} / x_a \quad (19.55)$$

Kommutatsion interval oxirida  $i_k = I_d$  bo‘lganligi uchun :

$$U_d = U_{d0} \cos\alpha - I_d x_a / \pi . \quad (19.56)$$

Bu ifoda kommutatsiya jarayonini hisobga olingan holda boshqariluvchi to‘g‘rilagichning chiqish kuchlanishining o‘rtacha qiymatini belgilaydi. Bundan tashqari, ifoda (19.56.) boshqariluvchi to‘g‘rilagichlarning tashqi xarakteristikisini aniqlovchi ifoda hisoblanadi. Burchak  $\alpha$  ning turli qiymatlari uchun 19.15- rasmda tashqi xarakteristikalar keltirilgan. Xarakteristikalarning qiyaligi transformatorning ikkilamchi chulg‘amga keltirilgan reaktiv qarshiligi  $x_a$  asosida aniqlanadi.



## **19.15 rasm. No‘li chiqarilgan sxemaning tashqi xarakteristikasi**

Kommutsion jarayonlar to‘g‘rilagichlarning fazoviy xarakteristikasiga ham ta’sir etadi. To‘g‘rilagich sxemalarida bu jarayonlar iste’mol qilinuvchi toklar bilan kirish kuchlanishlari orasidagi fazaviy siljishni oshiradi. Tokning birinchi garmonikasi taxminan  $\gamma /2$  –ga teng burchakka oshadi. Natijada

$$\phi = \alpha + \gamma /2 \quad (19.57)$$

Bir fazali ko‘prik sxemalar uchun ham yuqorida keltirilgan kommutatsion jarayonlarga oid ifodalar qo‘llanilishi mumkin. Ko‘prik sxemalarning noli chiqarilgan sxemalardan farqi shundaki kommutatsion intervali davomida to‘rtta tiristor ham ochilgan holatiga tushib qoladi. Bularning kommutatsion toki  $i_k = 2I_d$  bo‘lganligi sababli tashqi xarakteristikasi quyidagicha aniqlanadi:

$$U_d = U_{d0} \cos\alpha - 2 I_d x_a / \pi \quad (19.58)$$

Ko‘prik sxemalarining fazaviy siljishi ham ifoda (19.57) bilan aniqlanadi.

## **19.10 Bir fazali to‘g‘rilagichlarning boshqarish tizimlari**

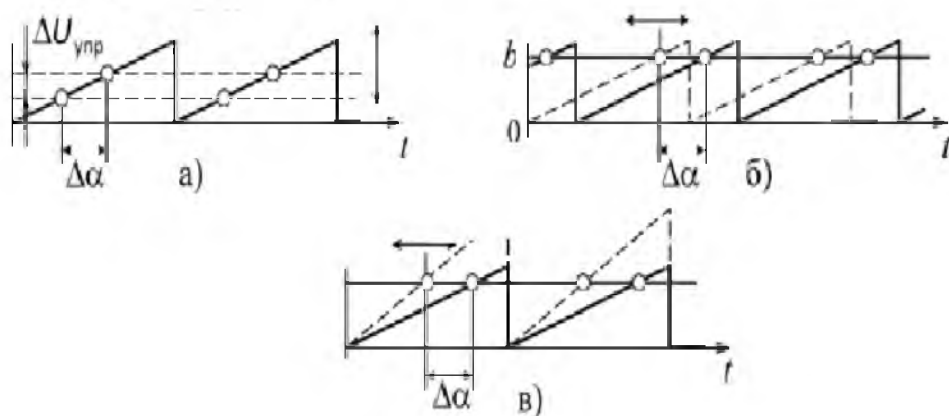
To‘g‘rilagichlarning funksional sxemasi (19.1 - rasm) tarkibiga kiruvchi boshqarish tizimining (BS) asosiy vazifasi - o‘zgartkich sxemalarida tiristorlarni boshqaruvchi impulslar bilan ta’minlashdan iborat. Boshqariluvchi to‘g‘rilagichlarda chiqish kuchlanishlarini rostlash davomida boshqaruvchi impulslarga quyidagi talablar qo‘yiladi:

- 1) turli rejimlarda ishlayotgan tiristorlarni ishonchli ochish;
- 2) ochilish burchagi  $\alpha$  - ni talab qilingan diapazonda ravon rostlash (siljitish);
- 3) tashqi ta’sir qiluvchi vaziyatlardan himoya qilish.

O‘zgarkkich sxemalarining ishlashida  $\alpha$  burchakni rostlash bilan birga chiqish kuchlanishlari fazasi ham o‘zgaradi va shu sababli BS tizimlari faza - impulsli boshqarish tizimi deyiladi (FIBT).

FIBT lar sinxron yoki asinxon prinsipi bo‘yicha ishlashi mumkin. Sinxron tizimlarda ochish impulsining berilish vaqtini bilan tiristorga berilgan musbat ishorali kuchlanish vaqtini moslash (sinxronlash) uchun

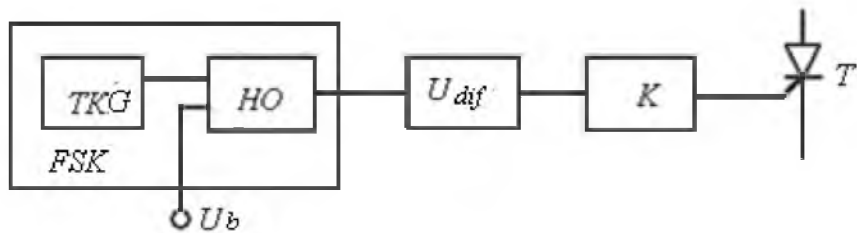
tarmoq transformatoriga qo'shimcha sinxronlovchi ikkilamchi chulg'am kiritiladi, yoki ko'p fazali o'zgartkichlarda maxsus sinxronlovchi transformatorlar qo'llaniladi. Asinxron FIBT larda ishlab chiqarilgan impulslarni tiristorlarga taqsimlash, o'zgartkichlarning muayyan ishlash algoritmlari bo'yicha maxsus qurilmalar orqali amalga oshiriladi. Bu ikkala tizimlarda ham  $\alpha$  burchakni siljitimda vertikal yoki gorizontal rostlash uslublari qo'llaniladi. 19.16 a - rasmda vertikal uslubda va 19.16 b,c - rasmlarda gorizontal uslublarning asosiy prinsiplari ko'rsatilgan. Vertikal uslubda kuchlanish  $\Delta U$  ning har bir o'zgarishi  $\Delta\alpha$  burchakning qiymatini  $\Delta\alpha$  ga o'zgartiradi, va gorizontal uslubda faza yoki tiklik o'zgarishi bilan  $\Delta\alpha$  burchak ham o'zgaradi.



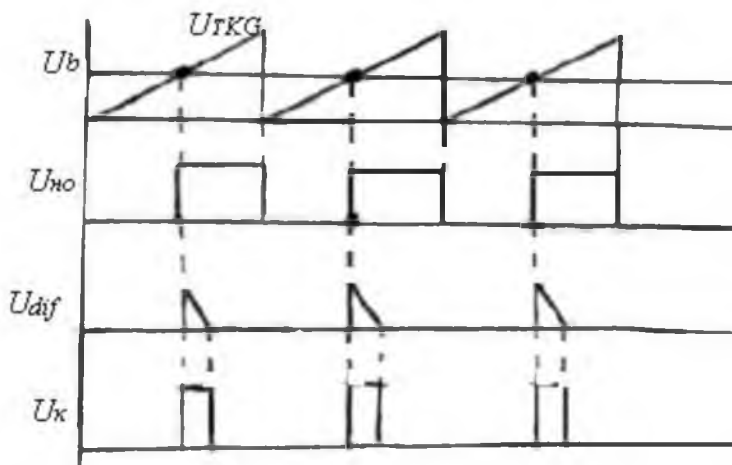
**19.16-rasm . a) vertikal va b) gorizontal boshqarish uslublari**

Bir fazali asinxron vertikal boshqarish uslubining strukturasi 19.17, a - rasmda, va ishlash vaqt diagrammasi 19.17 b- rasmda keltirilgan. Strukturaning ishlashida tayanch kuchlanish generatoridan (TKK) olingan davriy arrasimon funksiya boshqaruvchi o'zgarmas tok kuchlanishi  $U_b$  bilan nol organida (NO) solishtirilib, ularning farqi NO chiqishida impuls ko'rinishida shakllanadi. Bunda boshqarish signali  $U_b$  qiymatini o'zgartirish bilan  $U_{no}$  impuls signallarning kengligi o'zgaradi.

Faza siljituvcchi qurilmalardan (FSK) chiqqan impulslar differensiallovchi RC yoki RL zanjirlardan o'tish natijasida uchburchak  $U_{dif}$  signallarga aylantirilib, kalit rejimida ishlovchi kuchaytirgich K kirishiga musbat va manfiy ishorali uchburchak impulslar shaklida beriladi. Kuchaytirgich K musbat ishorali impulslarni kuchaytirib, ularning katta quvvatli va qisqa kenglikli impulslariga aylantirib,



a)

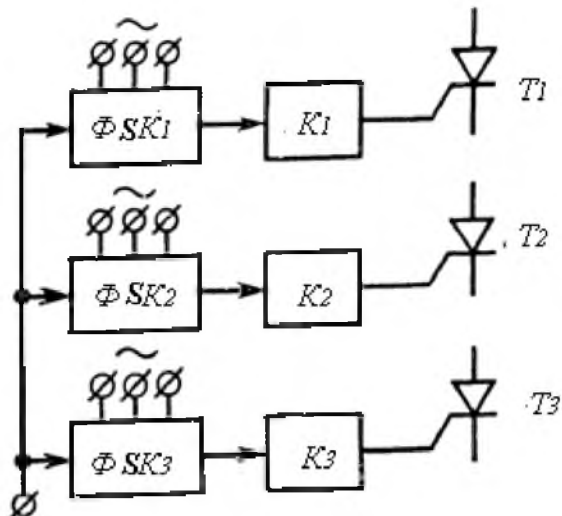


b)

**19.17- rasm a) bir fazali asinxron BS strukturasini va b) vaqt diagrammasini**

Kuchaytirib, ularning katta quvvatli va qisqa kenglikli impulslariga aylantirib, tiristorni boshqarish elektrodiga uzatadi. Bunda differentiallangan manfiy ishorali impulslarning kalit  $K$  ga ta'siri deyarli bo'lmaydi. Kuchaytirgichning chiqishidagi impulslar kengligi differentialovchi zanjirlarning vaqt doimisi  $\tau = RC$  yoki  $\tau = R / L$  ifodasi yordamida aniqlanadi. Qiymati ma'lum bo'lgan  $\tau$  uchun boshqarish impulslarining kengligi, kuchlanishi va toki tanlangan tiristorlarning kirish diagammasi bo'yicha aniqlanadi.

Ko'p fazali o'zgartkichlar uchun alohida kanallar tuziladi. Ko'p kanalli FIBT ning sinxron strukturasini 19.18 – rasmda keltirilgan. Bu sxemaning sinxron



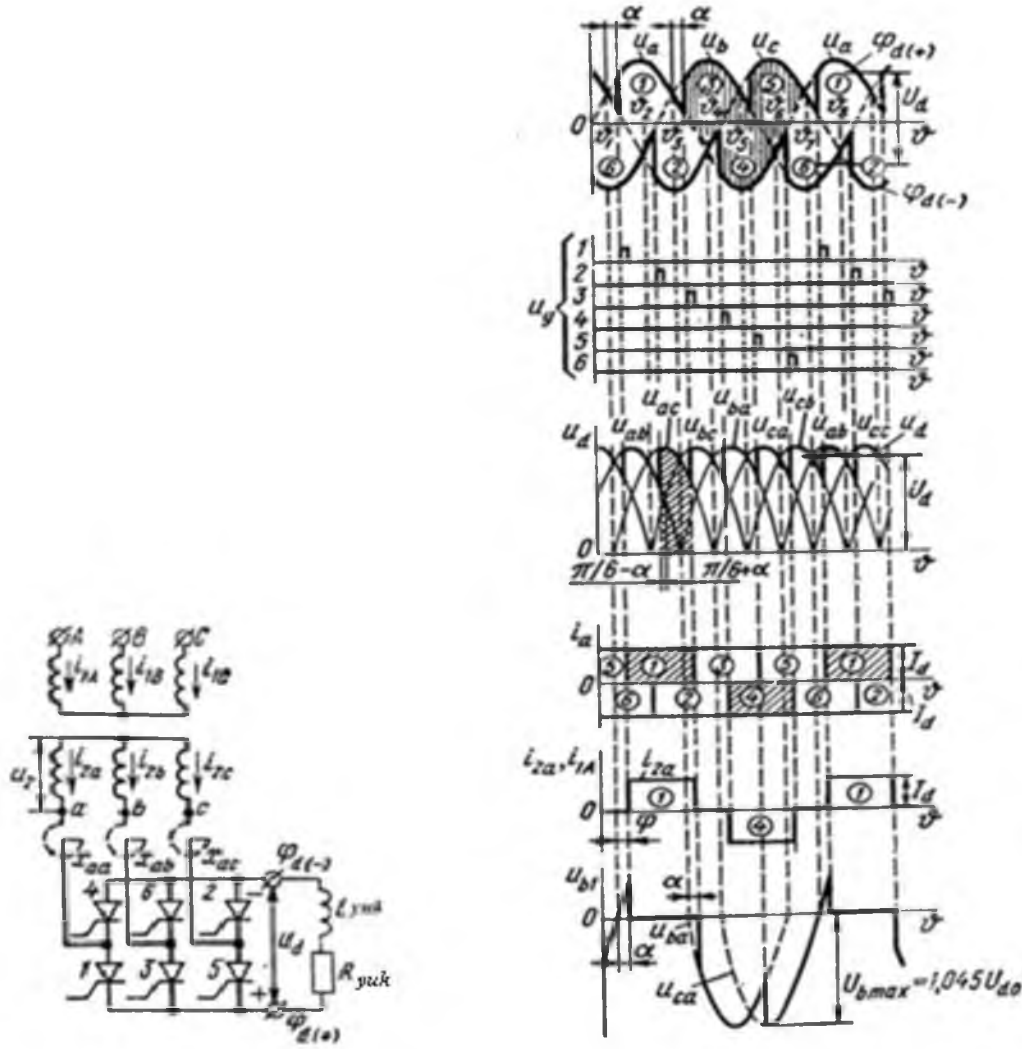
**19.18 – rasm. Ko‘p kanalli sinxron FIBT strukturalari**

deb aytilishiga sabab, ularning FSK elementlari tiristorlarga berilgan ochilish kuchlanishlari bilan sinxronlashtirilgan. Shu struktura bir fazali noli chiqarilgan yoki ko‘priksimon to‘grilagichlar uchun ikki kanalli sinxron FIBT strukturasiga aylanadi.

Sinxron FIBT tizimlar asosan uch va ko‘p fazali to‘g‘rilagichlarda qo‘llanadi.

### **19.11 Uch fazali boshqariluvchi ko‘priksimon to‘g‘rilagichlar**

Boshqariluvchi uch fazali ko‘priksimon to‘g‘rilagichlarda (19.19a - rasm), to‘liq boshqariluvchi elektron asboblaridan turli tiristorlar, tranzistorlar yoki ularning modullari qo‘llaniladi. Boshqariluvchi to‘g‘rilagichlarning diagrammalarida tiristorlarning ochilish nuqtasi tabiiy ochilish nuqtaga nisbatan  $\alpha$  burchakka kechikib ochiladi. Burchak  $\alpha$  – ning ko‘rdinatasi boshqarish sistemasi tomonidan beriladi. Kechikib ochilgan tiristorlar yuklama kuchlanishining diagrammasida  $\alpha$  - ga teng bo‘lgan kesim hosil qiladi va natijada chiqish kuchlanishining o‘rtacha qiymati  $U_0$  dan  $U_d$  gacha kamayadi. Burchak  $\alpha$  o‘zgarishi natijasida chiqish kuchlanishning o‘rtacha qiymati o‘zgarishi 19.19 b - rasmda keltirilgan.



a)

b)

**19.19- rasm a) uch fazali to‘g‘rilagich sxemasi, b) ishlash diagrammasi**

Uch fazali nolli sxemalarda ochilgan tiristorlar tomonidan yuklamaga fazaviy kuchlanish ulansa, ko‘prik sxemalarida esa fazalararo (liniya) kuchlanish ulanadi. Shuning uchun ko‘prik sxemalarida yuklamaga qo‘yilgan uch fasali kuchlanishning to‘lqinlari liniya kuchlanishining  $60^0$  teng bo‘lgan tepe qismidan hosil qlinadi (19.19 b - rasm). Burchak  $\alpha$   $0 - 60^0$  rostlanish davomida aktiv va aktiv – induktiv rejimlaridagi jarayonlar bir xil o‘tadi, ammo keyinchalik  $\alpha > 60^0$  bo‘lganida yuklamaning tipiga ko‘ra jarayonlar turli bo‘lishi mumkin.

Burchak  $\alpha$  rostlanishi davomidagi 4-ta vaziyat bolishi mumkin (19.20 – rasm). Bu vaziyatlarning barchasida yuklama induktivligi  $Lyuk = \infty$  bo‘lganida ventil va yuklama toklari uzlusiz bo‘lib, quyidagicha aniqlanadi:

$\alpha = 60^0$  intervalgacha

$$U_d = \frac{1}{\frac{\pi}{3}} \int_{-\frac{\pi}{6}+\alpha}^{+\frac{\pi}{6}+\alpha} \sqrt{6} U_2 \sin \omega t \, d\omega = U_{d0} \cos \alpha \quad (19.59)$$

va  $60^0 \leq \alpha \leq 120^0$  intervalgacha

$$U_d = \frac{1}{\frac{\pi}{3}} \int_{-\frac{\pi}{6}+\alpha}^{\pi} \sqrt{6} U_2 \sin \omega t \, d\omega = U_{d0} [1 + \cos(\alpha + 1)] \quad (19.60)$$

Aktiv yuklamada ( $L_{yu} = 0$ )  $\alpha > 60^0$  bo'lgan qiymatlarida kuchlanish  $U_d$  ning diagrammasidagi manfiy (shtrixlangan) qismlar (19.20 c,d - rasm) pauza bo'lib qoladi. Bu intervallarda ventillar va yuqlama toklari nolga teng bo'lib, to'g'rilaqichlar uzlukli tok rejimlariga tushib qoladi. Keltirilgan ifodalar (19.59), (19.60) bo'yicha rostlash xarakteristikalari 19.21- rasmida keltirilgan.

Kommutatsion jarayonlarni inobatga olgan holdagi vaqt diagrammasi 19.22-rasmda keltirilgan. Kommutatsion jarayon xuddi bir fazali to'g'rilaqichlarda keltirilgan 19.14b - rasmga o'xshash bo'lib o'tadi. Tarqaluvchi  $x_a$ ,  $x_b$ ,  $x_s$  induktivliklar ta'sirida kommutatsion jarayonlar  $\alpha$  burchak berilishidan boshlab  $\gamma$  intervalida davomida etadi. Kommutatsiya davomida tarqaluvchi reaktiv qarshiliklar hisobiga ishlayotgan ikki fazalarining yig'indisi o'rtacha tok  $I_d$  ning qiymatiga teng (19.22 - rasmda kommutatsion jarayondagi 5- va 1-ventillarni toklariga qarang).

Kommutatsiya davomidagi kuchlanishning pasayishi to'g'rilaqichlarning kuchlanishining o'rtacha qiymatiga ham ta'siri bor

$$U_{da} = U_{d0} \cos \alpha - \Delta U_{dy} . \quad (19.61)$$

Bunda

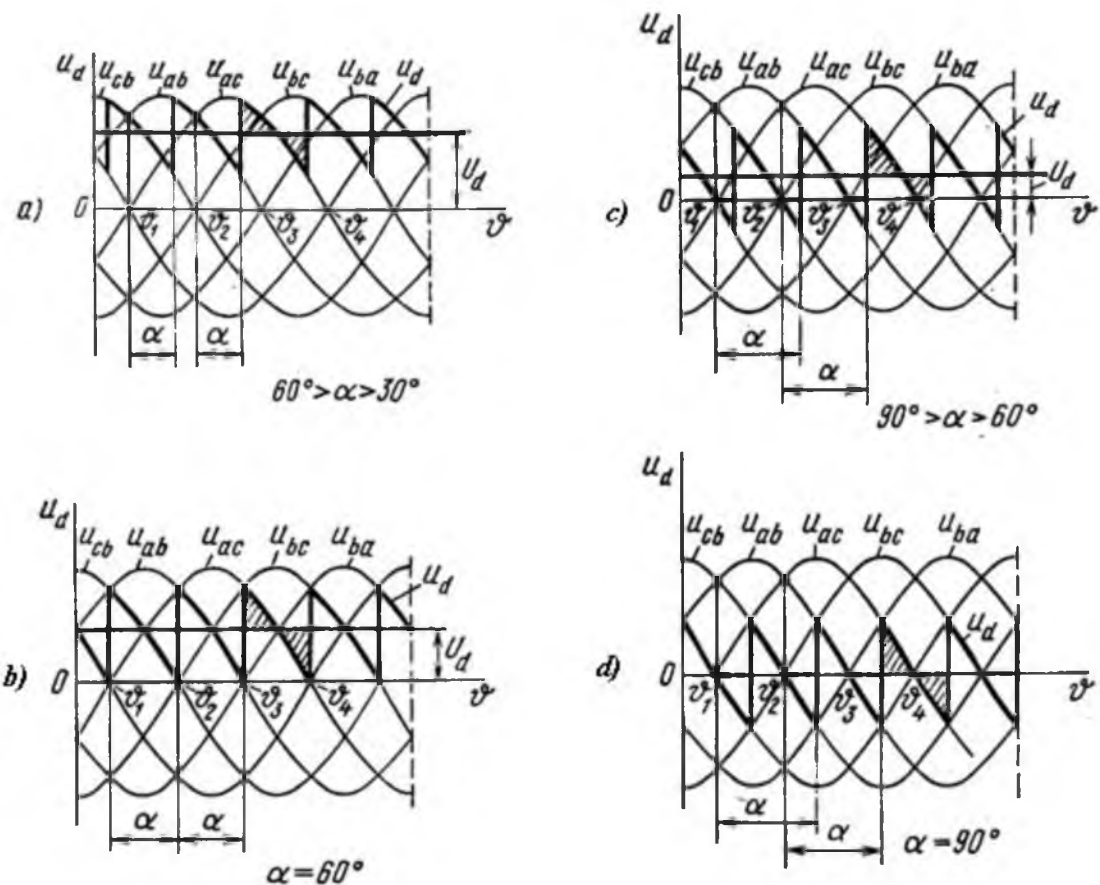
$$\Delta U_{dy} = \frac{1}{\frac{\pi}{3}} \int_{\alpha}^{\alpha+\gamma} \frac{\sqrt{6}}{2} U_2 \sin(\alpha + \omega t) \, d\omega t = \frac{3\sqrt{6}}{2\pi} U_2 [\cos \alpha \cos(\alpha + \gamma)] \quad (19.62)$$

Agar kommutatsiya toki  $I_k$  ifodasidan

$$I_k = \frac{\sqrt{6}}{2x_a} U_2 [ \cos \alpha + \cos(\alpha + \gamma) ] \quad (19.63)$$

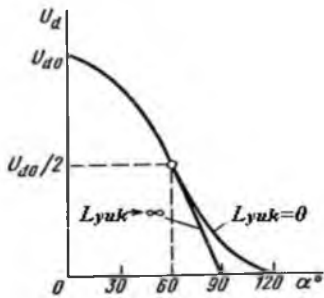
kosinuslarning yig‘indisi aniqlanib, (19.63)-ga qo‘yilsa, uch fazali boshqariluvchi to‘g‘rilagichlar uchun tashqi xarakteristika quyidagicha aniqlanadi

$$U_{da} = U_{d0} \cos \alpha - \frac{3 I_d}{\pi} x_a \quad (19.64)$$

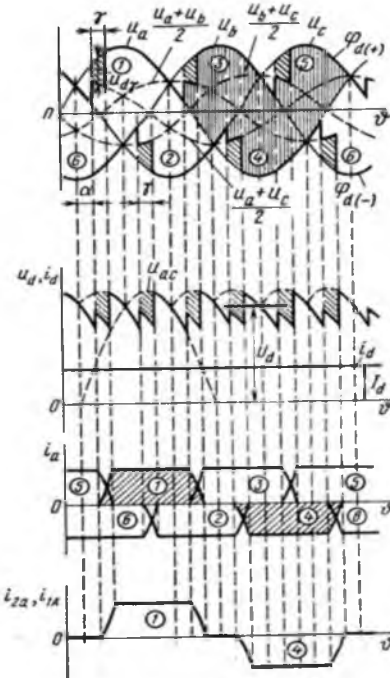


### 19.20- rasm Uch fazali to‘g‘rilagichlarning rostlash xarakteristikasi

Ifoda (19.64) bo‘yicha qurilgan tashqi xarakteristika 19.15- rasmda keltirilgan no‘li chiqarilgan sxemaning xarakteristikasini takrorlaydi.



**19.21-rasm Tog‘rilagichni tashqi xarakteristikasi**



**19.22-rasm Uch fasali tog‘rilagichdagi kommutatsion jarayonlar**

### 19.12 To‘g‘rilagichlarning rejimlariga yuqo‘ri garmonikalarning ta’siri

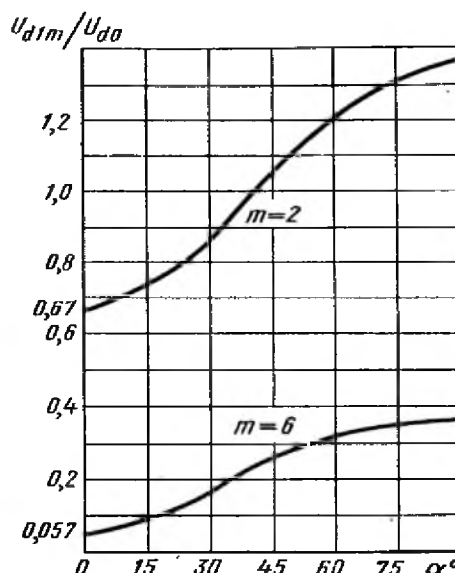
Yuqori garmonikalarning ta’sirini bir fazali noli chiqarilgan to‘g‘rilagichlar uchun aniqlashda ifodalar (19.9) va (19.10) orqali pulsatsiya koeffitsiyenti  $q$  kiritilgan

$$q = \frac{U_{dvm}}{U_{do}} = \frac{2}{v^2 m^2 - 1} , \quad (19.65)$$

bunda  $v = 1, 2, 3, \dots$  – garmonikalarning nomerlari,  $m$  – to‘g‘rilagichlarni davr davomidagi yarim to‘lqinlar soni. Bu ifodada barcha to‘g‘rilagichlar uchun burchak  $\alpha = 0$  hisoblangan, ya’ni boshqaruvsiz to‘g‘rilagichlar uchun qo‘llaniladi. Boshqariluvchi to‘g‘rilagichlarda  $\alpha$  rostlanish davomida garmonikalar tarkibi va pulsatsiya koeffitsiyenti ham o‘zgarib quyidagicha aniqlanadi :

$$q = \frac{U_{dvm}}{U_{d0}} = \frac{2}{\nu^2 m^2 - 1} \cos \alpha \sqrt{1 + \nu^2 m^2 \tan^2 \alpha} \quad (19.66)$$

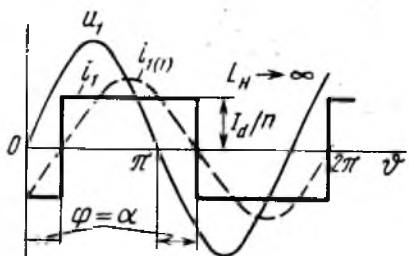
Burchak  $\alpha$  rostlanishi diapazonida  $m=2$  va  $m=6$  teng bo‘lgan bir va uch fazali to‘g‘rilagichlarning birinchi garmonikalarini to‘g‘rilangan kuchlanishlarga nisbatan bo‘lgan qiymati 19.23 – rasmda ko‘rsatilgan. Rasmdan  $\alpha$  oshishi bilan garmonikalarning to‘g‘rilangan kuchlanishlarga nisbatan ta’siri oshib ketishi ko‘rinib turibdi. Yuklama kuchlanishida garmonikalarning oshishi transformatorning birlamchi chulg‘amining toklariga ham ta’siri katta. Bir fazali va uch fazali boshqariluvchi to‘g‘rilagichlarda burchak  $\alpha$  - ning birlamchi chulg‘am toklariga ta’siri 19.24- rasmda ko‘rsatilgan. Ta’sir natijasida aktiv – induktiv yuklamaga ishlovchi to‘g‘rilagichlar tarmoqqa yuqori chastotali toklar tarqatadi. Bu toklar energiya liniyalarida, o‘tkinchi transformatorlarda qo‘shimcha energiya sarf qilinishiga olib keladi.



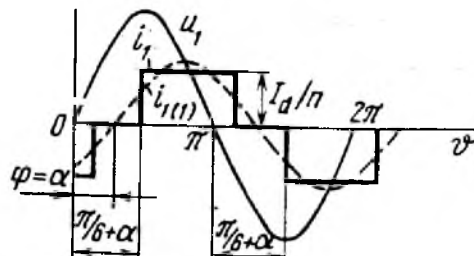
**19.23- rasm. Bir va uch fazali to‘g‘rilagichlarning birinchi garmonikasini rostlash xarakteristikasi**

Bir fazali to‘g‘rilagichlar uchun yuqori chastotali toklar birlamchi tokni Furye qatoriga yoyilganidagi ko‘rinishi quyidagicha aniqlanadi:

$$i_1(\omega t) = \frac{4I_d}{\pi n} \left( \sin \omega t + \frac{1}{3} \sin 3\omega t + \frac{1}{5} \sin 5\omega t + \dots + \frac{1}{v} \sin v\omega t \right) \quad (19.67)$$



a)



b)

**19.24 – rasm. Garmonikalarning oshishi transformatorning birlamchi chulg‘amining toklariga ham ta’siri a) bir fazali, b) uch fazali to‘grilagichlarda**

Ifoda (19.67) dan garmonikalarning amplitudasi ularning nomerlariga nisbatan teskari proporsional ravishda o‘zgarishi ko‘rinib turibdi, ya’ni quyidagicha aniqlanadi:

$$I_{1m} = \frac{1}{v} \frac{4I_d}{\pi n} \quad (19.68.)$$

bunda  $n$  - transformatorning uzatish koeffitsiyenti.

Tenglama (19.68) da boshqariluvchi burchakning ta’siri inobatga olinmagan. Agar aktiv - induktiv yuklamalarda garmonikalarning siljish burchagi  $\phi = \alpha / 2$  hisobga olinsa, birlamchi tokning tarkibidagi garmonikalar quyidagicha aniqlanadi:

$$i_1(\omega t) = \frac{4I_d}{\pi n} \left( \cos \frac{\omega t}{2} \sin \omega t + \frac{1}{3} \cos 3 \frac{\omega t}{2} \sin 3 \omega t + \frac{1}{5} \cos 5 \frac{\omega t}{2} \sin 5 \omega t \right) \quad (19.69)$$

Birlamchi tokarning buzilishiga kommutatsiya jarayonlari ta’siri ham bor, ammo ularning kamligi uchun keltirilgan tahlilda ko‘rilmagan.

To‘grilagichlarda hosil bo‘lgan yuqori garmonikalarning tarmoqqa ta’sirini kamaytirish uchun tarmoq filtrlari (TF) qo‘llaniladi. Filtrlar asosan L va C elementlarning ketma-ket ulangan zanjirlaridan tashkil qilinadi. Ular yuqori garmonikalaridan eng pastki chastotasiga moslashtirilgan bo‘lib, tarmoq shinalariga parallel ravishda ulanadi. Uch fazali to‘g‘rilagichlarda yuqori garmonikalaridan eng pasti 5 – garmonika bo‘lganligi uchun chastotasi 250 Gs. Tarmoq filtrlarining parametri shu chastota bo‘yicha rezonansga moslashtiriladi. Bir fazali to‘g‘rilagichlarning past chastotasi 3- garmonikaning chastotasi bo‘lib,

150 Gs ga teng. To‘g‘rilagichlarga o‘rnashtirilgan bu filtrlar 5- yoki 3-garmonikalarga kam qarshilik ko‘rsatib, ularning tarmoqqa o‘tishiga to‘sqinlik qiladi.

### 19.13. To‘g‘rilagichlarning quvvat koeffitsiyenti va F.I.K.

To‘g‘rilagichlar uchun eng qulay rejim bu tarmoqdan naqd aktiv energiyani iste’mol qilish rejimidir. Bu degan iste’mol qilinuvchi tok  $i_1$  ham sinusoidal xarakteriga ega bo‘lib, tarmoq kuchlanishiga nisbatan fazaviy siljish yo‘qligini bildiradi. Ammo amalda o‘rtalik va katta quvvatli to‘g‘rilagichlarda iste’mol qilinuvchi toklar yuqorida ko‘rsatilgan bo‘yicha, nosinusoidal xarakteristikaga ega bo‘lib, ularning birinchi garmonikasi tarmoq sinusoidasidan bir qancha siljigan bo‘ladi. Buning hisobiga to‘g‘rilagichlar tarmoqdan aktiv quvvat  $R = U_d I_d$  bilan birga reaktiv quvvat ham iste’mol qiladi. Bu reaktiv quvvat to‘g‘rilagichlarda bekor sarf qilinadigan energiyani oshirishga olib keladi.

Bu hodisa to‘g‘rilagichlarda quvvat koeffitsiyenti bilan aniqlanadi

$$\lambda = P_I / S_I \quad (19.70)$$

$P_I$ - to‘g‘rilagich iste’mol qilgan aktiv quvvat :

$$P_I = U_I I_{1(I)} \cos\varphi ; \quad (19.71)$$

$S_I$  – tarmoqdan iste’mol qilinuvchi to‘liq quvvat.

Bu quvvat tok va kuchlanishlarning effektiv qiymatlari  $S_I = U_I I_1$  bilan aniqlanadi.

Tok garmonikalarini hisobga olganda

$$I_1 = \sqrt{I_{1(1)}^2 + I_{1(3)}^2 + \dots + I_{1(v)}^2} \quad (19.72)$$

to‘liq qiymat  $S_I$  quyidagi ifoda bilan aniqlanadi:

$$S_I = U_I \sqrt{I_{1(1)}^2 + I_{1(3)}^2 + \dots + I_{1(v)}^2} \quad (19.73)$$

Ifodalar (19.72) va (19.73) larning (19.71) ga qo‘yilishi bilan quvvat koeffitsiyenti uchun quyidagi ifoda kelib chiqadi:

$$\lambda = \frac{I_{1(1)} \cos \varphi}{\sqrt{I_{1(1)}^2 + I_{1(3)}^2 + \dots + I_{1(v)}^2}} = k \cos \varphi \quad (19.74)$$

bunda  $k$  - iste’mol qilinuvchi tokni formasining buzilish koeffitsiyenti;  $\cos \varphi$  - tokning birinchi garmonikasining siljish koeffitsiyenti.

Yuqorida ko‘rilgan boshqariluvchi to‘g‘rilagichlar uchun kommutatsiya jarayonini hisobga olingan holda

$$\varphi = \alpha + \gamma/2 \quad (19.75)$$

$$\text{yoki} \quad \cos \varphi = \cos(\alpha + \gamma/2) \quad (19.76)$$

Ifoda (19.76) bo‘yicha 19.25- rasmida siljish koeffitsiyenti  $\cos \varphi$  - ni boshqarish burchagi  $\alpha$  va kommutatsiya burchagi  $\gamma$  - ga nisbatan qurilgan grafigi keltirilgan. Grafikda  $\alpha = 0$  bo‘lganida koeffitsiyent  $\cos \varphi$  - ni boshqaruvsiz to‘g‘rilagichlardagi qiymatini ko‘rsatadi.

Bir va uch fazali to‘grilagichlar uchun mashtablovchi koeffitsiyentlar  $k = 2\sqrt{2}/\pi = 0,9$  va  $k=3/\pi=0,955$  bo‘lganliklari uchun ularning quvvat koeffitsiyentlari quyidagicha aniqlanadi:

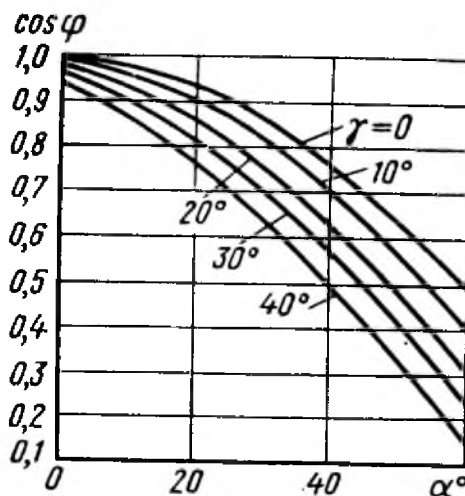
$$\lambda = 0,9 \cos(\alpha + \gamma/2) \quad (19.77)$$

$$\lambda = 0,955 \cos(\alpha + \gamma/2) \quad (19.78)$$

Bu ifodalardan yuklamalarning parametrлари va boshqaruvchi burchaklar teng bo‘lganida uch fazali to‘grilagichlarning quvvat koeffitsiyenti bir fazalidan 5,5% kattaligi ko‘rinib turibdi.

Boshqariluvchi to‘g‘rilagichlarni rostlash davomida (burchak  $\alpha$  oshishi davomida) quvvat koeffitsiyenti kamayadi va buning natijasida elektr tarmog‘iga induktiv xarakterdagi reaktiv tok uzatiladi. Shuning uchun o‘rta va katta quvvatli to‘g‘rilagichlar qo‘llanganda qo‘sishimcha reaktiv toklardan tarmoqni himoya qilish maqsadida kompensatorlar qo‘llaniladi. Ular to‘g‘rilagichlar va tarmoq orasiga ulanadigan

kondensatorlar, batareyalar, sinxron mashinalar, tarmoq filtrlari bo‘lishi mumkin. Bulardan tashqari to‘g‘rilagichlarning sxemasiga tiristorlarning ochilish vaqtini oldiga surish uchun maxsus elementlar qo‘shilishi mumkin. Bu tipdagi to‘g‘rilagichlarni toklarning sunniy kommutatsiya qiluvchi to‘g‘rilagichlar deb aytildi. Misol sifatida 19.26 - rasmda quvvat koeffitsiyenti yaxshilangan to‘g‘rilagich sxemasi keltirilgan. Sxemani ishslash sharti bo‘yicha katta induktivlikka ega bo‘lgan uch fazali tekislovchi reaktor  $L_p$  va katta yuklama induktivligi  $L_{yu}$  anod toklarining to‘g‘ri burchak shakliga olib keladi. Yuklama toki esa tekislovchi reaktor ta’sirida teng bo‘lgan uch qismga ajratiladi.

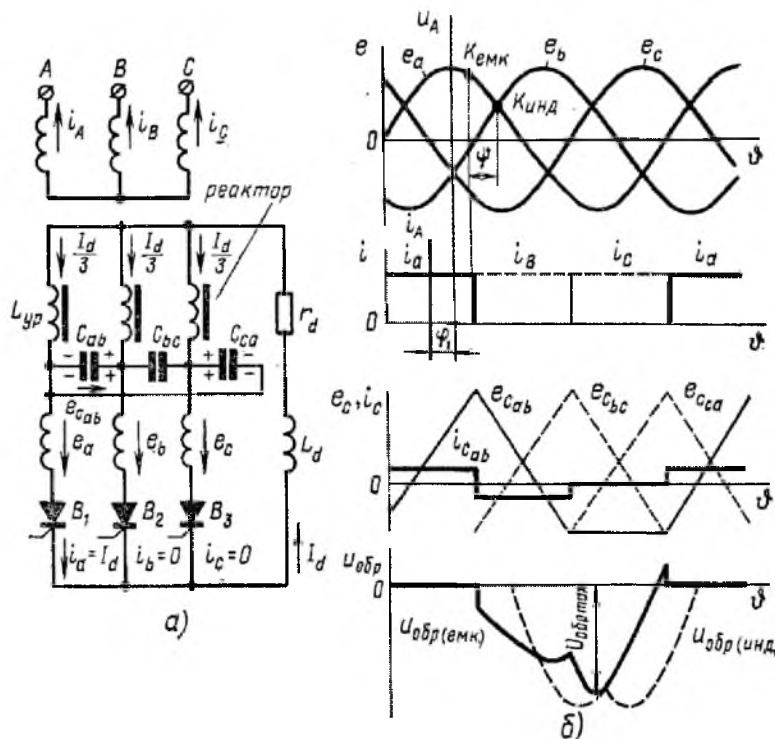


**19.25 rasm. Quvvat koeffitsiyentining rostlash burchagi  $\alpha$  bilan bog‘lanish grafigi**

Birinchi ventil V1 ishslash davomida uning toki faza tokidan tashqori tekislovchi reaktorning kondensatorlar  $C_{ab}$  va  $C_{ba}$  zaryad toklari bilan ham aniqlanadi. Natijada keyingi ochiluvchi ventil V2 ning anod - katod nuqtalariga fazoviy kuchlanishdan tashqari kondensator  $C_{ab}$  da hosil bo‘lgan qo‘shimcha kuchlanish  $e_{Cab}$  ham qo‘shiladi. Shu bilan ikkinchi ventil V2 ochilish sharti tabiiy ochilish nuqtasi bilan emas, balki quyidagi tenglama bilan aniqlangan nuqtada ochiladi :

$$e_a = e_b + e_{Cab} \quad (19.79)$$

Tabiiy ochililish nuqtasining sharti  $e_a = e_b$  bo‘lganligi sababli sun’iy ochilish nuqtasi keltirilgan (19.79) ifoda bo‘yicha oldinroqqa suriladi. Demak tarmoqdan iste’mol qilinuvchi toklar faza kuchlanishlaridan qoluvchi rejimidan ilgari rejimga o‘tadi.



**19.26 rasm. Quvvat koeffitsiyenti yaxshilangan to‘g‘rilagichning sxemasi**

**Faydali ish koeffitsiyenti (FIK)** to‘g‘rilagichlarning yuklamaga uzatilgan aktiv quvvatini, to‘g‘rilagichlarda sarf qilingan umumiyl aktiv quvvatiga nisbatan bo‘lgan koeffitsiyentidir. Toklarni ideal sillqlantiruvchi to‘g‘rilagichlarda FIK quyidagi o‘zaro nisbat bilan aniqlanadi:

$$\eta = P_d / (P_d + \sum \Delta P) \quad (19.80)$$

bunda  $\sum \Delta P$  – to‘g‘rilagichlarda sarf qilingan quvattlarning yig‘indisi.

Sarf qilinadigan aktiv quvvatning tarkibiga ventillardagi  $\Delta P_v$ , kuch transformatoridagi  $\Delta P_{tr}$ , drossellardagi  $\Delta P_{dr}$  va qo‘sishimcha qurilmalardagi (boshqarish siste’molari, signalizatsiyalar va h.k.). sarf qilinadigan quvvatlar kiradi.

Ventillardagi quvvat  $\Delta P_v$  ulardan to‘g‘ri tok o‘tishi va o‘chib yonishidagi sarf qilingan quvvat hisoblanadi. Chastotasi 50 Gs bo‘lgan qurilmalarda o‘chib yonishidagi sarf qilingan quvvat inobatga olinmaydi. Natijada quyidagi ifodani yozish mumkin:

$$\Delta P_v = m_v \Delta U_a I_a , \quad (19.81)$$

$m_v$  - to‘g‘rilagichlardagi ventillarning soni  
Kuch transformatoridagi quvvat :

$$\Delta P_{tr} = \Delta P_p + \Delta P_m , \quad (19.82)$$

bunda  $\Delta P_p$ ,  $\Delta P_m$  - po‘lat va misda sarf qilingan quvvatlar.

Silliqllovchi drossellardagi quvvat :

$$\Delta P_{dr} = I_d^2 R_d . \quad (19.83)$$

Ayrim vaziyatlarda FIK to‘g‘rilagichlar va transformatorlarning FIK lari ( $\eta_{v.s}$   $\eta_{tr}$ ) ko‘paytirmasi bilan aniqlanadi.

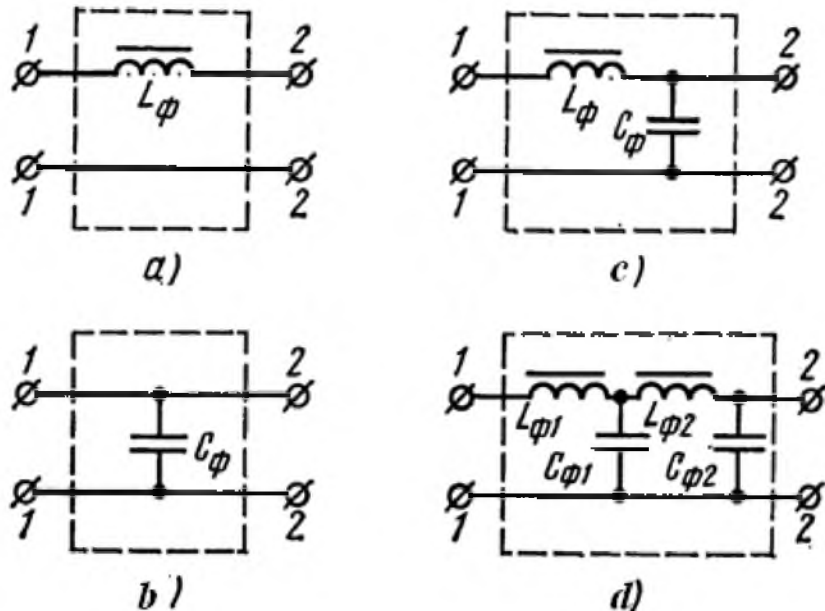
#### **19.14 To‘g‘rilangan kuchlanishning pulsatsiyalarini silliqlovchi filtrlar**

To‘grilangan kuchlanishlarda har bir davr davomida yarim to‘lqinlar soni  $m$  bilan belgilanib, yuqorida  $m = 1, 2, 3, 6$  bo‘lgan bir va uch fazali diodli (boshqariluvsiz) sxemalar ko‘rib chiqilgan. Umumiyligi blok sxemada (19.1- rasm) bu yarim to‘lqinli kuchlanishlarni silliq o‘zgarmas tok shakliga aylantirish uchun o‘zgarmas tok filtrlari (O‘TF) qo‘llanilgan. Bu filtrlar past (quyi) chastotali bo‘lib, sinflanishda alohida o‘rin egallaydi. Ular asosan AS - DS va DS - DS o‘zgartkichlarda qo‘llaniladi. Bir fazali past chastotali filtrlarning ayrim turlari 19.27 - rasmda keltirilgan. Filtrlar  $L$  va  $C$  elementlaridan tashkil topgan bo‘lib,  $L$  elementi yuklamaga ketma - ket va  $C$  elementi parallel ravishda ulanadi. Bunday tartibda ulanishga asos - induktivlik elementi  $L$  garmonikalardan hosil bo‘lgan yuqori chastotali kuchlanishlarga katta qarshilik ( $R_L = \omega L$ ), va parallel ulangan  $S$  elementi - kichik qarshilik ( $R_C = 1/\omega C$ ) bilan ta’sir etishidadir. Ko‘pchilik holatlarda  $L$  va  $C$  elementlar barobar ulanib, bir va ko‘p zvenoli  $LC$  filtrlarni tashkil qiladi (19.27 c,d - rasm). Zvenolarning soni to‘g‘rilagichlarning chiqishidagi talab qilingan silliqlovchi koeffitsiyent  $S$ -ga bog‘liqdir.

Silliqlashga eng katta ta’sir qiluvchi pulsatsiyaning birinchi garmonikaga nisbatan silliqlovchi koeffitsiyenti quyidagicha aniqlanadi:

$$S_I = q_{1 kir} / q_{1 chiq} = \frac{U'_{d1m}}{U'_d} : \frac{U_{d yuk 1m}}{U_{d yuk}} = \lambda S_{IF} \quad (19.84)$$

bunda:  $q_1$  kir,  $q_{1\text{chiq}}$  – filtrlar uchun (19.10) ifodada keltirilgan kirish va chiqishdagi pulsatsiyaning birinchi garmonika uchun pulsatsiya ko'effitsiyentlari;



**19.27- rasm. Silliqlovchi filtrlarning tiplari**

$U_{d1m}$ ,  $U_{dyuk1m}$  - filtrning kirishidagi va chiqishidagi (yuklamadagi) pulsatsiyalarning birinchi garmonikasining amplitudasi qiymati;

$U_d^+$ ,  $U_d^+$  yuk - filtrning kirishi va chiqishidagi kuchlanishning o'zgarmas qismi;

$\lambda$  – filtrning kirishidagi o'zgarmas tok qismining chiqishidagi o'zgarmas tokka nisbatan bo'lgan qiymati, ya'ni o'zgamas tokni uzatish ko'effitsiyenti.

Agarda filtrda o'zgarmas tok kuchaytirilmasa, ya'ni  $\lambda = 1$  bo'lsa, tenglama (19.84) quyidagicha yozilishi mumkin:

$$S_{IF} = U_d / U_d^+ . \quad (19.85)$$

Elektr yuritma qurilmalarida asosan  $L$  - filtrlar qo'llaniladi (19.27, a - rasm). Bu filtrlarda  $L_d$  elementini tanlash me'zoni  $I_d$  tokning har qanday rejimda uzlusiz holatini ta'minlashdan kelib chiqadi. 19.28, a - rasmida  $L$  filtrni kirishiga generatoridan  $U_{d1m}$  pulsatsiyali kuchlanish berilishi va chiqishda  $U_{d1m}$  pulsatsiyali kuchlanishni olinishi ko'rsatilgan.

Kirxgoff qonuni bo'yicha rasmida ko'rsatilgan filtr uchun quyidagi tenglamani yozish mumkin :

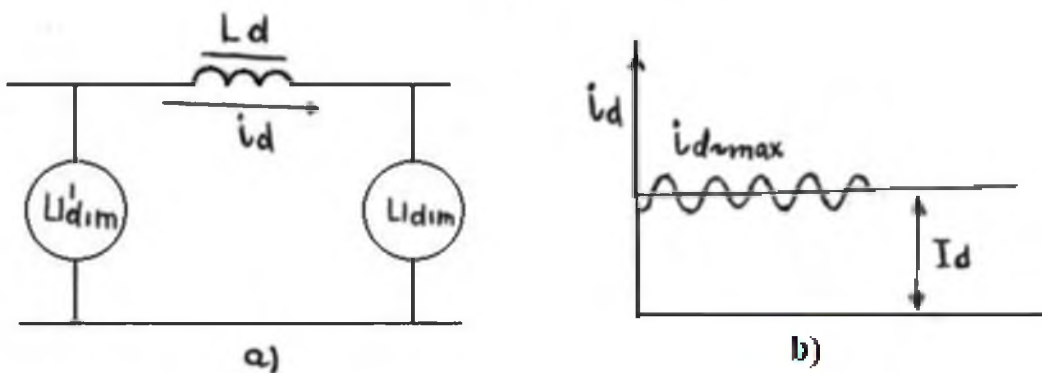
$$U_{d1m} - U'_{d1m} = i_{d\sim max} x_d \quad (19.86)$$

bunda 19.28, b - rasmdan:

$$i_{d\sim max} = i_d - I_d; \quad x_d = \omega_1 L_d; \quad \omega_1 = 2\pi f_{set} m \quad (19.87)$$

Keltirilgan (19.86) va (19.87) ifodalarni qo'llangan holda :

$$L_d = (U_{d1m} - U'_{d1m}) / 2\pi f_{set} m i_{d\sim max} \quad (19.88)$$



### 19.28-rasm Silliqlovchi L – filtrlarning uylanis sxemasi

Ayrim vaziyatlarda (masalan, boshqariluvchi to'g'rilaqichlarda ventillarning ochilish burchagi  $\alpha$  kengayishi natijasida) tok  $i_{d\sim max}$  minimal holatga  $i_{d\sim min}$  ga tushishi mumkin. Bunda tok  $I_d$  ham minimal qiymati  $I_{d\min}$  ga teng bo'ladi. Filtrning chiqishidagi tok  $I_d$  uzlusiz bo'lishi uchun tengsizlik sharti quyidagicha bo'lishi mumkin

$$I_{d\min} > i_{d\sim max} \quad (19.89)$$

Bu tengsizlik e'tiborga olinganida induktivlik  $L_d$  ni tanlash ifodasi (19.88) quyidagicha yozililadi:

$$L_d > (U_{d1m} - U'_{d1m}) / 2\pi f_{set} m I_{d\min} \quad (4.90)$$

Bir va ko'p fazali to'g'rilaqichlar elektr yuritmalaridan tashqari ikkilamchi o'zgarmas tok manbalari vazifalarini ham bajarishlari mumkin. Bu rejimda ularning chiqishida silliqlovchi  $LC$  - filtrlar qo'llaniladi. Bir zvenoli filtrning  $L_d$  elementini tanlashda (19.88) va (19.90) ifodalardan

foydalish mumkin. Parallel ulangan  $S$  elementni aniqlashda esa filtrlash  $S_F$  koeffitsiyentining quyidagi ko‘rinishidan foydalaniladi:

$$S_F = I + ZY \quad (19.91)$$

Bir zvenoli  $LC$  – filtrda  $Z = jm\omega L$ , va  $Y = jm\omega C$  bo‘lgani uchun

$$S_F = m^2\omega^2 LC - I. \quad (19.92)$$

Yuqorida keltirilgan (19.90) ifodadan induktivlik  $L$  aniqlansa (19.92) dan element  $S$  aniqlanadi :

$$C = (S_F + I) / m^2\omega^2 L \quad (19.93)$$

Elementlar qiymati aniqlangandan keyin ularning turlari hamda tok va kuchlanish bo‘yicha ruxsat etilgan nom inallari tanlanadi.

Misol: hisoblangan  $S = 10 \text{ m}kF$  bo‘lsa, ma’lumotnomada bo‘yicha unga mos ruxsat etilgan kuchlanish nominallari 50, 100, 400 Volt va h.k bo‘lishi mumkin. Ulardan bittasini tanlashda kommutatsiya jarayonidagi (ulanishdagi) kuchlanishlarning keskin oshib ketishi e’tiborga olinadi. Kuchlanishlarning keskin oshishidagi maksimal qiymatiga filtrning rezonans chastotasi bilan kirish chastotaning birinchi garmonikasi teng bo‘lganida erishiladi. Bu holatda filtrning chiqishidagi pulsatsiya koeffitsiyenti kirishdagidan katta bo‘lishi ham mumkin. Shu sababli quyidagi shartni saqlash talab qilinadi:

$$\omega_{rez} = \frac{1}{\sqrt{L_f S_F}} < \frac{\omega_1}{K_1}, \quad k_1 = 2 - 3 \quad (19.94)$$

Bu shart bo‘yicha filtrning rezonans chastotasi kirish chastotaning 1- garmonikasidan 2 - 3 martaba kichkina bo‘lishi talab qilinadi. Demak,  $S_f$  uchun ma’lumotnomadan tanlangan kuchlanish aniqlangan  $U_d \max$  dan 20 - 30 % katta bo‘lishi lozim.

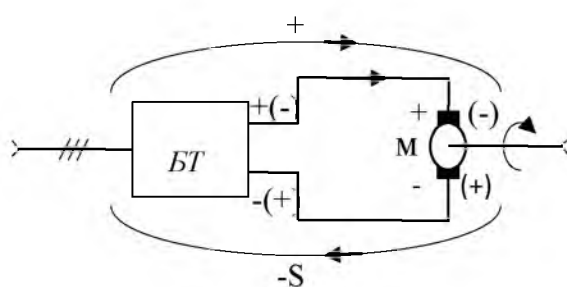
Ko‘p zvenoli  $LC$  filtrlar bir turdagisi induktivlik  $L$  va sig‘im  $C$  elementlaridan tashkil qilinadi. Bu filtrlar uchun  $L_1 = L_2 = L_n = L$  va  $C_1 = C_2 = C_n = C$ . Filtrlash koeffitsiyenti quyidagicha aniqlanadi :

$$S_F = S_{F1} S_{F2} \dots S_{Fn} = (S_{F1})^n, \quad (19.95)$$

bunda:  $S_{F1}$  - birinchi zvenoning filtrlash koeffitsiyenti,  $n$  - zvenolarning soni.

## 19.15 Tarmoqqa bog'liq o'zgartkichlar

Elektrmexanik tizimlarning obyektlarida kuchlanishlar va toklar mos ravishda yo‘naltirilgan bo‘lsa, bu obyekt energiya ta’minot manbai hisoblanadi. Agar kuchlanish va toklar teskari yo‘nalishda bo‘lsa, obyekt energiyaning iste’mol qiluvchi, yoki yuklama obyekti hisoblanadi. Demak 19.29- rasmda keltirilgan boshqariluvchi to‘g‘rilagichlar va o‘zgarmas tok dvigatellari sistemasida (BT-O‘TD) har bir obyekt, ko‘rsatilan ishoralariga ko‘ra, ta’minot manbai yoki iste’molchi vazifalarini bajarishi mumkin.



### 19.29 - rasm. BT - Q'TD sistemasida ulanishi

Bunda qavs ichidagi ishoralar davomida boshqariluvchi to‘g‘rilagichlar (BT) musbat yarim davrlar doirasida  $\alpha < 90^{\circ}$  rejimida ishlab energiya manbai vazifasini bajaradi. O‘zgarmas tok dvigatellari (O‘TD) esa bu ishoralarda dvigatel rejimida ishlab, iste’molchi vazifasini bajaradi.

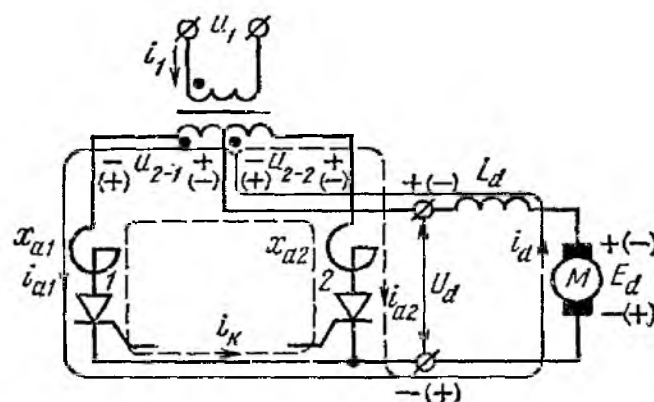
Qavs ichidagi ishoralarga erishish uchun O'TD - ga tashqaridan berilgan kuchlar natijasida yakorni teskari tomonga aylantiriladi. Bunda O'TD qutblaridagi ishoralarini o'zgartirib, generator rejimiga o'tish bilan manba obyektga aylanadi, BT esa generatorda ishlab chiqilgan energiyani tarmoqqa uzatish rejimiga o'tib, iste'molchi obyektiga aylanadi.

BT larning iste'molchi rejimiga o'tib, energiyani tarmoqqa uzatish rejimi elektron qurilmalarida invertorlovchi rejim hisoblanadi, shuning uchun ham bu rejimda ishlovchi o'zgartkichlar **invertorlar** deb aytiladi. Invertorlovchi rejim obyektlarning qutblaridagi ishoralar va o'zgartkichlar o'chirib yoqilishidagi tarmoq chastotasiga bog'liq

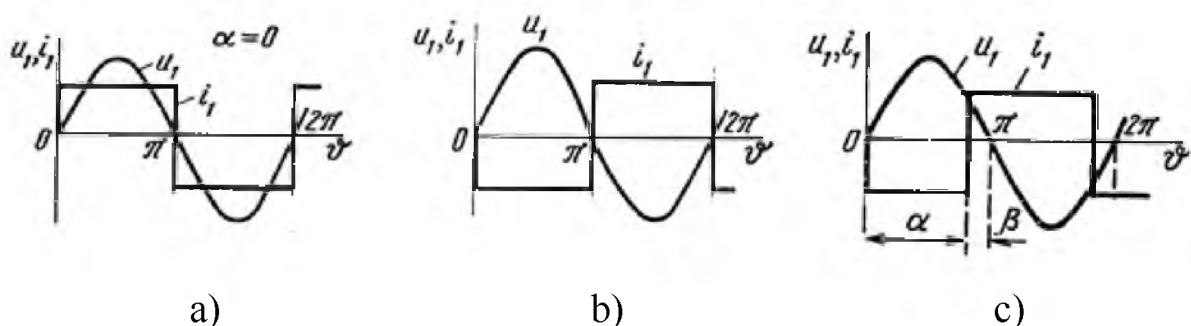
bo'lganlari uchun ular tarmoqqa bog'liq (ergashtirilgan) invertorlar yoki **bog'liq invertorlar (BI)** deb aytildi.

Bog'liq invertorlardan tashqari alohida sinflarga ajratilgan o'zgarmas tokni o'zgaruvchiga aylantiruvchi yana bitta guruh invertorlari mavjud. Bu invertorlarni **avtonom invertorlar (AI)** deyilib. Ular bevosita o'zgarmas tok tarmoqlari bilan bog'lanmasdan avtonom energiya manbalari yoki to'g'rilaqichlar orqali tarmoqdan olingan energiyalar ta'sirida ishlaydi.

O'TD ni bir fazali noli chiqarilgan to'g'rilaqichlar bilan boshqarishdagi tug'rilaqich rejimidan invertor rejimiga o'tish jarayonini ko'rib chiqamiz (19.30- rasm).



**19.30 - rasm . Bir fazali BI noli chiqarilgan sxemasi**



**19.31 - rasm. O'zgartkichlardagi kuchlanish va toklarning diagrammalari**

Vaqt diagrammasi 19.31 a - rasmida  $\alpha = 0^\circ$  bo'lganida, tok va tarmoq kuchlanishi yo'nalishlarining mosligi uchun motor M iste'molchi rejimida ishlaydi. Bu rejimda motorga 19.30 - rasmida ko'rsatilgan qavs ichidagi ishoralar bo'yicha kuchlanish  $U_d$  qo'yilgan.

19.31 b - rasmida motor M elektr energiya manbai, va o'zgaruvchan tok tarmog'i - iste'molchi sifatida ishlaydi. Motorning

generator rejimida ishlashiga,  $E_d$  ning qavssiz ko'rsatilgan ishoralari to'g'ri keladi.

O'zgartkich sxemani invertorlovchi rejimida ishlashining asosiy xususiyatlaridan biri transformatorlarning ikkilamchi chulg'amlari manfiy ishorali kuchlanishda bo'lganida ham tiristorlar ochiq holatda bo'lishi lozim. Ya'ni, 19.30- rasmda tiristor 2 kuchlanish  $u_{2-2}$  ning manfiy ishorasida, tiristor 1 -  $u_{1-2}$  ning manfiy ishorasida ochiq bo'lishi talab qilinadi.

Tiristorlar ochilishining shu ketma-ketligida transformatorning ikkilamchi chulg'amlari drossel  $L_d$  orqali o'zgarmas tok manbaiga ulanadi, va natijada o'zgarmas tok  $i_d$  ni o'zgaruvchan tok  $i_1$  ga aylanishi va uning energiyasini tarmoqqa uzatishga erishiladi.

19.31 a,b- rasmlarda keltirilgan rejimlarda  $\alpha = \pi$  sharti qo'yilgan. Ammo, oldingi ishlayotgan tiristorning yopilishi keyingi tiristorning ochilishi davomida ularga transformatorlarning ikkilamchi chulg'amlari tomonidan teskari kuchlanish berilishi talab qilinadi. Shu sababli navbatchi tiristorning ochilish sharti  $\alpha = \pi - \beta$ . Ya'ni  $\alpha$  burchak  $\pi$  burchakdan kichkina bo'lib, tiristorning o'z holatini tiklash burchagi  $\beta$  bilan farq qiladi. Shuning uchun BI larni rostlash tiristorlarning tiklanish burchagi  $\beta$  dan boshlab chap tomonga hisoblanadi. Bunda burchak  $\beta = \pi - \alpha$  **o'zuvchi** burchak deb aytiladi.

Shunday qilib 19.30 - rasmda keltirilgan sxemani to'g'rilaqich rejimidan invertorlovchi rejimga o'tkazish uchun: o'zgarmas tok manbaini to'g'rilaqich rejimidagi ishoradan teskari ishoraga o'tkazilishi va transformatorning ikkilamchi chulg'amlari kuchlanishlarning manfiy ishorasida tiristorlar tokini o'zuvchi burchak  $\beta$  bilan ochilishini ta'minlash talab qilinadi. Keltirilgan shartlar 19.32 - rasmdagi vaqt diagrammalarini tuzishda qo'llanilgan. Bu diagrammalarda 19.31 - rasmda keltirilgan bir fazali bog'liq invertorlarning ishlash jarayoni aks ettirilgan.

Vaqt diagrammalari  $Lyu = \infty$  uchun tuzilgan. Agar sxemada manbaning aktiv qarshiligi inobatga olinmasa, generatorning E.Yu.K kuchlanish  $U_d$  ni o'rtacha qiymatini to'liq saqlaydi, ya'ni  $U_d = E_d$ . kuchlanish  $U_d$  ning o'rtacha qiymati to'grilagich rejimiga nisbatan manfiy ishoraga ega.

Kommutatsiya jarayonidagi kuchlanishlar bu yerda  $U_d$  ning absolyut qiymati oshishi bilan ko‘payadi. Agar  $\gamma = 0$  bo‘lsa, 19.32 a-rasmga ko‘ra kuchlanish  $U_d$  uchun quyidagi ifodalarni yozish mumkin:

$$U_d = \frac{1}{\pi} \int_{\pi-\beta}^{2\pi-\beta} \sqrt{2} U_2 \sin \omega t d\omega t . \quad (19.96)$$

Bundan:

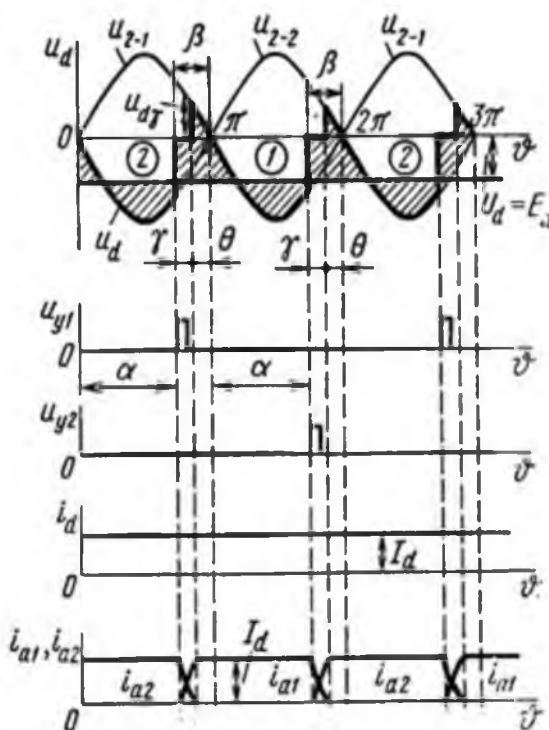
$$U_d = \frac{2\sqrt{2}}{\pi} U_2 \cos \beta , \quad (19.97)$$

yoki

$$U_d = U_{d0} \cos \beta < \quad (19.98)$$

bu yerda

$$U_{d0} = \frac{2\sqrt{2}}{\pi} U_2 = 0,9U_2 . \quad (19.99)$$



**19.32 – rasm.** Bir fazali BI ning ishlashidagi vaqt diagrammasi

Ifadalar (19.98) va (19.51) solishtirish natijasidan ko‘rinib turibdiki,  $\alpha$  burchakni  $\beta$  ga almashtrish natijasida  $\gamma = 0$  bo‘lganida invertorning kuchlanishi to‘g‘rilagichlarning kuchlanishi  $U_d$  ifodasi bilan aniqlanadi. 19.33a - rasmda tarmoqqa bog‘langan invertorning

umumlashtirilgan rostlash xarakteristikasi ko'rsatilgan. Bu xarakteristikaga ko'ra  $\alpha$  burchak  $0$  dan  $\pi/2$  gacha o'zgarishi davomida o'zgartkich boshqariluvchi to'g'rilaqich rejimida, va  $\alpha$  burchak  $\pi/2$  dan  $\pi - \beta_{min}$  gacha invertorlovchi rejimda ishlashi ko'rsatilgan.

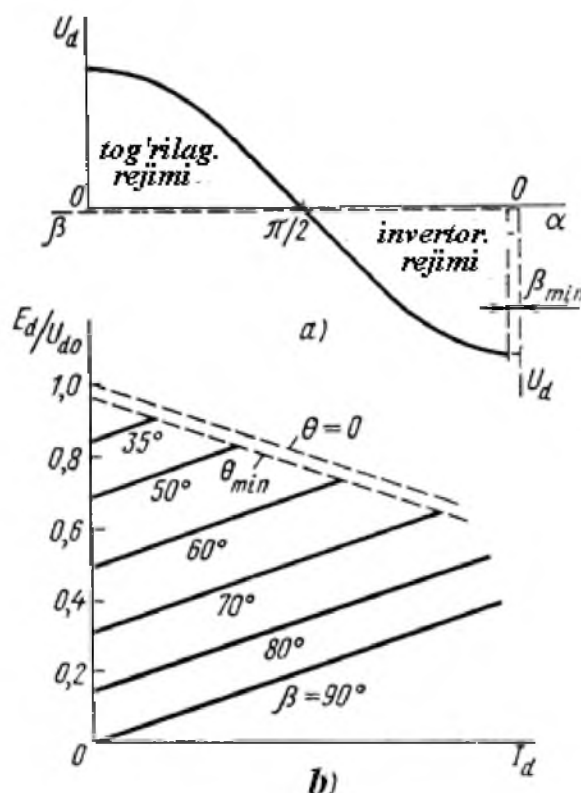
19.33- rasmdan aniqlangan kommutatsion kuchlanishning o'rtacha qiymati  $U_{d\gamma}$  quyidagicha ifodadan topiladi:

$$U_{d\gamma} = \frac{I_d}{\pi} x_a \quad (19.100)$$

Bu ifoda hisobga olinganda

$$E_d = U_d = U_{d0} \cos \beta + \frac{I_d}{\pi} x_a \quad (19.101)$$

Olingen ifoda (19.101) invertorni ta'minlovchi kuchlanish  $E_d$  uning toki  $I_d$  bilan bog'lovchi invertorning kirish xarakteristikasi deyiladi. Invertorning kirish xarakteristikasining tenglamasi boshqariluvchi to'g'rilaqlarning tashqi xarakteristikasidan  $\beta$  parametrini kosinusning



**19.33 rasm. Invertorning a) rostlovchi va b) kirish xarakteristikalari**

argumentiga kirishi bilan va kommutatsion kuchlanishlarni inobatga oluvchi a'zosi oldida «+» ishora bilan ajralib turadi. Bunda kommutatsion

kuchlanishtok tok  $I_d$  ning oshishi bilan  $E_d$  va  $U_d$  larning oshishiga olib keladi. To‘g‘rilagichlarda bu bog‘lanish teskari bo‘ladi. Grafik shaklida invertorlarni kirish xarakteristikalari parallel ketgan to‘g‘ri chiziqlar bilan  $\beta$  burchakning turli qiymatlarida 19.33 b- rasm da ko‘rsatilgan.

### 19.16 O‘zgarmas tok yuritmalarini boshqaruvchi tiristorli o‘zgartkichlar

Avtomatlashtirilgan elektr yuritmalarida o‘zgarmas tok dvigatellari (O‘TD) tezligini boshqarish masalalari muhim ahamiyatga ega.

O‘TD ni boshqarish uchta usul bilan amalga oshirilishi mumkin:

- 1) qo‘zg‘atish chulg‘amining tokini o‘zgartirmasdan, yakorga beriladigan kuchlanishni o‘zgartirish bilan;
- 2) qo‘zg‘atish chulg‘ami tokini o‘zgartirish bilan;
- 3) yakorning kuchlanishi bilan qo‘zg‘atish chulg‘ami tokini barobariga o‘zgartirish (kombinatsiyali boshqarish).

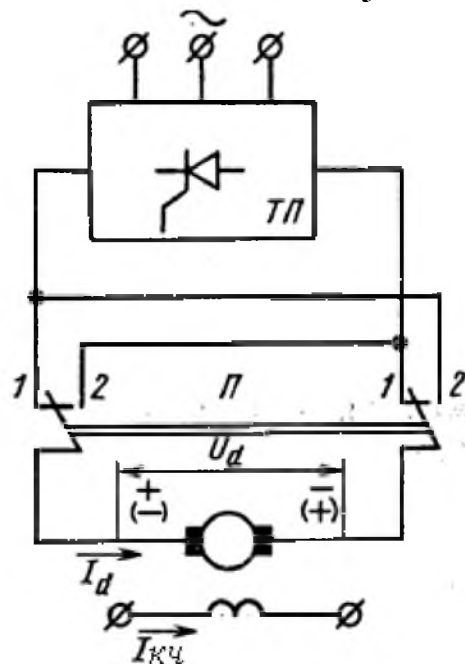
Yakorning kuchlanishi yoki qo‘zg‘atish chulg‘amini toki boshqariluvchi to‘g‘rilagichlar bilan o‘zgartiriladi. Shuni aytib o‘tish kerak-ki, qo‘zg‘atish chulg‘ami tomonidan boshqarilganda boshqariluvchi to‘g‘rilagich kichkinaroq quvvatga mo‘ljallanib, uning massasi, gabaritlari va narx-navo ko‘rsatkichlari ancha yaxshilanadi. Ammo, doimiy vaqt ko‘rsatkichlari katta bo‘lganligi sababli bu boshqarishda dinamik ko‘rsatkichlari yakor zanjiri tomonidan boshqarishga nisbatan katta inersiya bilan amalga oshiriladi.

Avtomatlashtirilgan o‘zgarmas tok elektr yuritmasi BT – O‘TD sistemadan iborat bo‘lib, uning tarkibiga turli rejimlarni ta‘minlovchi qurilmalar kiradi. Rejimlardan dvigatelni ishga tushirish, tezlatish, tormozlash, reverslash, (harakat yo‘nalishini o‘zgartirish) teskari yo‘nalishdagi harakatini tormozlash, ishlash rejimlarini stabillash va h.k rejimlar bo‘lishi mumkin. Ta‘minlovchi qurilmalar tarkibiga boshqarish siste’mollari, filtrlar, datchiklar, kuchaytirgichlar va teskari bog‘lanishni ta‘minlovchi turli qurilmalar kiradi.

Yakor zanjiriga ulangan o‘chirib yoquvchi kontaktorli O‘TD ni reversiv elektr yuritmani qo‘zg‘atish induktivlik  $L_{kch} = \text{const}$  va yakorga beriluvchi kuchlanish  $U_{ya} = \text{var}$  bo‘lganidagi struktura sxemasi 19.34 -

rasmda keltirilgan. Bu sxemada to‘g‘rilash va invertorlash rejimlari kontaktorlarning holatini o‘zgartirish bilan amalga oshiriladi.

Keltirilgan to‘grilagich va invertor rejimida almashib ishlovchi sxemani (19.33 – rasm) umumlashtirilgan ko‘rinishga keltirib, (19.34 – rasm) reversiv tashqi xarakteristikasini ko‘rib chiqamiz. Rostlash davomida mustaqil qo‘zg‘atish xarakteristikasi  $M = F(n)$  yakorga berilgan kuchlanish va yuklamanig o‘zgarishi bilan aniqlangani uchun tahlilda qo‘zg‘atish toki  $I_{kch} = \text{const}$ ,  $n \sim U_d$ ,  $M \sim I_d$  shartlari qabul qilinadi. Bu shartlar bo‘yicha umumlashtirilgan koordinatalar to‘rtta kvadrantlardan iborat bo‘lib, ulardagi kuchlanish  $U(n)$  va toklar  $I(M)$  yo‘nalishlari musbat va manfiy ishorali bo‘lishi mumkin. Grafikni I va II kvadrantlarida tok va kuchlanishning ishoralarini bir xil bo‘lganligi sababli ularda to‘g‘rilagich rejimlari va I va IV kvadrantlarda ishoralar turli bo‘lganligi uchun – invertorlovchi rejim amalga oshiriladi.

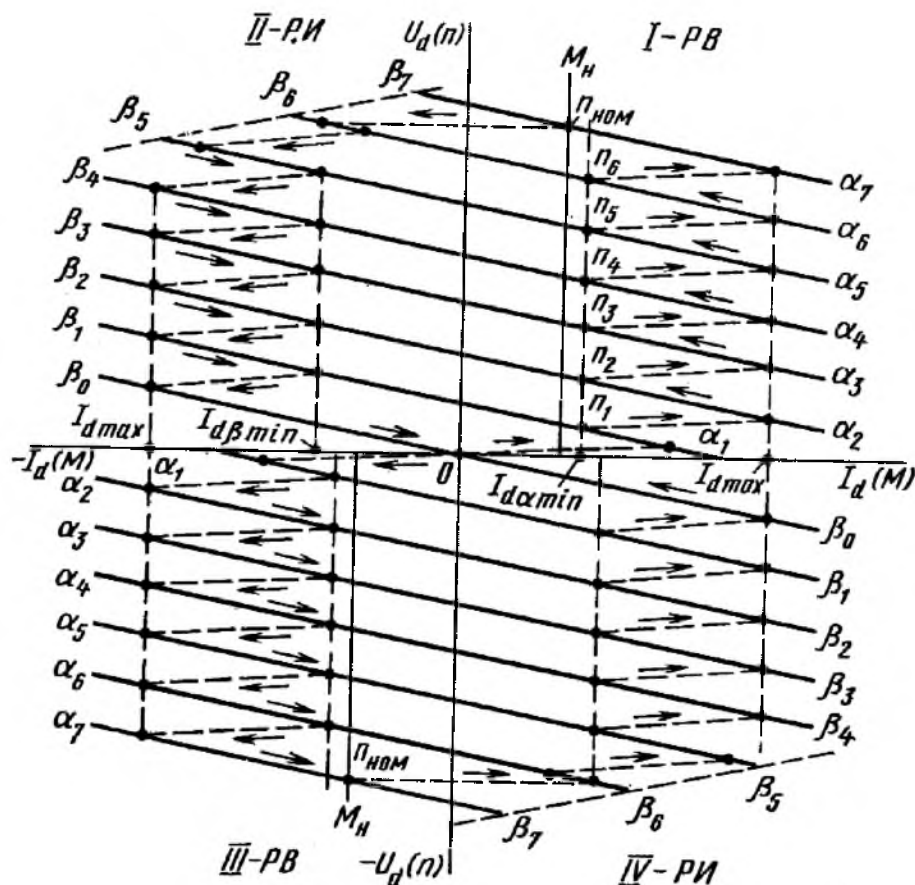


**19.34 –rasm. Reversivli tiristor o‘zgartkichining struktura sxemasi**

**To‘g‘rilagich rejimida** o‘zgartkich sxemasi kontaktor P 1- nuqtaga ulanishi bilan ishga tushirish rejimididan boshlanadi. Bunda burchak  $\alpha = 90^0$  - ga yaqin bo‘lgan qiymatidan, ya’ni  $U_d$  eng past bo‘lgan qiymatdan boshlab O‘TD to‘g‘ri yo‘nalishda aylanish tezligini oshirib boshlaydi (19.34-rasmda qavssiz ishoralar). Bu rejimda tezlikni oshirish  $\alpha$  burchakni kamaytirib kuchlanish  $U_d$  ni oshirish bilan o‘tkaziladi. 19.35- rasmda bu

jarayon  $\alpha_1$  dan boshlanib,  $\alpha_2, \alpha_3, \dots, \alpha_7$  gacha davom etadi. Burchak  $\alpha$  o‘zgarishi davomida aylanish tezligi  $n$  va to  $I_d$  o‘zgaradi. Yako‘rning induktivligi ta’sirida tezlik  $n$  to‘g‘ri chiziq bilan o‘zgarib, grafikda punktir bilan ko‘rsatilgan. Yakor toki  $I_d$  ning o‘zgarishi tok datchik orqali  $I_{d\max}$  bilan chegaralanadi.

Shunday qilib yuritmani I-chi kvadrantida to‘g‘rilagich rejimda ishlashida O‘TD ning aylanish tezligi pog‘onali o‘zgartirish bilan nominal qiymatiga  $n_{nom}$  yetkaziladi va keyinchalik ma’lum vaqt davomida nominal aylanish tezligi bilan yuklama boshqariladi. Ishga tushirish rejimidagi tokning o‘sishi qancha keskin oshirilsa, chegaralovchi tok  $I_{d\max}$  ning qiymatini shuncha kamaytirish mumkin. Agar o‘sish toki yetarli darajada bo‘lsa, O‘TD ning aylanish tezligi tok  $I_{d\min}$  dan boshlanib,  $U_d$  o‘qiga parallel chiziq bilan  $n_{nom}$  ga qisqa vaqt davomida erishishi mumkin.



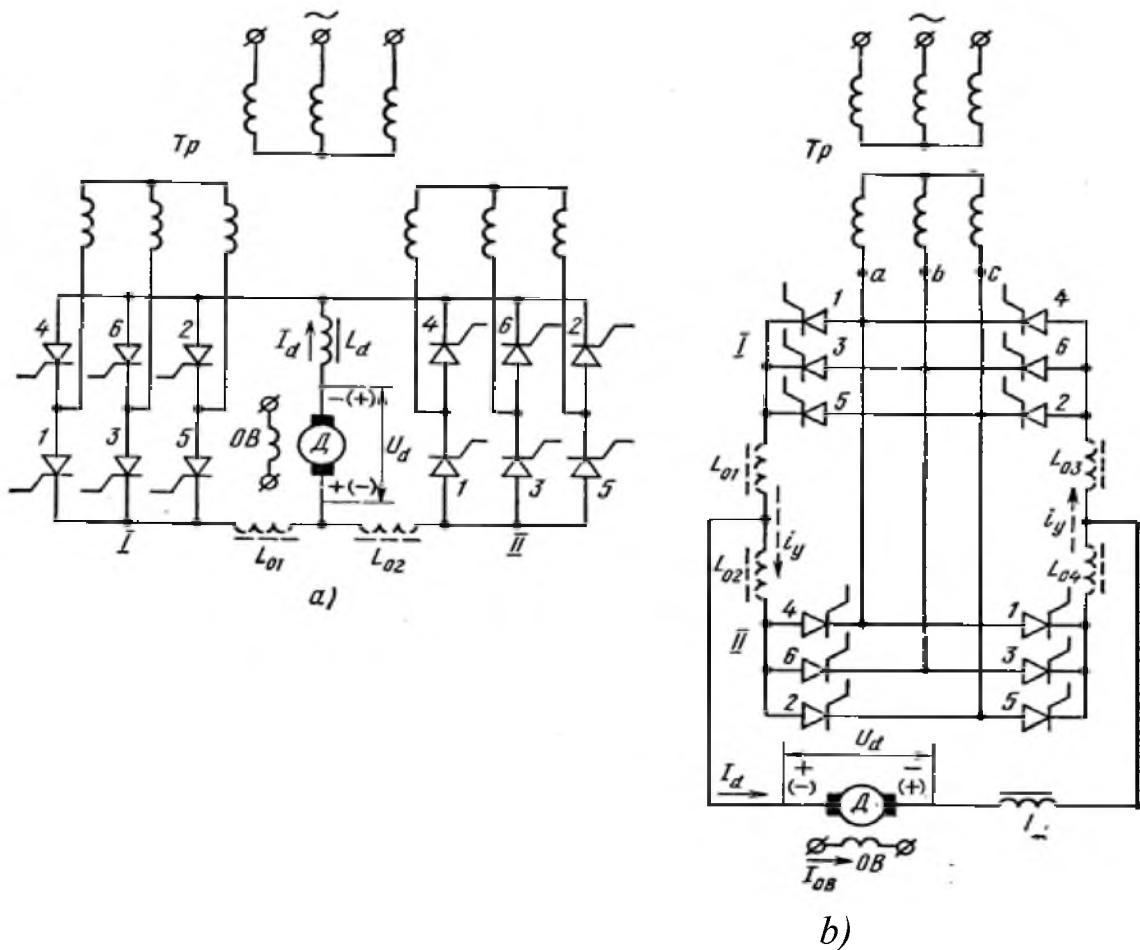
**19.35- rasm. O‘zgarmas tokning reversiv tiristorli o‘zgartkichining birlashtirilgan tashqi xarakteristikasi**

**Tormozlash rejimida** kontaktor P 2 - holatga o'tkazilishi natijasida O'TD da yig'ilgan energiya ta'minot manbaiga qaytarish rejimiga, ya'ni invertorlash rejimiga o'tadi. Bu rejimda O'TD ning inersiyasining ta'sirida ishchi nuqta I kvadrantga o'tkazilib, burchak  $\alpha > \pi/2$  bo'lib, elektr yuritma boshqaruvchi burchak  $\beta = \pi - \alpha$  bilan aniqlanadi. Bunda O'TD generator rejimiga o'tishi natijasida tormozlash momenti hosil bo'lib, tok  $I_d$  va kuchlanish  $U_d$  pog'onali uslubda nolgacha kamayib, dvigatelni to'xtashga olib keladi.

Keyinchalik, kontaktor P 2 – holatda saqlab qolinib,  $\alpha$  burchak noldan boshlab oshirilsa, O'TD teskari aylanish (revers) rejimiga o'tadi. Bu rejimda ham ishga tushirish jarayoni, berilgan vaqt davomida nominal tezlikda ishlash jarayoni, tormozlash uchun II kvadrantdan IVga o'tish jarayoni va nihoyat, IV kvadrantda O'TD ni to'xtatish jarayoni yuqorida keltirilgan I va II kvadrantdagi o'tish jarayonlaridan farq qilmaydi.

Ko'rilgan sxema kontaktorli bir o'zgartkichli sxema bo'lib, uning asosiy kamchiligi unda kontaktoring mavjudligi. Kamchilikni bartaraf qilish sxemalarni qarshi - parallel va chatiluvchi sxemalar (19.36 - rasm) orqali amalga oshiriladi. Uch fazali ko'priksxemalardan tashkil topgan bu I va II tiristor guruhlari reversiv o'zgartkichlar bo'lib, to'g'rilovchi va invertorlovchi rejimlarda almashib ishlaydi. Bu tipdagi o'zgartkichlarda boshqarish ikki uslubda olib borilishi mumkin. Birgalikda boshqarish va alohida boshqarish.

Birgalikda boshqarishda boshqaruvchi impulslar ikkala guruhlarga ham barobar beriladi, lekin bir guruhga to'grilagich rejimida berilsa, ikkinchisiga invertorlovchi rejimda beriladi. Aloida boshqarish uslubida boshqaruvchi signallar ajratilgan vaqt davomida energiyani o'zgartirish rejimida ishlovchi o'zgartkichlarga beriladi. Rasmlarda ko'rsatilgandek har ikkala o'zgartkichlarning ishlash rejimlari biri biridan tekislovchi reaktorlar L<sub>01</sub> L<sub>02</sub> bilan ajralib turadi.



**19.36 rasm Reversiv o‘zgartkichlarning a) chatiluvchi (perekrestniy) b) qarama - qarshi – parallel ulangan sxemalari**

### Nazorat savollari

- 1) Bir fazali to‘g‘rilagichlarning sinflanishi qanaqa prinsiplar bo‘yicha o‘tkaziladi?
- 2) Bir fazali to‘g‘rilagichlarning qanday ishlaydi?
- 3) Bir fazali to‘g‘rilagichlarning qanday sxemalarini bilasiz?
- 4) Bir fazali ko‘priksimon to‘g‘rilagichlarda tok va kuchlanishlar qanday bog‘langan?
- 5) Boshqaruvsiz uch fazali to‘g‘rilagichlarda teskari kuchlanishlar amplitudasi nimaga teng?
- 6) Uch fazali boshqaruvsiz ko‘priksimon to‘g‘rilagichlarning pulsatsiya koeffitsiyenti qanday aniqlanadi?
- 7) To‘g‘rilagichlarning kirish va chiqish ko‘rsatkichlariga qanday parametrlar kiradi?
- 8) Kommutatsion jarayonlar nimaga bog‘ liq va qanday aniqlanadi?

9) Tashqi xarakteristikalarini qurish uchun qanday ko'rsatkichlar qo'llaniladi?

10) Yuklamaning xarakteri tokning shakliga nima uchun va qanday ta'sir qiladi?

11) Bir fazali to'g'rilaqichlarda pulsatsiya chastotasi deb nimani tushunasiz?

12) Cos φ burchakni bir fazali to'g'rilaqichlarning rostlash va tashqi xarakteristikalariga bo'lgan ta'sirini tushunring.

13) Uch fazali nolli va ko'priklar to'g'rilaqichlarning chiqish kuchlanishlarining farqlari nimadan iborat?

14) To'g'rilaqichlarda toklar va kuchlanishlar orasidagi asosiy ifodalar qanday aniqlanadi?

15) Nimaga ventillar uchun tokning o'rtacha va amplituda qiymatlari aniqlanadi, vaholanki transformator uchun tokning faqat effekiv qiymati aniqlanadi?

16) Ideal bo'limgan ventil va transformatorlarning parametrlari qanday hisoblanadi?

17) To'g'rilaqichning tashqi xarakteristikasiga induktivlikning ta'sirini tasvirlang?

18) Asosiy ko'rsatkichlar bo'yicha bir fazali to'g'rilaqichlarning sxemalari qanday farqlanadi?

19) Boshqariluvchi to'g'rilaqichlarning qo'llanish sohalarini ta'riflang;

20) Bir fazali boshqariluvchi to'g'rilaqichlarni boshqarish tizimlari qanday bloklardan tashkil topgan?

21) Bir fazali boshqariluvchi to'g'rilaqichlarning ko'priksimon sxemasining afzalligi nimadan iborat?

22) Boshqariluvchi uch fazali to'g'rilaqichlarning chiqich parametrlarini ta'riflang;

23) Boshqariluvchi uch fazali to'g'rilaqichlardagi kommutatsion jarayonlarni ta'riflang;

24) To'g'rilaqichlarning rostlash rejimlariga yuqori garmonikalarining ta'siri nimadan iborat?

25) To'g'rilaqichlarni foydali ish koeffitsiyentini ta'riflang;

26) Filtrlarning qanaqa sxemalarini bilasiz?

## 20. AVTONOM INVERTORLAR (DC-AC O'ZGARTKICHLAR)

### 20.1 Avtonom invertorlar turlari va qo'llanish sohalari

Avtonom invertorlarning vazifasi o'zgarmas tokni (kuchlanishini) o'zgaruvchan tokka (kuchlanishga) aylantirishdan iborat. Invertor qurilmalari kalit rejimida ishlaydigan elektron asboblardan tuzilgan strukturalardan tashkil qilinadi. Kalit sifatida avtonom invertorlarda tranzistorlar, bir operatsion va ikki operatsion tiristorlar qo'llanadi. Zamonaviy qurilmalarda tiristorlar, katta quvvatli bazasi izolyatsiya qilingan bipolyar tranzistorlar (IGBT) va ular asosidagi modullar ham keng qo'llanilmoqda.

Qo'yilgan vazifalarga ko'ra avtonom invertorlar kuchlanish avtonom invertorlari (KAI), tok avtonom invertorlari (TAI) va rezonans rejimda ishlaydigan rezonans avtonom invertorlariga (RAI) ajratiladi [4,9,11].

Bir fazali ko'prik sxemasi asosida qurilgan avtonom invertorlarning sxemalari va ishlash diagrammalari 20.1- rasmida keltirilgan.

**KAI larda** (20.1, *a* - rasm) ta'minot manbai  $E$  ideal kuchlanish manbai hisoblanadi. Manba  $E$  ning ideal kuchlanish manbai holatiga keltirish uchun unga parallel qilib qiymati katta bo'lgan sig'im  $C$  ulanadi. Sxemaning birinchi yarim davrida  $T_1, T_2$  va ikkinchi yarim davrida  $T_3, T_4$  tiristorlarning kema-ket ishlashi natijasida yuklamada ikki qutbli to'g'ri burchak shaklidagi kuchlanish hosil bo'ladi (20.1, *b* - rasm). Tokning shakli esa yuklamaning turiga ko'ra har xil eksponentalar ko'rinishida bo'lishi mumkin.

Agar bu sxemada kalitlar vazifasini bir operatsion tiristorlar bajarsa, unda ularning yopilishi uchun tarkibiga yuqorida keltirilgan kommutatsiyalovchi qurilmalar kiritiladi. Ikki operatsion boshqariluvchi tiristorlar yoki tranzistorlar qo'llanilsa, unda kommutatsiya qurilmalari qo'shilmaydi.

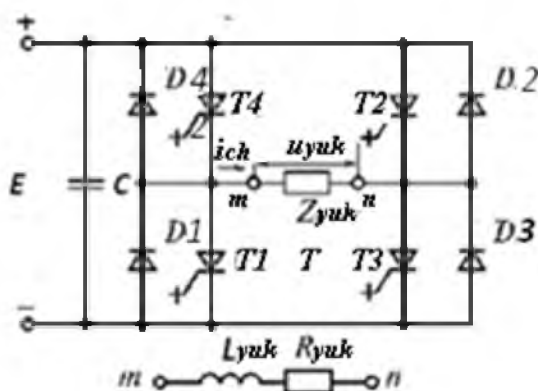
**TAI larda** (20.1, *b* - rasm) ta'minot manbi tok manbai rejimida ishlashini ta'minlash uchun kirish qismiga qiymati katta bo'lgan induktivlik  $L$  va yuklamaga parallel qilib sig'im  $C$  ulanadi. Kirishdagi katta qiymatli induktivlik manba tokini faqat bir tomoniga yo'nalishini ta'minlaydi desak, unda yuklamaga ulangan sig'im invertorning diagonal

nuqtalariga nisbatan tokining keskin o‘zgartirib, to‘g‘ri to‘rtburchak shaklida va kuchlanishning eksponenta bo‘yicha o‘zgarishini ta’minlaydi (20.1, *d* - rasm). Ishlash davomida navbatdagi juftlik tiristorlar ulanishi bilan kondensatorda yig‘ilgan energiya ochiluvchi va yopiluvchi tiristorlarning zanjiri bo‘ylab razryadlanish natijasida ishlayotgan tiristorlarning yopilishiga olib keladi. Bu jarayon kondensatorli kommutatsiya deyiladi va faqat bir operatsion tiristorlar qo‘llanganida o‘rinli bo‘ladi. Tranzistorli boshqariluvchi elektron asboblar qo‘llansa, bu invertorlar KAI rejimiga o‘tadi.

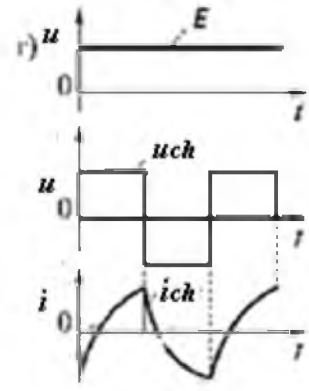
**RAI larda** (20.1, *e* - rasm) kondensator yuklamaga ketma - ket yoki parallel ulanishi mumkin. Ishlash jarayonida ta’milot manbai va induktivlik konturida kondensatorning tebranuvchi zaryadlanishi va razryadlanish natijasida zanjirdagi tok sinus shakliga yaqin bo‘ladi (20.1, *k* - rasm). Induktivlik vazifasini yuklamaning induktivligi ham bajarishi mumkin. RAI asosan bir operatsion tiristorlar asosida yig‘iladi. Tokni (kuchlanishni) vujudga keltirish bilan birga kondensator  $C_k$  tiristorni yopish vazifasini ham bajaradi.

Avtonom invertorlar qo‘llaniladigan asosiy sohalar:

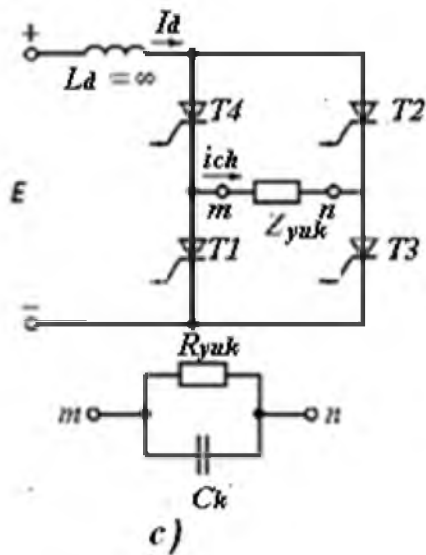
1. Ta’milot manbai akkumulyator batareyasi bo‘lganida (KAI, TAI) - elektr aloqa qurilmalarida, hisoblash texnikasida, avtomatika, transport vositalarida. O‘zgaruvchan tokning ikkilamchi manbai sifatida (RAI, TAI) chastota o‘zgartkichlarida metallurgiya sohalarida.
2. O‘zgaruvchan va o‘zgamas tok elektr yurtmalarida - motorlarning ishga tushirish, tormozlash, rekuperatsiya rejimlarini amalga oshirishda (KAI, TAI, RAI).
3. Elektrotermiya sohasida - o‘zgaruvchan tokning chastotasini oshirish bilan metallarni eritish, qizdirish va qayta ishlov berish texnologiyalari sohalarida (TAI, RAI);
4. Standart tarmoq elektr energiyasini talab qilingan chastejali o‘zgaruvchan tokka aylantiruvchi qurilmlarda (KAI, TAI, RAI);
5. Elektr energiyasini ishlab chiqish va masofaga uzatish sohalarida KAI, TAI.



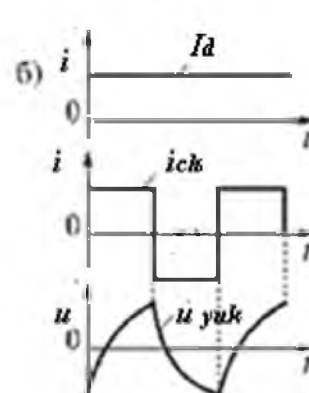
a)



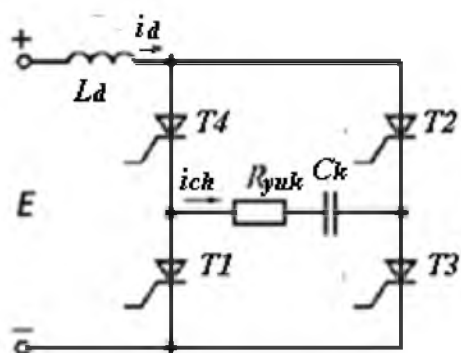
b)



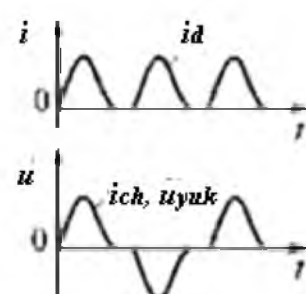
c)



d)



e)



k)

20.1- rasm. Bir fazali invertorlarning sxemalari va diagrammalari:  
a, b) KAI; c,d) TAI; e,k) RAI.

Bulardan tashqari qishloq va xalq xo‘jaligining turli sohalarida keng qo‘llanish imkoniyatlari mavjud.

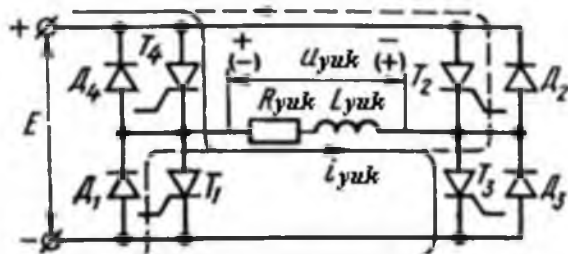
## 20.2 Bir fazali KAI ning ishlash prinsipi va rostlash usullari

KAI larning tahlilini soddalashtirish uchun quyida ko‘riladigan sxemalarda kommutatsion elementlar keltirmasdan faqat bir operatsion tiristorlarning o‘zi ko‘rsatilgan. Bu soddalashtirish tranzistorli invertorlarni va bir yoki ikki operatsion tiristorli KAI larning chiqish kuchlanishini shakllantirish va rostlanishini bir nuqtai nazardan tahlil qilishga imkoniyat beradi.

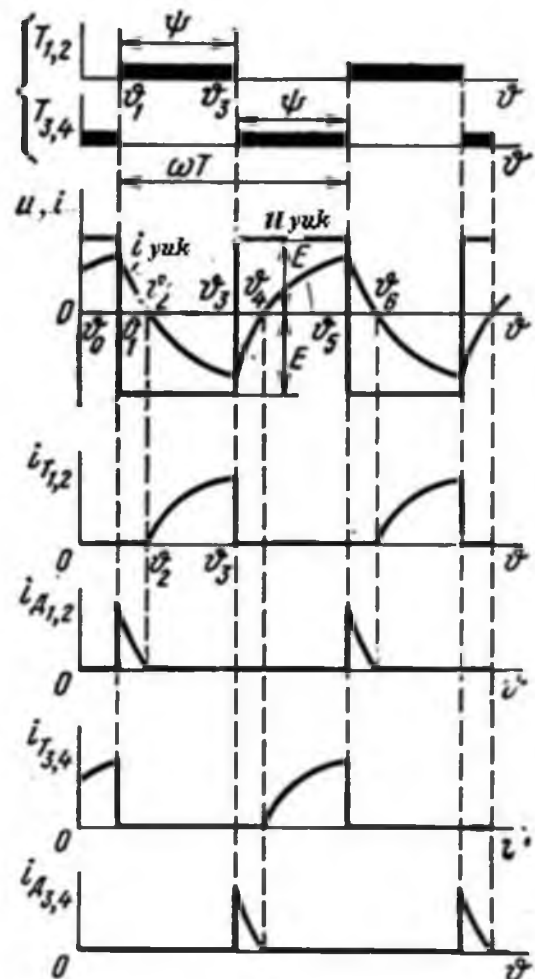
Bir fazali KAI ning sxemasi 20.2 - rasmda va aktiv - induktiv yuklamaga ishlash diagrammasi 20.3 - rasmda keltirilgan. Bu sxemada  $T_3$  va  $T_4$  tiristorlar  $180^0$  davomida ochiq holatda bo‘lib, chiqishda ikki qutbli (20.2 - rasmda ishoralar qavssiz ko‘rsatilgan) to‘g‘ri burchak kuchlanish hosil qilingan. Bunda aktiv – induktivlik yuklama toki simmetrik eksponenta ko‘rinishida yuklama doimiysi  $\tau = L_{yu} / R_{yu}$  bilan aniqlanadi.

Diagrammada (20.3 - rasm) ko‘rsatilishi bo‘yicha navbatdagi  $T_1$  va  $T_2$  tiristorlarga  $\theta_1$  momentida ochilish impulslari berilishi bilan yuklamaga manba kuchlanishi  $E$  teskari ishora bilan ulanadi (20.2 - rasm). Bu ulanishda diodlar  $D_1$  va  $D_2$  ochilib, ulardan aktiv – induktivlik yuklamada yo‘nalishini saqlab qolgan tok o‘tib, (diagrammada punktir bilan ko‘rsatilgan tok) induktivlikda yig‘ilgan energiya manba  $E$  ga qaytadi. Tiristorlar ochilib, ulardan tok o‘tishi  $\theta_2$  nuqtadan boshlab interval  $\theta_3$  gacha (yuklama tokining nol nuqtadan o‘tishigacha) davom etadi.

Keltirilgan tahlilning xulosasi shundan iboratki, KAI ning aktiv-induktivlik yuklamada ishlashida har bir kommutatsiya momentidan boshlab birinchi navbatda, yuklama tokining nolgacha tushish davomida, teskari ulangan diodlar ishlaydi va keyinchalik  $\theta_2$  -  $\theta_3$  intervalida tiristorlar ochilib, yuklama tokining yo‘nalishi o‘zgaradi (20.2 - rasm).



**20.2 – rasm.** KAI ning bir fazali ko‘prik sxemasi



**20.3 – rasm.** Bir fazali KAI ning ishlash diagrammasi

KAI chiqishida olingan ikki qutbli to‘g‘riburchak kuchlanishlarni sinus shakliga aylantirish jarayoni ulardan birinchi garmonikani ajratib olish bilan amalga oshiriladi. Chiqishdagi to‘g‘riburchak impulslarini Furye qatoriga yoyish bilan birinchi va yuqori garmonikalarining nisbiy qiymatlarini quyidagicha aniqlash mumkin:

$$U_{yu}(\omega t) = \frac{4E}{\pi} \left( \sin \omega + \frac{1}{3} \sin 3\omega + \frac{1}{5} \sin 5\omega + \dots + \frac{1}{\gamma} \sin \gamma \omega \right) \quad (20.1)$$

Bu ifodadan birinchi garmonikaning amplitudasi

$$U_{yum(1)} = \frac{4E}{\pi} \sin \omega = 1,27E \quad (20.2)$$

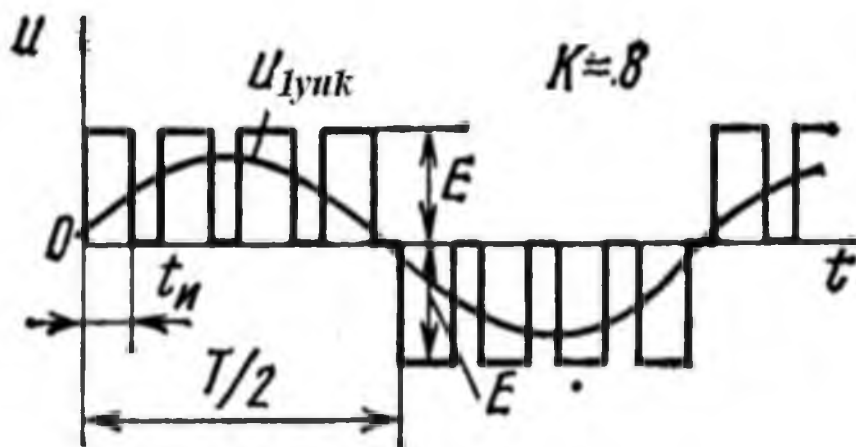
Va effektiv qiymati

$$U_{yu(1)} = \frac{4}{\pi\sqrt{2}} E = 0,9E \quad (20.3)$$

Ifoda (20.1) dan birinchi garmonikaga nisbatan uchinchi garmonikasi 33,3% , beshinchisi – 20% va yettinchisi - 14,3% tashkil qiladi. Chiqish kuchlanishining yuqori garmonikalarini ajratib olish uchun invertor va yuklama orasiga filtrlar o‘rnatalishi talab qilinadi.

Bu usul qo‘llanganda chiqish kuchlanishining qiymatini o‘zgartirishni faqat kirishdagi ta’milot manbai  $E$  ni o‘zgartirish bilan amalga oshirish mumkin. Maxsus adabiyotlarda bu usul invertorlarning amplitudaviy rostlash usuli deb aytildi.

Amplitudaviy usuldan tashqari o‘zgartkich texnikasida kuchlanishlarni rostlashda chiqishdagi impulslar kengligini boshqarish bilan rostlash usuli ham keng qo‘llaniladi. Bu usul impuls kengligini rostlash (IKR) va impuls kengligini modulyatsiyalash (IKM) bilan bajariladi. Bularning farqi - birinchisida impulsning kengligini o‘zgartirish to‘g‘ri chiziq qonuni bo‘yicha o‘tkazilsa, ikkinchisi - ixtiyoriy qonun bo‘yicha o‘tkaziladi. Ixtiyoriy qonunni tanlash (sinus, uchburchak, trapetsiya va h.k.) yuqori chastotali garmonikalar ta’sirini minimumga yetkazishdan kelib chiqadi.

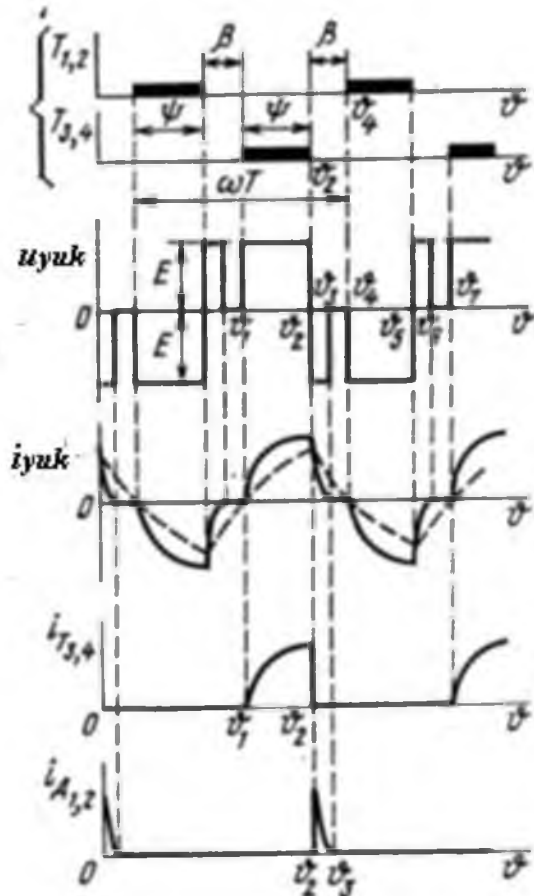


**20.4 – rasm. KAI ning IKR bilan rostlanadigan kuchlanishining shakli**

IKR ning bir qutbli usulida invertorlarning chiqish kuchlanishi kengligi  $t_i$  bo‘lgan  $K$  impulsdan tashkil topadi. Har yarim davr davomida bir qutbli impulsarning ishorasi o‘zgartirilsa, chiqish

kuchlanishining birinchi garmonikasi sinus funksiyasi bo'yicha o'zgaradi.  $K=2$  bo'lganida bir davr davomida ikki impuls va  $K=8$  bo'lganda, har yarim davrda 4 ta dan jami 8 impuls to'g'ri keladi (20.4 - rasm).

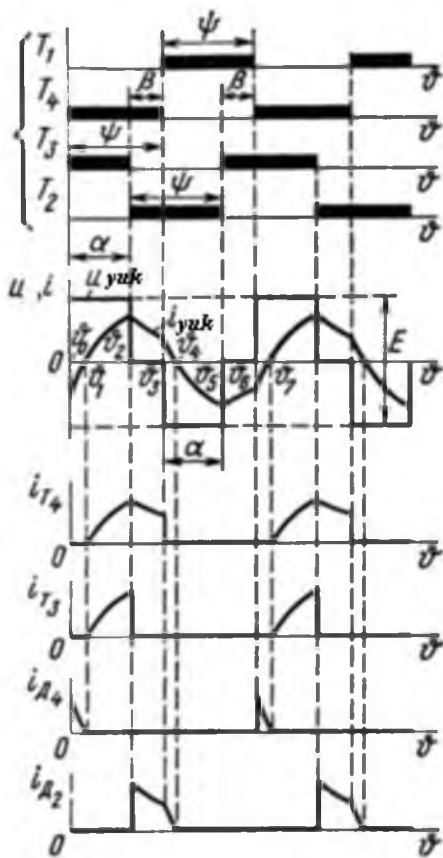
$K=2$  bo'lganidagi  $T_1$  va  $T_2$  hamda  $T_3$  va  $T_4$  tiristorlar  $180^\circ$  dan ishlaydi. Chiqish kuchlanishini rostlash impulslar kengligini o'zgartirib, birinchi garmonikaning effektiv qiymatini boshqarish bilan amalgalashiriladi. Diagrammada (20.5 - rasm) rostlash natijasida tiristor juftliklarining har bir yelkasini ishlash davomi  $\beta$  intervalga siljigan bo'ladi. Tiristorlarning ishlash intervali  $\psi$  deb belgilangan.



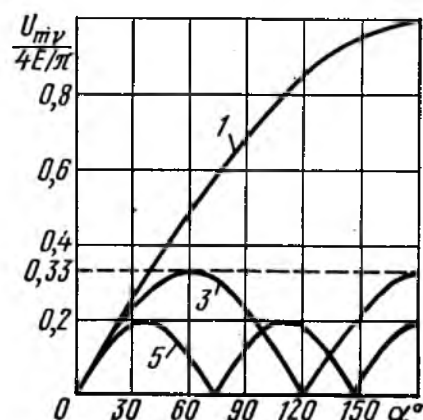
**20.5 - rasm. Yuklamaga bog'liq bo'lgan KAI ning rostlanuvchi rejimi**

Agar aktiv - induktiv yuklama tokining o'sish davri  $\beta$  dan kam bo'lsa, unda navbatdagi tiristorlar ochilishidan oldin chiqish kuchlanishida va tok o'zgarishida pauza hosil bo'ladi (20.5 - rasm). Demak, bu usulda kuchlanish va tokning tekis rostlanishi yuklamaning vaqt doimisyiga bog'liq bo'ladi. Bu holatni bartaraf qilish uslublaridan biri

- bu  $K > 2$  variantini qo'llash yoki umumiy katom, umumiy anod guruhidagi tiristorlardan bittasini pauza davomida parallel ulab, induktivlikda yig'ilgan energiya uchun razryadlanish konturini tashkil qilishdan iborat. Bir fazali KAI ning (20.2 - rasm)  $K=2$  bo'lganidagi bu rejimda ishslash diagrammasi 20.6 - rasmda keltirilgan.



**20.6 – rasm. Yuklamaga bog'lanmagan KAI ning garmonikalarning tarkibi**



**20.7 - rasm. KAI ning IKR dagi rostlanuvchi rejimi**

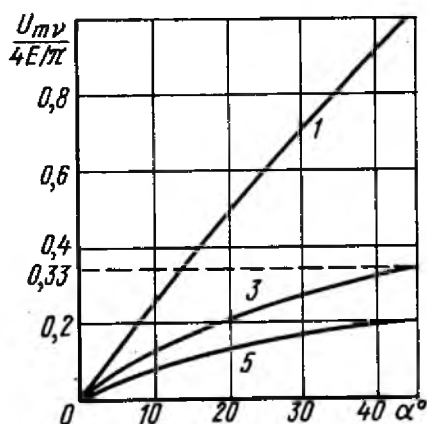
Diagrammada har bir tiristorning ishslash intervali  $\psi=180^\circ$  teng bo'lib, yuklamadan tokning o'tish intervali  $\alpha$  va pauza intervali  $\beta = \psi - \alpha$  bilan aniqlanadi. Tiristorlar  $T_3$  va  $T_4$  larning ishslash intervalida ( $\theta_0$  -  $\theta_2$ ) yuklamadan tok o'tib, chiqishida amplitudasi manba kuchlanishi  $E$  ga va kengligi  $\alpha$  burchakka teng bo'lgan chiqish impulsiga paydo bo'ladi. Interval ( $\theta_2$  -  $\theta_3$ ) davomida tiristorlar  $T_2$  va  $T_4$  ochilishi bilan  $\beta$  burchakli pauza intervali hosil bo'ladi. Pauza intervalida tiristor  $T_2$  yuklama tokiga teskari ulangan holatida qolganligi sababli yuklama toki  $D_2$  dioddan o'tadi. Demak, pauza intervalida yuklama toki qisqa tutashuv

konturiga  $T_4$  va  $D_2$  orqali bog'lanadi. Bu usul qo'llanganda KAI ning kuchlanishi 0 dan  $180^\circ$  gacha rostlanishi mumkin. Rostlash davomidagi birinchi garmonikaga nisbatan bo'lgan qiymatlari 20.7 – rasmda keltirilgan. Amplitudalarning o'zgarish qonuni quyidagicha bo'ladi:

$$U_{m\gamma} = \frac{4E}{\gamma\pi} \sin \frac{\gamma\alpha}{2}, \quad (20.4)$$

Bu ifodada  $\gamma = 1, 3, 5, 7, \dots$  garmonikalarning tartib raqamlari.

20.8 – rasmda keltirilgan grafikda filtrlash uchun murakkab bo'lgan past chastotali kuchlanishning  $K=8$  teng bo'lganidagi 1, 3, 5 garmonikalarning miqdori  $\alpha$  burchakka bog'liqligi ko'rsatilgan. Shuning uchun IKR usul qo'llanganda  $K > 2$  bo'lgan variantni qo'llash tavsiya qilinadi.

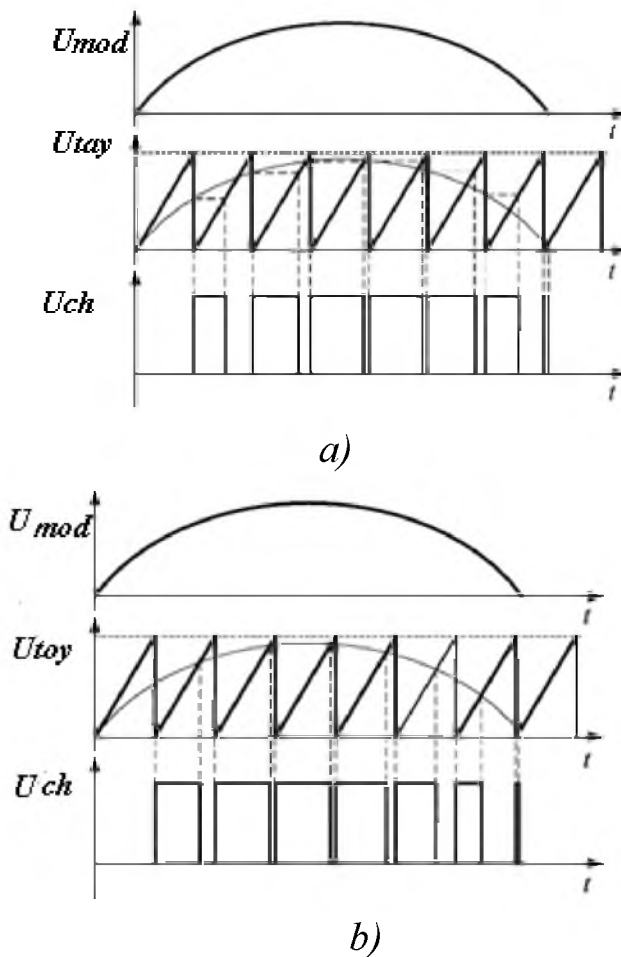


**20.8 - rasm.  $K=8$  bo'lganidagi KAI ning IKR dagi garmonikalar tarkibi**

KAI larda yuqori garmonikalarni yanada kamaytirishning asosiy uslubi bu impulsarning kengligini sinus, kvazisinus, yoki boshqa bir sinusga yaqin bo'lgan past chastotali kuchlanishlar bilan modulyatsiyalash (IKM) uslubini qo'llash. Elektronikaning turli sohalarida IKM ning to'rtta turi qo'llaniladi. Shulardan o'zgartkich texnikasi qurilmalarida IKM-1, IKM-2 turlari keng rivojlangan. 20.9, a - rasmda IKM-1 va 20.9, b - rasmda IKM-2 keltirilgan.

IKM larni tashkil qilishda solishtiruvchi qurilmaga ikkita o'zgaruvchan kuchlanishlar berilib, ularning farqi yuklamada modulyatsiyalangan kuchlanish shaklda olinadi. Bunda yuqori chastotali

uchburchakli kuchlanish - modulyatsiyalanuvchi va quyi chastotali kuchlanish - modulyatsiyalovchi kuchlanish sifatida ishlataladi. IKM-1 da chiqish kuchlanishning davomiyligi modulyatsiyalovchi kuchlanishning belgilangan bir vaqtdagi, masalan impulsning boshlanish vaqtida, bo'lgan qiymatiga bog'liq (20.9 a - rasm).



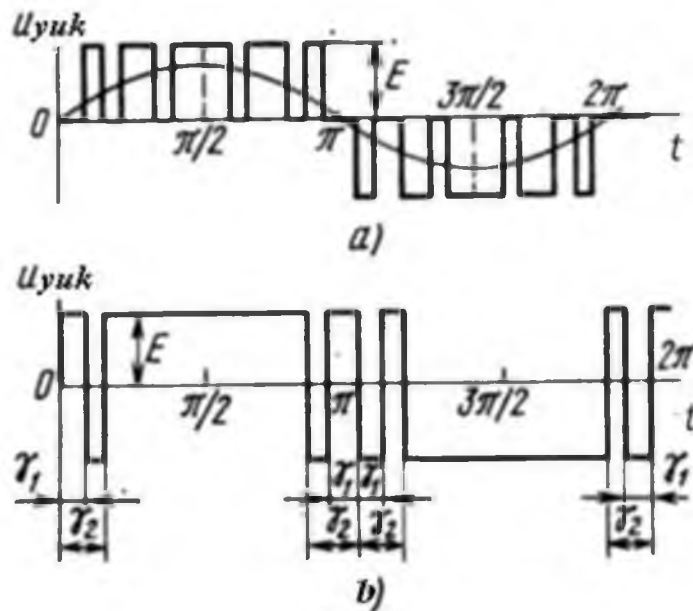
**20.9 – rasm. a) IKM-1 , b) IKM-2 kuchlanishlar**

IKM-2 da chiqish kuchlanishning davomiyligi modulyatsiyalovchi kuchlanish va modulyatsiyalanuvchi kuchlanish bilan birlashgan vaqtidagi qiymatga bog'liq.

Modulyatsiyalangan bir qutbli kuchlanish bilan birga KAI larda ikki qutbli modulyatsiyalangan kuchlanishlar ham qo'llanadi. Ularning farqi 20.10 - rasmda ko'rsatilgan. Ikki qutbli kuchlanishlarda pauzalar o'rniga teskari ishorali impulslar hosil qilinadi (20.10, b - rasm).

20.10 - rasmda chiqish kuchlanishining garmonik tarkibini yaxshilash uchun tanlanuvchi usul qo'llanganida vujudga kelgan ikki qutbli kuchlanish

keltirilgan. Bu kuchlanishning ma'lum garmonikalarni yo'qotish uchun (masalan, 3- va 5- yoki 5- va 7- ) sintez asosida  $\gamma_1$  va  $\gamma_2$  tanlanagi. Masalan: bir fazali invertorning chiqish kuchlanishining holatini  $\gamma_1=23,62^\circ$  va  $\gamma_2 = 33,3^\circ$  burchaklarda o'zgartirishi bilan (20.10-rasm) 3- va 5- garmonikalar nolga teng bo'ladi. Agar, xuddi shu sintez asosida  $\gamma_1=16,25^\circ$  va  $\gamma_2 = 22,07^\circ$  bo'lganida - 5 - va 7- garmonikalar nolga teng bo'ladi.



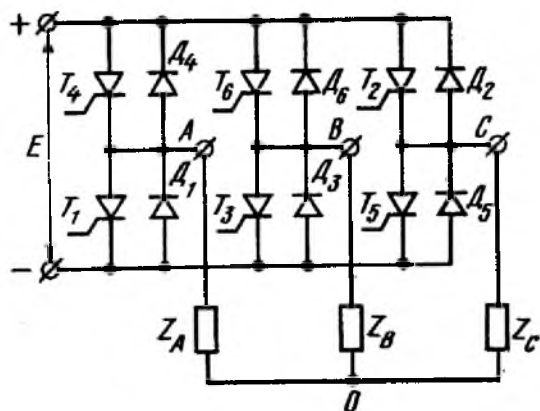
**20.10 - rasm. KAI ning a) bir va b) ikki qutbli IKM kuchlanishlari**

Chiqish kuchlanishini rostlash ta'minot manbai qiymatining o'zgartirilishi bilan yoki invertorning o'zida boshqarish signalining  $\gamma$  burchakda fazaviy siljishini o'zgartirish bilan amalga oshirish mumkin.

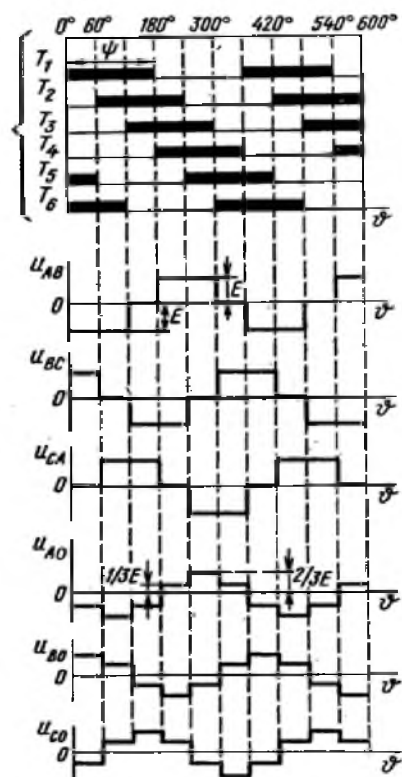
### 20.3 Uch fazali tiristorli KAI ning chiqish kuchlanishlarini shakllantirish va rostlash asoslari

KAI larning uch fazali ko'prik sxemasi (20.11 - rasm) o'zgartkich texnikasining asosiy sxemalaridan biri hisolanadi [ 3.8.10]. Bu sxemalarda tiristorlarga qarshi - parallel ulangan diodlar bir fazali invertorlardagi diodlarning vazifasini bajaradi. Keltirilgan sxemada tiristorlarning majburiy berkituvchi qurilmalar (kommutatsiya qurilmalari) ko'rsatilmagan, ya'ni tiristorlar ideal kalitlar sifatida ko'rildi.

Elektr mexanik tizimlarida uch fazali KAI lar ikkita rejimda ishlataladi: birinchisi har bir tiristor  $180^\circ$  ishlaydigan rejim (20.12-rasm) va ikkinchisi  $120^\circ$  ishlash rejimi.

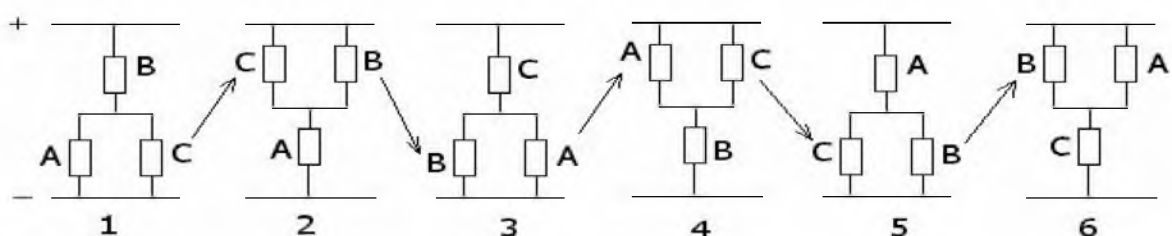


**20.11 - rasm. Uch fazavi KAI ning ko‘prik sxemasi**



**20.12 - rasm. Uch fazali KAI ning  $180^\circ$  da ishlash diagrammasi**

**Tiristorlarning  $180^\circ$  rejimda** ishlashini ko‘rib chiqamiz. Bu rejimda tiristorlar ishlashining ketma - ketligi 20.12, a - rasmda keltirilgan. Bunda har bir momentda uchta tiristor o‘tkazuvchi holatda bo‘ladi. Shulardan bittasi anod guruhidan bo‘lsa, qolgan ikkitasi katod guruhidan bo‘ladi yoki shuning teskarisi – anod guruhdan ikkita bo‘lsa, katod guruhidan bitta bo‘lishi mumkin. Masalan: 156, 126, 123, 234 va h.k.



**20.13 - rasm. KAI ning har  $60^\circ$  ishlashidagi yulduz sxemali yuklamaning fazalarga ulanishi**

Tiristorlarning diagrammada (20.12 - rasm) ko'rsatilgan ishlash ketma – ketligi bo'yicha yulduz sxemasi bilan ulangan yuklamalarning  $60^0$  intervaldan ulanish kombinatsiyasining o'zgarishi 20.13 – rasmda keltirilgan. Yuklama qarshiliklari  $Z_A = Z_B = Z_C$  teng bo'lganida nol nuqtaga nisbatan yakka fazalarda  $\frac{2}{3} E$  va parallel ulangan fazalarda  $\frac{1}{3} E$  teng kuchlanish hosil bo'ladi.

Yuklamaning nol nuqtasiga nisbatan bu kuchlanishlarning ishorasi manfiy yoki musbat bo'lishini inobatga olgan holda fazoviy va liniya kuchlanishlarining shakli diagrammada ko'satilgan. Faza kuchlanishlarining har bir ishorasi ikki pog'onali bo'lib, unda juft va uchga karra bo'lgan garmonikalar yo'qligi sababli birinchi garmonikasi sinus funksiyasiga yaqin hisoblanadi. Liniya kuchlanishlarining amplitudasi esa  $E$  teng, davomiyligi  $120^0$  bo'lib, ikki qutbli to'g'riburchak kuchlanish shaklida yuklamalarga beriladi. Faza va liniya kuchlanishlarining shakli asinxron motorlarni boshqarish uchun qulay hisoblanadi. Ularning eng past garmonikalari 5- va 7- garmonikalar. Liniya kuchlanishidagi garmonikalarning tarkibi yuqorida ko'rilib ifoda  $U_{lm\gamma} = \frac{2\sqrt{3}}{\gamma\pi} E_\gamma$  bilan va faza kuchlanishi –  $U_{f m\gamma} = \frac{2}{\gamma\pi} E_\gamma$  bilan aniqlanadi. Birinchi garmonikasi asosiy bo'lgan liniya kuchlanishi uchun:

$$U_{lm1} = \frac{2\sqrt{3}}{\pi} E = 1,1 E, \quad (20.5)$$

va effektiv kuchlanishi

$$U_{l1} = \frac{\sqrt{6}}{\pi} E = 0,78 E \quad (20.6)$$

Bu ifodalar faza kuchlanishlari uchun quyidagicha aniqlanadi:

$$U_{f m1} = \frac{2}{\pi} E = 0,64 E, \quad va \quad U_{f1} = \frac{\sqrt{2}}{\pi} E = 0,45 E \quad (20.7)$$

Faza kuchlanishi uchun 5- va 7- garmonikalarning amplitudasi birinchi garmonikaga nisbatan 20 va 14,3 % tashkil qiladi.

**Tiristorlar  $120^0$  ishlash rejimida** muntazam ravishda ikki tiristor o'tkazuvchi holatda bo'ladi. Ulardan bittasi anod guruhidan bo'lsa, ikkinchisi katod guruhdan bo'ladi. Har ikki ishlaydigan tiristorlarning bir

fazaga tushib qolmasligi uchun 20.11 - rasmda belgilangan tiristorlarning tartib raqam lari bo'yicha ishslash ketma - ketligi quyidagi algoritm bo'yicha bajariladi:

$$| T_1 T_2 - T_2 T_3 - T_3 T_4 - T_4 T_5 - T_5 T_6 - T_6 T_1 | \quad T_1 T_2 \dots - T_6 T_1 |$$

Bu algoritm bo'yicha har bir juftlikning ishlashi  $60^\circ$  davom etadi. Faza kuchlanishi ikki qutbli bo'lib,  $120^\circ$  dan amplitudasi  $E/2$  bilan qaytariladi va liniya kuchlanishi ikki pog'onali bo'lib, birinchi pog'onasini  $E/2$  va ikkinchi pog'onasi  $E$  kuchlanishi bilan yarim davri  $180^\circ$  bilan takrorlanadi.

Keltirilgan uslubda chiqish kuchlanishini rostlash ta'minot manbaini o'zgartirish bilan bajariladi. Lekin, uch fazali KAI larning chiqish kuchlanishini rostlashning asosiy usullari IKR va IKM usullari hisoblanadi.

#### **20.4 Uch fazali KAI larni IKR usuli bilan rostlash**

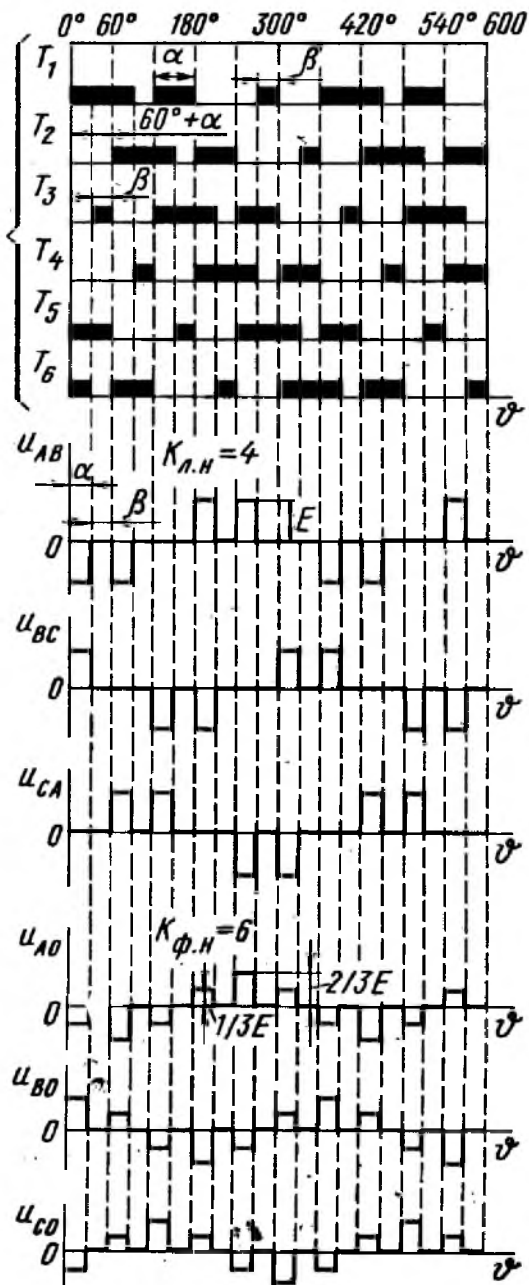
Yuqorida keltirilgan 20.7 va 20.8 rasmlardan ko'rinish turibdiki, IKR usulini qo'llashda bir davr davomidagi yuqori chastotali impulslar soni ( $K$ ) qancha ko'p bo'lsa, shuncha chiqish kuchlanishiga yuqori garmonikalarning ta'siri kam bo'ladi.

Uch fazali KAI ning tiristorlari  $180^\circ$  lik rejimida ishlashida IKR usulini qo'llashda har bir  $60^\circ$  intervalda anod yoki katod guruhi tomonidan qisqa

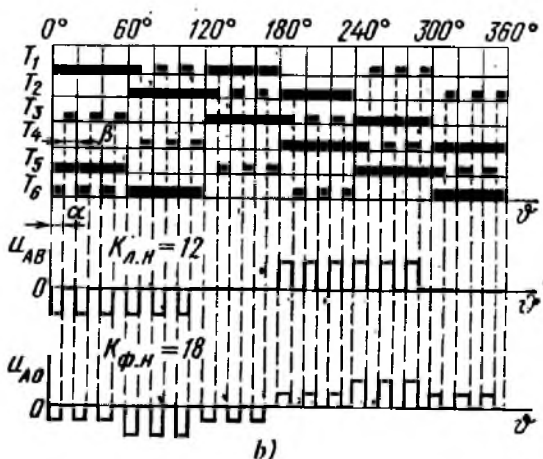
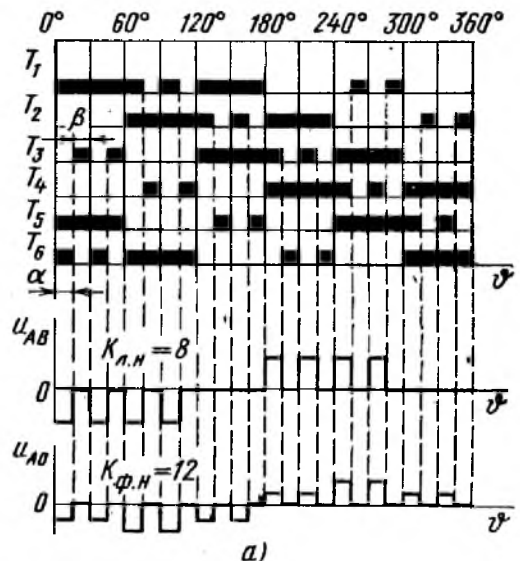
tutashuv tashkil qilinib, chiqishdagi liniya va faza kuchlanishlarini nolga tenglashtirib, ularda pauzalar tashkil qilinadi. Pauzalar soniga qarab chiqish kuchlanishlaridagi yuqori chastotali impulsarning soni ( $K$ ) aniqlanadi.

Pauzalarning tashkil qilinishi yakka ulangan fazani bir yoki bir necha marta qarshi ulanishi bilan o'tkaziladi. Misol : 20.14 - rasmda har  $60^\circ$  li intervalda yakka faza tiristori bir marta ( $\beta$  burchagi davomida) o'chib yonishi, 20.15, a -rasmda - ikki marta , va 20.15, a -rasmda uch marta o'chib yonishidagi vaqt diagrammalari keltirilgan.

Diagrammalarda  $\alpha$  burchak tiristorlarining ishslash davomi va  $\beta$  burchak - pauzaning davomi. Chiqish kuchlanishini rostlash yuqori chastotali impulslar kengligini o'zgartirish bilan amalga oshiriladi.



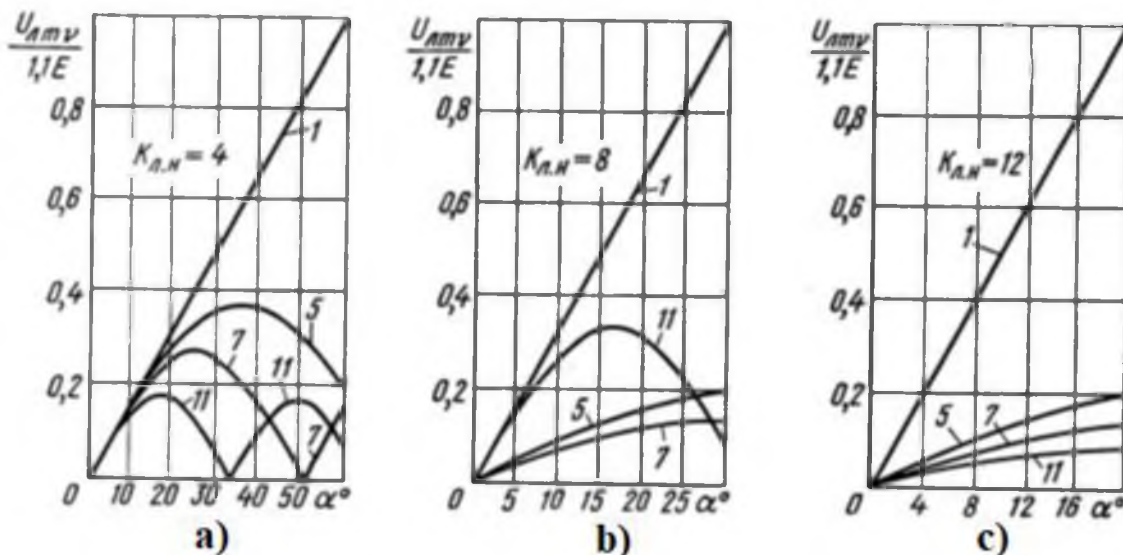
**20.14- rasm.** boshqaruvchi impulslar,  $K=4$  bo‘lganidagi KAI ning liniya va faza kuchlanishlari



**20.15 – rasm.** KAI ning IKR bilan a)  $K=8$  va b)  $K=12$  bo‘lganida ishlash diagrammalari

Chiqish kuchlanishlarining tarkibidagi yuqori garmonikalar ta’sirini kamaytirish qo‘shimcha impulslar sonini ( $K$ ) oshirish bilan bog‘liq. KAI ning liniya kuchlanishlari  $K=4$ ,  $K=8$  va  $K=12$  bo‘lganidagi yuqori

garmonikalarining birinchi garmonikaga nisbatan o‘zgarish grafigi 20.16 –rasmda keltirilgan.



**20.16 – rasm. Uch fazali KAI larda IKR bilan rostlash davomida liniya kuchlanishidagi garmonikalarining a) K = 4, b) K = 8 va c) K = 12 dagi o‘zgarish grafiklari**

Grafiklardan K=4 bo‘lganida 5- va 7- garmonikalarning chiqish kuchlanishiga sezilarli darajada ta’sir bildirishi ko‘rinib turibdi. Hatto burchak  $\alpha < 15^\circ$  qiymatida ularning birinchi garmonika bilan farqi sezilmasligi ham mumkin. Liniya kuchlanishida K=8 bo‘lganda 11-garmonikaning ta’siri ham juda cezilarli darajada chiqish kuchlanishiga ta’sir bildiradi. Impulslarning soni K = 12 bo‘lganida garmonikalarning tarkibi amplituda usuli bilan rostlash tarkibiga yaqin bo‘lib, ko‘pchilik yuklamalarni boshqarishda keng qo‘llanadi.

## 20.5. KAI larning ikki pog‘onali kommutatsiya jarayonlari

Bir va uch fazali ko‘prik sxemalarida har bir fazaga tegishli bo‘lgan ketma ket ulangan yarimo‘tkazgichli elektron asboblarning almashib ulanishida (kommutatsiya davomida) ulardan qisqa tutashuv toklari o‘tadi. Impulslarning kengligi bilan rostlanuvchi KAI larida kommutatsiya chastotasi katta bo‘lgani uchun bu toklarning KAI ishslash rejimlariga

ta'siri katta. Ularni chegaralash yoki bartaraf qilish uchun maxsus zanjirlar asosida turli kommutatsiyalovchi usullar ishlab chiqilgan.

Bir, uch va ko'p fazali KAI larda kommutatsiya usullari bir va ikki pog'onali usullarga ajratiladi. **Bir pog'onali kommutatsiya** usulida navbatdagi asosiy tokni o'tkazuvchi elektron asbobi ulanishi bilan tok o'tkazayotgan elektron asbobi qo'shimcha elementlarsiz o'zi yopiladi. **Ikki pog'onali kommutatsiya** usulida qo'shimcha kommutatsiya elementlari ta'sirida navbatdagi elektron asbobning ochilishi faqat oldin tok o'tkazuvchi elektron asbobining yopilishidan keyin bajariladi. Ko'pchilikda elektron asboblarning yopilish jarayonida kondensatorlarning razryadlanish zanjirlari qo'llaniladi.

Kommutatsion qurilmalarning strukturasiga ko'ra uch fazali KAI larni bir necha guruhlarga ajratish mumkin:

1) Individual kommutatsiyalanuvchi invertorlar. Bu invertorlarda har bir tiristor alohida kommutatsion qurilma bilan yopiladi. Uch fazali sxemalarni kommutatsion qurilmalarida 6 ta kondensator mavjud;

2) fazalar bo'yicha kommutatsion qurilmali invertorlar - bir fazaga tegishli ikki yelkani yopuvchi kommutatsiya qurilmali invertorlar (faza kommutatsiyali). Sxemada 3 ta kommutatsion kondensator mavjud;

3) anod va katod guruhlariga ajratilgan tiristorlar uchun kommutatsion qurilmali invertorlar (guruhli kommutatsiya). Sxemada 2 ta kommutatsion kondensator mavjud;

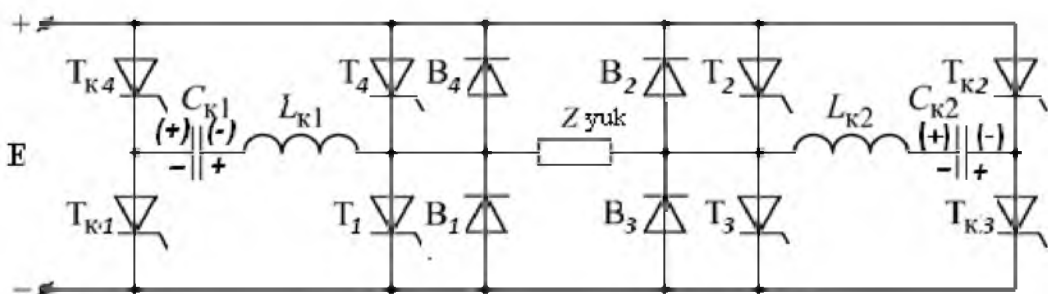
4) umumiy kommutatsiyali invertorlar. Barcha yelkalardagi tiristorlarni bir vaqtda yopuvchi kommutatsion qurilmali invertorlar (umumiy kommutatsiya). Sxemada bitta kommutatsiyalovchi kondensator mavjud;

5) ventillararo kommutatsiyali invertorlar. Har bir ishchi tiristorning yopilishi navbatdagi shu guruhning boshqa fazasidagi tiristorining ochilishi bilan bog'lovchi kommutatsion qurilmali invertorlar (ventillararo kommutatsiya). Sxemada 6 ta kommutatsion kondensator mavjud;

6) fazalararo kommutatsiyali invertorlar. Turli fazalarga tegishli ikkita tiristorni yopuvchi kommutatsion qurilmali invertorlar (fazalararo kommutatsiya). Sxemada 3- ta kommutatsion kondensatorlar mavjud.

Bir fazali KAI ning ikki pog'onali kommutatsiya jarayonida ishlashini ko'rib chiqamiz. 20.17 - rasmida bir fazali KAI ning kommutatsion qurilmasining tarkibiga  $T_k$ ,  $C_k$ ,  $L_k$  elementlar kiritilgan.

KAI ning aktiv - induktiv yuklamaga ishlashida asosiy tiristor o'chirilishi bilan yuklama toki teskari ulangan ventillariga o'tib, keyinchalik navbatchi tiristorga o'tkaziladi. Ya'ni, bu invertor fazalar bo'yicha kommutatsion qurilmali invertorlar guruhiga kirib, kommutatsiya jarayoni ikki pog'onali uslubda bajarildi.

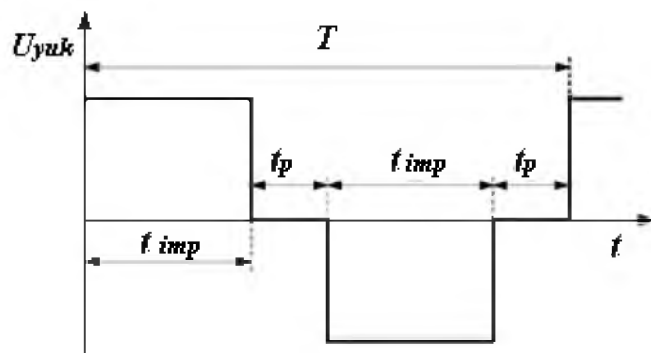


**20.17 - rasm. Bir fazali KAI sxemasi**

Sxemada ishchi  $T_4 - T_3$  tiristorlarni yopish uchun ikkita  $L_k$ ,  $C_k$  tebranuvchi konturlar va ularni boshqaruvchi  $T_{k4}$  -  $T_{k3}$  kommutatsion tiristorlar kiritilgan. Asosiy tiristorlar  $T_4$  va  $T_3$  ishlashi davomida kondensatorlar  $C_{k1}$ ,  $C_{k2}$  oldingi kommutatsiya davrida yig'ilgan va sxemada qavssiz ishorada ko'rsatilgan zaryadga ega. Ma'lum bir vaqtida ishlaydigan tiristorlarni yopish uchun kommutatsion  $T_{k4}$ ,  $T_{k3}$  tiristorlar ochilib, kondensatorlar  $C_{k1}$ ,  $C_{k2}$  kommutatsiya zanjirlari  $C_{k1}$  -  $L_{k1}$  -  $T_4$  -  $T_{k4}$  va  $C_{k2}$  -  $T_{k3}$  -  $T_3$  -  $L_{k2}$  bo'ylab qayta zaryadlanishni boshlaydi. Tebranuvchi konturning toki yuklama tokiga tenglashishi bilan asosiy tiristorlar  $T_4$ ,  $T_3$  lar yopilib, qayta zaryadlanish zanjiri  $V_4$  va  $V_3$  ventillar orqali davom etadi.  $V_4$  va  $V_3$  ventillardan tok o'tishi natijasida ularda hosil bo'lgan kuchlanish tiristorlar uchun teskari kuchlanish bo'lib,  $T_4$ ,  $T_3$  larning yopilishi ta'minlanadi. Qayta zaryadlanish natijasida  $C_{k1}$ ,  $C_{k2}$  kondensatorlarda yig'ilgan teskari ishorali zaryadlar (qavs ichida ko'rsatilgan) keyinchalik  $T_1$ ,  $T_2$  tiristorlarning yopilishida yetarli qiyamatdagi kommutatsion toklarni ta'minlashi mumkin.

Shu bilan  $T_4$  va  $T_3$  tiristorlarning yopilish vaqt bilan  $T_1$  va  $T_2$  tiristorlarning ochilish vaqtлари о‘заро bog‘lanmaganligi uchun chiqish kuchlanishida pauza borligi 20.18 - rasmda ko‘rsatilgan.

Pauzani o‘zgartirish xususiyati IKR usullarining keng qo‘llanishiga imkoniyat beradi. Bundan tashqari, ikki qutbli impulsli sinusoidal kuchlanish olinishida ikki pog‘onali IKR va IKM usullari yuqori garmonikalarining kamaytirish imkoniyatini beradi.



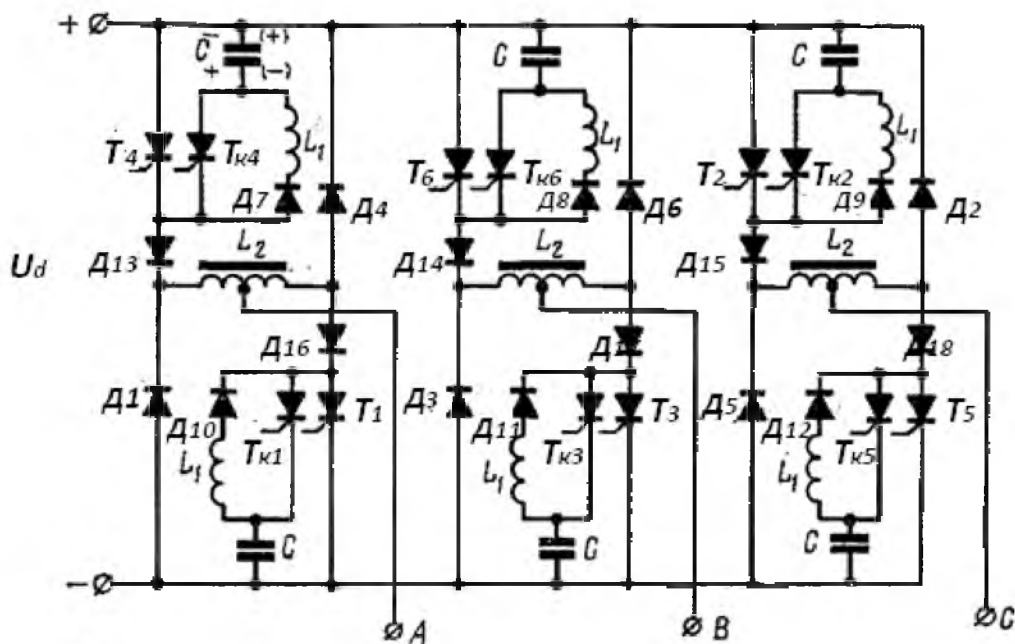
**20.18 – rasm. Bir fazali KAI larning ikki pog‘onali kommutatsiyalardagi chiqish kuchlanishi**

Uch fazali invertorlarda ikki pog‘onali kommutatsiyani qo‘llanishini 20.19 - rasmda keltirilgan invertor misolida ko‘rib chiqamiz. Bu individual kommutatsiyali invertor bo‘lib, asosiy  $T_1$ -  $T_6$  tiristorlarning har bittasining yopilishini ta’minlash uchun sxemaga maxsus qurilma sifatida induktivlik  $L_1$ , kondensator  $C$ , kommutatsiyalovchi tiristorlar  $T_{k1}$ -  $T_{k6}$ , diodlar  $D_7$  -  $D_{12}$  kiritilgan.

Invertorni ishslash prinsipini ishchi tiristor  $T_4$  ni yopilish etapida ko‘rib chiqamiz. Boshlanish momentida tiristor  $T_4$  ochiq holatda va kondensator  $C$  sxemada ko‘rsatilgan qavssiz ishoralar bilan zaryadlangan. Kommutatsiyalovchi  $T_{k4}$  tiristorning ochilishi bilan kondensator  $C$  ni razryadlovchi toki ishlayotgan tiristor  $T_4$  ning yopilishiga olib keladi.

Natijada yuklama toki tiristor  $T_4$  dan  $T_{k4}$  o‘tib, kondensatorning qayta zaryadlanishi  $C - T_{k4} - D_{13} - L_2 - D_4 - C$  konturi orqali davom etadi. Kondensator zaryadinining qiymati manba kuchlanishining qiymatiga erishishi bilan tiristor  $T_{k4}$  yopiladi va yuklama toki teskari diod  $D_1$  dan o‘tishni boshlaydi. Bu bosqichda  $A$  bilan  $C$  fazalar orasida reaktiv

energiyaning almashish jarayoni va induktivlik  $L_2$  da kommutatsiya davomida yig‘ilgan energiyaning diodlar  $D_1$  va  $D_4$  orqali manbara qaytarilish jarayonlari bajariladi.  $D_7 - D_{12}$  diodlar kondensatorlarda yig‘ilgan zaryadlarni yuklama zanjiriga razryadlanishdan saqlash uchun qo‘llaniladi.



**20.19 - rasm. Uch fazali KAI ning ikki pog‘onali individual kommutatsiyali sxemasi**

Kommutatsiyadan keyin kondensatorlarning ishoralari o‘zgarib (20.19 – rasmida qavs ichida ko‘rsatilgan), tiristor  $T_1$  ni keyingi kommutatsiyada yopish imkoniyati ta’minlamaydi. Kondensatorlarning ishorasini oldingi holatga (20.19 - rasmida qavssiz ishoralarga) keltirish quyidagicha o‘tadi: yopilgan tiristor  $T_4$  ning keyingi davrda ochilishi bilan  $C - T_4 - D_7 - L_1$  kommutatsion zanjirda tebranuvchi jarayon hosil bo‘lib, natijada kondensatorning ishoralari birinchi holatiga qaytadi va tiristor  $T_4$  ni yopish imkoniyatiga erishiladi. Keltirilgan invertorni normal holatda ishlashga tushirish uchun kommutatsiyalovchi kondensatorlarning boshlang‘ich zaryadlarini tiristor  $T_4$  ning o‘chirish ishoralari bilan ta’minlanishi talab qilinadi.

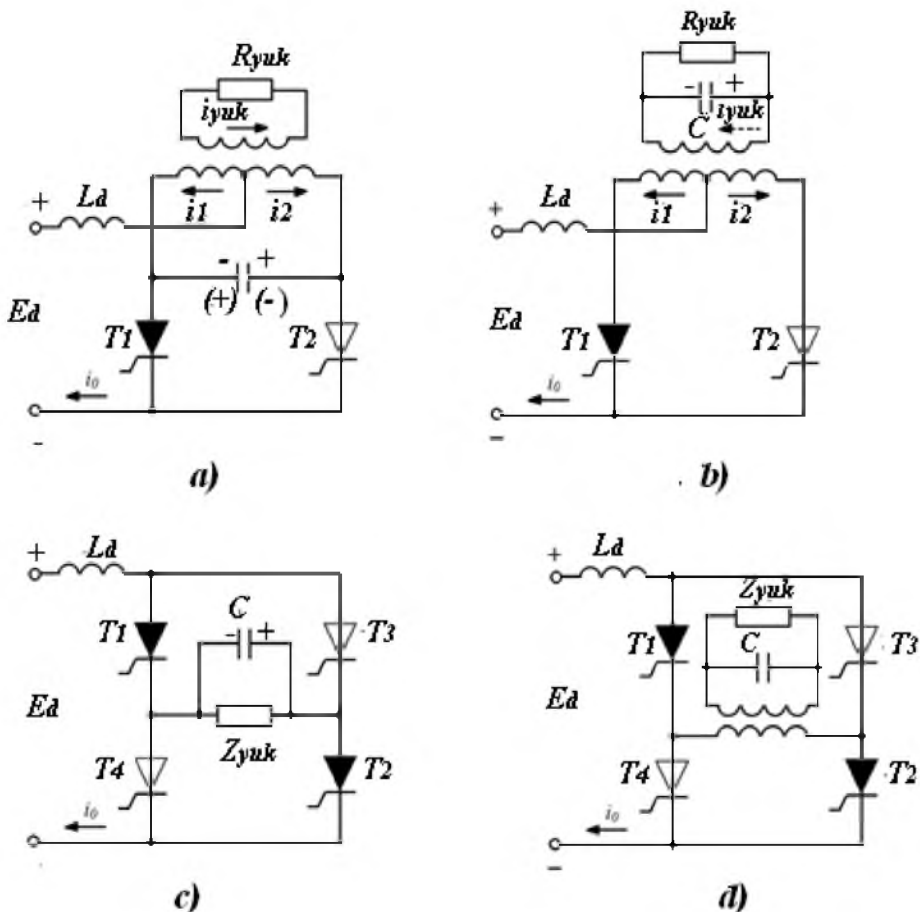
## TOK AVTONOM INVERTORLARI

### 20.6. Bir fazali tok avtonom invertorlarining (TAI) tiplari va ishlash prinsiplari

Avtonom invertorlar oilasida tok invertorlari bиринчи ishlab chiqarilgan invertorlar qatoridan o‘rin olgan. TAI boshqa invertorlardan ikkita shart bilan ajralib turadi:

- ventillarning davriy almashib ulanishida ta’mnot manbai o‘zgarmas tok manbai xususiyatiga ega bo‘lishi bilan;
- yuklama toklarining sakrashsimon o‘zgarishimi ta’minlash uchun TAI yuklamasi sig‘im xarakteriga ega bo‘lishi bilan.

Amalda bu talablar invertorning kirishiga katta induktivlik  $L_d$  va chiqishiga katta kommutatsiyalovchi kondensator  $C_k$  ulanishi bilan bajariladi.



**20.20 - rasm. Bir fazali TAI larning traditsion sxemalari: a, b) noli chiqarilgan; c,d) ko‘priksimon. ( Bo‘yalganlar ochiluvchi tiristorlar)**

Bir fazali TAI larning traditsion noli chiqarilgan sxemalari 20.20 a,b- rasmlarda, ko‘priksimon sxemalari 20.20 c,d - rasmlarda keltirilgan. Bu invertorlarning ishlash prinsipi chiqish chastotasini har yarim davrida tiristorlaning almashib ulanishi bilan amalga oshiriladi. 20.20, a - rasmda keltirilgan bir fazali noli chiqarilgan TAI ning ishlashini ko‘rib chiqamiz.

Ishga tushirish boshlanishida tiristor  $T_1$  ga ochilish impulsi beriladi. Tiristor  $T_1$  ochilishi bilan transformatorning chulg‘amlarida paydo bo‘lgan E.Y.K ta’sirida  $T_1$  tiristorning toki oshadi va natijasida kondensatorning zaryadlanishi tufayli tiristor  $T_2$  ning anod potensiali ham nol nuqtaga nisbatan oshadi. E.Y.K ning ta’sirida kondensator  $C$  (20.20, a – rasmda qavssiz ishora bilan ko‘rsatilgan)  $U_{Cmaks} = +2E_d$ . gacha zaryadlanadi. Chastotaning yarim davridan tiristor  $T_2$  - ga ochilish impulsi berilishi bilan uning toki o‘sib boshlaydi. Ochilayotgan tiristor  $T_2$  va yopilayotgan tiristor  $T_1$  orqali hosil bo‘lgan konturdan kondensatorning razryadlanish toki o‘tadi. Bu tok tiristor  $T_1$  ning tokiga teskari bo‘lib, uning yopilishiga va tiristor  $T_2$  to‘liq ochilishiga olib keladi. Shunday qilib o‘tish jarayoni ishchi tokni  $T_1$  dan  $T_2$  tiristorga o‘tishi bilan tugaydi. Tiristor  $T_2$  ning ishlashi davomida kondensator  $C$  teskari zaryadlanib, unga 20.20, a - rasmda qavslı ishora bilan ko‘rsatilgan kuchlanish o‘rnataladi.

Tiristor  $T_2$  ishslash davomida qayta zaryadlanuvchi kondensatorda yig‘ilgan energiya navbatdagi  $T_2$  tiristorning yopilishini ta’minlash uchun yetarli miqdorda bo‘lishi kerak. Buni aniqlash uchun yuklamadagi kuchlanish,  $C$  kondensatorning sig‘imi, invertorning ishlash chastotasi  $\omega$  va yuklananing aktiv qarshiligi  $R_{yuk}$  orasidagi bog‘lanishlarini ko‘rib chiqamiz. Bog‘lanishda markaziy element transformator bo‘lgani uchun uning birlamchi va ikkilamchi chulg‘amlari orasidagi magnit harakatlantiruvchi kuchining (MHK) balans tenglamasi tuziladi.

$$i_{yuk} w_2 = I_d w_1 - 2 i_c w_1 \quad (20.8)$$

bunda:  $w_1, w_2$  - transformatorning birlamchi va ikkilamchi chulg‘amlarining o‘ramlari soni;  $i_{yuk}, i_c, I_d$  - yuklama, kondensator va birlamchi chulg‘amdagи toklar.

Chulg‘amlardagi o‘ramlar soni teng bo‘lganida  $w_1 = w_2$ , tenglama (20.8) quyidagicha yozilisi mumkin

$$i_{yuk} + 2 i_c - I_d = 0 \quad (20.9)$$

Agarda kondensator va aktiv yuklama toklari aniqlanishida ifodalar qo‘llansa:

$$i_c = 2C \frac{dU_{yuk}}{dt}; \quad \dot{\mathbf{i}} = U_{yuk} / R_{yuk}, \quad (20.10)$$

ifoda (20.9) dan quyidagi differensial tenglama kelib chiqadi

$$\frac{dU_{yuk}}{dt} + \frac{U_{yuk}}{4CR_{yuk}} - \frac{I_d}{4C} = 0 \quad (20.11)$$

Yuklama kuchlanishiga nisbatan bu tenglama yechimining ifodasi

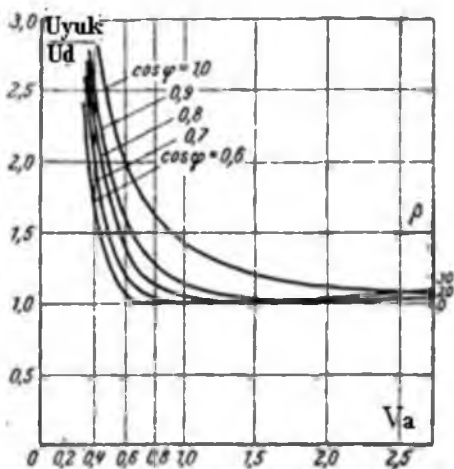
$$U_{yuk} = I_d R_{yuk} \left( 1 - e^{-\frac{1}{4R_{yuk} C \omega}} \right) \quad (20.12)$$

Kuchlanish  $U_{yuk}$  maksimal qiymatiga yarim davrda ( $\theta = \pi$ ) erishsa, bu ifodani quyidagi ko‘rinishga keltirish mumkin

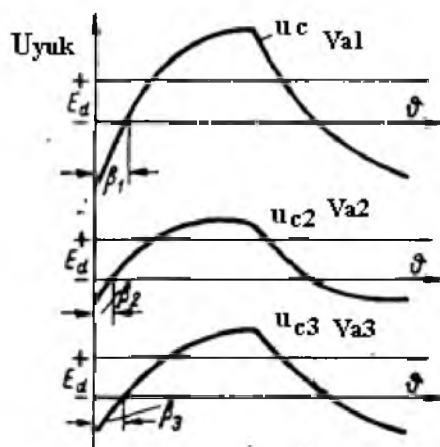
$$U_{yuk \ maks} = \pm \frac{I_d R_{yuk}}{2} \left( 1 - e^{-\frac{1}{4R_{yuk} C \omega}} \right) \quad (20.13)$$

Keltrilgan ifodalarda yuklama kuchlanishining erkin tashkil etuvchisi eksponenta bo‘yicha o‘zgarishi aniqlangan. Uning darajasidagi  $V_a = I/\omega CR_{yuk}$  **yuklamaning aktivlik koeffitsiyenti** deb aytilib, unga nisbatan TAI ning xususiyatlari va tashqi xarakteristikasi aniqlanadi.

Yuklama qarshiligi aktiv – induktivlik xarakteriga ega bo‘lganida aktivlik koeffitsiyenti  $V_a = I/\omega CZ_{yuk}$  ko‘rinishiga keltiriladi. Induktivlik ta’sirini kamaytirish uchun transform atorning birlamchi yoki ikkilamchi tomoniga qo‘srimcha kondensator ulanadi. Bu kondensator kommutatsiyani ta’minlovchi kondensatorga qo‘srimcha qilib ulanishi ham mumkin.



**20.22 - rasm TAI ning aktiv koeffitsiyenti o'zgarishidagi vaqt diagrammasi**



**20.23 - rasm TAI ning cosphi o'zgarishidagi tashki Va xarakteristikasi**

Koeffitsiyent  $V_a$  TAI ning  $\omega$ ,  $C$  va  $Z_{yuk}$  parametrlariga teskari proporsional bo'lganligi sababli ularning oshirilishi bilan yuklama kuchlanishi pasayadi. 20.22 - rasmida koeffitsiyent  $V_a$  ning turli qiymatlari uchun  $U_C$ ,  $U_{yuk}$  kuchlanishlarining o'zgarishlari keltirilgan. Diagrammalarda  $V_a$  kamayishi bilan ( $V_{a2} > V_{a3} > V_{a1}$ ) yuklama kuchlanishining maksimal qiymati  $U_{yuk}$  va tiristorlarning yopilish burchagi  $\beta$  oshishi ko'rsatilgan.

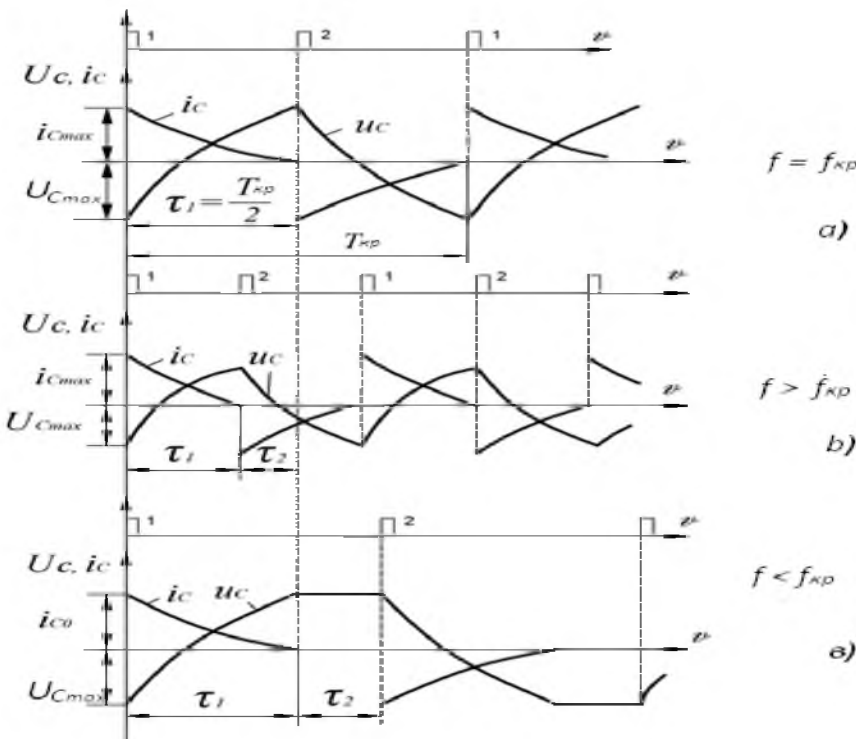
Yopilish burchagi  $\beta$  tiristorning tiklanish vaqtidan kam bo'lsa ( $\beta < t_{tik}$ ) TAI ishlash xususiyatini yo'qotadi. 20.23 - rasmida TAI ni tashqi xarakteristikasi  $\frac{U_{yuk}}{U_d} = f(V_a)$  keltirilgan. Bu grafikda kuchlanishlarning nisbatan o'zgarishi ( $U_{yuk}/U_d$ ) koeffitsiyent  $V_a$  xarakteriga bog'liq. Ifoda  $V_a = I/\omega C Z_{yuk}$  ning maxrajida faqat aktiv qarshilik bo'lganida ( $\cos\phi = 1$ ) yuklama kuchlanishining o'zgarish grafigi 20.23 - rasmida nisbatan kattaroq parametrlar bilan o'zgaradi. Agar yuklama qarshiligi aktiv - induktivlik xarakteriga ega bo'lsa ( $\cos\phi < 1$ ), unda koeffitsiyent  $V_a$  kamayadi, chunki  $R_{yuk}$  ga induktivlik qarshiligi  $\omega L_{yuk}$  qo'shilishi natijasida umumiyligi maxrajning qiymati oshadi. Koeffitsiyent  $V_a$  ni kamayishi bilan (yuklama qarshiligi  $Z$  oshishi bilan) kondensator  $C$  ning yuklamaga razryadlanish vaqtini kamayadi va yuklama kuchlanishining amplitudasi pasayib, yopilish burchagi  $\beta$  ham kamayadi.

## 20.7 Bir fazali TAI larning chastotaviy imkoniyatlari

TAI ning 20.20,  $a$  - rasmdagi sxemasining kamchiligi uning past chastotalarda ishlash imkoniyati chegaralanganligida. Chegara rejimini aniqlash uchun **kritik chastota** tushunchasi kiritiladi. Adabiyotlarda ta’riflangani bo‘yicha kritik chastota ( $f_{kr}=1/T_{kr}$ ) kommutatsiya kondensatorining zaryadlanish va razryadlanish davomida uning kuchlanishi maksimal qiymatiga erishgan chastotasi hisoblanadi. 20.24,  $a$  - rasmda ko‘rilayotgan invertor uchun kondensatordagi tok va kuchlanishning kritik chastotadagi ( $f = f_{kr}$ ) o‘zgarishlari keltirilgan. Bunda, har yarim davrlik  $\tau_1 = T_{kr}/2$  intervalda, kondensatorning qayta zaryadlanishdagi kuchlanishi -  $U_{c0}$  dan  $+ U_{c0}$  gacha o‘zgarib, maksimal qiymatlarigacha erishgani ko‘rsatilgan ( $U_{c0} = U_{cmax}$ ).

Agarda TAI ning ishslash chastotasi kritik chastotadan katta bo‘lsa ( $f > f_{kr}$ ), unda kondensatorning qobiqlaridagi kuchlanish maksimal qiymatiga erishmasdan ham boshqariluvchi impuls berilishi bilan navbatdagi tiristor ochiladi va invertorni normal rejimda ishlashi davom etiladi, (20.24,  $b$  - rasm).

Invertorning ishslash chastotasi kamayib ketganida ( $f < f_{kr}$ ), navbatchi tiristorga ochilish impulsi kelguncha maksimal kuchlanishgacha zaryadlangan kondensator ( $U_{cmax}$ ) transformatorning birlamchi chulg‘ami konturidan razryadlanib boshlaydi. Razryadlanish natijasida kuchlanish  $U_{cmax}$  kamayib, keyingi tiristorning ochilish jarayonida kondensatorning razryadlanish toki ishlayotgan tiristorning yopilishi uchun yetarli bo‘lmasligi mumkin. Bunda tiristor to‘liq yopilmasdan kommutatsiya jarayoni to‘liq bajarilmaydi. Natijada ikkala tiristor ham ochiq holatda qolib, invertorning ish rejimi buziladi.



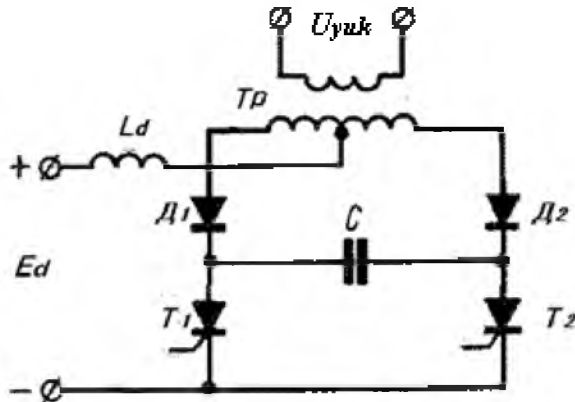
**20.24 – rasm. Bir fazali TAI larda kommutatsion tok va kuchlanishlar grafiklari**

Bu (avariya) rejimining oldini olish uchun kondensatorning transformatorga razlyadlanish konturiga teskari diodlar kiritish bilan navbatdagi tiristorning ochilishigacha kondensatorning maksimal kuchlanishini  $U_{cmax}$  saqlab qolish imkoniyati yaratiladi. Bunda 20.20, *a* - rasmdagi bir fazali noli chiqarilgan sxema 20.25 - rasmdagi sxemaga keltiriladi. Sxemaga kiritilgan  $D_1$  va  $D_2$  diodlar **uzuvchi diodlar** deb aytilib, bir fazali va uch fazali ko‘priksimon TAI larida ham keng qo‘llanadi. Ularning ta’sirida TAI lar kritik chastotadan 5 - 10 marta past bo‘lgan chastotalarda ishlashi mumkin. Shuni aytib o‘tish kerakki, bu diodlar TAI larda faqat boshqaruvsiz tiristorlar qo‘llanilganida ishlataladi.

Bir fazali ko‘priksimon TAI larning transformatorsiz sxemasi 20.20, *c* - rasmda va chiqishida transformator ulangan sxema 20.20,*d* - rasmda keltirilgan. 20.20, *c* - rasmdagi transformatorsiz TAI ishlashini ko‘rib chiqamiz.

Har bir  $T_1$  va  $T_2$  hamda  $T_3$  va  $T_4$  tiristorlaridan tashkil topgan yelkalar  $180^\circ$  ishlashi natijasida yuklamada o‘zgaruvchan tok vujudga

keladi. Yuqorida TAI larning ishlashida ularning kirishiga katta induktivlik ulanib, ta'minot manbai tok manbaiga yaqin holatga keltirilganligi



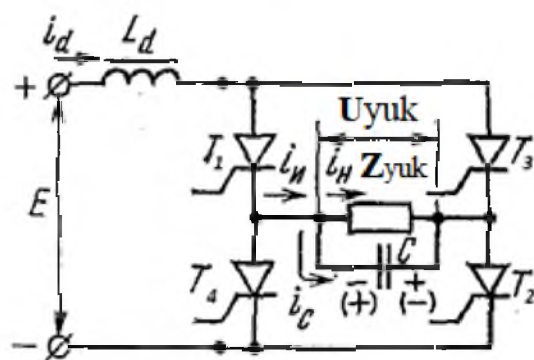
**20.25 - rasm. Uzuvchi diodlarning noli chiqarilgan bir fazali TAI larga ulanish sxemasi**

aytib o‘tilgan. Demak, manba toki  $i_d$  o‘zgarmas tok bo‘lib, tiristorlarning almashib ulanishi natijasida yuklamada o‘zgaruvchan tok hosil bo‘ladi. Aktiv - induktivlik yuklamaning toki sakrab o‘zgarishini ta’minlashi uchun yuklamaga parallel qilib kondensator ulanadi. Natijada chiqish toki

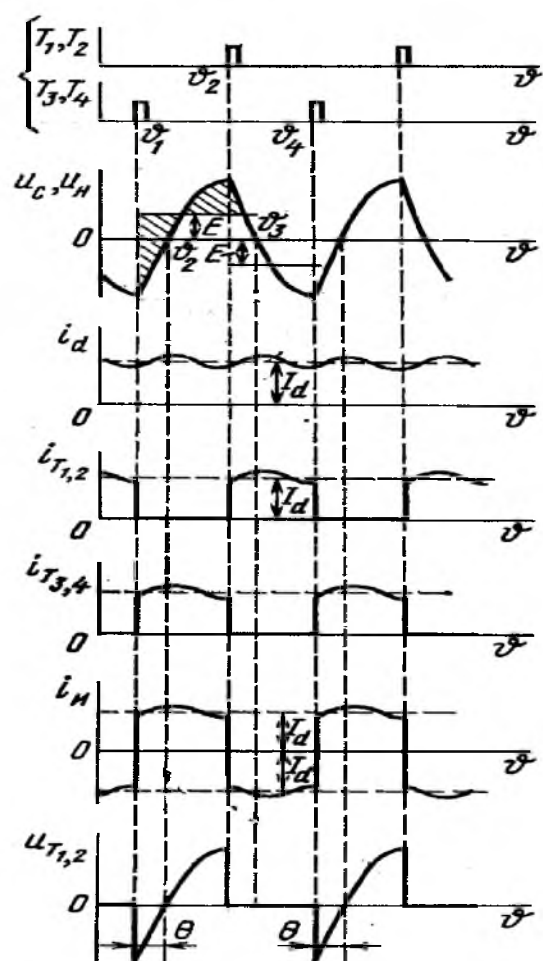
$$i_{ch} = i_{yuk} + i_c = i_d = \text{const} \quad (20.14)$$

teng bo‘lib, yuklamada uning yo‘nalishi har yarim davrda sakrashsimon shaklida teskari yo‘nalishga o‘zgaradi. Sxemada tok va kuchlanishlarning ozgarishi 20.26a,b- rasmlarda keltirilgan. Aktiv - induktivlik yuklamada kommutatsiya boshlanishida kondensator kuchlanishining ishoralari va yuklama tokining yo‘nalishi (kommutatsiya qonunlari asosida) o‘zgarmasdan saqlanib qolinadi. Keyinchalik kommutatsiya intervali ( $t_{kom}$ ) davomida kondensatorning razryadlanishi uchun uchta kontur paydo bo‘ladi. Bularidan ikkitasi ochiluvchi va yopiluvchi tiristorlarning anod va katod guruhlardidan  $C - T_3 - T_1$  va  $C - T_2 - T_4$  tashkil topgan konturlar va uchinchisi  $C - Z_{yuk}$  kontur.

Birinchi va ikkinchi konturlar orqali o‘tayotgan toklar ta’sirida ishchi holatidagi tiristorlar yopadi va uchinchi konturdagi razryad tokli yuklama tokini nolgacha pasaytiradi. Shu nol momentidan boshlab yuklama toki o‘z yo‘nalishini o‘zgartiradi va kondensator teskari (qavs ichidagi) ishora bilan



a)

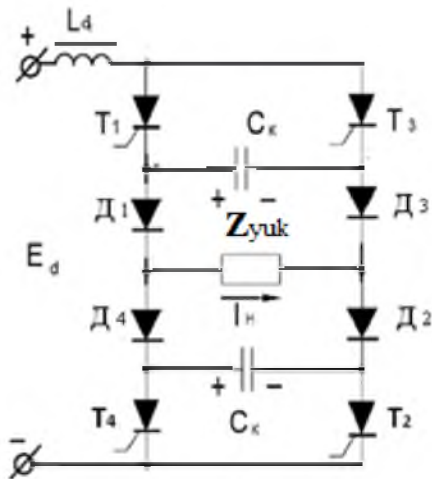


b)

**20.26- rasm.** Transformatorsiz TAI ning a) sxemasi, b) ishlash diagrammasi

zaryadlanishni boshlaydi. Bir fazali ko‘priksimon TAI ning keltirilgan ishlash prinsipi 20.26 - rasmdagi vaqt diagrammasida ko‘rsatilgan.

Kritik chastotadan past bo‘lgan chastotalarda kondensatorda yig‘ilgan reaktiv energiyani saqlab qolish uchun TAI larning ko‘priksimon sxemalariga ham **uzuvchi diodlar** kiritiladi (20.27 - rasm)



**20.27- rasm. Uzuvchi diodlar kiritilgan TAI ning bir fazali ko‘priksimon sxemasi**

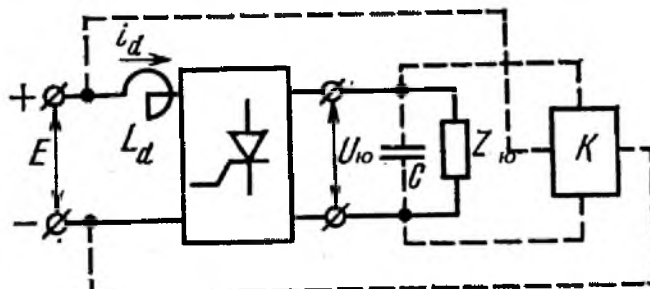
20.20 d - rasmdagi TAI larning chiqishiga transformator ulangan sxema keltirilgan. Transformatorning ulanishidan maqsad – kirishda berilgan manba kuchlanishi  $E$  dan chiqishdagi talab qilingan kuchlanishni olish. Invertorning ishslash prinsipi transformatorsiz invertorlardan farqi faqat yuklama parametrlarining transformatorning uzatish koeffitsiyenti orqali  $Z_{yuk}$  parametriga keltirishdan iborat. Bunda keltirilgan parametrlar:  $Z_n = Z_n n^2$ ,  $I_n = I_n /n$ ,  $U_{yu} = U_{yu} n$ ,  $n = w_1 / w_2$ .

## 20.8. Tok invertorining boshqarish va stabillash rejimlari

TAI larning chiqish kuchlanishilarining shakli sinus funksiyasiga yaqin bo‘lganligi sababli ular rostlanuvchi kuchlanish manbalari sifatida keng qo‘llaniladi. Ularning rostlash rejimi ta’minot manbai  $E$  ni o‘zgartirish yoki invertorning chiqishiga energiyani boshqaruvchi qurilmalarni (kompensator) qo‘sish bilan amalga oshiriladi.

Ta’minot manbai  $E$  ning qiymatini o‘zgartirish invertorning kirishida boshqariluvchi to‘g‘rilagichlar yoki o‘zgamas tok impulsli o‘zgartkichlari qo‘llanishi bilan bajariladi. Kompensatorlar qo‘llanganda - yuklama

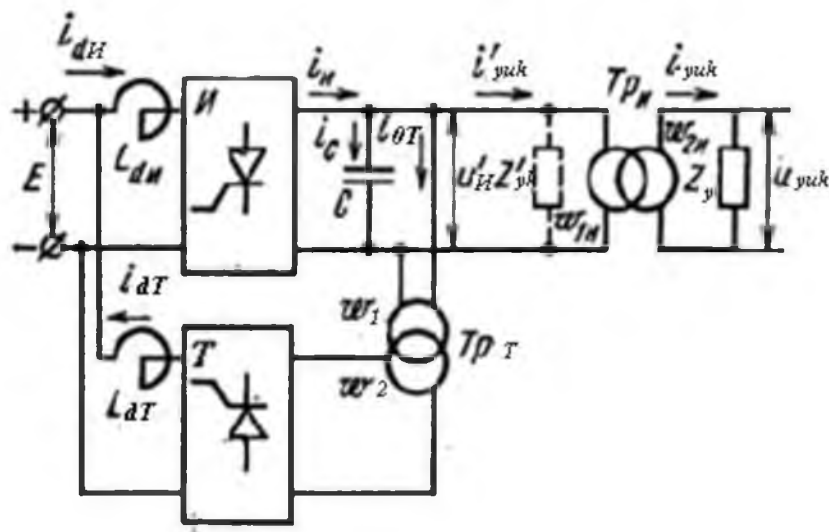
tomoniga aktiv va reaktiv energiyalarni boshqarish maqsadida invertorlarning chiqishiga kompensator ( $K$ ) sifatida boshqariluvchi yoki boshqariluvsiz to‘g‘rilagichlar va tiristorli – induktivlik kompensatolari qo‘llanadi (20.28 - rasm).



**20.28 – rasm. Kompensator ulagan TAI ning strukturası**

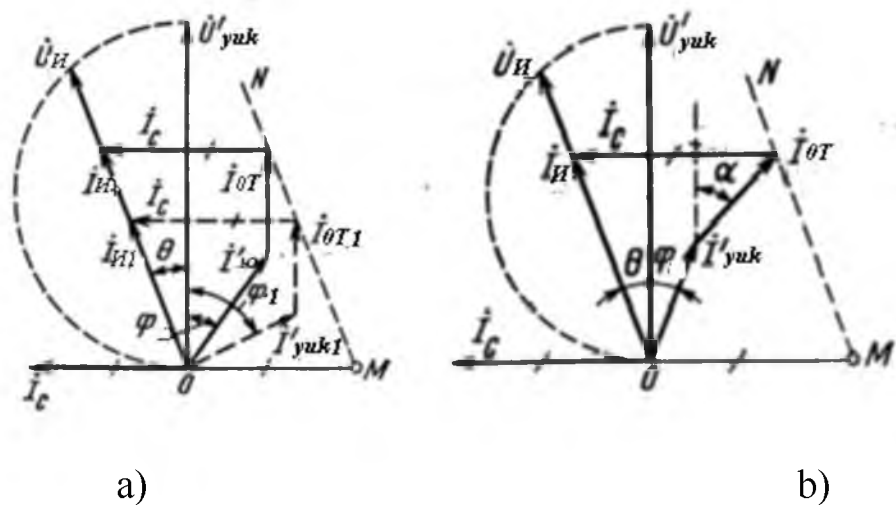
Kompensator sifatida boshqaruvsiz to‘g‘rilagich qo‘llanganida manba tomonidan bu to‘g‘rilagich faqat aktiv quvvat iste’mol qiladi. Boshqariluvchi to‘g‘rilagichlarda esa – aktiv va reaktiv quvvat iste’mol qiladi. Invertoring foydali ish koeffitsiyenti (F.I.K.)ni oshirish uchun to‘g‘rilagichlar asosiy o‘zgarmas tok manbai shinalariga shunday ulanadiki, ularning ta’sirida invertoring chiqishidagi energiyasining bir qismi asosiy ta’minot manbaiga qaytariladi (20.29 - rasm). Shu sababli sxemada qaytarish funksiyasini bajaruvchi kompensatorlar qaytaruvchi qurilmalar tarkibiga kiradi.

20.29 - rasmda keltirilgan teskari ulagan to‘g‘rilagichli TAI ning strukturasini ko‘rib chiqamiz. Bu sxemada ikkita transformator bo‘lib, birinchisi invertoring chiqishiga ulagan  $n_i = w_{1yuk} / w_{2yku}$  va ikkinchisi  $n_T = w_{IT} / w_{2T}$  teskari ulagan to‘g‘rilagich transformatorni kirishiga ulagan. Yuklama qarshiligi  $Z_{yuk}$  invertor transformatori  $Tr_i$  ning chiqishiga ulagan va boshqaruvsiz teskari to‘g‘rilagich diodlar asosida TAI sxemasi bo‘yicha yig‘ilgan.



**20.29 – rasm. Teskari to‘g‘rilagichli TAI ning strukturasi**

Strukturaning chiqishidagi tok va kuchlanishlar 20.30, a - rasmda keltirilgan vektor diagrammasida ko‘rsatilgan.



**20.30 - rasm. Teskari to‘g‘rilagichlar TAI sxemasiga kiritilishidagi vektor diagrammalari: a) boshqaruvsiz; b ) boshqariluvli**

20.30 - rasmda TAI ning chiqish zanjirlaridagi toklarning vektorli yig‘indisi:

$$I = I_C + I_{yuk} + I_{\theta T} \quad (20.15)$$

bunda  $I$  – birinchi garmonika bo‘yicha invertoring toki (garmonikalarni belgilaydigan pastki indeks 1 yozuvlarni soddalashtirish uchun keltirilmagan);

$I_{yuk} = I_{yuk} / n_i$  – transformatorning birlamchi chulg‘amiga keltirilgan yuklama toki;  $I_{0T}$  - to‘g‘rilag‘ich kirishidagi teskari tok.

Vektor diagrammasini tuzishda invertor transformatorining birlamchi chulg‘amiga keltirilgan yuklama kuchlanishini  $U_{yuk} = n_i U_{yuk}$ , yuklama toki  $I_{yuk}$  va kondensatorning toki  $I_C$  kiritiladi. Hisoblashlarda boshqaruvsız to‘g‘rilagichlar aktiv qarshilik sifatida ko‘rilishi sababli, ularning fazalarini va kuchlanishlari mos keladi, ya’ni  $\phi = 0$ . Shuning uchun 20.30,  $a$  - rasmda to‘grilagichlarning kirish toki  $I_{0T}$  keltirilgan yuklama kuchlanishi  $U_{yuk}$  ga parallel bo‘lib, vertikal o‘qi bo‘yicha o‘zgaradi. 20.30,  $a$  - rasmdagi diagramma kuchlanish  $U_{yuk}$  ga nisbatan kondensatorning toki  $I_S$  perpendikulyar bo‘ladi va yuklama toki  $I_{yuk}$  burchak  $\phi$  bilan o‘zgarishida tuziladi.

Teskari to‘g‘rilagichlarni stabillash ta’siri ( $E = \text{const}$ ,  $U_{yuk} = \text{const}$ ,  $U_{yuk} = \text{const}$ ) vektorlar  $U_{yuk}$  (yoki  $I_{yuk}$ ) va vektor  $U_{yuk}$  oralig‘idagi burchak  $\vartheta$  ning o‘zgarmas qiymati bilan va shuningdek kondensator toki  $I_S = U_{yuk}/\omega C$  doimiyligi bilan aniqlanadi. Bundan qo‘rinib turibdiki, yuklama tokining o‘zgarishi bilan transformator  $Tr_T$  kirishidagi vektor toki  $I_{0T}$  vektorlarlarining oxirgi nuqtasi kuchlanish  $U_{yuk}$  ga nisbatan parallel va  $I_S$  masofada bo‘lgan MN chiziq bo‘ylab siljiydi. 20.30,  $a$  - rasmda misol sifatida (punktir chiziqlar bilan) yuklama toki o‘zgarishidagi diagramma keltirilgan.

Boshqaruvsız to‘g‘rilagichli TAI ning xususiyatlarini aniqlash uchun struktura tarkibidagi invertor va to‘g‘rilagichning kuchlanishi  $E$  bilan bog‘lanishlarini ko‘rib chiqamiz.

$$E = q_i U_{yuk} \cos \vartheta \quad (20.16)$$

$$E = q_T \frac{1}{n_T} U_{yuk} \quad (20.17)$$

yoki

$$E = q_i n_i U_{yuk} \cos \vartheta \quad (20.18)$$

$$E = q_T \frac{n_i}{n_T} U_{yuk} \quad (20.19)$$

(20.16 - 20.19) ifodalarda keltirilgan koeffitsiyentlar  $q_i$ ,  $q_T$  to‘g‘rilagichlar uchun (4.8), (4.9) ifodalarda pulsatsiya koeffitsiyenti hisoblanib,  $q = U_{dvm} / U_d$  ifoda bilan aniqlanadi. Birinchi garmonikalar uchun  $q = U_{d1m} / U_d$  har bir to‘g‘rilagich va invertor sxemalari uchun bu

koeffitsiyentlar quyidagicha aniqlanadi: bir fazali noli chiqarilgan va ko‘priksimon sxemalar uchun  $q = 0,9$ ; uch fazali noli chiqarilgan sxema uchun  $q = 1,17$  va uch fazali ko‘priksimon sxemalar uchun  $q = 2,34$ .

Agar invertor va to‘g‘rilagich sxemalari bir - biriga o‘xshagan bo‘lsa  $q_i = q_T$  bo‘lib (20.18) ifodadan

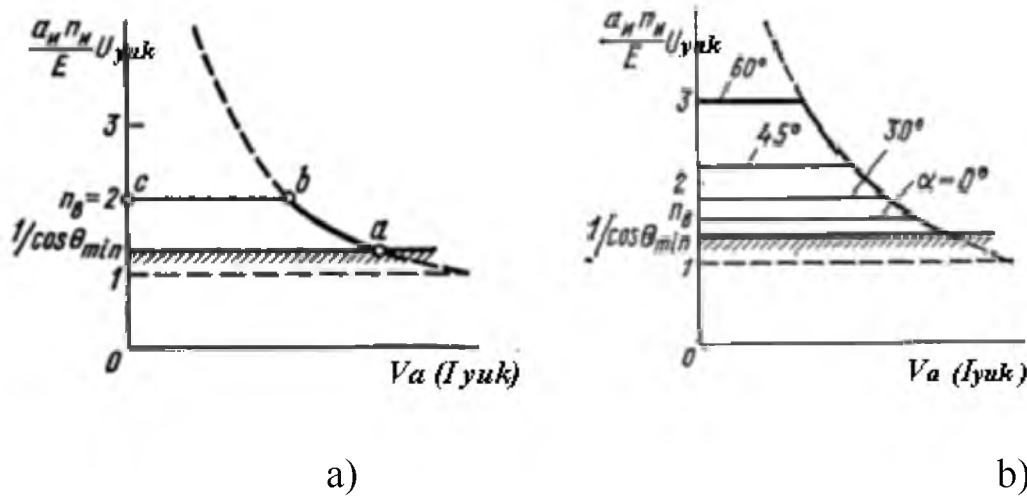
$$\cos \vartheta = I/n_T \quad (20.20)$$

Bu ifodadan invertoring  $\vartheta$  burchagi faqat transformator  $Tr_T$  ning kuchaytirish koeffitsiyenti  $n_T$  ga bog‘liq ekanligi ko‘rinib turibdi. (20.18) ifodaga ko‘ra

$$U_{yuk} = \frac{1}{q_T} \frac{n_t}{n_i} E = \frac{E}{q_i n_i} \frac{1}{\cos \vartheta} \quad (20.21)$$

Ifoda (20.20) asosida,  $\cos \vartheta < 1$  mumkin bo‘lishini inobatga olib, boshqaruvsiz teskari to‘g‘rilagichlarning transformatori faqat pasaytiruvchi koeffitsiyent bilan ishlashida ( $n_T > 1, w_{1T} > w_{1T}$ ) stabillash rejimiga erishish mumkinligi ko‘rinib turibdi.

20.31,  $a$  - rasmda boshqaruvsiz teskari ulangan to‘g‘rilagichli TAI ning tashqi xarakteristikasi keltirilgan.



**20.31 - rasm. Teskari ulangan to‘g‘rilagichli TAI ning tashqi xarakteristikalari: a) boshqaruvsiz to‘g‘rilagich, b) boshqariluvli to‘g‘rilagich.**

Xarakteristikada  $a - b$  intervali TAI ning ishlashidagi tabiiy interval. Bu intervalda TAI ning chiqishidagi kuchlanishi  $U_{yuk}$  kamligi uchun teskari

to‘g‘rilagich yopilgan va invertorning ishida ishtirok etmaydi. Nuqta  $b$  da to‘g‘rilagich ishga tushib, keyinchalik invertorning chiqish kuchlanishi oshishini  $n_T$  darajasida chegaralaydi. Nuqta  $a$  tiristorning yopilish holatini tiklash burchagi  $\vartheta = \vartheta_{min}$  ga to‘g‘ri keladi.

TAI ning strukturasidagi (20.29 - rasm) teskari ulangan to‘g‘rilagich boshqariluvchi bo‘lganida invertorning chiqishida aktiv quvvatdan tashqari reaktiv quvvat ham ishtirok etadi. Reaktiv quvvatning hosil bo‘lishi boshqariluvchi to‘g‘rilagichlarning ( $\alpha \neq 0$ ) qiymatida kirish tokining birinchi garmonikasi kirish kuchlanishidan  $\alpha$  burchakka kechiqishida (20.30,b - rasmdagi diagramma).

Burchak  $\alpha$  ta’sirida to‘g‘rilagichlar uchun yozilgan (20.16) va (20.19) tenglamalar quyidagicha o‘zgarishi mumkin

$$E = q_T \frac{1}{n_T} U'_{yuk} \cos \alpha , \quad (20.22)$$

$$E = q_T \frac{n_i}{n_T} U_{yuk} \cos \alpha . \quad (20.23)$$

(20.19), (20.23) ifodalardan

$$\cos \alpha = n_T \cos \vartheta . \quad (20.24)$$

Bu ifoda asosida boshqariluvchi teskari to‘g‘rilagichlarning qo‘llanishida stabillash bilan birga invertorning chiqish kuchlanishini rostlash rejimiga ham erishish mumkin. Bu rejimda  $n_T$  koeffitsiyenti pasaytiruvchi yoki oshiruvchi ham bo‘lishi mumkin. Koeffitsiyent  $n_T = 1$  bo‘lganida  $\cos \alpha = \cos \vartheta$  va  $\alpha = \vartheta$ .

Invertorning tashqi xarakteristikasi (20.19) ifodaga (20.24) dan topilgan  $\cos \vartheta$  ni qo‘llash bilan aniqlanadi :

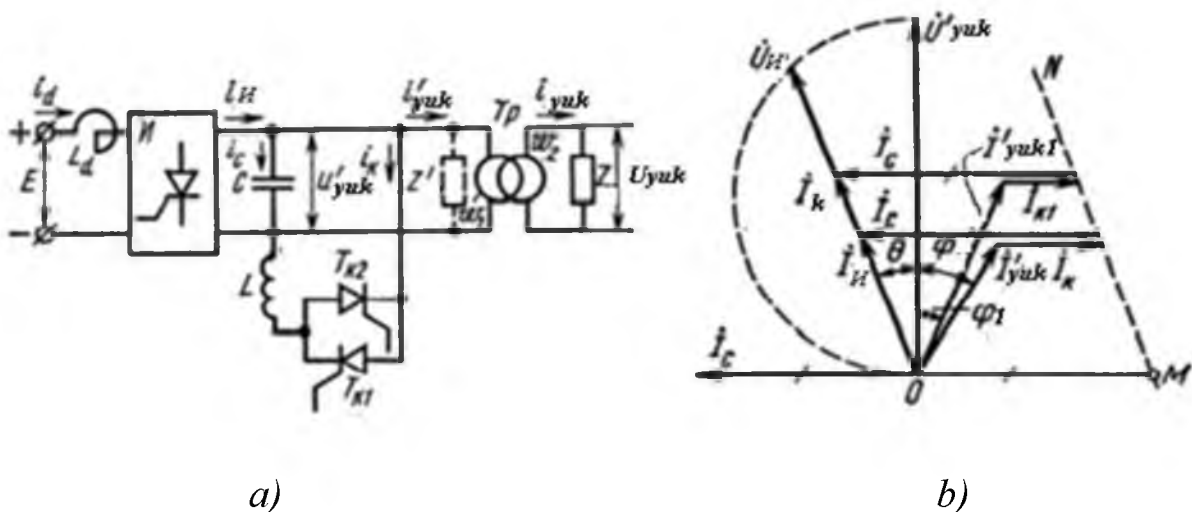
$$\frac{q_i n_i}{E} U_i = \frac{n_T}{\cos \alpha} . \quad (20.25)$$

20.30, b - rasmda invertorning tashqi xarakteristikaning  $\alpha$  burchak o‘zgarishidagi grafigi keltirilgan. Bunda burchak  $\alpha$  oshirilishi bilan stabillash kuchlanishining oshishi keltirilgan.

Stabillash va rostlash rejimlarini bajarishda teskari to‘g‘rilagichlarning o‘rnida induktiv - tiristorli kompensatorlar ham keng qo‘llaniladi.

Kompensatorlarni TAI ning chiqishiga ulanishi va uning vektor diagrammasi 20.32 - rasmida keltirilgan.

Aktiv - induktivlikli TAI ning diagrammasi oldingi keltirilgan diagrammalardan abssissa o‘qiga parallel bo‘lgan  $I_k$  vektorning kiritilishi bilan ajralib turadi. Vektor  $I_k$  kondensator tokining vektori  $I_C$  ga teskari yo‘nalishda harakatlanadi. Bunda yuklama parametrlari va ta’minot manbai teng bo‘lgan holda teskari to‘g‘rilagichlarga nisbatan  $I$  kamayib, tiristorlarning tok bilan yuklanishi kamayadi.



**20.32 - rasm. a) induktiv - tiristorli kompensator ulagan TAI, b) TAI ning vektor diagrammasi**

Kompensatorning stabillash harakati yuklama tokining o‘zgarishida tiristorlar  $T_{k1}$  va  $T_{k2}$  invertor tiristorlarining ochilishiga nisbatan kechikib ochiladi. Natijada kompensatorning ekvivalent induktivligi va tok  $I_k$  o‘zgarib qurchakning va yuklama kuchlanishi  $U'_yul$  ning o‘zgarmas holda saqlanib qolishini ta’minlaydi. Stabillashtirish davomida vektor  $I_k$  ning oxirgi nuqtasi MN chizig‘i bo‘yicha o‘zgaradi.

## 20.9 Uch fazali TAI larning sxemalari va rejimlari

Uch fazali TAI larda  $T_1$  -  $T_6$  tiristorlardan ko‘priksimon sxemasi bo‘yicha yig‘ilgan qurilma 20.33, a - rasmida keltirilgan. Ularning yuklamasi uchburchak yoki yulduz sxemasi bo‘yicha ulanishi mumkin. Rasmida uchburchak yukalamaga kommutatsiyalovchi  $C_A$ ,  $C_B$ ,  $C_C$  kondensatorlarning parallel ulagan sxemasi keltirilgan. Tiristorlarning

ishlash davomi  $120^0$  bo‘lib, har bir ishchi intervalda turli fazalarga tegishli ikkita tiristor ochiq holatda bo‘ladi. 20.33, a - rasmda tiristorlarning tartib raqamlari bo‘yicha ochilish ketma - ketligi 20.33, b – rasmdagi diagrammada keltirilgan. Diagarmmadagi tiristorlarning ishchi juftliklari quyidagicha:

$$T_1 T_2 - T_2 T_3 - T_3 T_4 - T_4 T_5 - T_5 T_6 - T_6 T_1 - T_1 T_2 \dots$$

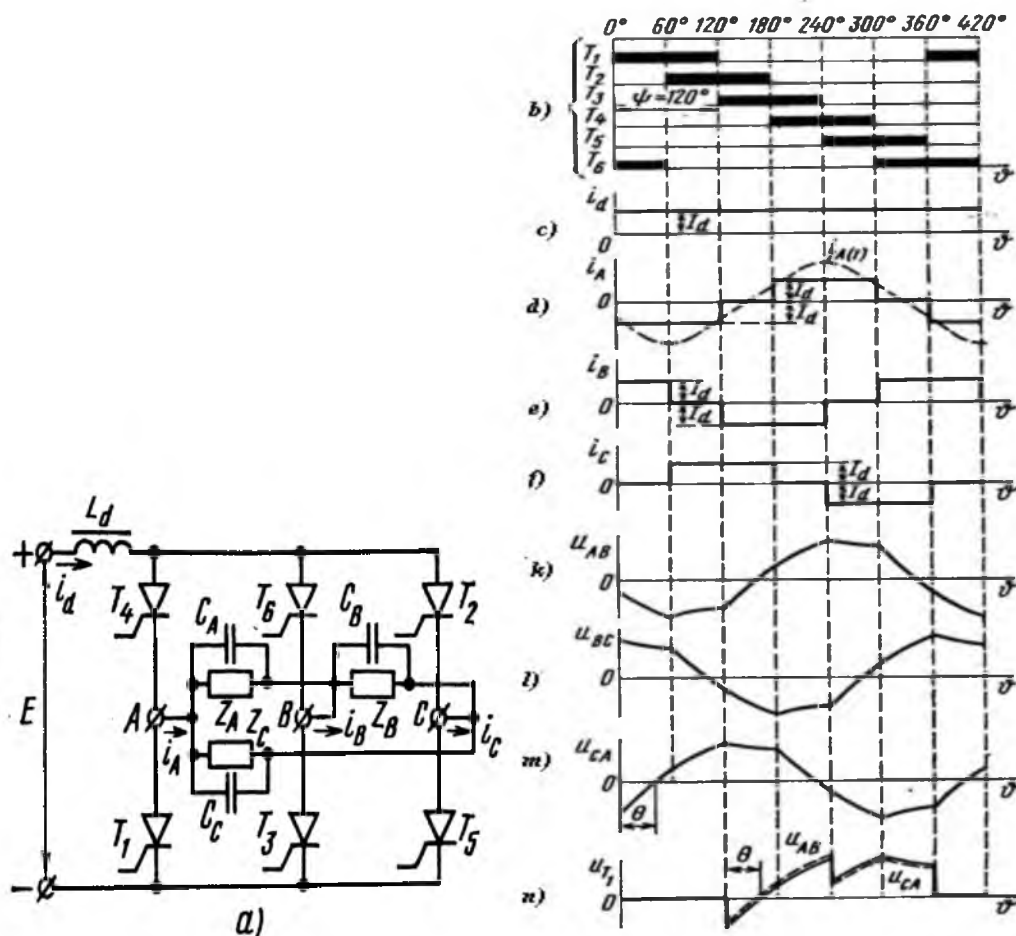
Uch fazali TAI da tiristorlarning ochilishi, bir fazali sxemadagi tiristorlarning ochilishiga o‘xshab, har bir tiristorga ochilish impulsi ishlash intervalining boshlanishida beriladi. Yopilishi esa fazaga ulangan kondensator yordamida shu guruhga tegishli bo‘lgan navbatdagi tiristorning ochilish momentida sodir bo‘ladi. Masalan  $T_1$  tiristorning yopilishi kondensator  $C_A$  yordamida tiristor  $T_3$  ochilish momentida bo‘ladi. Sxemaning ishlash prinsipi 20.33, b - rasmdagi vaqt diagrammasida keltirilgan.

Kirish induktivligi  $L_d = \infty$  deb qabul qilinsa, invertoring kirish zanjiridagi o‘zgarmas tok  $i_d = I_d$  bo‘ladi (20.33, c - rasm). O‘zgarmas tok  $I_d$ , tiristorlar ko‘rsatilgan ulanish ketma - ketligida ishlaganda, o‘zgaruvchan faza toklari  $i_A, i_B, i_C$  o‘zgartiriladi. Faza toklari bir - biriga nisbatan  $120^0$  ga siljigan to‘g‘ri burchak shaklida vujudga keladi (20.33, d-f - rasmla). Davomiyligi  $120^0$  va pauzasi  $60^0$  bo‘lgan chiqishdagi faza tokining birinchi garmonikasining effektiv qiymati quyidagicha aniqlanadi:

$$i_{(I)} = I_{A(I)} = I_{B(I)} = I_{C(I)} = \frac{\sqrt{6}}{\pi} I_d \quad (20.26)$$

Invertoring chiqish kuchlanishlari  $u_{AB}, u_{BC}, u_{CA}$  (20.33, k - m - rasm) kondensatorlar  $C_A, C_B, C_C$  bir davr davomida olti marta qayta zaryadlanishi natijasida hosil bo‘ladi. Olti intervalning har birida keltirilgan tiristorlarning juftliklaridan bittasi ishchi holatda bo‘ladi. Diagrammada ko‘rsatilgan kuchlanishlarning birinchi garmonikasi sinus shakliga yaqin bo‘lganligi sababli uch fazali sxemani qo‘llash bir fazalidan afzalroq hisoblanadi. Har bir yopilgan tiristordagi teskari kuchlanish  $U_{T_1}$  ishlayotgan tiristorning kondensatori orqali unga berilgan kuchlanishi bilan aniqlanadi. Masalan,  $T_1$  tiristorga (20.33, n - rasm)  $120^0 - 240^0$  intervalda tiristor  $T_3$  tok o‘tkazish holatida egri chiziqli kuchlanish  $U_{T_1}$  kondensator  $S_A$

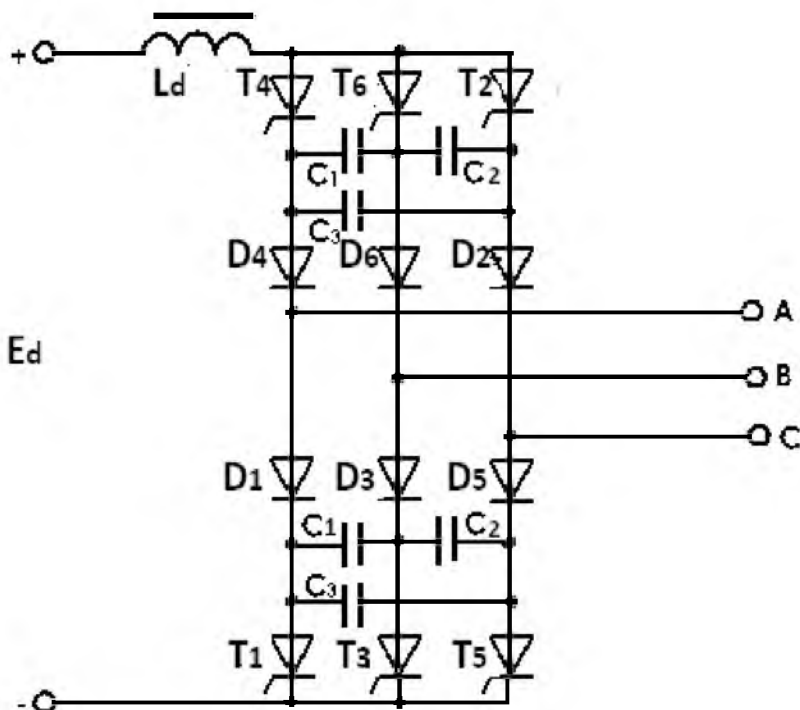
ning kuchlanishi ( $u_{AB}$ ) bilan va interval  $240^\circ$  -  $360^\circ$  tiristor  $T_5$  ishlash davomida kondensator  $S_A$  ning kuchlanishi ( $u_{CA}$ ) bilan aniqlanadi.



**20.33 – rasm. a) uch fazali TAI ning sxemasi; b-u) TAI ning ishlash vaqtி diagrammasи**

Uch fazali va bir fazali TAI larning sxemalarida uzuvchi diodlar qo'llanilishi mumkin ( 20.34 – rasm).

Bu sxemada uzuvchi diodlar  $D1 - D6$  yuqorida (bir fazali TAI larda) ko'rilgan rostlash diapazonini past chastotalar tomoniga kengaytirish vazifasini bajaradi. Bu sxemada ham diodlarning ishlash davomi faqat kommutatsiya intervali bilan chegaralanadi.



**20.34 – rasm. Uch fazali uzuvchi diodli TAI ning sxemasi**

## REZONANSLI AVTONOM INVERTORLAR

### 20.10 Rezonans invertorlarining ishlash rejimlari, xarakteristikalarini va xususiyatlari

Rezonansli avtonom invertorlar (RAI) o‘zgarmas tokni yuqori chastotli o‘zgaruvchan tokka (500 - 1000 Gs dan to 5 - 10 kks gacha va undan ham yuqori) aylantiruvchi qurilmalar. Bu diapazondagi iste’molchilar elektrotermiya bilan bog‘langan obyektlar (metallarni induksion eritish, elektr pechlar asosidagi turli texnologiyalar va h.k.). Bulardan tashqari RAI lar o‘zgarmas tokning sifati oshirilgan o‘zgarmas tokka aylantirish rejimlarida ham ishlashi mumkin.

Odatda RAI bir fazali ko‘priksimon sxemlar va bir operatsion tiristorlar asosida quriladi. RAI larda kondensator yuklamaga parallel yoki ketma-ket ulanishi mumkin. Ulanishiga ko‘ra RAI larning parallel va ketma-ket guruhlari mavjud. Ikkala guruhda ham RAI larning ishlash jarayoni kondensatorlarning tebranuvchi (rezonansli) qayta zaryadlanishiga asoslangan.

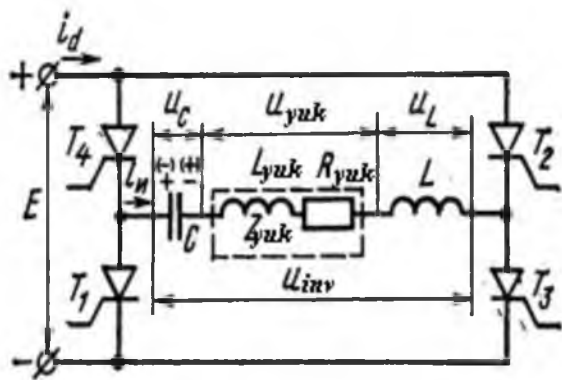
**Parallel RAI lar** (20.26 - rasm) kelitrilgan sxema bo'yicha quriladi, lekin bularda induktivlik  $L_d$  va kondensator  $C$  larni tanlashda kondensatorning qayta razryadlanishi tebranuvchi xarakterga ega bo'lib, tiristorning ishlash chastotasining birinchi yarim davrda tugatilishi talab qilinadi. Shu bilan invertoring chiqishida yarim davrlik kuchlanish hosil bo'ladi. Tiristorlarning navbatdagi juftligi ochilishi bilan kondensatorning tebranuvchi qayta zaryadlanishi teskari yo'nalishga o'tib, chiqish kuchlanishining birinchisiga nisbatan teskari bo'lgan ikkinchi yarim davri hosil bo'ladi. Natijada invertor toki  $i_{nv}$  ikki qutbli impulslar bo'lib, sinusoidaning yarim to'lqinli shaklida va kirish toki  $i_d$  uzlukli bo'ladi. Tebranuvchi konturning chastotasi invertor ishlash chastotasidan yuqori bo'lganligi uchun manfiy va musbat yarimdavrli kuchlanishlar orasida pauza hosil bo'ladi. Agar pauzaning intervali kam bo'lsa, yoki umuman bo'lmasa, unda yuklamaning kuchlanishlari sinus signaliga yaqin deb hisoblanadi.

**Ketma – ket RAI ning** tiristorlar  $T_1 - T_4$  asosida tuzilgan bir fazali ko'priksimon sxemasi 20.35a - rasmda keltirilgan. Sxema diagonaliga aktiv - induktiv yuklamaga ketma - ket ravishda kondensator  $C$  va qo'shimcha induktivlik  $L$  ulangan. Invertoring chiqish tokini  $i_{nv}(t)$  (yuklama toki  $i_{yuk}$ ) hosil qilishda biri biriga yaqin bo'lgan ikkita chastota qo'llaniladi: birinchisi yelka tiristorlarining ochilish chastotasi  $f$ ; ikkinchisi kondensator  $C$  va induktivliklarning ( $L + L_{yuk}$ ) tebranish chastotasi  $f_0$ . Bunda:

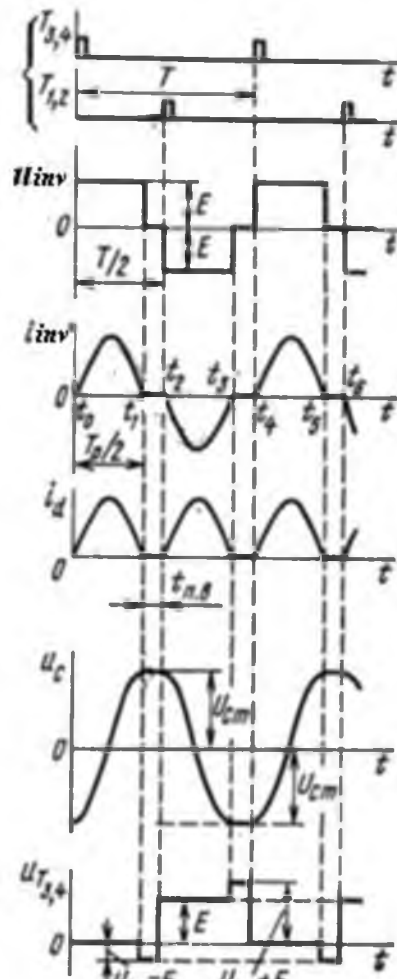
$$f_0 = \frac{1}{2\pi} \sqrt{\frac{1}{(L + L_{yuk})C}} . \quad (20.27)$$

Invertoring ishlash prinsipi diagrammada keltirilgan (20.35 b-rasm).

Diagramma bo'yicha tiristorlar  $T_4 T_3$  ulanishi bilan yuklamadan o'tgan tok ta'sirida diagonaliga ulangan  $(L + L_{yuk})$  va  $C$  reaktiv elementlar tomonidan  $f_0$  chastotali tebranuvchi konturi hosil qilinadi. Tebranishning birinchi yarim davri tugashi bilan tiristorlarning ikkinchi juftligi ulanadi. Invertoring ishlash chastotasi  $f$  tebranish chastotasi  $f_0$  dan kichkina bo'lganligi sababli ( $f_0 > f$ ), kondensatorning qayta zaryadlanish jarayoni navbatdagи tiristorlar juftligi ochilishidan ertaroq tugatilib, yuklama tokida pauza hosil qilinadi.



a)



b)

**20.35 - rasm . a) RAI ning sxemasi, b) ishlash diagrammasi**

Tok pauzasi davomida ishlayotgan tiristorlarga  $(U_{Cm} - E) / 2$  teng bo‘lgan teskari kuchlanish berilib, ularni yopilishga olib keladi. RAI lar ishlashida pauzaning mavjudligi ularning tabiiy kommutatsiya rejimida ishlaydigan qurilmalar safiga kiritadi.

RAI elementlarini hisoblash va tanlash birinchi garmonika usuli asosida o‘tkaziladi. Usulni qo‘llashda pauza davomiyligi nolga teng deb olinib, invertorning chiqish kuchlanishi quyidagicha aniqlanadi:

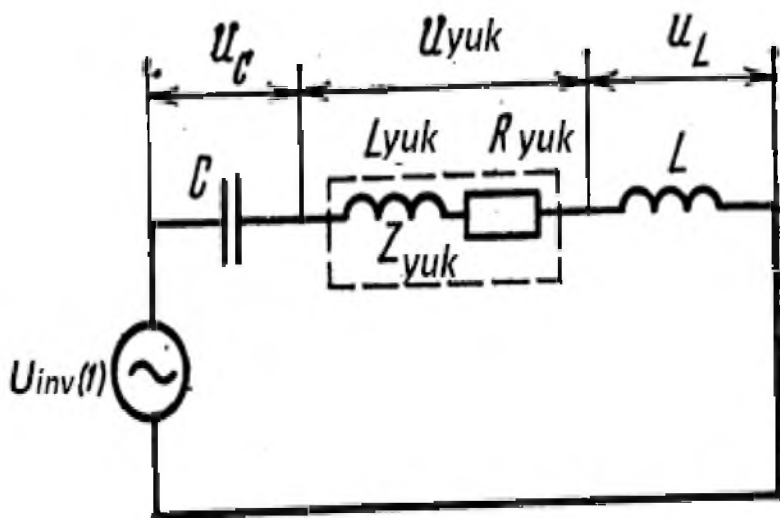
$$U_{yu(1)} = U_{yum(1)} \sin \omega t , \quad (20.28)$$

$$\text{bu yerda } \omega = \omega_0 \sqrt{\frac{1}{(L+L_{yu})s}} \quad \text{va} \quad U_{yum(1)} = 4E / \pi .$$

Birinchi garmonikaning effektiv qiymati

$$U_{yu(1)} = U_{yum(1)} / \sqrt{2} = \frac{2\sqrt{2}}{\pi} E = 0,9 E. \quad (20.29)$$

Bu tenglamadan invertorning chiqish kuchlanishi sinusoidal deb olinib, uning effektiv qiymati  $U_{yu(1)}$  faqat Ye ga bog'liq bo'lgani uchun invertorning real sxemasini sinusoidal kuchlanish  $U_{I(1)}$  bilan ta'minlanuvchi 20.36 - rasmida keltirilgan ekvivalent sxemaga almashtirish mumkin.



### 20.36 - rasm. RAI ekvivalent sxemasi

Chastotalar  $\omega = \omega_0$  bo'lganida invertorning chiqish zanjiri rezonans rejimiga o'tib, induktivlik va kondensatordagi kuchlanishlar teskari fazalarda teng modullar bilan quyidagicha aniqlanadi:

$$U_{Lyuk} + U_L = U_c \quad (20.30)$$

Manba  $U_{inv(1)}$  dan faqat aktiv energiya iste'mol qilinadi. Yuklama  $i_{yuk}$  tokining fazasi kuchlanish  $U_{yuk(1)}$  fazasiga mos bo'lganligi tufayli uning qiymati quyidagicha aniqlanadi :

$$I_{yuk} = I_{nv} = U_{inv(1)} / R_{yuk} \quad (20.31)$$

Reaktiv elementlarning parametrlarini aniqlash uchun 20.30 ifodada ularning bag'lanishi aniqlanadi:

$$\omega(L + L_{yuk}) = 1/\omega C \quad (20.32)$$

yoki

$$C = 1 / \omega^2 (L + L_{yuk}) \quad (20.33)$$

Bu ifodalardan zanjirni quyidagicha berilgan sifat darajasini qo'llash bilan

$$Q = Z_c / R_{yuk} , \quad (20.34)$$

bu yerda  $Z_c = \sqrt{\frac{(L + L_{yuk})}{C}}$  zanjirni xarakteristik qarshiligi, L va C elementlarning parametrlari aniqlanadi

$$C = 1 / \omega Q R_{yuk} \text{ va } L = \frac{Q R_{yuk}}{\omega} - L_{yuk} \quad (20.35)$$

Invertorlarning quvvatiga ko'ra sifat darjasasi  $Q = 2 \dots 10$  sonlar bo'lisi mumkin.

### ***RAI larning tashqi xarakteristikalari***

RAI larning aktiv quvvatlar balansi quyidagicha aniqlanadi:

$$EI_d = U_{yuk} I_{nv} \cos \varphi_{yuk} \quad (20.36)$$

Bu ifoda uchun 20.35b- rasmdagi diagrammadan iste'mol qiluvchi tokini o'rtacha qiymati  $I_d$  bilan invertor tokining effektiv qiymatining  $I_{nv}$  bog'lanishini aniqlab

$$I_d = \frac{2\sqrt{2}}{\pi} I_{inv} , \quad (20.37)$$

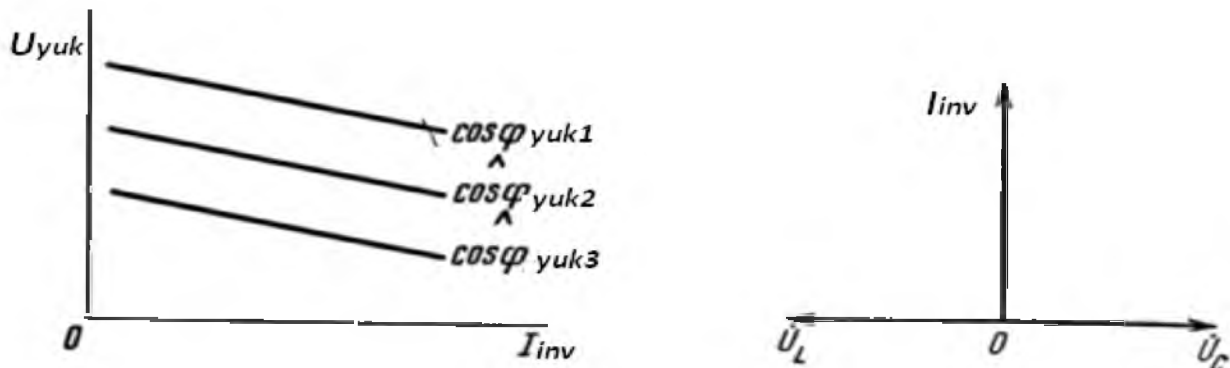
va (20.37) ifodaning (20.36) ga qo'yilishi bilan quyidagi ifodaga kelamiz:

$$U_{yuk} = \frac{2\sqrt{2}}{\pi} E \frac{1}{\cos \varphi_{yuk}} \quad (20.38)$$

Ifoda (20.38) dan ko'rinish turibdiki, ta'minot manbai E o'zgarmagan holda RAI ning kuchlanishi faqat  $\cos \varphi_{yuk}$  qiymatiga bog'liq ekan.

Bu bog'lanish (tashqi xarakteristika) 20.37- rasmda va vektor diagrammasi 20.38- rasmda keltirilgan. Ulardan  $\cos \varphi_{yuk}$  ning qiymati kamayishi bilan RAI ning chiqish kuchlanishi oshirilishi xulosasiga kelish mumkin (20.37 – rasm). RAI larni  $\cos \varphi_{yuk}$  ning muayyan qiymatlarida tashqi xarakteristikasining pasayishi ventillardagi va

drosselning aktiv qarshiligidagi kuchlanish pasayishlari bilan bog'liq bo'ladi.



**20.37-rasm. RAI tashqi tavsliflari**

**20.38-rasm. Qisqa tutashuv rejmidagi RAI vektor diagrammasi**

RAI larning muhim xususiyati – bu ular (KAI va TAI larga nisbatan) yuklananining qisqa tutashuv rejmida ishchi qobiliyatini saqlab qolishidir.

20.38 -rasmda RAI qisqa tutashuv rejmidagi vektor diagrammasi keltirilgan, bunda  $U_L = U_c = I_{nv} \omega L = I_{nv} \frac{1}{\omega C}$ .

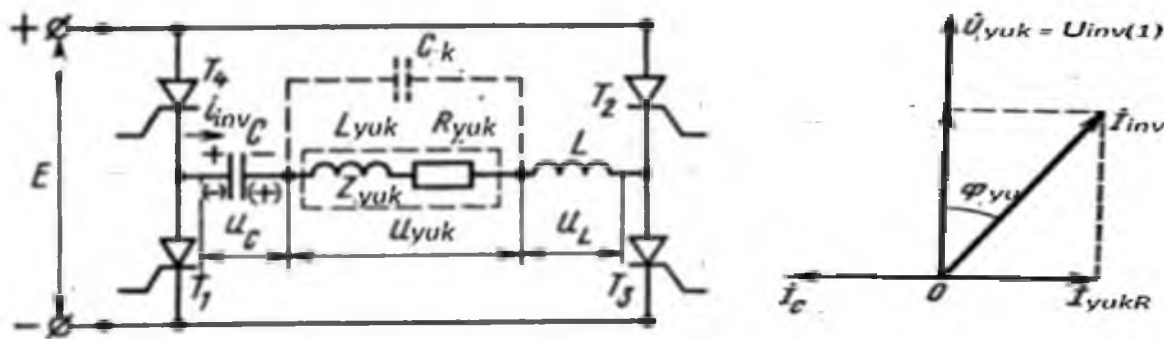
Invertorning toki  $I_{nv} = U_{inv}/R_s$  qiymati  $L$  drosseli chulg'ami va keluvchi simlarning umumiy aktiv qarshiliklari hamda ventillardagi kuchlanish pasayishi tufayli cheklanib, juda katta bo'lishi mumkin.

Yuklama uzilganida (salt rejim) invertor ishlamaydi, chunki bunda chiqish kuchlanishi (toki) shakllanishi to'xtaydi. Bunda invertorni ishchi holatda saqlash uchun uning chiqishiga kam quvvat iste'mol qiladigan ballast rezistori ulanadi.

### ***Reaktiv energiani kompensatsiya qiluvchi RAI***

RAI larni qo'llashdagi ayrim holatlarda yuklama  $L_{yuk}$  katta induktivlikka ega bo'lishi mumkin (masalan, elektrtermik qurilmaning induktori). Shuningdek, yuklamada talab etilgan kuchlanish va quvvatni olishda  $\cos \varphi_{yuk}$  kichik qiymatlari tufayli tiristorlari tok va kuchlanish bo'yicha optimal qo'llanmasligi mumkin. Ushbu muammoni hal qilish uchun  $L_{yuk}$  bilan rezonansga moslangan kondensator yuklamaga parallel ulanadi (20.39

– rasm). Bundan tashqari parallel ulangan kondensator kuchlanish  $u_{yu}$  shaklining sinusoidaga yaqin bo‘lishiga sabab bo‘ladi.



**20.39 – rasm. Yuklamaga parallel ulangan kompensatsiyalaydigan kondensatorli RAI sxemasi.**

**20.40 – rasm. Yuklamaga parallel ulangan kompensatsiyalaydigan kondensatorli RAI sxemasining vektor diagrammasi**

Shunday qilib, invertoring chiqish zanjiri bir xil  $\omega = \omega_0$  chastotaga moslangan ikkita rezonans konturdan tashkil topadi. Bunda tebranuvchi konturlardan biri ( $L - C$ ) ketma-ket, ikkinchisi esa ( $L_{yuk} - R_{yuk} - C_k$ ) parallel kontur bo‘ladi. 20.40 – rasmda parallel tebranuvchi kontur uchun vektorli diagramma keltirilgan.

Rezonans paytida ketma-ket tebranuvchi konturda  $u_c$  va  $u_L$  kuchlanishlar o‘zaro teng  $u_c = u_L$  va qarama qarshi fazada bo‘lganligi tufayli parallel tebranuvchi konturga va yuklamaga  $u_{yuk} = u_{yuk(1)}$  kuchlanishi beriladi. Parallel tebranuvchi konturda esa rezonans paytida toklarning reaktiv qismlarining o‘zaro tengligi  $I_{c,k} = I_{yur}$  vujudga keladi va shu tufayli invertoring toki yuklama tokining aktiv qismi  $I_{nv} = I_{yuk,a} = I_{yuk} \cos \varphi_{yuk}$  bo‘yicha aniqlanadi. Yuklananing toki esa quyidagi ifoda bo‘yicha aniqlanadi :

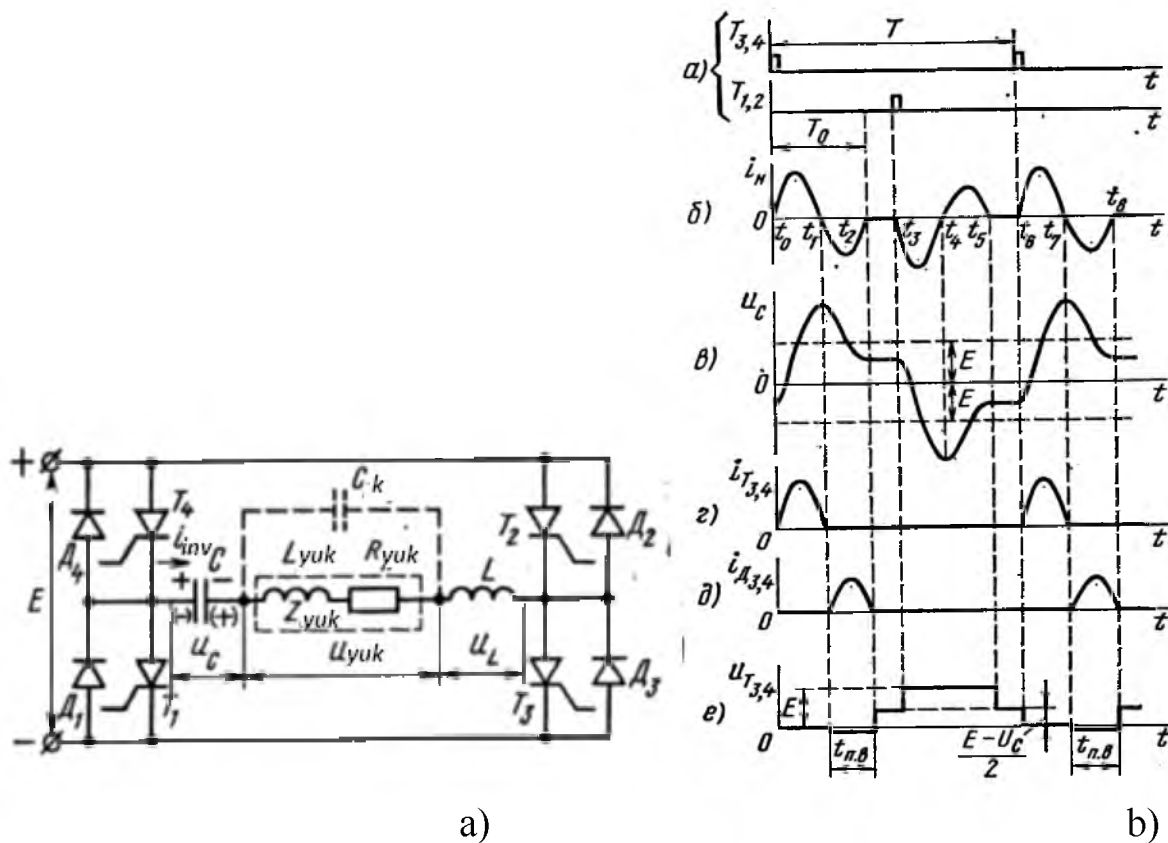
$$I_{yuk} = \frac{U_{yuk(1)}}{\sqrt{(\omega L_{yuk})^2 + R_{yuk}^2}} \quad (20.39)$$

Olingan ifodalarning ko‘rsatishi boyicha kompensatsiya jarayoni invertor toki  $I_{nv}$  va tiristorlar toklarini kamaytirishga olib keladi va bu esa o‘z o‘rnida sxemaga beriladigan kuchlanishning qiymatini hamda o‘zgartkichning FIK oshirishga imkoniyatini beradi. Shunday qilib,

erishiladigan ijobiy natijaga ko'ra kompensatsiyalash usuli o'zgaruvchan tokli yuklamalarni ta'minlashda pasaytiruvchi transformator rejimida ishlashi mumkin.

## 20.11. Teskari ulangan diodli RAIlar

Yuqorida ko'rib chiqilgan RAI sxemasida ishlayotgan tiristorlarning yopilishi yuklama toklarining pauza intervalida bajariladi deb ko'rsatilgan. Tebranish chastotasi oshgan sari yuklama toklarning pauza intervali kattalashadi va tok  $i_{yuk}(t)$  davning katta qismini egallaydi va shu sababli  $i_{yuk}(t)$  ning shakli sinusoidadan katta farq qiladi. Yuqori chastotalar (2-10 kks gacha) sohasiga o'tish mobaynida invertorning ko'rsatkichlarini yaxshilash uchun 20.39 - rasmida keltirilgan invertorning sxemasiga teskari diodlar kiritiladi. Teskari ulangan diodli RAI sxemasi 20.41,a – rasmida va islashidagi vaqt diagrammasi 20.41, b –rasmda keltirilgan.



**20.41 – rasm. a) RAI ning cxemasi, b) uzlukli tok rejimida ishlayotgan invertorning vaqt diagrammalari**

Sxemaga drossel  $L$  ikki holatda kiritilishi mumkin:  $L_{yuk}$  qiymati kichik bo'lib, kondensator  $C_k$  kiritilmaganida hamda va  $L_{yuk}$  qiymati katta bo'lib, kondensator  $C_k$  kiritilganida.

Sxemada o'tadigan jarayonlarning xususiyati – diagonal tiristorlari ochilishining har bir taktida yuklama toki ikkita yarimto'lqin shaklidan iborat bo'lganligi. Birinchi yarimto'lqin - rezonans konturining tebranishidagi birinchi yarimto'lqini yuklama tasiri natijasida hosil boladi (bu etapda kommutatsiya kondensatori zaryadlanadi) va ikkinchisi - konturining tebranishining ikkinch yarimto'lqin tasirida hosil boladi (bu etapda ulangan teskari diodlar orqali kommutatsiya kondensatori qayta zaryadlanadi). Diagrammada (20.41b -rasmda) keltirilishi bo'yicha  $t_0 - t_1$  intervalda birinchi yarimto'lqin va  $t_1 - t_2$  etapda ikkinchi yarimto'lqinli toklarni tiristorlarning bir takt ishslash davomida vujudga kelishi ko'rsatilgan. Interval  $t_2 - t_3$  da pauza hosil bo'lib, manba toki uzlukli bo'ladi.

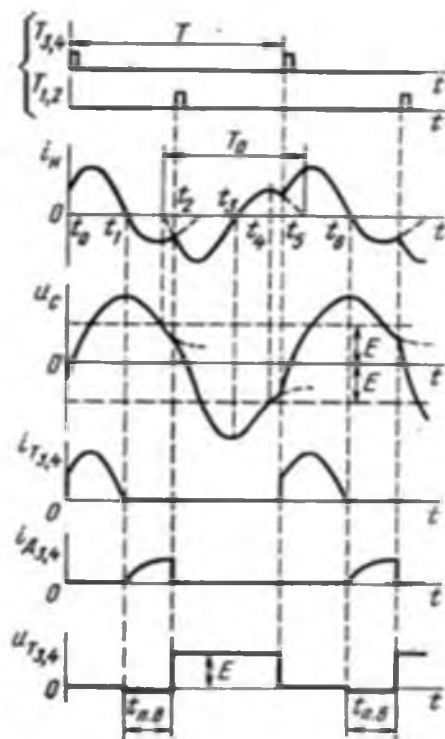
Suni aytib o'tish kerakki, diodsiz sxemalarda rezonans tebranuvchining yuklamaga faqat birichi yarim to'lqin tasirini o'tkazadi va ularda ham pauza intervali hosil boladi (20.35,b -rasm). Ammo, rezonans konturining tebranish chastotasi invertoring ishslash chastotasiga yaqin bo'lganligi tufayli pauza intervali chiqish parametrlarining sifatiga ta'siri kam bo'ladi.

Yuqorida keltirilgan fikrlar bo'yicha pauza intervalining xususiyatlari ko'ra invertor ikki xil rejimda ishlashi mumkin: yuklama toki uzlukli va uzlusiz xarakterga ega bo'lganida.

**Uzlukli tok rejimi** chastotalar qiymati  $\omega_0 > 2\omega$  bo'lganida sodir bo'ladi. Bunda  $\omega_0 = 2\pi/T_0$  chiqish zanjirining rezonans chastotasi va  $\omega = 2\pi/T$  invertoring chiqish-chastotasi. RAI ning bu rejimda ishlash diagrammasi 20.41,b – rasmda keltirilgan. Diagrammada invertoring birinchi taktda ishlashi  $T_3$  va  $T_4$  tiristorlar  $t_0$  ochilish momentidan boshlab  $t_3$  momentidacha davom etadi. Bunda  $t_0 - t_1$  davomida tiristorlar  $T_3$   $T_4$ ,  $t_1 - t_2$  davomida diodlar  $D_3$   $D_4$ ,  $t_2 - t_3$  - pauza, va  $t_3$  dan boshlab ikkinchi taktda jarayonlar teskari ravishda takrorlanadi. Moment  $t_3$  dan  $T_1$  va  $T_2$  tiristorlari ochiladi va kondensatorning qayta zaryadlanish jarayoni sodir bo'ladi:  $t_3 - t_4$  intervalida  $T_1$  va  $T_2$  tiristorlari ochiq paytida va  $t_4 - t_5$  intervalida  $D_1$  va  $D_2$  diodlardan

tok o'tganida. Bunda  $T_3$  va  $T_4$  tiristorlarga to'g'ri yo'nalishda  $T$  kuchlanish beriladi. Keyinchalik sxemada jarayonlar qaytariladi.

**Uzluksiz rejimda** invertor ishlashini ta'riflovchi vaqt diagrammalari 20.42- rasmlarda keltirilgan. Bu rejimda chiqish zanjirining rezonans chastotasi va boshqarish impulslarining kelish ketma-ketligining



**20.42 – rasm. Uzluksiz rejimda invertor ishlashini ta'riflovchi vaqt diagrammalari**

(chastotasining ) o'zaro bog'liqligi  $\omega_0 < 2 \omega$  yoki  $T_0 > T/2$  bo'ladi. Bunda navbatdagi tiristorlarning ochilishi teskari diodli zanjirda kondensatorning qayta razryadlanishi tugagunigacha amalga oshiriladi. Shuning uchun yuklama toki va kondensator kuchlanishining shakllari sinusoidaga yaqin bo'ladi (20.42 – rasmlar). Tiristorlarni o'tkazish intervali tugaganidan so'ng ularning yopilishini ta'minlovchi kerakli sharoitlar teskari diodlar tok o'tkazadigan paytda ularda hosil bo'lган kuchlanish hisobiga amalga oshiriladi.

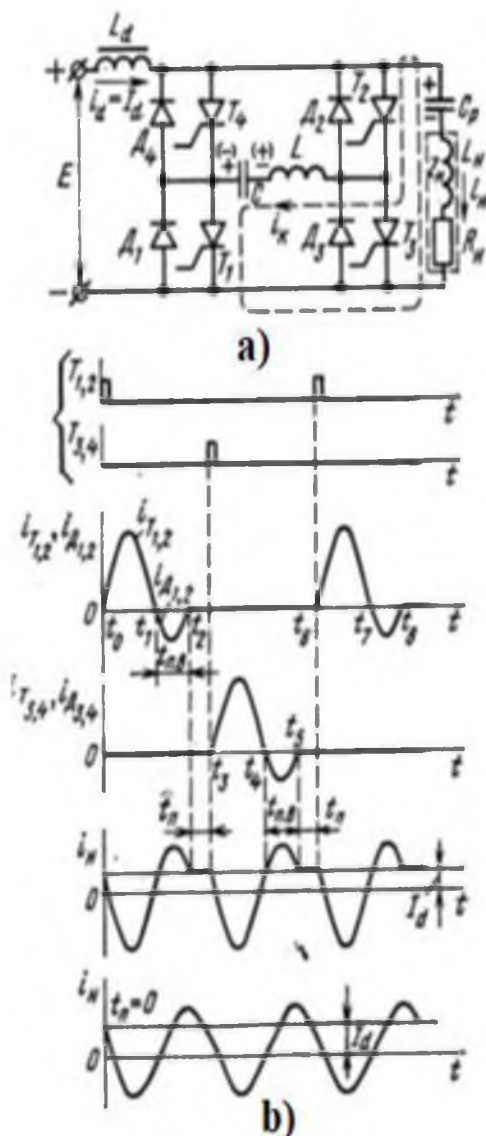
Yuklama toki  $i_{yuk}(t)$  shakli sinusoidaga ancha yaqin bo'lganligi va tiristorlarning tok bo'yicha yaxshiroq ishlatilganligi tufayli yuklama tokining uzluksiz rejimi amaliyotda keng qo'llaniladi.

## 20.12. Chastotani ikki barobar ko‘paytiruvchi RAI lar

Chastota bo‘yicha RAI qo‘llashdagi cheklashlarga sabab, ularni tiristorlari ochilish-yopilish davridagi isrofliklar quvvati ko‘payib ketishida hamda tiristorlarning o‘chirish vaqtini qisqaligida.

Ishchi chasotasini ko‘patirishning samarali usullaridan biri – bu invertor tiristorlarini ochilish-yopilish chastotasi  $f_1$  va yuklama tokining chastotasi  $f$  quyidagi ifoda bo‘yicha  $f = 2 f_1$  o‘zaro bog‘liqligini ta’minlash. Bunday rejimda chastotani ikki barobar ko‘paytiruvchi RAI lar ishlaydi.

20.43, a – rasmida chastotani ikki barobar ko‘paytiruvchi RAI sxemasi keltirilgan.



20.43 – rasm. Chastotani ikki barobar ko‘paytiruvchi RAI sxemasi (a) va uning vaqt diagrammalari

Sxema tarkibini  $T_1 - T_4$  tiristorlar va  $D_1 - D_4$  diodlar asosidagi invertorli ko‘prik,  $S$  kondensator va ko‘prik diagonaliga ulangan  $L$  drossel tashkil etadi. Ko‘prikning ikkinchi diagonaliga  $C_p$  bo‘luvchi kondensator orqali aktiv-induktiv yuklama  $Z_{yu}$  ulangan. Bunda  $C$  va  $C_p$  kondensatorlarning sig‘imi teng bo‘ladi. Invertorning o‘zgarmas tok zanjirida silliqlovchi drossel  $L_d$  joylashtiriladi. Uning induktivligi  $L$  va  $L_{yuk}$  induktivligidan katta bo‘ladi. Sxemada kechadigan jarayonlarni ifodalaydigan vaqt diagrammalari 20.43 b rasmlarda keltirilgan.

Sxemaning ishlash prinsipi  $T_1$ ,  $T_2$  va  $T_3$ ,  $T_4$  tiristorlarining navbat bilan ishlashida  $C$  kondensatorni va  $L$  drosselini invertorning chiqish zanjiriga parallel ularshiga asoslangan. Yuklamadagi  $i_{yuk}(t)$  tokining qiymati invertorning ochiq tiristorlar konturidagi ta’midot manbaining toki ( $i_d = I_d$ ) va  $C$  va  $C_p$  kondensatorlarning qayta razryadlanish tokining o‘zaro ayirmasiga teng bo‘ladi. Tiristorlar  $T_1$  va  $T_2$  ochiq holatida  $t_0$  momentidan boshlab  $i_{yuk}$  tokini yarimto‘lqinining shakllanishi  $Z_{yu}$  yuklama va  $L$  drosselar kiradigan zanjirda  $C$  va  $C_p$  kondensatorlarning tebranuvchi qayta zaryadlanish konturi bilan bog‘liq bo‘ladi (qayta zaryadlanish konturi 20.43, a – rasmda punktir chiziq bilan ko‘rsatilgan). Qayta zaryadlanishdan avvalgi  $C$  kondensatori kuchlanishining qutbliligi sxemada qavssiz ko‘rsatilgan. Qayta zaryadlanish jarayoni ikki bosqichda o‘tadi. Birinchi bosqichda ( $t_0 - t_1$  intervalida) tebranuvchi konturining toki  $i_k$  tiristorlar  $T_1$  va  $T_2$  orqali o‘tishi bilan bog‘liq bo‘ladi. Ikkinci bosqichda esa  $i_k$  tokining yo‘nalishi o‘zgorganida tiristorlarni shuntlovchi  $D_1$  va  $D_2$  diodlardan o‘tishi bilan bog‘liq. Yuklama zanjiriga kondensatorlar tomonidan energiyaning berilishi tufayli qayta zaryadlanish jarayoni so‘ndiriluvchi xarakterga ega bo‘ladi. Shuning uchun teskari diodlar orqali  $i_k$  tokining o‘tish bosqichida uning amplitudasi kamayadi.  $t_1 - t_2$  intervalida avval ishchi holatida bo‘lgan tiristorlar  $T_1$  va  $T_2$  yopilishi uchun kerakli sharoitlar yaratiladi. Tiristorlarga  $D_1$  va  $D_2$  diodlardagi kuchlanish pasayishiga teng bo‘lgan teskari kuchlanish beriladi.  $t_2 - t_3$  intervalida invertorning tiristorlari yopiq bo‘ladi. Bu intervalda yuklama tokining qiymati  $C_p$  kondensatorlarning zaryadlanish toki  $i_d = I_d$  bilan aniqlanadi.  $t_0$  momentidan boshlab  $i_{yuk}$  tokini yarimto‘lqinining shakllanishiga  $T_3$  va  $T_4$  tiristorlarining ochilishi sabab bo‘ladi va  $C$  va  $C_p$  kondensatorlarning qayta zaryadlanish jarayoni bilan bog‘liq bo‘ladi. Qayta zaryadlanishdan avvalgi  $C$

kondensatori kuchlanishining qutbliligi 20.43,a – rasmida qavs ichida ko‘rsatilgan. Keyinchalik sxemadagi jarayonlar qaytariladi.

Invertorning ko‘rib chiqilgan ushbu rejimi  $C - L$  konturidan oqayotgan  $i_k$  tokida pauza intervallari  $t_p$  mavjudligi bilan xarakterlanadi.

Yuklama  $i_{yuk}(t)$  toki shaklini sinusoidaga yaqinlashtirish uchun kontur elementlarining  $t_p = 0$  holati bo‘yicha tanlanadi. Bunga erishish uchun chastotalar nisbati  $f = 2f_0$  teng qilib olinadi. Bu ifodada

$$f_0 = \frac{2\pi}{\sqrt{(L_{yu}+L)\frac{ss_r}{s+s_r}}} \quad (20/40)$$

Ko‘rib chiqilgan sxemani muhim xususiyati – bu sxemaning chiqish zanjirida qisqa tutashuv rejimi bo‘lsa, shuningdek ballast qarshiligi mavjudligida salt rejimida ham ishchi holatini yo‘qotmasligidir.

### **Nazorat savollari**

- 1) KAI larning qanaqa tiplarini bilasiz?
- 2) KAI larda teskari ulangan diodlarning vazifasi nimalardan iborat?
- 3) KAI larning rostlash uaullarini ta’riflang;
- 4) IKR va IKM rostlash metodlarini farqi nimada?
- 5) KAI arning  $120^0$  va  $180^0$  ishlash rejimlaridagi ventillarning ulanish ketma- ketligini ta’riflang;
- 6) Ikki pog‘onali kommutatsiya rejimini ta’riflang;
- 7) Uch fazali KAI ning tashqi xarakteristikasini ta’riflang.
- 8) TAI larda qo‘llaniladigan  $L_d$  va  $C_k$  elementlarning fazifasini ta’riflang;
- 9) TAI larda uzuvchi diodlar nima vazifani bajaradi?
- 10) TAI larda chastota diapazonini kengaytirish uchun qanaqa chegaralar ko‘riladi?
- 11) Uch fazali TAI larda  $C_k$  qanday ulanadi?
- 12) TAI larda boshqariluvchi elektron asboblari qo‘llanishi mumkinmi?
- 13) TAI larda teskari ulangan diodlar qo‘llanishi mumkinmi?
- 14) RAI larda rezonans chastotasi bilan invertorning ishlash chastotasi teng bo‘lishi mumkinmi?
- 15) Parallel va ketma-ket rezonansli RAI larning farqi nimada?

## O'ZGARMAS KUCHLANISH O'ZGARTKICH QURILMALARI (DC – DC O'ZGARTKICHLAR )

### 21.1. O'zgarmas kuchlanishning impulsli o'zgartkichlari

O'zgarmas kuchlanish o'zgartkichlarining (O'KO') asosiy vazifasi - bu bir qiymatli o'zgarmas kuchlanishni boshqa qiymatli o'zgarmas kuchlanishga o'tkazish. Bu vazifani bajaruvchi o'zgarmas kuchlanishning o'zgartkichlari sanoat elektronika qurilmalarida *DC – DC* sinfiga kiradi. Ishlash rejimi bo'yicha O'KO' lar parametrik va impuls rejimida ishlovchi qurilmalarga ajratiladi. Parametrik qurilmalarning rejimlari ularning ichki parametrlariga va elementlarining xususiyatlariga asoslanadi. Ko'pincha ular analogli elementlar bazasida tuziladi. Hozirgi vaqtida o'zgartkichlarning foydali ish koeffitsiyentini oshirish maqsadida impuls rejimida ishlaydigan O'KIO' qurilmalari keng qo'llanmoqda. Odatiy vazifalarni bajarishda ular uchta turga ajratiladi: birlamchi manbani pasaytiruvchi, oshiruvchi va inverslovchi impulsli O'KIO' qurilmalari.

**Pasaytiruvchi O'KIO'** larning sxemasi 21.1, *a* - rasmida va ishlash diagrammasi 21.1,*b* - rasmlarda keltirilgan. Diagrammani tuzishda tranzistor va diodning ideal xarakteristikalari qo'llanilgan, kondensator  $C_f = \infty$ , va yuklamaning toki uzlusiz deb olingan. Sxemaning ishlashini quyidagicha ta'riflash mumkin: *VT* tranzistor  $t_1$  momentda ochilishi bilan diod *VD* yopiladi va yuklamaga ta'minot manbaining kuchlanishi ulanadi. Moment  $t_2$  dan boshlab tranzistor yopilishi bilan induktivlik  $L_{yuk}$  kuchlanishi ishorasining keskin o'zgarishi hisobiga diod *VD* ochiladi va  $L_{yuk}$  yig'ilgan energiya diod orqali yuklamaga ulanadi. Moment  $t_3$  dan boshlab jarayonlar takrorlanadi.

O'KIO' ning chiqishdagi kuchlanishini rostlash tranzistorning ochilgan holatini o'zgartirish bilan bajariladi. Ya'ni, o'zgartkichni impulsli rostlash yuklamaga beriluvchi impulsarning chastotasi saqlanib qolib, ularning kengligini o'zgartirish bilan bajariladi. O'KIO' larda bu usul impuls kengligini rostlash (IKR) usuli deb aytildi (o'zgaruvchan toklar uchun bu metod 5.2- paragrafda keltirilgan).

IKM usulidan tashqari o‘zgarmas tok qurilmalarida chastota impulsli modulyatsiya usuli (ChIM) ham qo‘llanishi mumkin. Bu usulda impulslarning kengligi va davri o‘zgarmasdan chiqishdagi kuchlanishlarning o‘rtacha qiymati impulslarning chastotasini o‘zgartirish bilan o‘zgartiriladi.

O‘KIO‘ larning IKR usuli qo‘llanishdagi chiqish toki va kuchlanishning  $t_i$  bilan bog‘lanishini ko‘rib chiqamiz.

Qancha impulsning kengligi ( $t_i$ ) uning davriga ( $T$ ) nisbatan katta bo‘lsa, shuncha yuklamaning o‘rtacha kuchlanishining qiymati  $U_{yuk}$  katta bo‘lishi kutiladi.

$$U_{yuk} = \gamma U_d, \quad (21.1)$$

bunda:  $\gamma$  – impuls kengligi davriga nisbatan bo‘lgan to‘ldirish koeffitsiyenti.

$$\gamma = \frac{t_i}{T}. \quad (21.2)$$

Ifoda (21.2) da koffitsiyent  $\gamma < 1$  bo‘lgani uchun bu turdagи o‘zgartkichlar pasaytiruvchi o‘zgartkichlar vazifasini bajaradi.

Nisbatan birlklarda pasaytiruvchi O‘KIO‘ rostlagich xarakteristikasi quyidagicha aniqlanadi:

$$\frac{U_{yuk}}{U_d} = \gamma. \quad (21.3)$$

Agar ventillar ideal elementlar deb olinsa, unda ularning foydali ish koeffitsiyenti birga teng bo‘lib, manbadan iste’mol qilinuvchi quvvat yuklamada sarf qilinuvchi quvvatga teng bo‘ladi va quyidagi tenglama o‘rinli

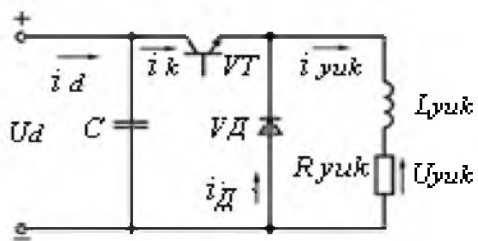
$$U_{yuk} I_{yuk} = U_d I_d. \quad (21.4)$$

bunda:  $I_d$ ,  $U_d$  - ta’minot manbaidan istemol qilinuvchi tok va manba kuchlanishi:  $I_{yuk}$ ,  $U_{yuk}$  - yuklama toki va yuklama kuchlanishi.

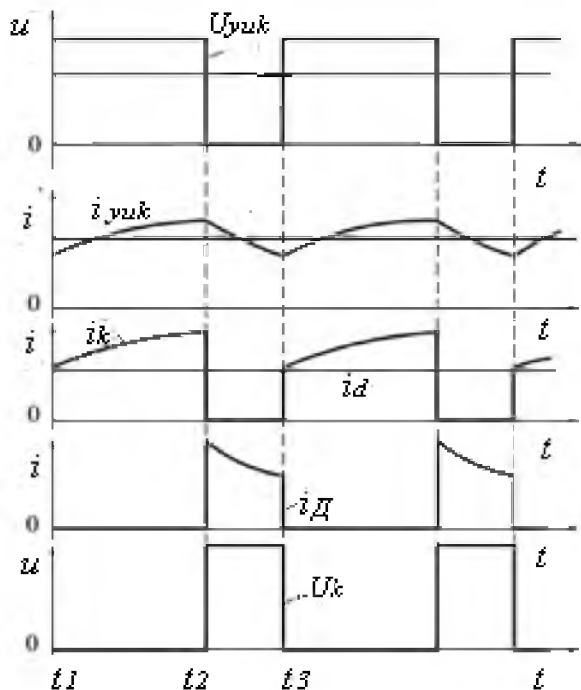
(21.3) va (21.4) ifodalarga ko‘ra yuklama toki quyidagicha aniqlanishi mumkin:

$$I_{yuk} = I_d \frac{U_d}{U_{yuk}} = \frac{I_d}{\gamma}. \quad (21.5)$$

Pasaytiruvchi o‘zgartkichlarda (21.3) ifodadan rostlash diapazonida koeffitsiyent  $\gamma$  oshishi bilan yuklama kuchlanishi oshishi va (21.4) dan yuklama tokining kamayishi ko‘rinib turibdi.



a)

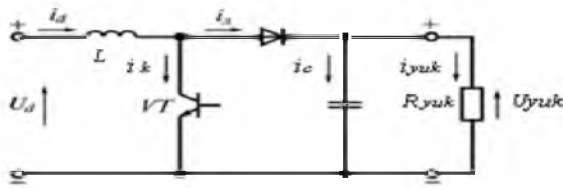


b)

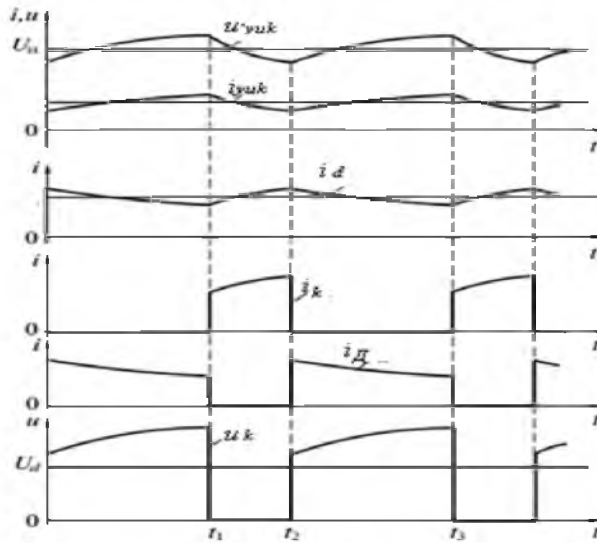
**21.1- rasm. Pasaytiruvchi O'KIO': a) sxemasi; b) vaqt diagrammasi.**

**Oshiruvchi O'KIO'** sxemasi 21.2,a – rasmda keltirilgan. Sxemaning ishlashida  $t_1$  momentda tranzistor  $VT$  ochiladi va drossel  $L$  dan tok o'tib boshlaydi. Tranzistor yopilishi bilan  $t_2$  momentda ta'minot manbai kuchlanishi  $U_d$  va induktivlik  $L$  da o'zinduksiyaning ta'sirida yig'ilgan EYuK ning yig'indilari hisobiga ventil  $VD$  orqali kondensator  $C_k$  zaryadlanadi va ta'minot manbaidan iste'mol qiluvchi tok pasayadi.

Moment  $t_3$  dan boshlab jarayonlar takrorlanadi. Bu sxemani pasaytiruvchi sxemadan farqi shundaki, tranzistorning har bir navbatdagi ochilishida yuklamaga ta'minot manbai kuchlanishidan tashqari induktivlikda yig'ilgan EYuK ham qo'shiladi. Natijada O'KIR yuklama kuchlanishini faqat oshirishga ishlaydi.



a)



b)

## 21.2- rasm. Oshiruvchi O'KIO‘ va uning ishlash diagrammasi

Shunday qilib,  $t_i$  - impuls davomida tok  $i_d$ , tranzistordan o‘tish natijasida induktivlikda energiya yig‘iladi. Keyinchalik,  $T - t_i$  intervalida tok  $i_d$  diod orqali kondensatorni zaryadlab, yuklamadan o‘tadi. Tok  $i_d$  ning o‘zgarmas qismi kondensatordan o‘tmaganligi uchun yuklamadan o‘tuvchi tokning o‘rtacha qiymati quyidagicha aniqlanadi:

$$I_{yuk} = I_d \frac{T-t_i}{T} = I_d (1 - \gamma). \quad (21.6)$$

Kirish va chiqishdagi quvvatlarining tengligi inobatga olinsa, (21.4-ifoda) quyidagi ifodani yozish mumkin:

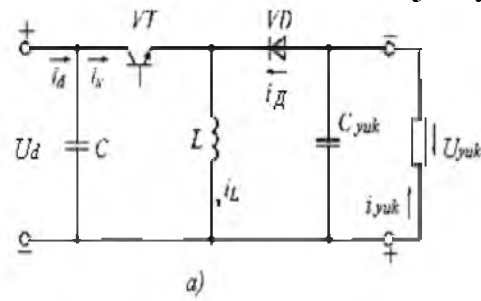
$$U_{yuk} = \frac{1}{1-\gamma} U_d. \quad (21.7)$$

Bunda, nisbiy birliklarda, rostlash xarakteristikasining tenglamasi

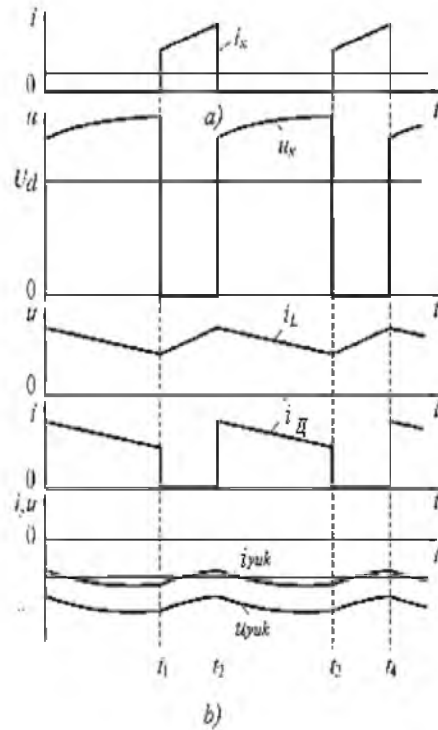
$$\frac{U_{yuk}}{U_d} = \frac{1}{1-\gamma}. \quad (21.8)$$

Ifoda (21.8) dan yuklama kuchlanishini cheksiz oshirish imkoniyati ko‘rinib turibdi. Ammo, koeffitsiyent  $\gamma$  – ni oshirish bilan drosselda sarf qilinadigan energiya ham oshadi va shu sababli amalda yuklama kuchlanishini cheksiz oshirish mumkin emas (tavsiya qilinishicha 3 - 4 marotaba oshirish mumkin).

**Inverslovchi O‘KIO‘** ning sxemasi va ishlash diagrammasi 21.3 - rasmda keltirilgan. Sxemaning ishlash jarayonida moment  $t_1$  da tranzistor ochiladi va induktivlikdan tok o‘tishga boshlaydi. Moment  $t_2$  da tranzistor yopiladi va induktivlik kuchlanishining ishorasini keskin o‘zgartiradi. Bu ishora manba ishorasiga teskari bo‘lib, diod  $VD$  ochiladi va induktivlik  $L$  da yig‘ilgan energiya  $L, C, VD$  zanjirdan tok o‘tadi. Interval  $t_1 - t_2$  da kondensator  $C$  zaryadlanishi bilan R-yuklamada manbaga nisbatan teskari (inverslangan) kuchlanish qo‘yiladi. Natijada o‘tayotgan tok pasayadi. Moment  $t_3$  dan boshlab jarayonlar takrorlanadi.



a)

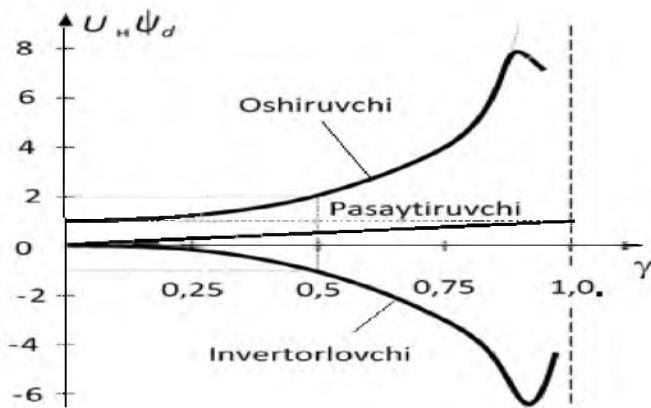


b)

**21.3 - rasm. Invertorlaydigan O‘KIO‘ sxemasi (a) va uning ishlash diagrammasi (b).**

Bu O'KIO uchun nisbiy birliklarda rostlash tenglamasini quyidagicha keltirish mumkin:

$$\frac{U_{yuk}}{U_d} = \frac{\gamma}{1-\gamma} . \quad (21.9)$$



**21.4 – rasm. O'KIO' larning asosiy turlari uchun tuzilgan rostlash xarakteristikalari**

## 21.2 O'zgarmas kuchlanishni reversiv o'zgartkichlari

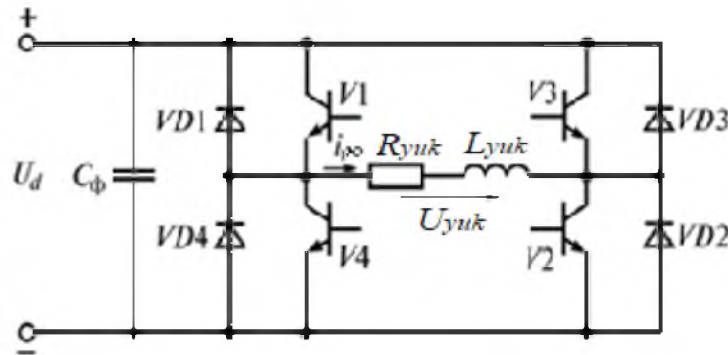
Elektr yuritmalarda reversiv O'KIO' yuklamaga berilgan kuchlanishning qiymatini o'zgartirish bilan birga ishorasini ham o'zgartirish imkoniyatini beradi. 21.5 – rasmda o'zgartkich texnikasida keng qo'llanadigan reversiv O'KIO' sxemasi keltirilgan. Bu sxemada  $V_1$ ,  $V_2$  yoki  $V_3$ ,  $V_4$  juftliklarni ulanishida yuklamada teskari ishorali kuchlanishlar hosil bo'ladi. Sxema ishslash davomida simmetrik yoki nosimmetrik uslublari bilan boshqarilishi mumkin.

Agar ko'priq diagonalidagi tranzistorlar bir vaqtda ulanadigan bo'lsa, unda O'KIO' simmetrik uslubida boshqariladigan bo'ladi. Bunda yuklamadagi kuchlanish ikki qutbli bo'lib, yuklama tokining ikkita tranzistor yoki ikkita diod o'tkazadi.

Agar diagonaldagi tranzistorlarning ulanish vaqtini bir xil bo'lmasa, unda boshqarish nosimmetrik uslubida o'tkazilgan bo'lib, yuklama kuchlanishlari bir qutbli bo'ladi.

Nosimmetrik boshqarishda ikkita ulanish rejimi qo'llaniladi: birinchisi – bitta ustunga tegishli ketma ket ulangan tranzistorlardan biri yoki ikkalasi ham ochilib - yopilib kalit rejimida ishlaydi va ikkinchisida – juft va toq davrlarda har bir ustundan bittadan tranzistor ishlaydi.

*Reversiv simmetrik boshqarishni* yuklama aktiv - induktiv bo'lib, toklar uzlusiz bo'lganidagi ishlashini ko'rib chiqamiz. Bu uslubda tranzistorlar juftliklari  $V1, V2$  va  $V3, V4$  bir davr davomida navbat bilan ochiladi.

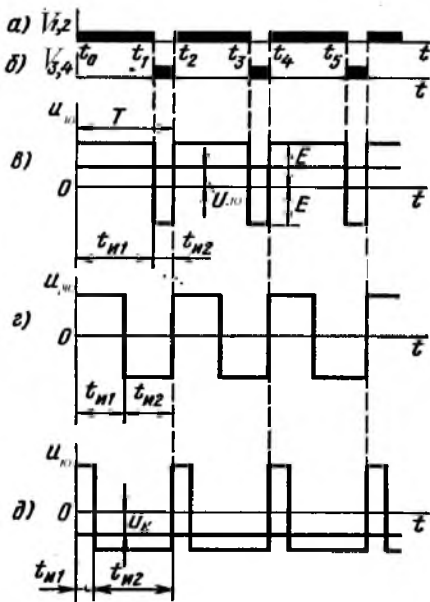


**21.5. - rasm. Tranzistorli reversiv o'zgartkich sxemasi**

Qaysi bir juftlikning ishlash davomining ( $t_i$ ) qiymati kattaroq bo'lsa, unda chiqishdagi kuchlanishning o'rtacha qiymati shu juftlikning ishorasida bo'ladi (21.6 - rasm). Chiqishdagi kuchlanishning o'rtacha qiymati quyidagi ifoda bilan aniqlanadi:

$$U_{yu} = \frac{t_{i1}-t_{i2}}{t} Ye . \quad (21.10)$$

Bunda  $t_{i1}$  –  $V1, V2$  tranzistorlarning va  $t_{i2}$  –  $V3, V4$  tranzistorlarning ishlash intervallari. Interval  $t_{i1} > t_{i2}$  bo'lganida chiqish kuchlanishi musbat ishoraga ( $U_d > 0$ ),  $t_{i1} = t_{i2}$  ( $U_d = 0$ ),  $t_{i1} < t_{i2}$  manfiy ishorali ( $U_d < 0$ ) bo'ladi.



### 21.6 - rasm. Reversiv O'KIO' ishlash diagrammasi

Reversiv simmetrik uslubning kamchiligi - uning chiqishidagi pulsatsiya koeffitsiyentining kattaligida. Bu kamchilik O'KIO' ning chiqishda katta silliqlovchi drossel ulanishini talab qiladi.

### 21.3 Tiristorli o'zgarmas kuchlanish o'zgartkichlari

Tiristorli o'zgartkichda ikki operatsion tiristorlar qo'llanilsa, unda ularni ishlash prinsiplari yuqorida ko'rilgan sxemalarning ishlashidan deyarli farq qilmaydi. Bir operatsiyali tiristorlar qo'llanganda ularni yopish uchun ikkita shart bajariladi: birinchisi - tiristordan o'tayotgan tokning qiymatini nolga tushirish va ikkinchisi – toki nolga tushirilgan tiristorga ma'lum vaqt davomida (tiristorning tiklanish vaqt davomida) unga teskari kuchlanishni ulash. Tiklanish vaqt davomida bazada yig'ilgan oshiqcha tashuvchilarning soni kamayib, boshqariluvchi  $p-n$  o'tishning yopilish holatiga olib keladi.

To'g'rilaqichlarda va invertorlarda ishchi holatdagi tiristorning yopilishi va navbatdagi tiristorning ochilishi tarmoq kuchlanishining ishorasi o'zgarishi ta'sirida o'tkaziladi. Tarmoq kuchlanishi ta'siridagi tiristorlarning yopilishi va ochilishi **tabiiy kommutatsiya** jarayoni deyiladi.

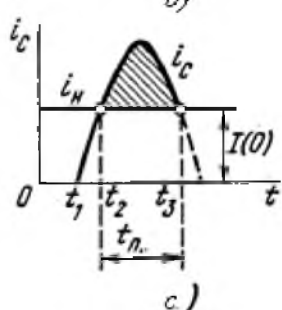
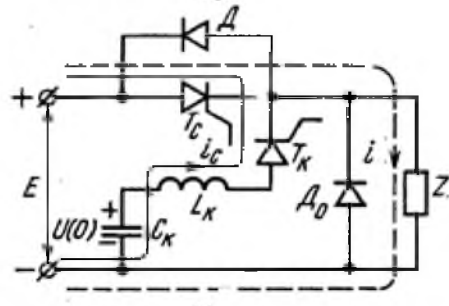
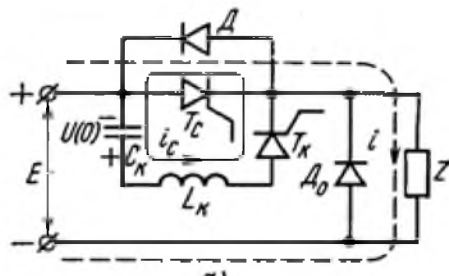
Tiristorli o'zgarmas kuchlanish qurilmalarida ochilgan tiristorni yopish uchun majburiy ravishda, qo'shimcha sxemalar yordamida, ularga teskari kuchlanishli impulslar berilishi talab qilinadi. Bu prinsipdagi kommutatsiya **sun'iy (majburiy) kommutatsiya** deyiladi. Sun'iy kommutatsiya qurilmalari faqat O'KO' larda emas, balki ular avtonom invertorlarda va o'zgarmas tok uzgichlarida ham keng qo'llaniladi. Sun'iy kommutatsiyani bajaruvchi maxsus qurilmalarning tarkibiga qo'shimcha manbalar, kommutatsiyalovchi kondensatorlar, tiristorlar, diodlar, induktivliklar va boshqa elementlar kiritilishi mumkin. Bu qurilmalar tiristorli O'KO' ning ishga tushirilishini, kommutatsiyalovchi kondensatorlarning boshlang'ich zaryadlanishini va keyinchalik qayta zaryadlanishini ta'minlaydi.

Maxsus kommutatsiya qurilmalari yuklamaga va asosiy ishlovchi tiristorlarga nisbatan parallel yoki ketma - ket ulanish prinsiplari bo'yicha tuziladi. Misol sifatida 21.7 - rasmda parallel ulangan va 21.8 - rasmda ketma - ket ulangan kommutatsiya qurilmalarining ikkitadan sxemalari hamda ularning kommutatsiya grafiklari keltirilgan [2,3].

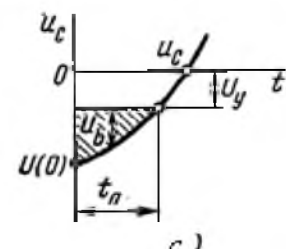
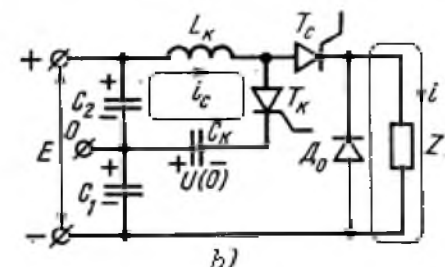
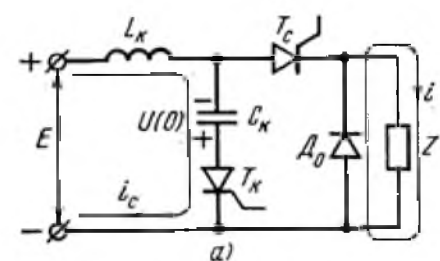
21.7, a - rasmda sxemasi keltirilgan **Yuklamaga parallel ulangan** kommutatsion qurilmaning ishlashini ko'rib chiqamiz. Bu qurilmaning tarkibiga quyidagi elementlar kiradi:  $L_k$  - kommutatsion induktivlik;  $C_k$  - kommutatsion kondensator, sxemada ko'rsatilgan ishoralar bo'yicha  $U(0)$  kuchlanishgacha oldindan zaryadlangan;  $T_c$  - o'zgartkichning kuch tiristori;  $T_k$  - asosiy kuch tiristorining yopilish momentini boshqaruvchi kommutatsion tiristor;  $D$  - kuch tiristoriga qarama - qarshi parallel ulangan diod.

Kommutatsion qurilmaning ishchi holatdagi kuch tiristori  $T_c$  yopilishi davomidagi ishlash jarayonining vaqt diagrammasi 21.7,c - rasmda keltirilgan. Kondensator  $C_k$  ning boshlang'ich zaryadini beruvchi va keyinchalik qayta zaryadlantiruvchi zanjirlar sxemada ko'rsatilmagan. Kondensatorning boshlang'ich zaryadi  $E < U(0)$ . Ochiq holatdagi yuklama tokining o'tkazuvchi kuch tiristorini yopish uchun  $t_1$  momentida kommutatsion tiristor  $T_k$  ga ochilish impulsi beriladi. Tiristor  $T_k$  ochilishi bilan elementlar  $C_k$ ,  $L_k$ ,  $T_k$  va ketma - ket parallel ulangan  $T_c$  va  $D$  orqali tebranuvchi kontur hosil bo'ladi. Bu konturning birinchi yarim davrida tiristor  $T_s$  toki  $i_s$  rasmda ko'rsatilgan yo'nalishda

harakatlanadi. Interval  $t_1 - t_2$  da tok  $i_c$  ochilgan tiristor  $T_s$  dan yuklama toki  $i_{yuk}$  ga teskari yo‘nalishda harakatlanadi. Bu intervalda tok  $i_c$  oshishi bilan yuklama toki kamayib boshlaydi va  $t_2$  momentda  $i_c = i_{yuk}$  bo‘lganida kuch tiristorining toki nolgacha tushadi. Tebranish konturini birinchi yarim



**21.7 – rasm. a,b ) parallel sxemalar c) kommutatsiya diagrammasi**



**21.8 – rasm. a,b) ketma - ket sxemalar c) kommutatsiya diagrammasi**

davrida yo‘nalishini davom etuvchi  $i_c$  toki  $t_2$  momentdan boshlab diod D dan o‘tishga boshlaydi. Interval  $t_2 - t_3$  davomida diod D ni toki  $i_c - i_{yuk}$  teng bo‘lib, uning natijasida diodda hosil bo‘lgan kuchlanish teskari ravishda yopiluvchi kuch tiristoriga beriladi. Ko‘rsatilgan interval  $t_2 - t_3$  tiristorga teskari kuchlanish berilgan davr uning yopilish xususiyatini tiklash vaqtini hisoblanadi. Yopilish sharti interval  $t_2 - t_3 > t_{tik}$ . Bunda  $t_{tik}$  – ma’lumotnomalarda ishlab chiqriluvchi tiristorlar uchun beriladigan tiklanish vaqtini.

21.8 - rasmida **Yuklamaga ketma - ket** ulangan kommutatsion qurilmalarning sxemalari va vaqt diagrammasi keltirilgan. Bu sxemalarda kommutatsion tiristor  $T_k$  ochilishi bilan kondensator  $C_k$  ning kuchlanishi diod  $D_0$  orqali kuch tiristori  $T_c$  ga teskari ishora bilan ulanib, tiristor tokining juda tez vaqt davomida nolga tushishiga sabab bo'ladi. Toki nolga tushgan kuch tiristoriga 21.8, a - rasmdagi sxemadagi kondensator  $S_k$  ning kuchlanishi  $U(0)$  dan tashqari kommutatsiya zanjiriga kiruvchi katta sig'imli kondensator  $C_1$  ni  $0,5 E$  ga teng bo'lgan kuchlanishi ham kiradi.

Sxemalardagi tebranuvchi konturning kondensatorlarining razryadlanishi kuchlanish  $U(0)$  dan boshlanadi. Razlyadlanish davomida kuch tiristorida kondensator kuchlanishi  $u_b$  (5.8, c - rasm shtrixlangan shakl) tiristor to'liq yopilgunicha saqlanib qoladi. Teskari kuchlanishni ta'sir qilish vaqt 21.8,a -rasmdagi sxemada kondensatorning kuchlanishi nolga teng bo'lgunicha va 21.8,b - rasmdagi sxemada  $U_{C1} = 0.5 E$  gacha saqlanib qoladi (21.8,c - rasm).

### **Nazorat svollari**

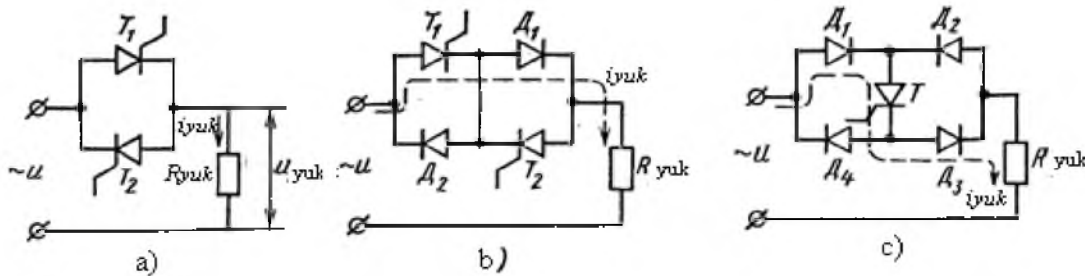
- 1) O'zgarmas kuchlanish o'zgartkichlari (O'KO') qo'llanish sohalarini ta'riflang;
- 2) Pasaytiruvchi va oshiruvchi O'KO' larning ta'riflang;
- 3) Revers rejimida ishlovchi O'KO' larning ta'riflang ;
- 4) Tiristorli O'KO' larning yuklamaga ulanish prinsiplarini ta'riflang.

## **22. O'ZGARUVCHAN KUCHLANISH ROSTLAGICHLARI (AC-AC O'ZGARTKICHLAR)**

### **22.1 O'zgaruvchan kuchlanishni fazoviy usul bilan rostlash**

O'zgaruvchan tokni rostlash qurilmalarida o'zgaruvchan tok manbai va yuklama orasidagi kuchlanish ikkita qrama - qarshi parallel ulangan tiristorlarning ochilish burchagini rostlash bilan amalga oshiriladi. Bu qurilmalarni boshqarishda asosan fazoviy, pog'onali, faza-pog'onali, impuls kengligini o'zgartirish va boshqa usullar qo'llaniladi. Shu usullardan asosiylarini ko'rib chiqamiz.

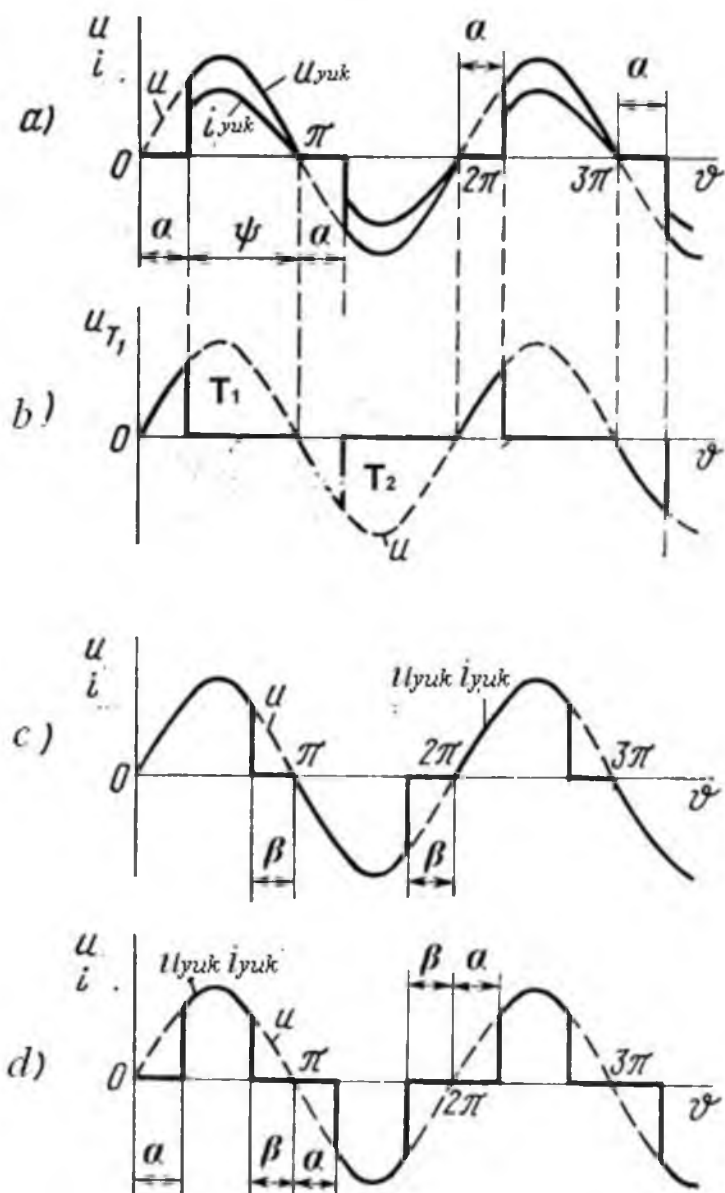
**O'zgaruvchan tokni fazoviy usul bilan rostlash.** Usul yuklamadagi kuchlanishning effektiv qiymatini o'zgartirishga asoslangan. Bu amal tarmoq chastotasini yarim davrida qarama - qarshi parallel ulangan tiristorlar dan birining ochilgan holatini o'zgartirish bilan amalga oshiriladi. 22.1 - rasmda bir fazali rostlagichlarning uch sxemasi keltirilgan. Asosiy sxemalar 22.1, a – rasmda keltirilgan bo'lib, uning turli bir fazali variantlari 22.1 b, c – rasmda ko'rsatilgan.



**22.1 – rasm. O'zgaruvchan kuchlanishning o'zgartkich sxemalari:** a) bir fazali oddiy sxemasi; b) tiristor diodli shuntlangan sxemasi; c) umumiyl tiristorli sxemasi

22.2 - rasmda bir fazali o'zgaruvchan tok o'zgartkichining aktiv yuklamada ishlashidagi vaqt diagrammalari keltirilgan. Fazoviy boshqarish kechikuvchi  $\alpha$  burchakni (22.2, a - rasm) yoki o'zuvchi  $\beta$  burchakni (22.2, b - rasm) yoki ikki tomonlama (22.2, g - rasm) burchaklarni o'zgartirish bilan amalga oshiriladi. Bu diagrammalardan o'zgaruvchan kuchlanishni fazoviy rostlash usuli boshqariluvchi to'grilagichlarning rostlash prinsiplariga to'g'ri kelishi ko'rinish turibdi. Farqi, tiristorlarning ulanish xususiyatiga ko'ra, boshqariluvchi to'g'rilaqichlarning chiqishda olingan kuchlanish bir ishorali va o'zgaruvchan tok qurilmalarida ikki ishorali bo'ladi.

22.2, a - rasmda keltirilgan rostlashning birinchi usulida tiristorlarning yopilish vaqtini har yarim davrning tugashi bilan  $\pi$ ,  $2\pi$ ,  $3\pi$  .... intervallarda berilgan o'zgaruvchan kuchlanishning ishorasi o'zgarishi bilan aniqlanadi. 22.2- b va c rasmlarda ishlayotgan tiristorlarga berilgan kuchlanishni yarim davrli intervali tugashidan oldin yopish talab qilindi. Bu masala faqat tiristorlarning sun'iy kommutatsiya qilish sxemalari yordamida yoki bir operatsiyali tiristorlarni ikki operatsiyali tiristorlar bilan almashtirish natijasida yechiladi.



**22.2 rasm. Fazoviy uslub qo‘llangandagi vaqt diagrammalari: a va b) tiristorlarni  $\alpha$  burchak bilan boshqarilishi; c)  $\beta$  burchak bilan boshqarilishi; d) ikki tomonlama boshqarilishi.**

Yuklama kuchlanishning effektiv qiymatini boshqariluvchi  $\alpha$  burchak bilan bog‘lanish xarakteristikasi (o‘zgartkichning rostlash xarakteristikasi) 22.2, a,b -rasmlarda keltilrilgan bir tomonlavma rostlash usullari uchun quyidagi ifodalar bilan:

$$U_{yuk} = \sqrt{\int_{\alpha}^{\pi} \frac{1}{\pi} (\sqrt{2} U)^2 \sin^2 \vartheta d\vartheta}; \quad (22.1)$$

$$U_{yuk} = \sqrt{\int_0^{\pi-\alpha} \frac{1}{\pi} (\sqrt{2} U)^2 \sin^2 \vartheta d\vartheta} . \quad (22.2)$$

va ikki tomonlama rostlash usulida ifodaga:

$$U_{yuk} = \sqrt{\int_{\alpha}^{\pi-\alpha} \frac{1}{\pi} (\sqrt{2} U)^2 \sin^2 \vartheta d\vartheta} . \quad (22.3)$$

bilan aniqlanisilari mumkin.

Bu ifodalarda  $U$  – sxemaning kirishdagi o‘zgaruvchan kuchlanishni effektiv qiymati bo‘lib u chiqishdagi kuchlanishning  $\alpha = 0$  qiymatiga teng.

Keltirilgan ifodalarda  $\pi - \alpha = \beta$  tengligi inobatga olingan. Har bir rostlash xarakteristikalari nisbiy olingan parametrler uchun qurilishi qulay bo‘lganligi uchun yuqorida keltirilgan ifodalarni quyidagicha nisbiy kuchlanishlar uchun keltirish mumkin:

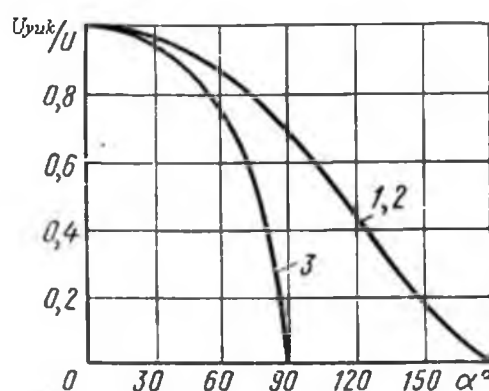
- bir tomonlama rostlanish uchun

$$U_{yuk}/U = \sqrt{\frac{1}{\pi} \left( \pi - \alpha + \frac{1}{2} \sin 2\alpha \right)} \quad (22.4)$$

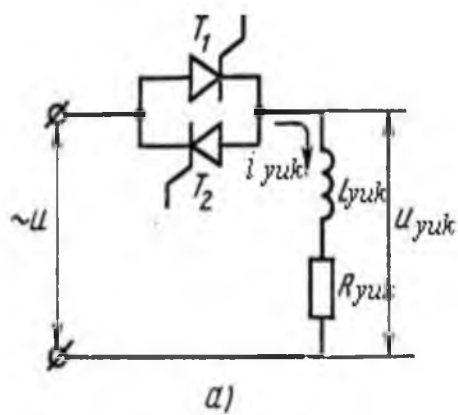
- va ikki tomonlama rostlash uchun

$$U_{yuk}/U = \sqrt{\frac{1}{\pi} (\pi - 2\alpha + \sin 2\alpha)} \quad (22.5)$$

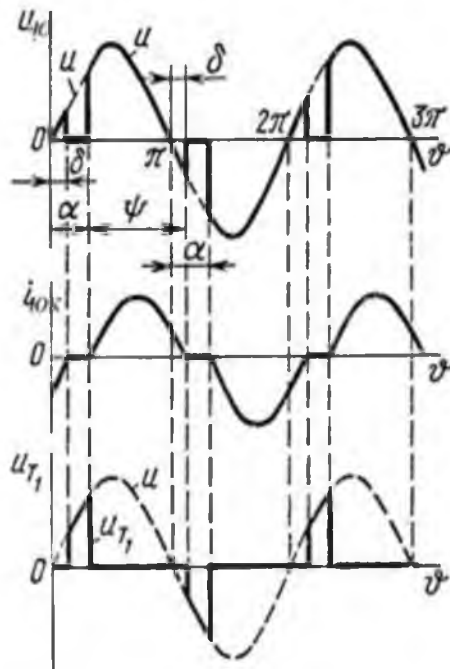
Keltirilgan ifodalar bo‘yicha qurilgan rostlash xarakteristikalari 21.3 - rasmda keltirilgan



**22.3 - rasm. Rostlash xarakteristikalari: 1 va 2 – bir tomonlama rostlash;  
3) ikki tomonlama rostlash**



a)



b)

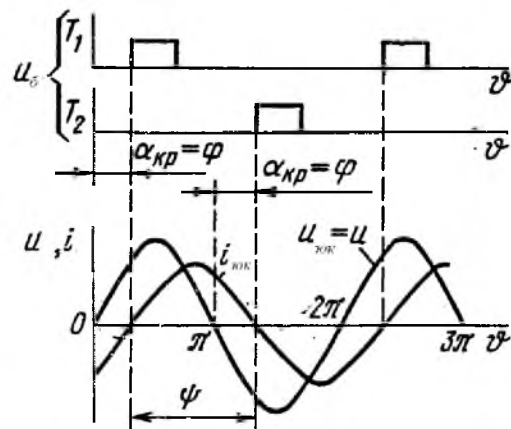
**22.4 - rasm. a) o'zgaruvchan kuchlanishning rostlagich sxemasi; b) sxemaning ishlash diagrammasi**

22.1, a - rasmda keltirigan sxemaning diagrammasidan (22.3 - rasm) ko‘rinib turibdiki aktiv yuklamada tarmoq toki, yuklama toki va yuklama kuchlanishi  $0 \leq \alpha \leq \pi$  qiymatlarida ham bir xil shaklda o‘zgaradi. Yuklama  $RL$  bo‘lganida (22.4, a - rasm) induktivlik  $L_{yuk}$  tiristorlarning ochilish davomida yuklama tokining oshishiga va yopilish davomida tokning pasayishiga yo‘l qo‘ymaydi. Buning natijasida diagrammada 22.4, b - rasm) interval  $\delta$  hosil bo‘lib, yuklamaning toki va kuchlanishining shaklini o‘zgartiradi, ya’ni tiristorlarning o’tkazish intervali  $\delta$  burchakka oshishi bilan  $\psi = \pi - \alpha + \delta$  intervalga teng bo‘ladi. Natijada tiristorga berilgan kuchlanish shakli 22.4, c - rasmdagi shaklga keladi.

Yuklamadagi kuchlanishni effektiv qiymati quyidagi ifoda bo'yicha aniqlanadi:

$$U_{yuk} = \sqrt{\int_{\alpha}^{\pi+\delta} \frac{1}{\pi} (\sqrt{2} U)^2 \sin^2 \vartheta d\vartheta}. \quad (22.6)$$

Yuklama aktiv – induktivlik xarakteriga ega bo'lganida boshqaruv burchakning kritik qiymati alohida ahamiyatga ega. Kritik qiymatida interval  $\delta$  boshqaruvchi burchak  $\alpha$  intervalini to'liq egallaydi. Bu holatda (22.5 - rasm) [3.8] tok  $i_{yuk}$   $\vartheta = \pi + \alpha$  interval davomida nolgacha pasayadi, tok  $i_{yuk}$  va kuchlanish  $u_{yuk}$  o'zgarishlarida pauza bo'lmasdan, har bir tiristorning o'tkazuvchan holati  $\psi = 180^\circ$  teng bo'ladi.



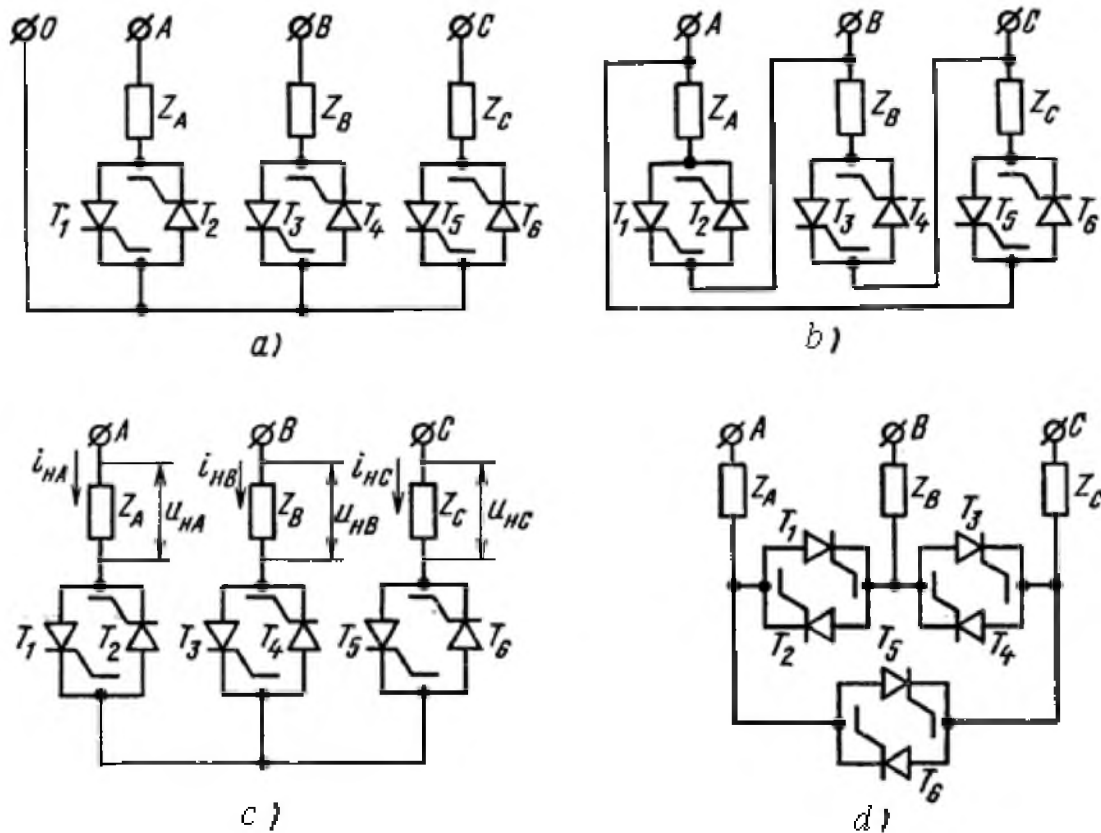
## 22.5- rasm. Boshqarish burchagining kritik qiymatdagi vaqt diagrammasi

Bu rejimda quyidagi tenglik saqlanadi:

$$\alpha = \alpha_{kr} = \phi = \delta = \operatorname{arctg} \frac{\omega L_{yuk}}{R_{yuk}}, \quad (22.7)$$

va bu tenglikda tok  $i_{yuk}$  shakli uzluksiz va sinusoidal ko'rinishga kelib, quyidagicha aniqlanadi:

$$i_{yuk} = \frac{\sqrt{2}U}{\sqrt{R_{yuk}^2 + \omega^2 L_{yuk}^2}} \sin(\vartheta - \phi). \quad (22.8)$$



**22.6- rasm. Uch fazali rostlagichlarning sxemalari:** a) fazalari yulduzli ulangan mustaqil boshqariluvchi sxema; b) uchburchakli ulangan sxema; c) fazalari bog‘langan yulduzli sxema; d) fazalari bog‘langan uchburchak sxema.

Burchak  $\alpha$  noldan boshlab  $\alpha_{kr}$  gacha rostlagichlarning boshqaruvsiz hududi hisoblanadi. Bu zonada  $\alpha$  o‘zgarishi bilan tok va kuchlanishning effektiv qiymatlari o‘zgarmaydi. Boshqaruvsiz hududda (burchak  $\alpha < \alpha_{kr}$  bo‘lganda) yuklama tokining uzlusiz rejimini ta’minlash uchun tiristorlarni ochuvchi impulslarning kengligi yopiluvchi tiristorning toki nol bo‘lib, navbatdagi tiristor to‘liq ochilguncha davom etishi talab qilinadi. Ya’ni, boshqariluvchi impulslarning kengligi yuklama tokining noldan o‘tish momentini qoplashi lozim. Aks holda navbatdagi ochiluvchi tiristorga beriluvchi impuls parallel ishlaydigan tiristorning toki nolga teng bo‘lmasdan oldin tugab qoladi va natijada keyingi tiristor ochilmasdan qoladi. Burchak  $\alpha$  ning eng kichik qiymati  $\alpha = 0$  deb faraz qilsak, unda boshqaruvchi impulslarning kengligi  $\phi$  burchakdan kam bo‘lmashligi talab qilinadi.

Keltirilgan tahlil 22.1 - rasmida ko'rsatilgan bir fazali rostlagichlarning boshqa sxemalarida ham qo'llanilishi mumkin.

Uch fazali o'zgaruvchan tok rostlagichlarini fazoviy rostlashda 22.6 - rasmida keltirilgan sxemalar qo'llanadi. Bu sxemalar fazalari mustaqil boshqariluvchi ( 22.6 a, b - rasmlar) va fazalari bog'langan yulduzli va uch burchak sxemalar (22.6 c, d - rasmlar).

Uch fazali qurilmalarning ishslash shartlariga ko'ra har bir davrda fazalarning tiristoridan bittasi ochilgan holatda bo'lib, rostlash davomida jami uchta tiristor barobariga ishlaydi. Bunda har bir fazani  $360^0$  davomida boshqarish uchun tiristor  $180^0$  davomida boshqarilish imkoniyatiga ega bo'lishi kerak. Ya'ni bu sxemalarda tiristorlarni boshqarish impulslarining kengligi  $180^0$  tashkil qilishi lozim.

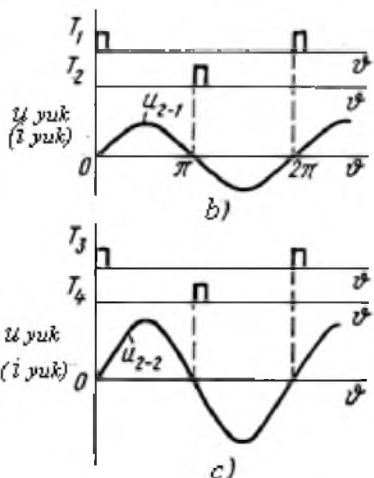
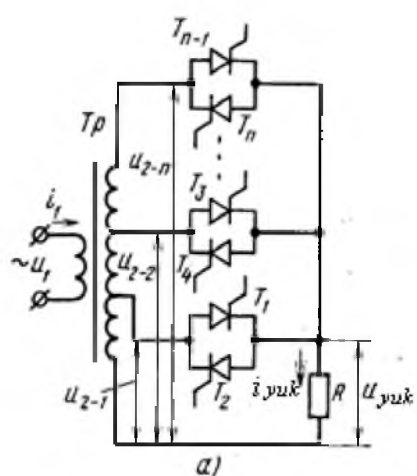
## **22.2 O'zgaruvchan kuchlanishni pog'onali va faza - pog'onali usullari bilan rostlash**

**Pog'onali rostlash usulida** yuklamaga berilgan o'zgaruvchan kuchlanish shaklini saqlab qolning holda amplitudasini (effektiv qiymatini) pog'onali o'zgartirish orqali bajariladi. Usulni qo'llash transformatorning ikki va undan ko'p bo'lgan ikkilamchi chulg'amlarida hosil bo'lgan kuchlanishlarning yig'indisi qarama-qarshi parallel ulangan tiristorlar orqali yuklamada geometrik qo'shish natijasida o'tkaziladi (22.7, a - rasm).

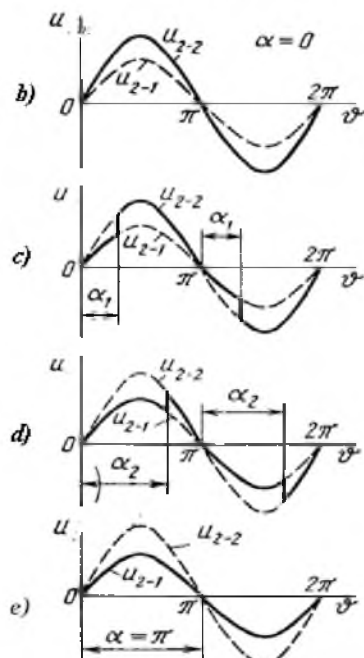
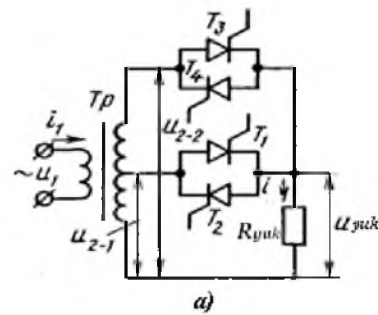
22.7, b - rasmdagi diagrammada tiristorlar  $T_1$ ,  $T_2$  ishlashi natijasida  $\alpha = 0$  qiymatida  $u_{2-1}$  ga teng bo'lgan kuchlanish yuklamada hosil bo'ladi. Bu holda qolgan tiristorlarga ochilish impulsi berilmaganligi sababli yuklama faqat 2-1 chulg'amining konturiga ulangan bo'ladi. Tiristorlar  $T_3$ ,  $T_4$  ochilishi va  $T_1$ ,  $T_2$  yopilishi bilan yuklama  $u_{2-2}$  kuchlanishning konturiga ulanadi va natijada undagi kuchlanish  $u_{2-2}$  ga teng bo'ladi (22.7, c - rasm). Kuchlanishlarning keyingi oshirish bosqichlarida ham shu tartib saqlanib qoladi va transformatorning ikkilamchi chulg'amlari soni ko'payib boraveradi.

Bu usulning asosiy kamchiligi kuchlanishning silliq rostlash imkoniyati bo'lmanligida, va trasformatorning konstruksiyasi murakkabligida. Qulay bo'lgan joyi - bu tarmoqdan iste'mol qilinadigan tok shaklining

o‘zgarmasdan qolishi va aktiv yuklamalarda rostlash davomida fazaviy siljish yo‘qligi.



22.7 – rasm. Pog‘onali rostlash usuli



22.8 – rasm. Faza-pog‘onali rostlash usuli

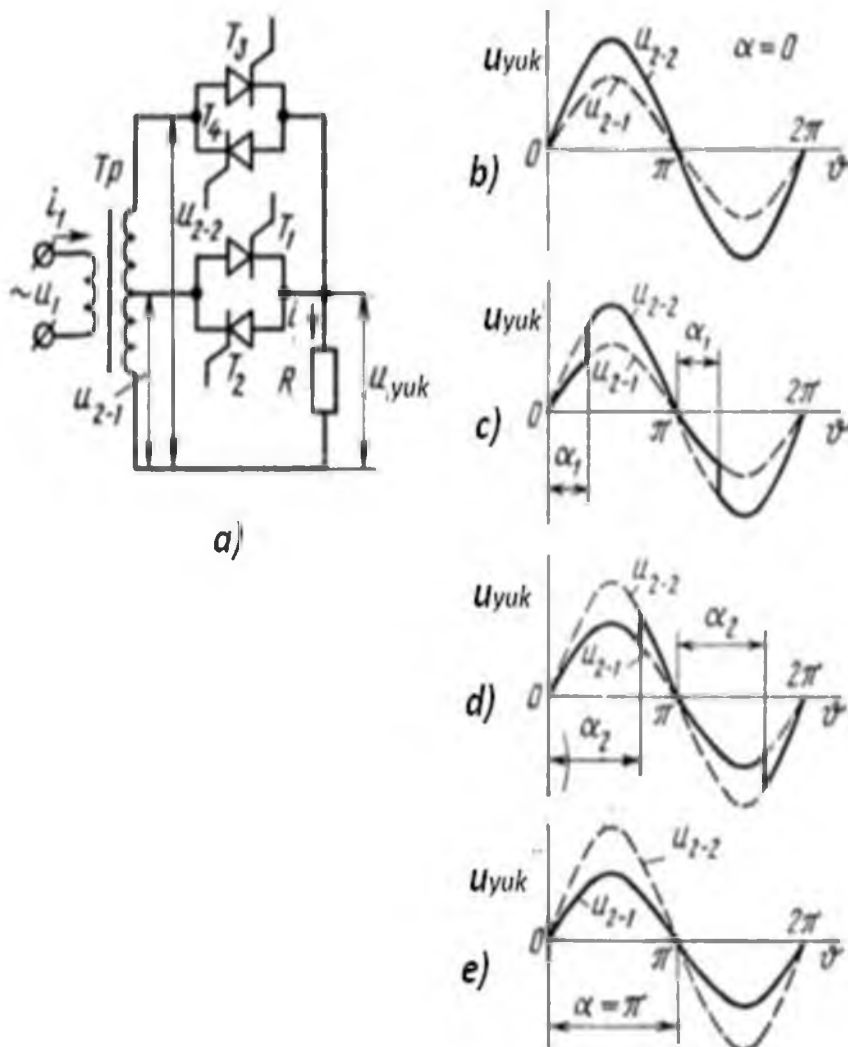
**Faza-pog‘onali rostlash usuli** fasoviy va pog‘onali usullarni birgalikda qo‘llashga asoslangan. Bu metodni qo‘llashning ikki pog‘onali cxemasi 22.9 – rasmda keltirilgan. Ishlash prinsipini ko‘rib chiqamiz.

Past pog‘onali tiristorlar  $T_1$  va  $T_2$  larga ochuvchi impulslar manba kuchlanishi noldan o‘tish momentlarida beriladi. Yuqori pog‘onali tiristorlar  $T_3$  va  $T_4$  larga ochilish impulsleri ko‘rsatilgan momentdan  $\alpha$  burchakka kechikib beriladi.

Burchak  $\alpha = 0$  bo‘lganida ochuvchi impulsarning berilish vaqtiga ikkala guruh tiristorlari ham bir yo‘nalishda tok o‘tkazishga imkon beradi. Ammo, boshqaruvchi impulslar faqat yuqori guruh tiristorlarining ochilishiga olib keladi. Tiristorlar  $T_1$ ,  $T_2$  kuchlanishlar  $u_{2-2}$  -  $u_{2-1}$  farqi

ta'sirida yopilgan holatda qoladi. Shunday qilib  $\alpha = 0$  bo'lganida yuklamadagi kuchlanish yuqori pog'onadagi  $u_{2-2}$  ga teng bo'ladi (7.9 b-rasm). Musbat yarim to'lqin  $u_{yuk}$  tiristor  $T_3$  ochilishi bilan va manfiy yarim to'lqin tiristor  $T_4$  ochilishi bilan vujudga keladi.

Burchaklar  $\pi > \alpha > 0$  bo'lganida (22.9c,d - rasm) tiristorlar  $T_3$ ,  $T_4$  ochuvchi impulslar  $T_1$ ,  $T_2$  tiristorlarning beriladigan ochilishi impulslardan kechikibroq beriladi. Burchak  $\alpha$  davomida musbat kuchlanishlarda tiristor  $T_1$  va manfiy



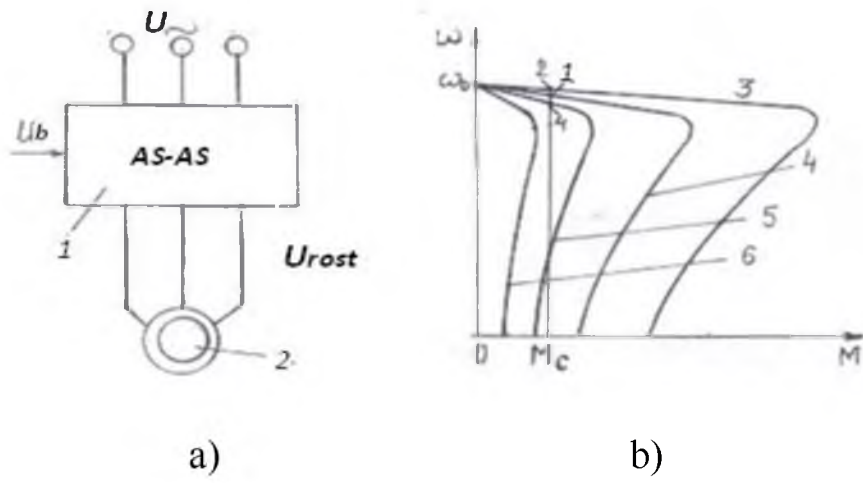
**22.9- rasm. Ikki pog'onali fazoviy o'zgaruvchan tok rostlagichi  
a) rostlagich cxemasi, b-e) sxemaning ishlash diagrammalari**

kuchlanishlarda tiristor  $T_2$  ishlashlari natijasida yuklamada  $u_{2-1}$  ga teng bo'lgan yuklama kuchlanishi  $u_{yuk}$  vujudga keladi. Demak ko'rsatilgan intervalda kuchlanish  $u_{yuk}$  sinusoidaning  $u_{2-1}$  ni bir qismi bilan aniqlanadi.

Shunday qilib burchak  $\alpha$  ni rostlash davomida yuklama kuchlanishining effektiv qiymatini  $u_{2-1}$  dan  $u_{2-2}$  gacha boshqarish imkoniyati tug‘iladi.

### 22.3. Asinxron motorli yuritmalarini AS-AS o‘zgartkichlari bilan rostlash

Asinxron motorning koordinatalarini rostlashda yuqorida keltirilgan bir va uch fazali boshqaruvchi AS-AS o‘zgartkichlar sxemalarining qo‘llanishi bilan, stator chulg‘amiga berilayotgan kuchlanishni o‘zgartirib, amalga oshirish mumkin. Bu usulning rotori qisqa tutashtirilgan asinxron motor koordinatalarini rostlash sxemasi 22.10 a – rasmda keltirilgan. Sxemada asinxron motor 2 bilan tarmoq o‘rtasida tok o‘zgartkichi 1 bo‘lib, uning chiqish qismidagi rostlanuvchi kuchlanish  $U_{1rost}$  boshqaruv signali  $U_b$  ga proporsional o‘zgaradi. Stator chulg‘amidagi kuchlanish 0 dan to  $U_{1max}$  gacha o‘zgargan holda uning chastotasi  $f = 50$  Gs o‘zgarmay qolaveradi.

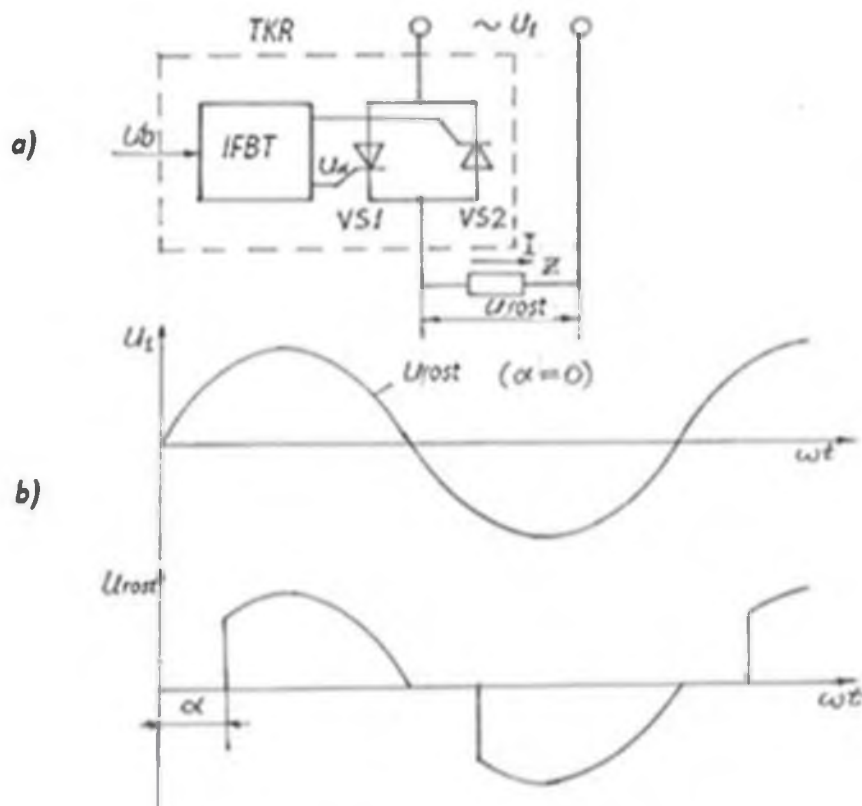


**22.10 – rasm. a) Asinxron motorning stator chulg‘amidagi kuchlanishni o‘zgartirib koordinatalarini rostlash sxemasi, b) asinxron motorning mexanik tavsiflari**

Stator chulg‘amidagi kuchlanishning o‘zgarishi ideal salt yurish tezligini o‘zgartirmaydi, chunki, bu tezlik kuchlanish chastotasiga to‘g‘ri proporsional bo‘lib, qutblar soniga teskari proporsionaldir. Sirpanishning kritik qiymati esa motor chulg‘amlarining qarshiliklari qiymatiga va motorning yuklanish darajasiga bog‘liq. Motorning maksimal momenti esa kuchlanishning kvadratiga to‘g‘ri proporsionaldir.

Shu sababli  $U_{1\text{ rost}} = \varnothing$  uchun qurilgan mexanik tavsiflar asinxron motor tezligini rostlash uchun yaramaydi (22.10b - rasm), chunki kuchlanish qiymati kamaygan sari uning yuklanish darajasi kamayib boradi va rostlanish diapazoni ham juda kichik bo‘ladi. 3, 4, 5, 6 tavsiflar kuchlanishning  $U_{1N}$ ,  $0,8U_{1N}$ ,  $0,6U_{1N}$ ,  $0,4U_{1N}$ , qiymatlari uchun qurilgan. Shu sababli ham 7,10a – rasmdagi asinxron elektr yuritma tizimini asinxron motorning o‘tkinchi jarayonlarida, texnologik talablardan kelib chiqqan holda, moment va tok qiymatlariga ta’sir etish uchun qo‘llash mumkin.

Boshqariluvchi o‘zgaruvchan tok o‘zgartkichi sifatida avtotransformator, boshqariluvchi transformator, induksion regulyator va tiristorli kuchlanish rostlagichlar (TKR) qo‘llaniladi. Hozirgi paytda asosan TKR lar qo‘llanilmoqda. Chunki boshqa o‘zgartkichlarga nisbatan TKR yuqori FIK ga ega bo‘lishi bilan bir qatorda asinxron motorlarni boshqarishda avtomatik tizimlarni qo‘llash uchun qulay hamdir.



**22.11 – rasm. Bir fazali tiristorli kuchlanish rostlagichining kuch sxemasi (a) va kuchlanish tavsiflari (b)**

Keng tarqalgan «**Tiristorli kuchlanish rostlagich – asinxron motor**» tizimi asosini tashkil etuvchi TKR ning ishslash prinsipini ko‘rib chiqamiz.

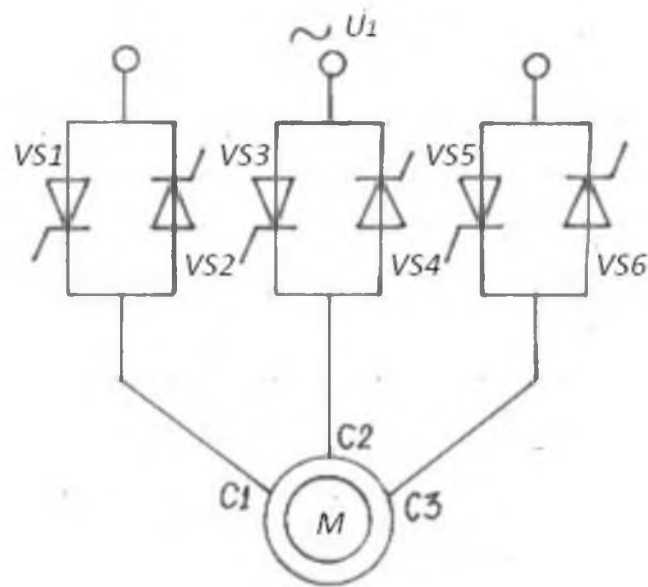
22.11a – rasmida bir fazali o‘zgaruvchan tokning yuklanishi  $Z_{yuk}$  bo‘lgan tiristorli kuchlanish rostlagichning kuch sxemasi keltirilgan. TKR ning kuch sxemasi ikki o‘zaro parallel qarama – qarshi ulangan VS1 va VS2 tiristorlardan iborat bo‘lib, kuchlanish  $U_1$  ning har ikki yarim davrida yuklanishdan tok o‘tishini ta’minlaydi. Impulsli faza boshqaruva tizimi (IFBT) ning kirish signali  $U_b$  ta’sirida uning chiqish qismida boshqaruva kuchlanishi  $U_\alpha$  hosil qilinadi va bu signal bilan tiristorlarning ochilish burchagi  $\alpha$  ning qiymati rostlanadi.

Agar VS1 va VS2 tiristorlarga berilayotgan signal  $U^\alpha = 0$  bo‘lsa, ular yopiq holatda bo‘ladi va TKR ning chiqish qismidagi kuchlanish ham  $U_{rost} = 0$  bo‘ladi. Agar tiristorlarga berilayotgan signal  $U^\alpha$  ning qiymati  $\alpha = 0$  ga mos bo‘lsa, ya’ni  $U_\alpha = U_{\alpha MAX}$  bo‘lganida TKR ning chiqish qismidagi kuchlanish eng katta qiymatiga ega bo‘ladi, ya’ni  $U_{rost} = U_1$  bo‘ladi (22.11b - rasm). Agar  $U^\alpha$  signal qiymati  $\alpha \neq 0$  ga mos bo‘lsa, u holda yuklanishga  $U_1$  kuchlanishning ma’lum bir qismi ulangan bo‘ladi (22.11 b – rasm). Shunday qilib, boshqaruva burchagi  $\alpha$  ni 0 dan  $\pi$  gacha o‘zgartirganimizda o‘zgartkichning chiqish qismidagi kuchlanish  $U_1$  dan 0 gacha o‘zgaradi.

Bir fazali TKR sxema asosida yaratilgan uch fazali TKR ning kuch sxemasida oltita VS1 – VS6 tiristorlari bo‘ladi (22.12 – rasm). Bunday TKR larda parallel qarama – qarshi ulangan tiristorlar o‘rniga xuddi shu funksiyalarni bajaruvchi simistorlarning qo‘llanishi kuch sxemasini soddalashtirishga olib keladi.

TKR dan chiqayotgan kuchlanishning formasi nosinusoidal ko‘rinishga ega bo‘ladi. Bu nosinusoidal kuchlanish turli chastotali va amplitudali garmonik tashkil etuvchilardan iborat bo‘ladi. Asosiy ya’ni birinchi garmonik tashkil etuvchining chastotasi  $U_1$  ning chastotasiga teng bo‘lib, qolganlarining chastotasi undan ko‘p bo‘ladi. Odatda birinchi garmonik tashkil etuvchining amplitudasi eng katta bo‘lib hamma asosiy hisoblar shu garmonika bo‘yicha amalga oshiriladi.

Asinxron elektr yuritmalarini boshqarishda TKR larni qo‘llash motorlarni revers qilish imkonini beradi; majburiy elektr tormozlash mumkin; elektr yuritmaning o‘tkinchi jarayonlari ko‘rsatkichlarini rostlash hamda energiya tejamko‘r ish rejimlarini amalga oshirish kabi funksional imkoniyatlarini oshiradi.



**22.12 – rasm. Uch fazali tiristorli kuchlanish rostlagichning kuch sxemasi**

### Nasorat savollari

- 1) Rostlash davomida kritik burchak nimani bildiradi?
- 2) O‘zgaruvchan kuchlanishni fazoviy usul bilan rostlashni ta’riflang;
- 3) O‘zgaruvchan kuchlanishni pog‘onali usuli bilan rostlashni ta’riflang;
- 4) Bir va ikki tomonlama rostlash xarakteristikalarini keltiring.
- 5) O‘zgaruvchan kuchlanishni faza - pog‘onali usuli bilan rostlashni ta’riflang ;
- 6) Bir fazali tiristorli kuchlanish rostlagichining kuch sxemasini keltirig va tariflang;
- 7) Uch fazali rostlagichlarning sxemalarini sxemasini keltirig va tariflang;

## 23. CHASTOTA O'ZGARTKICHLARI

### 23.1. Kuchlanish invertorlari asosidagi bilvosita chastota o'zgartkichlari

Chastota o'zgartkichlari (CHO') ma'lum bir chastotada berilgan o'zgaruvchan tokni (kuchlanishni) boshqa chastotaga o'tkazuvchi qurilmalar vazifasini bajaradi. Chastotaviy rostlanuvchi elektr yuritmalarida chastota o'zgartkichlari tarmog'idan olingan elektr energiyasining berilgan qonun bilan o'zgaruvchi chastota va kuchlanishlarga aylantirish imkonini beradi.

Chastota o'zgartkichlari ikki prinsip bo'yicha tuzilishi mumkin:

- 1) Bilvosita (ikki zvenoli) chastota o'zgartkichlari;
- 2) Bevosita chastota o'zgartkichlari.

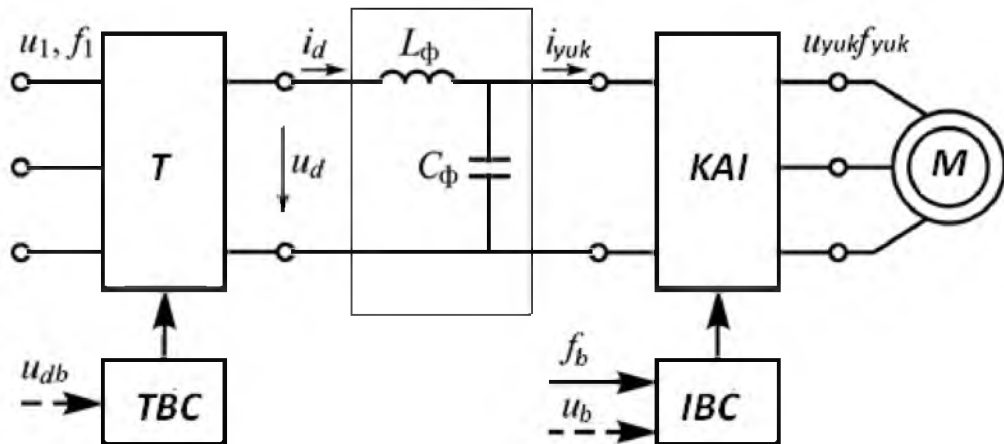
Bilvosita chastota o'zgartkichlarida birinchi zveno chiqishiga filtr ulangan to'g'rilaqichlardan va ikkinchi avtonom invertorlardan tashkil qilinadi. Shunday qilib bilvosita CHO'larda yuklama tashqi elektr tarmog'i bilan ikkita zvenolar orqali ulanishi natijasida elektr yuitmalarini boshqarishda energiya ikki marotaba o'zgartiriladi. Ikkinchi zveno kuchlanish avtonom invertorlari (KAI) yoki tok avtonom invertorlari (TAI) asosida bajarilgan bo'lishi mumkin.

Bilvosita chastota o'zgartkichlarida chiqish chastotasi kirish chastotasidan katta bo'lishi ham kichik bo'lishi ham mumkin. Bevosita o'zgartkichlarda chiqish chastotasi kirish chastotasidan doim kichkina bo'ladi.

**KAI asosida tuzilgan bilvosita CHO'ni ko'rib chiqamiz** (23.1 rasm). Ularning tarkibiga to'g'rilaqich (T), silliqlovchi (LS) filtr va kuchlanish avtonom invertori (KAI) kiradi. TBS, IBS - to'g'rilaqich va invertorning bashqarish sxemalari. Punktir bilan belgilangan ( $u_b$ ) boshqarish signallar teskari bog'lanish signallari bo'lishi mumkinligini ko'rsatadi.

Odatda silliqlovchi filtr sifatida  $\Gamma$ - shakldagi LC- filtrdar qo'llaniladi. Agar kuchlanishni rostlash funksiyasi KAIlarga berktirilgan bo'lsa, to'g'rilaqichlar boshqariluvli yoki boshqaruvsiz qurilmalar bo'lishi mumkin. Agarda yuklama energiyasi ta'minot manbaiga qaytarish talab qilinsa, to'g'rilaqichlar energiyani ikki tomonlama almashtiruvchi, ikki komplektli reversiv o'zgartkichlar bo'ladi, yoki reversiv o'zgartkichlarning o'rniga

qaytaruvchan rejimida ishlovchi o‘zgartkich sifatida ikkinchi KAI qo‘llamlishi mumkin.



**23.1.- rasm. KAI asosidagi o‘zgaruvchan tok dvigateliga ishlovchi bilvosita CHO‘ ning funksional sxemasi**

Shunday qilib CHO‘ chiqishidagi kuchlanishni rostlash uning tarkibidagi boshqariluvchi to‘g‘rilagichlar bilan, yoki kengligini rostlovchi impulslar bilan boshqariluvchi KAI lar bilan bajarilishi mumkin.

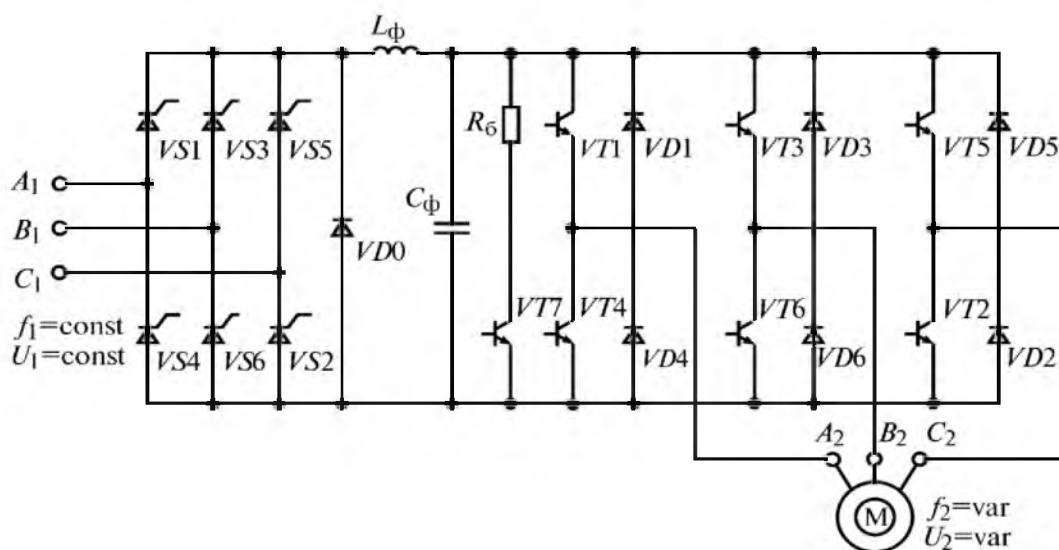
KAI asosida tuzilgan CHO‘ ning prinsipial sxemasi 23.2 - rasmda keltirilgan. Bu sxemaning birinchi zvenosi sifatida uch fazali VS1 - VS6 tiristorli to‘g‘rilagichlar va ikkinchi zvenosida VT1 - VT6 tranzistorlari asosida tuzilgan avtonom invertorlar qo‘llanilgan. Filtr  $L_f C_f$  to‘g‘rilagichning chiqish kuchlanishini silliqlash vazifasini va diodlar VDI-VD6 – tranzistorlarning yopilishi davomida toklarni o‘tkazish vazifasini bajaradi. Shu bilan birga diodlar dvigateli tormozlash rejimida teskari to‘grilagich vazifasini ham bajaradi. Diod VD0 chuqur rostlash rejimlarida quvvat koeffitsiyentini oshirish uchun ulanadi. CHO‘ chiqishidagi kuchlanishni rostlash boshqariluvchi to‘g‘rilagichlar asosida bajariladi.

Tormozlash rejimi filtrning kondensatoriga parallel qilib ulangan tormozlash rezistori  $R_b$  va tranzistor VT7 ning ulanishi bilan bajariladi. Agar kondensatorga qo‘yilgan kuchlanish mo‘ljallangan kuchlanishdan oshgan bo‘lsa, tranzistor VT7 ochilib, elektr mashinasida yig‘ilgan energiya

tormozlash rezistorida sarf qilinadi. Bu holatda CHO‘ kirishidagi to‘g‘rilagich bir komplektli (bir tomonlama ishlovchi) sxemasida bajariladi.

Keltirilgan KAI asosidagi CHO‘ning kamchiliklari: tormozlash rejimida yuklama energiyasini tarmoqqa rekuperatsiya qilish imkoniyati yo‘qligida; rostlash davomida quvvat koeffitsiyentining pasayishida; chiqish kuchlanishiga yuqori garmonikalarining ta’siri kattaligida va alohida ikkita boshqarish sistemalarining mavjudligida.

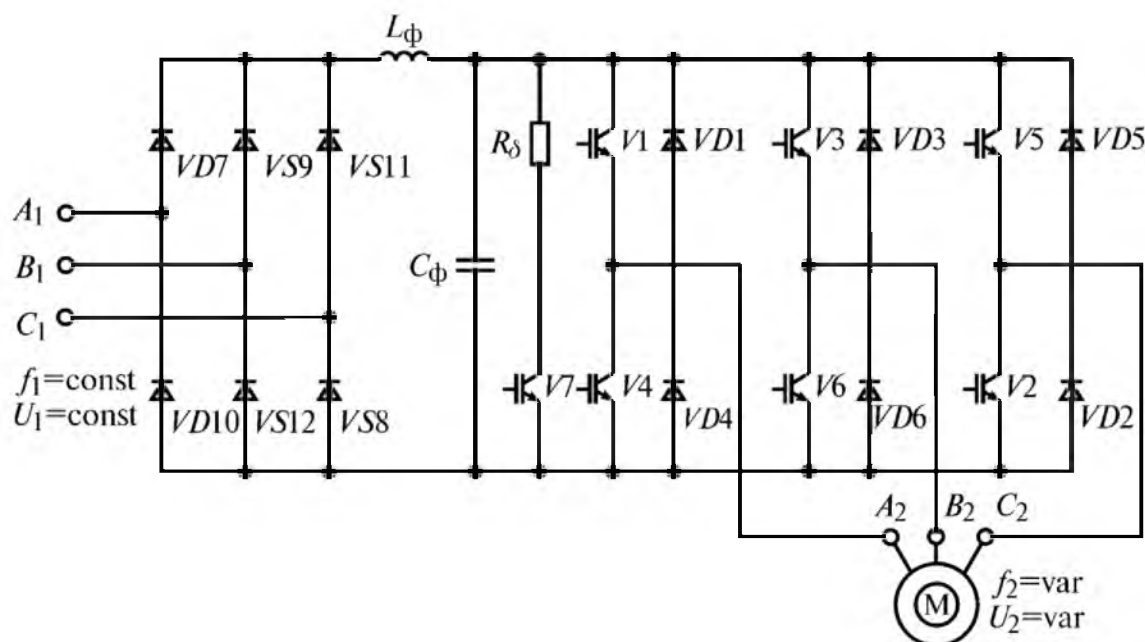
Chastota o‘zgartkichlarining bu sxemasida rekuperatsiya vazifasini bajarish uchun kirish zvenosidagi to‘g‘rilagichlar ikki komplektli qilinib bajarilishi kerak bo‘ladi, ya’ni boshqariluvchi to‘grilagichlar tiristorlariga teskari diodlar ulanishi talab qilinadi. Ammo CHO‘larning bu prinsipda tuzilishi hozirgi vaqtida eskirgan hisoblanib, kam qo‘llaniladi.



**23.2- rasm. Asinxron dvigatel tezligini rostlash va rekuperatsiyasiz rejimida tormozlovchi bilvosita CHO‘ prinsipial sxemasi.**

Rekuperatsiyasiz rejimda ishlovchi bilvosita CHO‘ yana bir soddalashgan sxemasi chiqish kuchlanishini tranzistorli invertorlar tomonidan boshqarish (23.3 - rasm). Bu sxemada KAI boshqariluvchi **IGBT** tranzistorlardan tuzilgan bo‘lib, kirish zvenosi diodli ko‘prik sxemalaridan tuzilib, ularda boshqarish sxemasi mavjud emas. Tranzistorli yoki boshqariluvchi tiristorli avtonom invertorlar boshqariluvchi impulsarning kengligi rostlanuvchi (IKR) yoki biror qonun bilan modulyatsiyalanuvchi

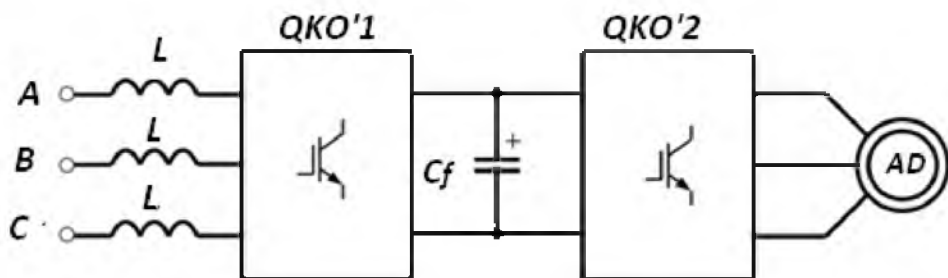
(IKM) signallar bilan boshqarilib, chiqish kuchlanishini o'zgartirish vazifasini bajaradi. IKR va IKM signallari bilan rostlash diagrammalari 20.9- rasmida ko'rsatilgan.



### **23.3- rasm. IKR va IKM metodlari bilan boshqariluvchi IGBT tranzistorli KAI asosidagi bilyosita CHO' ning prinsipial sxemasi**

Keltirilgan prinsipial sxemalardagi CHO'ni to'rmozlash rejimlari ma'no jihatidan dinamik tormozlash rejimiga to'g'ri kelishiga qaramasdan ular adabiyotlarda **invertor tormozlash rejimi** deb aytildi, chunki dinamik tormozlash atamasi asinxron dvigatellarni chulg'amlaridan o'zgarmas tok o'tkazilishi bilan aniqlangan. Hozirgi zamonda bu tipdpgi CHO' larida yakka yoki bir qancha tranzistor – diodli quvvatli modullar qo'llanadi. Bu CHO' kamchiligi tormozlash rejimida energiyani tarmoqqa rekuperatsiya imkoniyati bo'lmasligida.

Yuqorida keltirilgan sxemalarni tahlildan xulosa - ikki zvenoli CHO' larda tormozlash rejimida rekuperatsiya amalini bajarish uchun har bir zveno ikki tomonga o'tkazuvchi sxemalar asosida tuzilgan bo'lishi talab qilinar ekan. Bunday prinsipni amalga oshiruvchi CHO' ning struktura sxemasi 23.4 - rasmda keltirilgan.

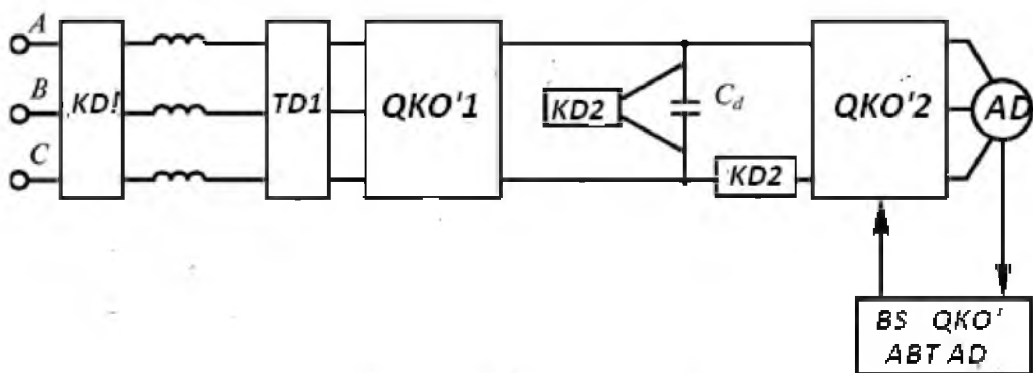


#### **23.4 – pasm. Rekuperatsiyalovchi bilvosita CHO' struktura sxemasi**

Bu bilvosita CHO‘ lar qaytaruvchanlik rejimida ishlashi mumkin bo‘lgan ikkita kuchlanish o‘zgartkichlaridan (QKO‘) tashkil topgan bo‘lib, to‘rt kvadrantli o‘zgartkichlar sinfiga kiradi, chunki ularning tashqi xarakteristikalari to‘rtta kvadrantning hammasida ham joylashgan.

Sxemada ikki yo‘nalishda ham - ta’minot tarmog‘idan dvigatelgacha va generator rejimida ishlovchi elektr mashinasidan tarmoqqacha energiyani uzatish imkoniyati tug‘dirilgan.

Bilvosita CHO‘ tarmoqqa **ulanish davomida** tarmoq tomonida QKO‘1 asosan to‘grilagich rejimida va dvigatel tomonidagi QKO‘2 invertor rejimida ishlaydi. **Tormozlash davomida** QKO‘2 to‘g‘rilagich rejimida va QKO‘1 invertor rejimida ishlab, yuklama energiyasi elektr tarmog‘iga qaytariladi (rekuperatsiya rejimi). Keltirilgan sxemada har bir QKO‘ning to‘grilagich yoki invertor rejimida ishlashini aniqlash uchun ularnng chiqish va kirishlariga tok va kuchlanish datchiklari TD va KD o‘rnatilgan (23.5 - rasm).



### **23.5 - rasm. Bilvosita CHO'larga datchiklarning ulanish sxemasi**

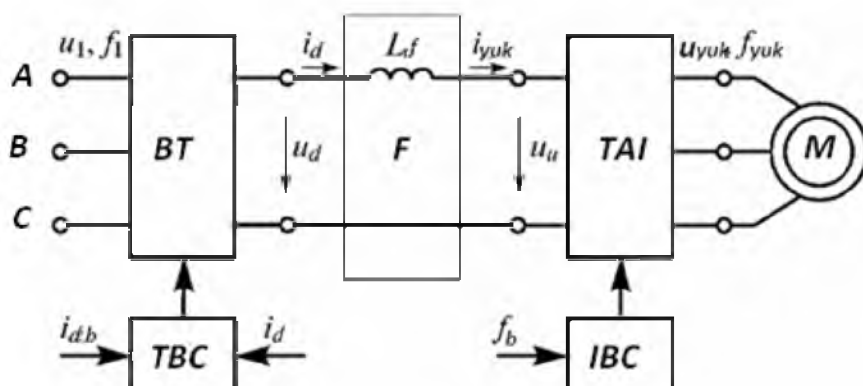
Agar kirishdagi boshqarish sxemasiga  $\cos\phi = 1$  berilsa, barcha rostlash va tormozlash rejimlarida dvigatel bilan tarmoq orasida faqat aktiv energiya almashtiriladi va tok asosan sinusoidal xarakteristikasiga ega bo'lib, tarmoqqa zararli ta'sir ko'rsatmaydi. Bu tipdagi CHO'lar bugungi kunda ideal o'zgartkichlarga eng yaqin bo'lgan CHO'lar hisoblanadi.

Bilvosita rekuperatsiyalovchi CHO' afzalliklari: chiqish chastotasining kirish chastotasiga bog'liq bo'lmasligi; ta'minot tarmog'i tomonida yuqori quvvat koeffitsiyentini olish imkoniyati.

### **23.2. Tok avtonom invertorlari asosidagi bilvosita chastota o'zgartkichlari**

TAI asosida tuzilgan bilvosita CHO' funksional sxemasi 23.6-rasmda keltirilgan. Sxemaning tarkibiga boshqariluvchi to'g'rilaqich (VT), silliqlovchi filtr L, tok avtonom invertori (TAI) va ularning faza impulsli boshqaruvchi sistemalari (TBC. AVS) kiradi. Chiqish tokining amplitudasi boshqariluvchi o'zgartkichlar bilan va chastotasi boshqariluvchi impulsarning chastotasi bilan boshqariladi.

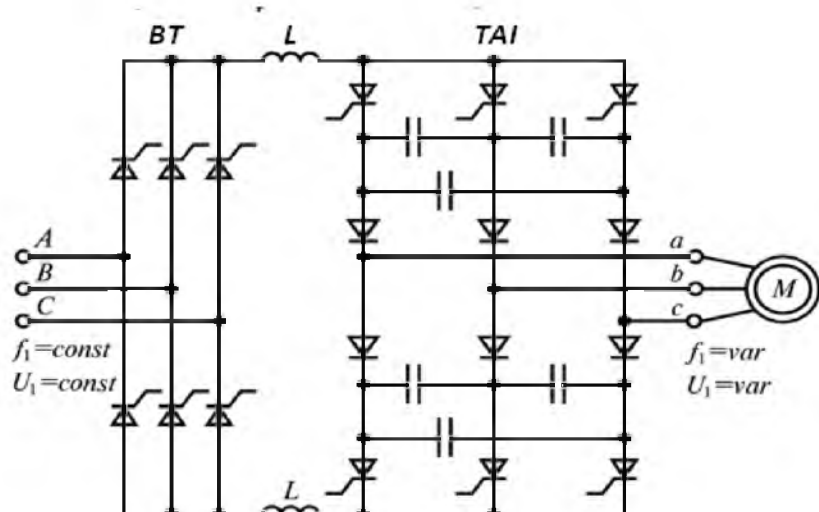
Sxemada TAIllarning vazifasi kirishiga berilgan o'zgarmas tokning qiymatiga proporsional bo'lgan o'zgaruvchan tokka aylantirish. Kirishidagi o'zgarmas tok rejimini filtr sifatida ulangan katta induktivlik L ta'minlaydi. Uzuvchi diodlar asosida qurilgan TAI 23.7- rasmda keltirilgan.



**23.6 - rasm.TAI asosidagi o'zgaruvchan tok dvigatelia ishlovchi bilvosita CHO' ning funksional sxemasi**

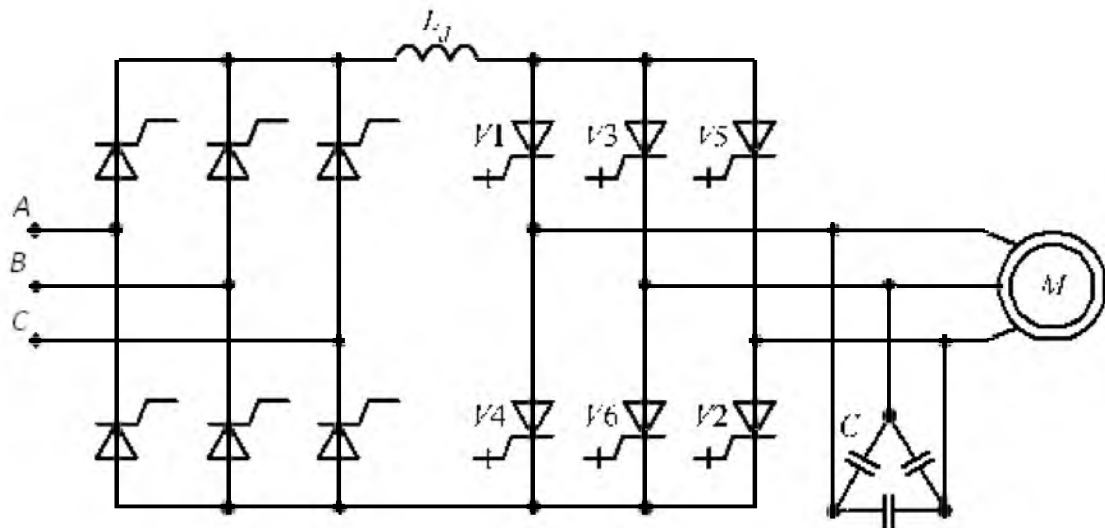
Tormozlash rejimida TAI orqali energiyaning rekuperatsiya imkoniyati toklar va kuchlanishlarning siljishi natijasida tokning yo‘nalishining saqlab qolinishi bilan bajarilishi mumkin. Ya’ni, tormozlash rejimini bajarish uchun TAIning boshqariluvchi impulslarini elektr mashinasining fazaviy EYUK ga nisbatan siljitish natijasida to‘g‘rilagich rejimiga o‘tkazish talab qilinadi.

Elektr mashinasidan o‘zgarmas tok tomoniga beriluvchi energiya keyinchalik o‘zgaruvchan tok tarmog‘iga o‘tkaziladi. Buning uchun CHO‘ning kirishidagi boshqariluvchi to‘g‘rilagich invertor rejimiga o‘tkazilishi kerak bo‘ladi. Bu holatda tokning yo‘nalishi saqlab qolinadi va qo‘sishma ventillar kompleksi talab qilinmaydi. Sxema katta quvvatli dvigatellarda qo‘llanadi. Uning kamchiligi chiqish xarakteristikalarining ayrim quvvat diapazonlarida qoniqarsiz darajada pasayishi.



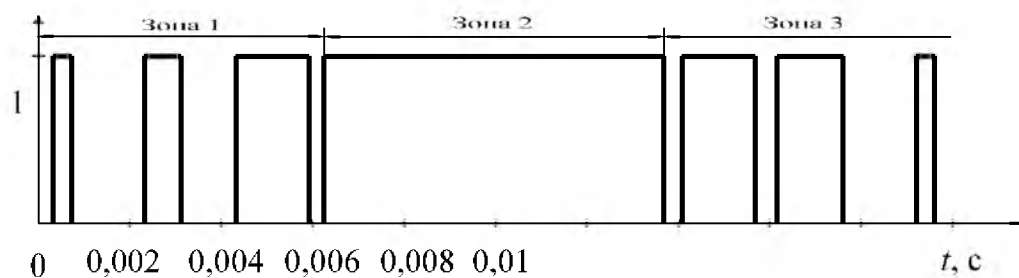
### 23.7-pacm. Uzuvchi diodli TAI asosida qurilgan bilvosita CHO‘

Dunyo bozorlarida to‘liq boshqariluvchi tiristorlarning faydo bo‘lishi TAI asosidagi bilvosita CHO‘ xarakteristikalarini yaxshilashga olib keldi. Bu element bazasidagi CHO‘ning prinsipial sxemasi 23.8- rasmda keltirilgan. Chiqish tokining vujudga kelishi boshqariluvchi to‘g‘rilagich v va TAI bilan birgalikda amalga oshiriladi. Tiristor V1 uzilish va ulanish vaqtлari 23.9 – rasmda keltirilgan vaqt diagrammasida aks ettirilgan.



**23.8 – rasm. Boshqariluvchi tiristorli TAI asosida tuzilgan bilvosita CHO'**

Diagramma bo‘yicha zona 2 ga tegishli uchastkada kalit V1 doim ulangan va silliqlovchi drosselning uzluksiz toki dvigatelning A fazaga ulangan. Zonalar 1 va 3 larda toklarning paydo bo‘lishi uchun tiritorlarni tegishli qonun bilan qayta ulanishi ta’milnanadi. Diagrammada ko‘rsatilgan 1 va 3 zonalarning tokni oshirishini va pasayishini ta’minalash uchun odatda ikkita metod qo’llanadi - trapetsiya metodi yoki tanlangan garmonikalarni yo‘qotish metodi. Birinchi metod qo‘llanganda TAIning kalitlarining kommutatsiya momentlari chastotani belgilovchi arrasimon signalning chiziqli o’sish intervalida tayanch signalining tutashgan nuqtasi bilan aniqlanadi va ikkinchi metodda kommutatsiya momentlari qaysi biri yuqori

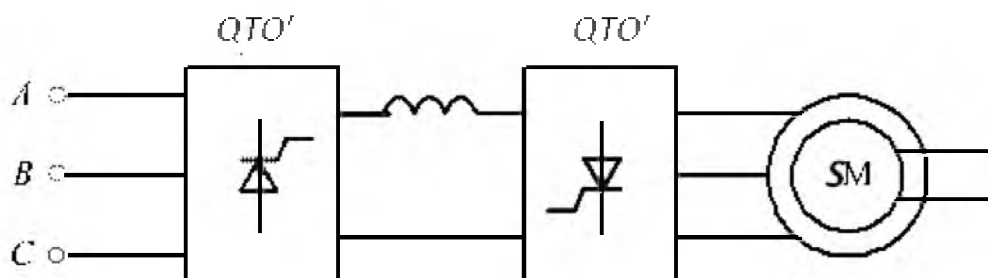


**23.9 – rasm. Kalit  $V_1$  ni boshqaruvchi signallarning vaqt diagrammasi  
(TAI ning chiqish chastotasi 50 Gs)**

Garmonikalarning yo‘qotilishidan kelib chiqqan holda (masalan 5-, 7-garmonikalarni) oldindan hisoblangan bo‘lib.

Bu sxemada dvigatel fazalaridan o‘tadigan toklarning shakllari sinusoidaga ancha yaqinlashgan bo‘ladi, ammo tarmoqdan ta’minlanuvchi boshqariluvchi to‘g‘rilagichlarning barcha kamchiliklari saqlanib qoladi.

**Tok invertorlari asosidagi CHO‘ sinxron mashinalar yuritmalarida ayniqsa effektiv qo‘llanadi.** Bu tipdagi yuritmalarining chiqishidagi TAI lar o‘rniga elektr mashinasini rejimlariga bog‘langan tok invertorlari (BI) ulanadi. Bunda CHO‘ chiqish va kirishlarida bir komplektli rekuperatsiyalovchi tiristorli o‘zgartkichlar qo‘llaniladi. Bilvosita chastota o‘zgartkichlarining bu prinsipida ishlovchi elektr yuritmalarining sxemasi 23.10 - rasmda keltirilgan. Sxema ikki zvenoli bo‘lib, mashinaga bog‘langan qaytaruvchan tok o‘zgartkichi (invertori) (QTO‘) asosida tuzilgan. CHO‘ ishslash prinsipi bo‘yicha elektr mashinasining rejimiga bog‘langan TAIlar tarmoqqa ulangan to‘grilagichlarning rejimlarini to‘liq takrorlaydi.

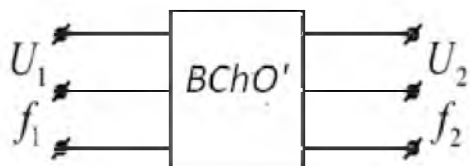


**23.10 - rasm. Elektr mashinalarining rejimiga bog‘liq qaytaruvchan tok o‘zgartkichlari (QTO‘) asosidagi bilvosita CHO‘**

Sxemada qaytaruvchan tok o‘zgartkichlari (BI larning) ventillarining kommutatsiyalari elektr mashinasining EYUK hisobiga o‘tkaziladi. Elektr mashinalarining past tezliklarida EYUK ventillarini kommutatsiyalashga yetarli bo‘lmasligi mumkin. Shuning uchun mashinalarni ishga tushirishda kommutatsiya jarayoni o‘zgarmas tok zanjiridagi ta’midot tokining to‘g‘rilagichlarini ulanib- o‘chirish bilan uzlukli rejimga aylantirilib bajariladi.

### 23.3 Tiristorli bevosita chastota o'zgartkichlari

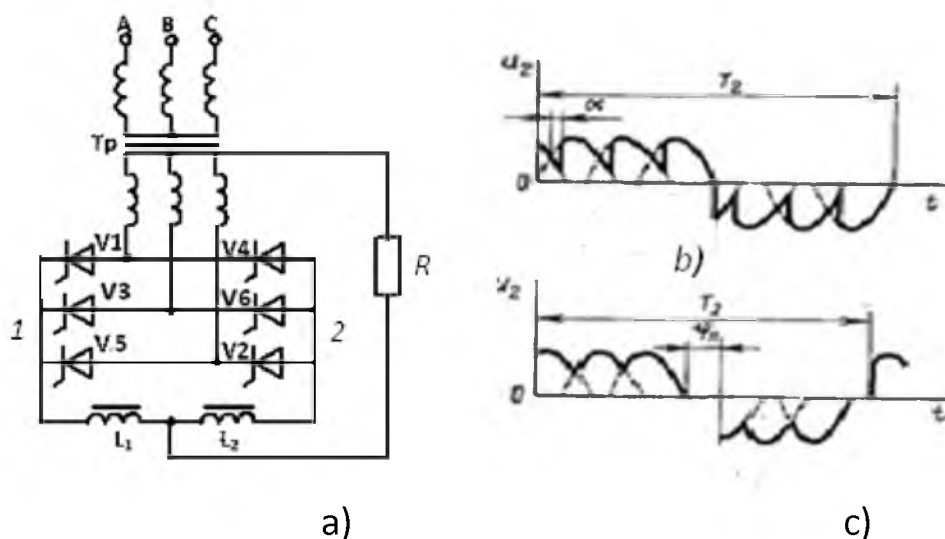
Tiristorli bevosita chastota o'zgartkichlarida tarmoqdan kirishdagi o'zgarmas chastota va kuchlanish ( $f_1 U_1$ ) bevosita oraliq o'zgartikichlarsiz chiqishdagi rostlanuvchan chastota va kuchlanishga ( $f_2 U_2$ ) o'zgartiriladi (23.11- rasm).



**23.11- rasm. Bevosita chastota o'zgartkichi**

Bevosita CHO' kirishda bir va uch fazali tarmoq manbalari bo'lishi mumkin. Chiqishlariga ham bir yoki uch fazali yuklamalar ulanishi mumkin. Ko'pchilik sxemalarda bir fazali yuklamalar uch fazali tarmoqqa ulanadi. Bu ulanish bir fazali yuklamalarning asosiy ulanishi desa ham bo'ladi. Bevosita CHO' ichki sxemalari uch fazali noli chiqarilgan, uch fazali ko'priksimon, 12 fazali va ko'p fazali sxemalardan tuziladi.

Uch fazali noli chiqarilgan sxemasi va uning diagrammalari 23.12-rasmida keltirilgan.



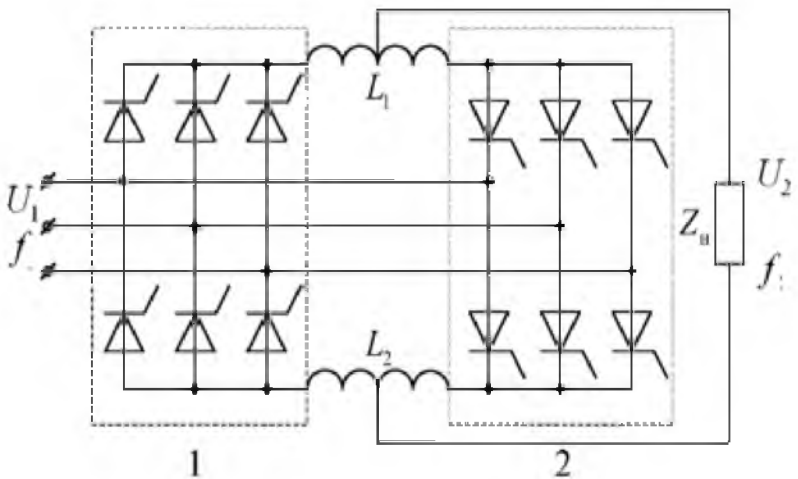
**23.12-rasm. a) uch fazali noli chiqarilgan bevosita CHO' sxemasi, (b,c) vaqt diagrammalari**

Diagrammadan ko‘rinib turibdiki, ishlash prinsipida birinchi (tok guruhi) ventillarining ketma-ket ishlashi natijasida musbat yarim davrli to‘lqinlar va keyinchalik juft ventillar ishlashi natijasida manfiy yarim davrli to‘lqinlar yuklamada vujudga keladi. Shuning bilan yuklamada hosil bo‘lgan kuchlanishning birinchi garmonikasi sinus shaklida deb qabul qilnadi.

Diagrammalarda yarim davr to‘lqinlarining kirish chastotasi  $f_1$ , va chiqish chastotasi  $f_2 = 1/T_2$  hisoblanadi. Bunda har doim  $f_1 > f_2$  bo‘lib, chiqish chastotasi  $f_2$  manfiy va musbat yarim to‘lqinlarning soniga bog‘liq bo‘ladi. Chiqishdagi kuchlanishning birinchi garmonikasining effektiv qiymatining o‘zgarishiga  $\alpha$  burchakning davomiyligini o‘zgartirish bilan erishiladi.

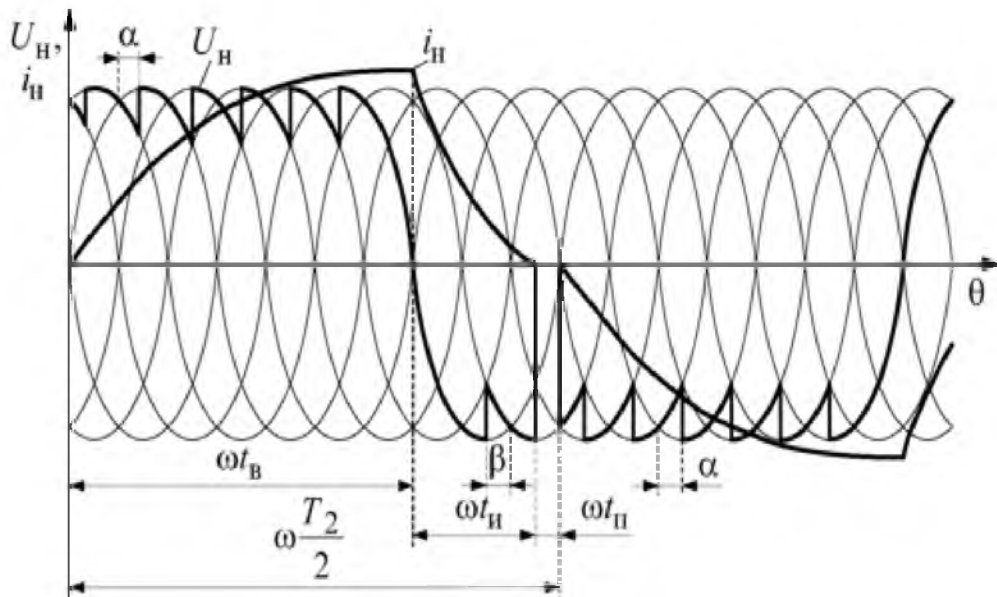
Bevosita CHO‘ ning muammolaridan biri birinchi va ikkinchi guruh ventillarining almashishidagi chegara doirasida birinchi 1 ( tok guruhi ) ventillari yopilmasdan ikkinchi 2 (juft guruh) vetillari ochilishi mumkinligi. Bu vaziyat CHO‘ ni qisqa tutashuv rejimiga olib keladi. Buning oldini olish uchun yuklama tokining nol nuqtadan o‘tishini aniqlash uchun yuqori sezgirli tok datchiklari o‘rnataladi yoki ventillar guruhlarining almashish nuqtasida toklar uchun pauza intervali tashkil qilinadi (23.1c - rasm). Diagramma 23.12 b – sxemada  $\alpha$  burchak yarim davrli to‘lqinlarni olishda tiristorlarning ochilishiga kengligi bir tekis bo‘lgan impulslar berilgan. Bu tipdagi boshqariluvchi impulslar arrasimon impulsarni to‘g‘ri burchakli impulslar bilan modulyatsiya qilishda olingan bo‘lib, yuqorida ko‘rsatilgan (5.4-rasm) kengligi rostlanuvchi impulslar (IKR) hisoblanadi.

Bevosita CHO‘ ning uch fazali ko‘priksimon sxemalarda ishlashini ko‘rib chiqamiz. 23.12a - rasmdagi sxemalardan ularning farqi shundaki, yuklama ularning har ikkala guruhida uch fazali ko‘priksimon sxemalarni tekislovchi  $L_1$ ,  $L_2$  reaktorlarining neytral nuqtasiga ulanadi (23.13 - rasm).



**23.13 –rasm. Uch fazali ko‘priksimon sxemalardan tashkil topgan bir fazali bevosita CHO‘**

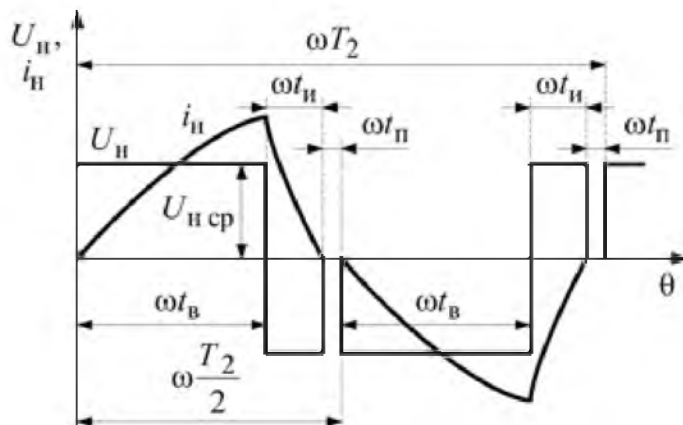
Agar  $\vartheta = 0$  dan boshlab (23.14 rasm) 1 guruh ventillariga  $\alpha$  burchagi bilan impulslar berilsa, CHO‘ oddiy uch fazali boshqariluvchi to‘g‘rilagichlar rejimida ishlab, yuklamada kuchlanish  $U_{yuk}$  hosil bo‘lib, uning o‘rtta qiymati  $U_{yuk0} = 2,34U_1 \cos\alpha$  ifoda bilan aniqlanadi. Bu holat  $\omega t$  intervaligacha davom etadi. Bu vaqt davomida aktiv induktiv yuklama toki  $i_{yuk}$  eksponenta qonuni bilan o‘zgarib,  $i_{yuk \max}$  gacha o‘zgaradi.



**23.14 - rasm. Uch faza – bir fazali bevosita CHO‘ ning ishlash diagrammasi**

Moment  $\omega t_V$  dan boshlab 1- guruh ventillariga to‘g‘rilagich rejimi uchun impulslar berilishi to‘xtatiladi va ular ergashtirilgan (bog‘liq) invertorlar rejimiga o‘tkaziladi: bu rejimda boshqaruvchi impulslar o‘zuvchi burchak  $\beta$  bilan beriladi, va 1- ventillar guruhi yuklama toki  $i_{yuk}$  ga qarshi EYUK ishlab chiqadi. Buning natijasida  $i_{yuk}$  kamayib boshlaydi va  $\omega t_i$  davomida nolga teng bo‘ladi. 1- ventillar guruhining oxirgi tok o‘tkazuvchi ventili yopiladi va toksiz pauza davomida ( $\omega t_p$ ) o‘zini boshqarish xususiyatini tiklab oladi. Keyinchalik  $\omega \frac{T_2}{2}$  nuqtada yuqorida keltirilgan barcha jarayonlar takrorlanadi. Ko‘rilgan  $\omega \frac{T_2}{2}$  interval davomida 2 - guruh ventillari berk holatda saqlanadi.

Shunday qilib  $\omega t_V$  intervalda yuklamada amplitudasi  $U_{yuk} = 2,34U_1 \cos\alpha$  teng to‘g‘ri burchakka yaqin bo‘lgan kuchlanish va  $\omega t_i$  intervalda  $U_{yuk} = -2,34U_1 \cos\alpha$  amplitudali kuchlanish hosil bo‘ladi (23.14 -rasm).



**23.15 – rasm. Bevosita CHO‘ ventil guruhlarini alohida boshqarish**

Bu kuchlanishlar hosil bo‘lishi davomida ikkala ventillar guruhlarida ham ta’midot tarmog‘ining o‘zgaruvchan kuchlanishi ta’sirida kommutatsiya jarayonlari tabiiy rejimda o‘tadi. Shu sababli bevosita CHO‘ tabiiy kommutatsiyali CHO‘ lar deb aytildi (CHO‘ TK).

Chiqish kuchlanishining o‘zgarish davri  $T_2 > T_1$  va chastotasi  $f_1 > f_2$  bo‘lganligi bevosita CHO‘ning asosiy xususiyatlariga kiradi. Xususiyatlaridan yana bittasi yuklama bilan tarmoq orasidagi energiyaning erkin almashtirilishi. Bu xususiyati bo‘yicha  $\omega t_V$  intervalda 1- ventil guruhi to‘g‘rilagich rejimida ishlab, energiya tarmog‘idan yuklama tomoniga yo‘naltirilgan va  $\omega t_i$  intervalda 1 - ventil guruhi ergashtirilgan

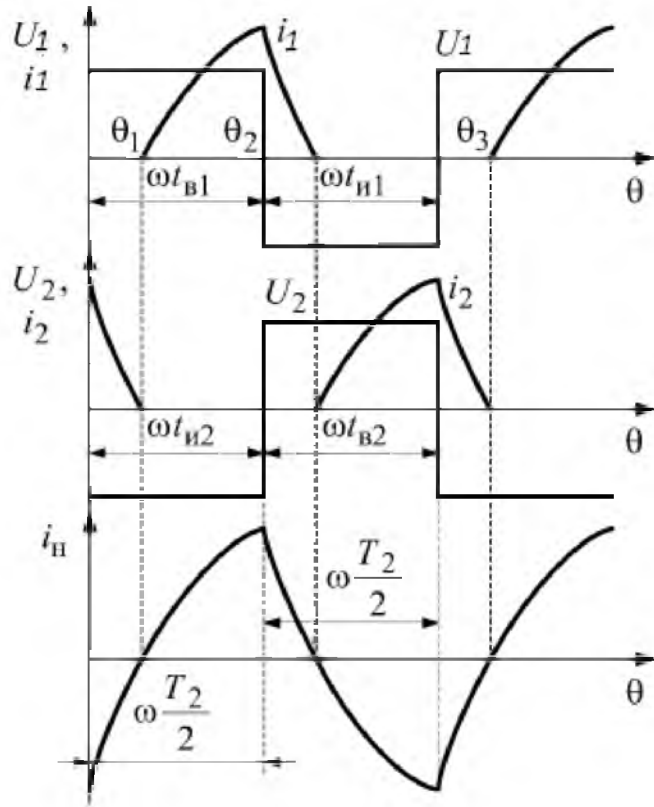
invertor rejimida ishlab, yuklamada yig‘ilgan reaktiv energiya ta’minot tarmog‘i tomonga yo‘naltirilgan.

### 23.4. Chastota o‘zgartkichlarini boshqarish usullari

Bevosita CHO‘ning yuqorida ko‘rilgan boshqarish usullari *ajratilgan* usullar deb aytildi, chunki har bir ventil guruhi alohida boshqarilib ishlaydi. Bu usulni amalga oshirishning murakkabligi  $\omega_t$  va  $\omega_i$  o‘zaro nisbatini aniqlashda, chunki berilgan chiqish chastotasi  $f_2$  davomida  $\omega_i$  yetarli darajada bo‘lmasa, birinchi guruh ventillari yopilishi va ikkinchi guruh ventillari ochilishi momentida ventillar tomonidan ichki qisqa tutashuv rejimi hosil bo‘lishi mumkin. Shu sababli ajratilgan boshqarish usulida  $\omega_i$  eng og‘ir rejimdan kelib chiqqan holda tanlanadi. Bu holat yuklamadagi reaktiv energiya maksimal qiymatiga erishganida ro‘y beradi.

Keltirilgan usuldan tashqari ventilli guruhlarning *birlashgan* boshqarish usuli ham mavjud. Bu usulda 1 – guruh ventillariga yarim davr davomida  $\omega \frac{T_2}{2}$  beriladigan boshqaruvchi impulslar  $\alpha$  burchagi bilan berilib, ularning to‘g‘rilagich rejimida ishlashiga moslashtiradi, va shu vaqtini o‘zida 2 – guruh ventillariga invertor rejimida ishlash uchun boshqaruvchi impulslar o‘zuvchi  $\beta$  burchak bilan berilib, ularni invertor rejimiga moslaydi. Birinchi va ikkinchi guruh o‘zgartkichlarini galma – gal to‘grilagich va invertor rejimida ishlash diagrammasi 23.16 – rasmda keltirilgan.

Agar  $\vartheta = 0$  momentdan boshlab, yuklamadan davom etayotgan bo‘lsa, u tok 1- guruhning to‘grilangan kuchlanishiga teskari bo‘lib, shu guruhning ventillaridan o‘tmasdan 2- guruh ventillaridan o‘tadi (23.15 – rasmda interval –  $\vartheta_1$ ). Nuqta  $\vartheta_1$  da yuklama toki nolga teng bo‘lib, keyinchalik 1 - guruh ventillari ochiladi va kuchlanish  $U_1$  ta’sirida yuklama toki oldingiga nisbatan teskari yo‘nalishda o‘tishga boshlaydi va  $\omega \frac{T_2}{2}$  nuqtada maksimal qiymatiga  $i_{yuk\ max}$  erishadi. Bu nuqtada ventil guruhlarning boshqarish impulsleri quyidagicha o‘zgaradi: 1 - guruh invertor rejimiga , 2 - guruh to‘g‘rilagich rejimiga o‘tadi.



**23.16 – rasm. Bevosita CHO‘ birlashgan boshqarish usulining diagrammasi**

Nuqta  $\theta_2$  gacha yuklama toki 1- guruh ventillaridan o‘tib,  $U_1$  qorshi EYUK ga ko‘ra nolgacha pasayadi. Keyinchalik 2- guruh ventillariga o‘tib,  $U_2$  kuchlanish ta’siri bilan teskari yo‘nalishda o‘sishni boshlaydi. Nuqta  $\omega T_2$  jarayonlar takrorlanib bashlaydi. Shunday qilib boshqarish impulslari har bir momentda ikkala guruh ventillariga ham barobar beriladi, natijada guruhlarning oniy kuchlanishi teng bo‘limganligi sababli, ventil guruhlarning chiqishida ichki qisqa tutashish konturlarida muvozanatlovchi toklarning keskin o‘zgarishi hosil bo‘ladi. Bu toklarni chegaralash uchun sxemaga drossellar  $L_1$ ,  $L_2$  ulanadi.

Bu uslubning afzalligi yuklama parametrlari o‘zgarishi davomida boshqarish sistemani o‘zgartirmasdan ventil guruhlarni normal rejimda ishlatish mumkinligida. Agar  $\omega \frac{T_2}{2}$  davomida boshqariuvchi burchaklar  $\alpha$  va  $\beta$  lar barobar o‘zgartirilsa, ventil guruhlarning chiqishida kuchlanishning o‘rtacha qiymatini rostlash mumkin bo‘ladi. Bunda sinusoida shaklidagi kuchlanishlarni olish uchun

$$U_{yuk} = U_{yuk\ max} \sin\theta \quad (23.1)$$

birinchi va ikkinchi ventil guruhlari chiqishidagi kuchlanishning o'rtacha qiymati (masalan birinchi)

$$U_I = 2,34 U_I \cos \alpha_I \quad (23.2)$$

(23.1) qonuni bilan o'zgarishi kerak

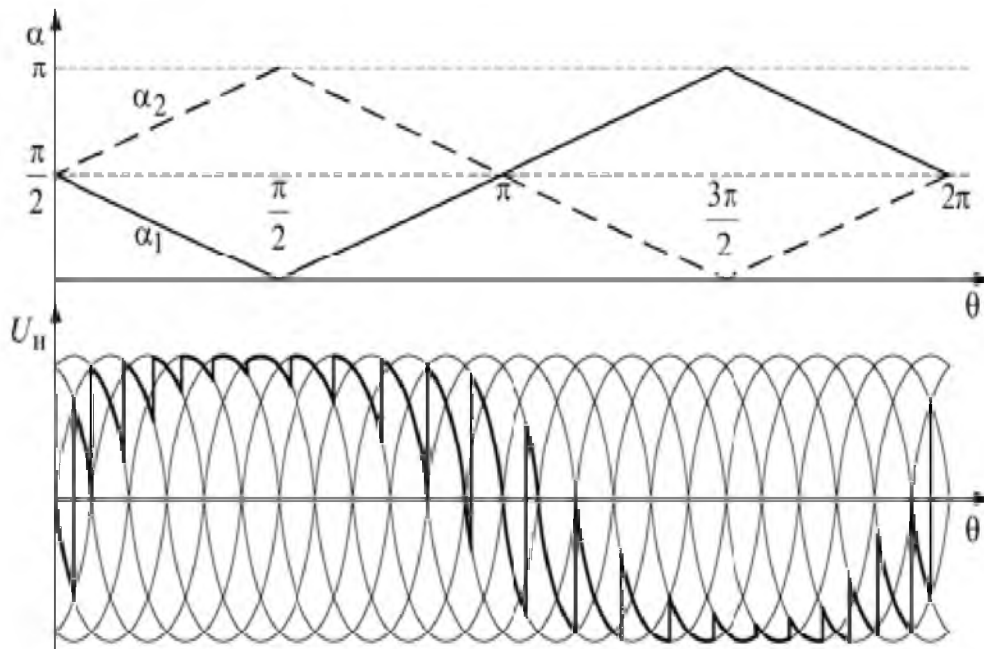
$$2,34 U_I \cos \alpha_I = U_{yuk\ max} \sin \theta .$$

Bu ifodadan  $\alpha_I$  quyidagicha aniqlanadi :

$$\alpha_I = \arccos \left[ \frac{U_{yuk\ max}}{2,34 U_I} \sin \theta \right] = \arccos (v \sin \theta) \quad (23.3)$$

bunda  $v = \frac{U_{yuk\ max}}{2,34 U_I}$  chiqish kuchlanishni modulyasiyalanish chuqurligi.  
Kuchlanishlar  $U_1$  va  $U_2$  teskari fazalarda bo'lishlari natijasida

$$\alpha_2 = - \arccos (v \sin \theta) \quad (23.4)$$



### 23.17-rasm. Bevosita CHO' da sinusoidal kuchlanishning vujudga kelishi

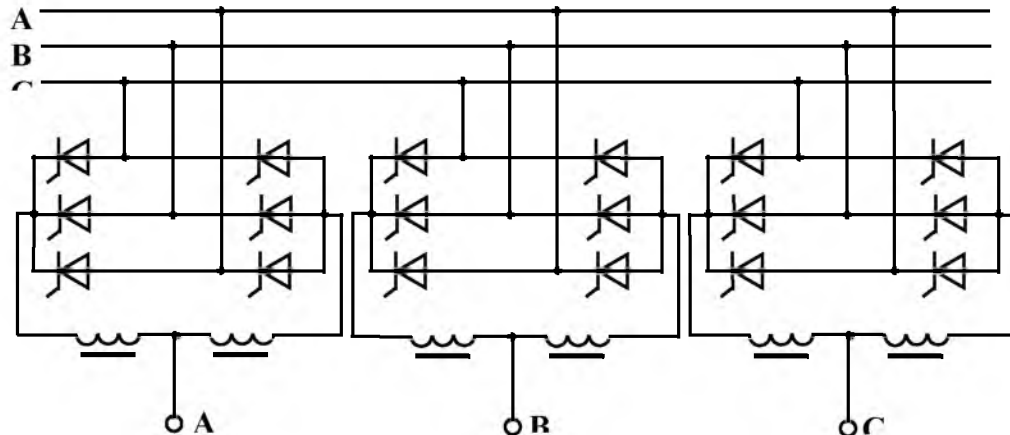
Shunday qilib sinusoidal kuchlanishni olish uchun ventil guruhlarining boshqarish burchaklarini arkcosinus ifodasi (23.3) bilan o'zgartirish kerak.

Bu prinsip bo'yicha bir fazali yuklamada sinus kuchlanishi olinishi 23.1- rasmida keltirilgan. Bu yerda arksinus qonuni bilan o'zgaruvchi boshqaruvchi impulslar, modelyatsiyalovchi kuchlanish va  $U_{\text{bashk}}$  va tayanch kuchlanish  $U_{\text{tayanch}}$  larning tenglik momentida vujudga keladi. Chastota va amplitudasining boshqaruvchi sinusoidal modulyatsiyalovchi kuchlanishlarni olish murakkab bo'lganligi sababli, chiqish kuchlanishlarining sifatiga ta'siri kam bo'lgan soddaror boshqarish qonunlarini ham amaliyotda uchratish mumkin.

### 23.5 Uch fazali bevosita chastota o'zgartkichlari

Ko'pchilik sanoat qurilmalarida uch fazali asinxron va sinxron daigatellari bo'lgani sababli bevosita CHO'larning uch fazali sxemalari ko'proq qo'llaniladi. Yuqorida ko'rilgan bir fazali bevosita CHO' sxemalari asosida uch fazali noli chiqarilgan (23.18 – rasm) va uch fazali ko'priksimon (23.19 rasm) sxemalar tuzilishi mumkin. Rasmlardan ko'rinish turibdiki, nolli sxemalarda tiristorlarning soni 18 ga teng va ko'priksimoda 36 ga teng.

O'rta va katta quvvatli o'zgaruvchan tok elektr yuritmalarida ushbu sxemali bevosita CHO'ning ishlatalishi iqtisodiy va ekspluatatsion ko'rsatkichlari bo'yicha o'zini oqlaydi.

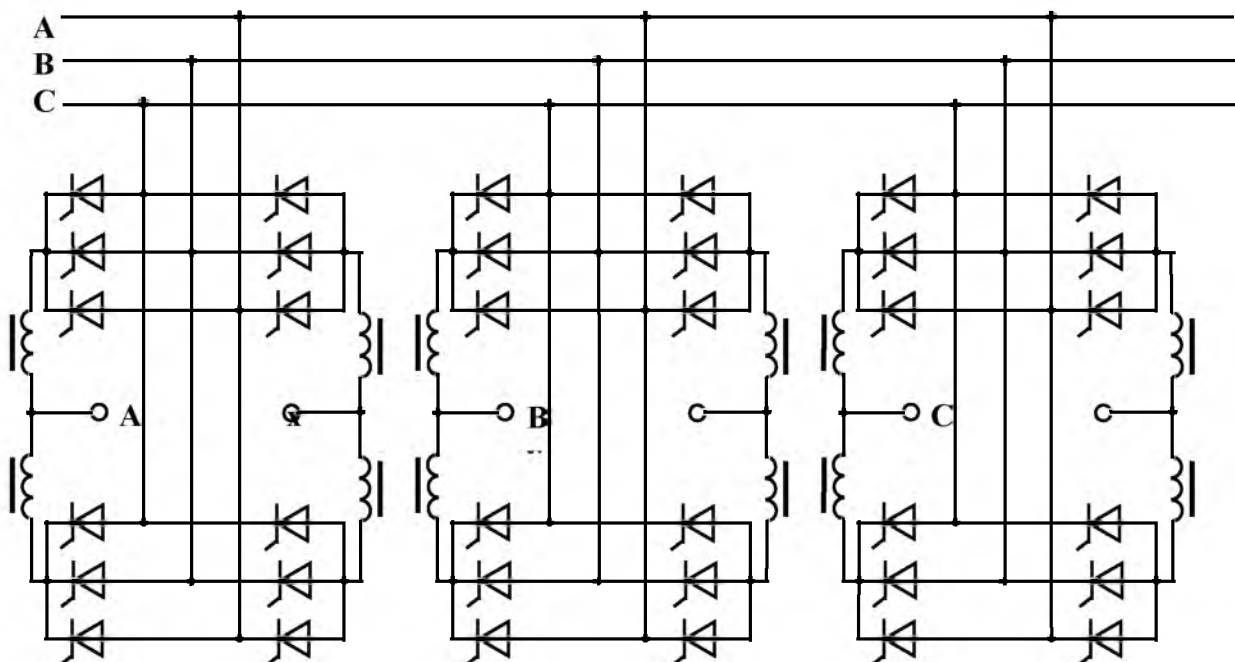


**23.18- rasm. Uch fazali nol sxemali bilvosita TCHO' sxemasi**

Bevosita CHO'larning boshqaruv burchagini boshqarish uchun reversiv o'zgarmas tok o'zgartkichlarida qo'llaniladigan faza impulsli boshqaruvchi qurilmalaridan (FIBQ) foydalilaniladi. Bevosita tiristorli CHO'ning ishchi

sxemasida tiristorlar komplekti soniga qarab FIBQ lar ham shuncha bo‘lishi, ya’ni uch fazali nol sxemali bevosita CHO‘ lar uchun FIBQ lar soni oltita bo‘lishi talab etiladi. FIBQlarni boshqarish uchun chastotasi hamda kuchlanish amplitudasi rostlanuvchan bo‘lgan olti fazali simmetrik tizim bo‘lishi kerak.

Bevosita TCHO‘ chiqish kuchlanishining formasi to‘g‘ri burchakli – pog‘onali bo‘lsa, u holda boshqariluvchi kuchlanish manbai sifatida to‘g‘ri burchakli impuls ishlab chiqaruvchi olti fazali «generator»dan foydalaniladi. Bunday «generator» bir fazali generator va impulslar tarqatgich bloklaridan tashkil topgan bo‘ladi.



**23.19 – rasm. Uch fazali ko‘prik sxemali bilvosita CHO‘ sxemasi**

Bevosita TCHO‘larning asosiy afzalliklari:

1. Tiristorlar quvvatlarining kichikligi va o‘zgartkich foydali ish koeffitsiyenti yuqori;
2. Tiristorlarni boshqarishda sun’iy kommutatsiya qurilmalarining bo‘lmasligi o‘zgartkichning ishonchliligi darajasini oshiradi va og‘irlilik – o‘lchov kattaliklarini kamaytiradi;
3. Formasini o‘zgartirmagan holda past chastotalarda chiqish kuchlanishlarini olish mumkinligi;

4. Asinxron motorning rekuperativ tormoz rejimini osonlik bilan hosil qilish mumkinligi.

Bevosita TCHO‘ning asosiy kamchiliklari:

1. Chiqish kuchlanishi chastota qiymatining chegaralanganligi (tarmoq kuchlanish chastotasiga yaqin va undan katta qiymatli chastotaga ega bo‘lgan kuchlanish hosil qilish mumkin emasligi);
2. Tarmoq quvvat koeffitsiyentining past bo‘lishi;
3. Ishchi sxemalarda tiristorlar sonining ko‘p bo‘lishi (uch fazali ko‘prik sxemali bilvosita TCHO‘da tiristorlar soni 12 ga teng bo‘lgan holda, bevosita TCHO‘da esa tiristorlar soni 36 ga teng).

### **Nazorat savolari**

- 1) KAI va TAI larning kirish filtrlari nima bilan farq qiladi?
- 2) KAI asosidagi bilvosita CHO‘ larning strukturasini ta’riflang;
- 3) TAI asosidagi bilvosita CHO‘ larning strukturasini ta’riflang;
- 4) Bilvosita CHO‘ qanaqa kamchiliklarini bilasiz ?
- 5) Bilvosita CHO‘ tormozlash rejimlarini ta’riflang;
- 6) KAI va TAI asosidagi CHO‘ nima bilan farq qiladi ?
- 7) Bevosita CHO‘ boshqarish rejimlarini ta’riflang;
- 8) Bevosita CHO‘ afzalliklari nimalardan iborat ?
- 9) Bevosita CHO‘ boshqarish kanallarini ta’riflang;
- 10) Uch fazali bevosita CHO‘ sxemalarini ta’riflang.

## **GLOSSARY**

| <b>O'zbek tilida</b>                                       | <b>Рус тилида</b>                                    | <b>Ingliz tilida</b>                           |
|--|--|--|
| Almashuv sxemasi   | Схема замещения                                      | Equivalent circuit                             |
| Aktiv quvvat   | Активная мощность                                    | Active power                                   |
| Asinxron motor   | Асинхронный мотор                                    | Induction motor                                |
| Avariya o'chirgichi  | Аварийный выключатель                                | Emergency switch                               |
| Avtomatlashtirilgan elektr yuritma                         | Автоматизированный электропривод                     | Automated electric drive                       |
| Avtomatik rostlash   | Автоматическое регулирование                         | Automatic regulation                           |
| Berktilayotgan tiristor                                    | Запираемый тиристор                                  | Gate turn-off thyristor                        |
| Bevosita chastota o'zgartkichi                             | Независимый частотный преобразователь                | Independent frequency converter                |
| Bevosita rostlash  | Прямое регулирование                                 | Direct regulation                              |
| Bilvosita chastota o'zgartkichi                            | Зависимый частотный преобразователь                  | Dependent frequency converter                  |
| Bilvosita rostlash   | Непрямое регулирование                               | Indirect regulation                            |
| Boshqarish   | Управление   | Control  |
| Boshqariluvchi o'zgartkich                                 | Управляемый преобразователь                          | Controlled converter                           |
| Boshqarilmaydigan to'g'rilaqich                            | Неуправляемый выпрямитель                            | Uncontrolled rectifier                         |
| Boshqarilmaydigan o'zgartkich                              | Неуправляемый преобразователь                        | Uncontrolled converter                         |
| Boshqariluvchi to'g'rilaqich                               | Управляемый выпрямитель                              | Controlled rectifier                           |
| Burchak<br>• Boshqaruv<br>• Ilgarilatish<br>• Kommutatsiya | Угол<br>• управления<br>• опережения<br>• коммутации | angle<br>• firing<br>• of advance<br>• overlap |
| Cheklash   | Ограничение  | Limitation                                     |

|                              |                                |                               |
|------------------------------|--------------------------------|-------------------------------|
| Chulg‘am                     | Обмотка                        | Winding                       |
| Chastota                     | Частота                        | Frequency                     |
| Davr                         | Период                         | Period                        |
| Daraja                       | Степень                        | Power                         |
| Diod                         | Диод                           | Diode                         |
| Elektr maydoni               | Электрическое поле             | Electric field                |
| Elektr yuritma               | Электрический привод           | Electric drive                |
| Fazaviy siljish              | Фазовый сдвиг                  | Phase-shift                   |
| Foydali ish koeffitsiyenti   | Коэффициент полезного действия | Coefficient beneficial action |
| Haqiqiy qiymat               | Действительное значение        | Actual value                  |
| Himoya vositasi              | Средство защиты                | Remedy                        |
| Holat                        | Состояние                      | Condition                     |
| Ikki holatli rostlagich      | Двухпозиционный регулятор      | On / off knob                 |
| Impuls kengligini boshqarish | Широтно -импульсная модуляция  | Pulse width modulation        |
| Imkoniyat                    | Возможность                    | Possibility                   |
| Induktivlik g‘altagi         | Катушка индуктивности          | Inductor                      |
| Invertor                     | Инвертор                       | Inverter                      |
| Issiqlik                     | Теплота                        | Heat                          |
| Ishga tushirish              | Пуск                           | Start                         |
| Ishga tushirish vaqtı        | Время пуска                    | Start time                    |
| Ishchi holat                 | Рабочее состояние              | Working condition             |
| Jami quvvat                  | Суммарная мощность             | Total power                   |
| Jarayon                      | Процесс                        | Process                       |
| Kristallik panjara           | Кристаллическая решетка        | Crystal cell                  |
| Kuchaytirgich                | Усилитель                      | Amplifier                     |
| Kuchlanish manbai            | Источник напряжения            | Voltage source                |
| Kuchli elektronika           | Силовая электроника            | Power electronics             |
| Maydonli tranzistor          | Полевой транзистор             | Field-effect transistor       |
| Miqdor                       | Количество                     | Number                        |

|                       |                         |                   |
|-----------------------|-------------------------|-------------------|
| Moslama               | Приспособление          | Device            |
| Oniy qiymat           | Мгновенное значение     | Instant value     |
| Optimal quvvat        | Оптимальная мощность    | Optimum power     |
| Qarshilik             | Сопротивление           | Resistance        |
| Qarshilik relesi      | Реле сопротивления      | Resistance relay  |
| Qatlam                | Слой                    | Layer             |
| Qattiq jism           | Твердое тело            | Solid             |
| Qiymat                | Значение                | Value             |
| Qisqa tutashish       | Короткое замыкание      | Short circuit     |
| Quvvat koeffitsiyenti | Коэффициент мощности    | Power factor      |
| Quvvatni cheklash     | Ограничение мощности    | Power limitation  |
| Qutb                  | Полюс                   | Pole              |
| Reaktiv quvvat        | Реактивная мощность     | Reactive power    |
| Rostlagich            | Регулятор               | Regulator         |
| Rostlash              | Регулирование           | Regulation        |
| Rostlash usuli        | Способ регулирования    | Regulation method |
| Salt yurish           | Холостой ход            | Idling            |
| Samaradorlik          | Эффективность           | Efficiency        |
| Sanoat                | Промышленность          | Industry          |
| Saqlab turish         | Поддерживать            | Support           |
| Saqlagich             | Предохранитель          | Fuse              |
| Sig'im                | Емкость                 | Capacity          |
| Sig'imli qarshilik    | Емкостное сопротивление | Capacitance       |
| Sig'imli yuklama      | Емкостная нагрузка      | Capacitive load   |
| Shakl koeffitsiyenti  | Коэффициент формы       | Shape factor      |
| Sharoit               | Условие                 | Condition         |
| Shoxobcha             | Отводы                  | Bends             |
| Sozlash               | Наладка                 | Adjustment        |
| Tarkib                | Состав                  | Composition       |
| Tarmoq                | Сеть                    | Network           |
| Tashuvchi             | Носитель                | Carrier           |

|                  |                 |                     |
|------------------|-----------------|---------------------|
| Ta'minlash       | Обеспечение     | Security            |
| Taqsimlagich     | Распределитель  | Distributor         |
| Tenglama         | Уравнение       | Equation            |
| Teshilish        | Пробой          | Breakdown           |
| Tezlik           | Скорость        | Speed               |
| Tiristor         | Тиристор        | Thyristor           |
| Tizim            | Система         | System              |
| Tok manbai       | Источник тока   | Current source      |
| To'lqin          | Волна           | Wave                |
| To'la quvvat     | Полная мощность | Full power          |
| To'g'rilaqich    | Выпрямитель     | Rectifier           |
| Uzatish          | Передача        | Broadcast           |
| Uzluksiz         | Непрерывный     | Continuous          |
| Umumiy           | Общий           | General             |
| Uskuna           | Оборудование    | Equipment           |
| Ulab-uzgich      | Выключатель     | Switch              |
| Vosita           | Средство        | Means               |
| Xatolik          | Погрешность     | Error               |
| Xususiyat        | Особенность     | Feature             |
| Yarimo'tkazgich  | Полупроводник   | Semiconductor       |
| Yuza             | Поверхность     | Surface             |
| Zanjir           | Цепь            | Chain               |
| G'altak          | Катушка         | Coil                |
| O'tish           | Переход         | Transition          |
| O'zak            | Стержень        | Kernel              |
| O'zgartirish     | Изменение       | Change              |
| O'zgarmas tok    | Постоянный ток  | Direct current      |
| O'zgartirgich    | Преобразователь | Converter           |
| O'zgaruvchan tok | Переменный ток  | Alternative current |
| O'lcham          | Размер          | The size            |

## **FOYDALANILGAN ADABIYOTLAR**

1. Воронин П.А. Силовые полупроводниковые ключи. Семейства, характеристики, применение. 2-е издание переработанное и доп. -М. ДОДЕКА, 2005. 384 с.
2. Гельман М.В., Дудкин К.А. и др. Преобразовательная техника. Учебное пособие. -Челябинск: ЮУрГУ . 2009.
3. Забродин Ю.С. Промышленная электроника. Учебник для вузов. – 2-е изд. -М.: Высшая школа, 2016. 496 с.
4. Зиновьев Г.С. Основы силовой электроники. Учебное пособие для бакалавров. 2-е изд. испр., перераб. и доп. – М.: изд. Юрант, 2015. 667с.
5. Imomnazarov A.T. Ektektromexanik tizimlarning elementlari. Darslik. –Toshkent: Ta’lim, 2009. – 155 b.
6. Karimov A.S. va b. Elektrotexnika va elektronika asoslari. Oliy o‘quv yurtlari uchun darslik. –Toshkent: O‘qituvchi, 1995. 468 b.
7. Петрович В.П., Воронина Н.А., Глазачев А.В. Силовые преобразователи электрической энергии. Учебное пособие для вузов. – Томск: Изд. Томского политехнического университета. 2009. 238 с.
8. Попков О.З. Основы преобразовательной техники. Учебное пособие для вузов. 3-е изд. стереот. – М. Издательский дом МЕИ. 2012. 218 с.
9. Розанов Ю.К.,Рябчикский М.В., Кваснюк А.А. Силовая электроника Учебник для вузов. – М. Издательский дом МЕИ. 2007. 632 с.
10. Xashimov O.O., Saidaxmedov S.S. O‘zgartkich texnikasi va ta’minot manbalari. Oliy o‘quv yurtlari uchun o‘quv qo’llanma. –Toshkent, ToshDTU, 2004. 126 b.
11. Руденко В.С., Сенко В.И ,Чиженко И.М. Основы преобразовательной техники. -М.: Высшая школа, 1980. 422 с.

| <b>Mundarija</b> |   |           |
|------------------|---|-----------|
|                  | <b>Kirish.....</b>  | <b>3</b>  |
|                  | <b>ELEKTRON ELEMENTLAR</b>  |           |
| <b>16</b>        | <b>Diodlar.....</b>   | <b>6</b>  |
| 16.1             | Yarimo‘tkazgichli materiallarning o‘tkazuvchanligi va kristallik strukturasi..... | 6         |
| 16.2             | Ideal $p-n$ o‘tish va yarimo‘tkazgichli diodlar.....                              | 10        |
| 16.3             | Diodlarni parametrlari, xarakteristikalari va almashuv sxemalari.....             | 14        |
| 16.4             | Diodlarning turlari va ulanish sxemalari.....                                     | 18        |
| <b>17</b>        | <b>Tranzistorlar.....</b>   | <b>24</b> |
| 17.1             | Bipolyar tranzistorlarning strukturalari va ishlash prinsipi....                  | 24        |
| 17.2             | Bipolyar tranzistorlarning xarakteristikalari, ekvivalen va ulanish xemalari..... | 37        |
| 17.3             | $p-n$ o‘tishli maydonli tranzistorlar.....  | 33        |
| 17.4             | Kanali o‘rnatilgan va induksiyalangan MDP tranzistorlar                           | 36        |
| 17.5             | Katta quvvatli MDP – tranzistorlarni integral sxemalar bilan boshqarish.....      | 40        |
| 17.6             | IGBT- tranzistorlarning tuzilishi va ishlash prinsiplari.....                     | 46        |
| 17.7             | Katta quvvatli gibrild sxemalar.....  | 50        |
| <b>18</b>        | <b>Tiristorlar .....</b>  | <b>53</b> |
| 18.1             | Tiristorlarning turlari va rivojlanish bosqichlari.....                           | 53        |
| 18.2             | Tiristorlarning strukturasi, ishlash prinsiplari va xarakteristikasi .....        | 54        |
| 18.3             | Tiristorlarning parametrlari va ishlash rejimlari.....                            | 60        |
| 18.4             | Yopiluvchi tiristorlar.....   | 63        |

| <b>O'ZG'ARTKICH TEHNIKASI GURILMALARI</b> |   |            |
|---|---|------------|
| <b>19</b>                                 | <b>To'g'riagichlar (AC-DC o'zg'artkichlar).....</b>   | <b>68</b>  |
| 19.1                                      | To'g'rilaqichlarning tuzilishi va sinflanishi.....  | 68         |
| 19.2                                      | Bir fazali yarim davrli to'g'rilaqichlar.....   | 70         |
| 19.3                                      | Bir fazali noli chiqarilgan to'g'rilaqichlarni hisoblash va tahlil qilish.....                  | 73         |
| 19.4                                      | Bir fazali ko'priksimon (ko'prik) to'g'rilaqich sxemasi...                                      | 77         |
| 19.5                                      | Uch fazali noli chiqarilgan sxemaning tahlili.....  | 79         |
| 19.6                                      | Uch fazali to'g'rilaqichlarning ko'priksimon sxemasining ishslash prinsipi va diagramalari..... | 81         |
| 19.7                                      | Bir fazali boshqariluvli noli chiqarilgan to'g'rilaqichlar..                                    | 84         |
| 19.8                                      | Bir fazali boshqariluvchi ko'priksimon to'g'rilaqichlar.....                                    | 90         |
| 19.9                                      | To'g'rilaqichlardagi kommutatsiya jarayonlari.....  | 92         |
| 19.10                                     | Bir fazali to'g'rilaqichlarni boshqarish tizimlari.....   | 95         |
| 19.11                                     | Uch fazali boshqariluvchi ko'priksimon to'g'rilaqichlar...                                      | 98         |
| 19.12                                     | To'g'rilaqichlarning rejimlariga yuqo'ri garmonikalarning ta'siri.....                          | 102        |
| 19.13                                     | To'grilaqichlarning quvvat koeffitsiyentlari va F.I.K.....                                      | 105        |
| 19.14                                     | To'g'rilaqichlarning kuchlanishning pulsatsiyalarini silliqlovchi filtrlari.....                | 109        |
| 19.15                                     | Tarmoqqa bog'liq o'zgartkichlar.....  | 113        |
| 19.16                                     | O'zgarmas tok yuritmalarini boshqaruvchi tiristorli o'zgartkichlar.....                         | 118        |
| <b>20</b>                                 | <b>Avtonom invertorlar (DC-AC o'zgartkichlari ).....</b>  | <b>126</b> |
|   | <b>Kuchlanish avtonom invertorlari (KAI).....</b>   | <b>126</b> |
| 20.1                                      | Avtonom invertorlar turlari va qo'llanish sohalari .....  | 126        |
| 20.2                                      | Bir fazali KAI ning ishslash prinsipi va rostlash usullari ...                                  | 126        |

|           |  |     |
|-----------|--|-----|
| 20.3      | Uch fazali tiristorli KAI ning chiqish kuchlanishlarini shakllantirish va rostlash asoslari..... | 134 |
| 20.4      | Uch fazali KAI larni impuls kengligini o‘zg‘artirish usuli bilan rostlash.....                   | 137 |
| 20.5      | KAI larning ikki pog‘onali kommutatsiya jarayonlari....  | 139 |
|           | <b>Tok avtonom invertorlari (TAI).....</b>   | 144 |
| 20.6      | Bir fazali TAI larning turlari va ishlash prinsiplari.....                                       | 144 |
| 20.7      | Bir fazali TAI larning chastotaviy imkoniyatlari.....  | 148 |
| 20.8      | Tok invertorining boshqarish va stabillash rejimlari.....  | 152 |
| 20.9      | Uch fazali TAI larning sxemalari va rejimlari.....   | 158 |
|           | <b>Rezonansli avtonom invertorlari (RAI).....</b>  | 161 |
| 20.10     | Rezonans invertorlarining ishlash prinsipi, xarakteristikalari va xususiyatlari.....             | 161 |
| 20.11     | Teskari ulangan diodli RAI lar.....  | 168 |
| 20.12     | Chastotani ikki barobar ko‘paytiruvchi RAI lar.....  | 171 |
| <b>21</b> | <b>O‘zgarmas kuchlanish o‘zgartkichlari (DC-DC o‘zgartkichlari).....</b>                         | 174 |
| 21.1      | O‘zgarmas kuchlanishning impulsli o‘zgartkichlari.....   | 174 |
| 21.2      | O‘zgarmas kuchlanishning reversiv o‘zgartkichlari.....   | 179 |
| 21.3      | Tiristorli o‘zgarmas kuchlanish o‘zgartkichlari.....   | 181 |
| <b>22</b> | <b>O‘zg‘aruvchan kuchlanish rostlagichlari (O‘KR) (AC-AC o‘zgartkichlari).....</b>               | 184 |
| 22.1      | O‘zgaruvchan kuchlanishni fazoviy usul bilan rostlash.....                                       | 184 |
| 22.2      | O‘zgaruvchan kuchlanishni pog‘onali va faza - pog‘onali usullar bilan rostlash.....              | 191 |
| 22.3      | Asinxron motorli yuritmani AC-AC o‘zgartkichlari bilan   |     |

|           |  |     |
|-----------|--|-----|
|           | rostlash.....  | 194 |
| <b>23</b> | <b>Chastota o‘zgartkichlari.....</b>                                       | 198 |
| 23.1      | Kuchlanish invertorlari asosidagi bilvosita chastota o‘zgartkichlari.....  | 198 |
| 23.2      | Tok avtonom invertorlari asosidagi bilvosita chastota o‘zgartkichlari..... | 203 |
| 23.3      | Tiristorli bevosita chastota o‘zgartkichlari.....                          | 207 |
| 23.4      | Chastota o‘zgartkichlarini boshqarish usullari.....                        | 211 |
| 23.5      | Uch fazali bevosita chastota o‘zgartkichlari.....                          | 214 |
|           | <b>Glossariy.....</b>  | 217 |
|           | <b>Adabiyotlar.....</b>  | 221 |